



OFICINA ESPAÑOLA DE PATENTES Y MARCAS

ESPAÑA



11) Número de publicación: 2 426 194

51 Int. Cl.:

C07K 14/095 (2006.01) C07K 14/705 (2006.01) C12N 15/82 (2006.01)

(12)

TRADUCCIÓN DE PATENTE EUROPEA

T3

96 Fecha de presentación y número de la solicitud europea: 02.08.2006 E 06844159 (1) (97) Fecha y número de publicación de la concesión europea: 29.05.2013 EP 1922329

de toxina para el tratamiento y la prevención de anthrax

- (54) Título: Proteínas quiméricas del receptor de toxina mejoradas y proteínas quiméricas del receptor
- (30) Prioridad:

02.08.2005 US 704829 P

(45) Fecha de publicación y mención en BOPI de la traducción de la patente: 21.10.2013

(73) Titular/es:

PLANET BIOTECHNOLOGY, INC. (100.0%) 25571 CLAWITER ROAD HAYWARD, CA 94545, US

(72) Inventor/es:

YU, LLOYD, M.; WYCOFF, KEITH, L. y LARRICK, JAMES, W.

(74) Agente/Representante:

DE ELZABURU MÁRQUEZ, Alberto

5 DESCRIPCIÓN

10

15

20

25

35

40

45

50

55

60

Proteínas quiméricas del receptor de toxina mejoradas y proteínas quiméricas del receptor de toxina para el tratamiento y la prevención de anthrax

La presente invención se refiere a proteínas quiméricas del receptor de toxina, las inmunoadhesinas, su producción a partir de plantas, y su uso en el tratamiento y la prevención de la toxicidad y las enfermedades causadas por agentes patógenos.

Los receptores solubles y las proteínas de unión, que actúan como señuelo para toxinas y agentes patógenos y que mitigan la infección y la patogénesis, abren las puertas a la esperanza en el tratamiento y la prevención de la toxicidad y de enfermedades causadas por agentes patógenos.

Un ejemplo de una condición tratable con un receptor señuelo es la infección por carbunco. Se han identificado dos receptores de membrana del PA (antígeno protector, un componente tóxico del carbunco): el marcador endotelial tumoral 8 (TEM8) y la proteína de morfogenia capilar 2 (CMG2) (30,31). Se ha mostrado que las formas solubles de dominios extracelulares de ambas proteínas inhiben la intoxicación de células con receptores endógenos de toxina. La forma soluble de TEM8 inhibió la acción de la toxina letal en un 50% a 80 nM (IC50 = 80 nM) (Bradley, K. A., Mogridge, J., Mourez, M, Collier, R. J. & Young, J. A. Identification of the cellular receptor for anthrax toxin. Nature 414,225-9 (2001)). La proteína CMG2 mostró una afinidad con el PA de 170 pM, y un IC50 en el ensayo de protección macrófaga de 3,1 nM (67 ng/ml), convirtiéndose así en un potente inhibidor potencial de la acción de la toxina del carbunco (Scobie, H. M., Rainey, G. J., Bradley, K. A. & Young, J. A. Human capillary morphogenesis protein 2 functions as an anthrax toxin receptor. Proc Natl Acad Sci USA 100, 5170-4 (2003); Wigelsworth, D. J., Krantz, B. A., Christensen, K. A., Lacy, D. B., Juris, S. J. & Collier, R. J. Binding stoichiometry and kinetics of the interaction of a human anthrax toxin receptor, CMG2, with protective antigen. J Biol Chem 279, 23349-56 (2004)). En ensayos de cultivo celular, las formas solubles de CMG2 de dominios extracelulares neutralizaron el 50% de la actividad de la toxina letal en una proporción molar de 3:1 con el PA (Scobie et al. Proc Natl Acad Sci USA 100, 5170-4 (2003)). Sin embargo, la alta concentración de bacilos en sangre durante una infección activa sugiere que la concentración del PA puede ser bastante alta, y que se necesita una dosis alta de antitoxina para dar protección.

30 WO 03/064992 (PLANET) describe un complejo inmunoglobulínico quimérico de receptor de la toxina del carbunco que comprende una porción de cadena pesada de inmunoglobulina y una porción de cadena ligera de inmunoglobulina.

Para minimizar la cantidad de proteína de receptor señuelo necesaria para asegurar la eficacia, sería conveniente incrementar la actividad específica o la potencia del receptor señuelo aún más. Por lo tanto, siguen siendo necesarios potentes señuelos con mayor actividad y mayor farmacocinética.

El receptor señuelo descrito en el presente documento tiene varios inconvenientes, como son laboriosas técnicas de producción y costes altos asociados a los métodos de producción. Además, estos receptores señuelo tienen una estabilidad limitada como multímeros en condiciones ambientales adversas en las que la molécula puede incluso inactivar los patógenos. Así pues, es necesario desarrollar tecnologías de señuelo con una mayor estabilidad para mejorar el rendimiento y que se pueda producir en volúmenes comercialmente viables a un coste razonable.

La invención aporta una proteína quimérica de receptor tal y como se indica en cualquiera de las peticiones de 1 a 9.

En realizaciones preferidas, las proteínas quiméricas de receptor de toxina se expresan en plantas, incluyendo plantas monocotiledóneas y dicotiledóneas como parte del genoma de las plantas. El tabaco es una de las plantas preferidas para ello. La expresión en plantas, en contraposición a la expresión en células de mamífero cultivadas, favorece una importante reducción del coste de producción de las proteínas quiméricas de receptor de toxina.

En una realización preferida, todas las proteínas utilizadas para crear la toxina quimérica son proteínas de receptor expresadas en células heterólogas obtenidas a partir de plantas, vertebrados o invertebrados, como células de mamíferos, células del folículo piloso o células de tejidos vegetales cultivados.

En este documento se describen inmunoadhesinas que contienen receptores quiméricos de toxina. En algunas realizaciones, la inmunoadhesina es un multímero que contiene al menos dos proteínas quiméricas de receptor de toxina. En otras realizaciones, la inmunoadhesina incluye una proteína de receptor de toxina asociada a la cadena J. En otra realización, la composición de la inmunoadhesina unida a la cadena J se asocia a un componente secretor.

En una realización, la presente invención contempla una proteína quimérica de receptor de toxina que tiene una glicosilación específica de planta. Un gen que codifica un polipéptido que contiene en su secuencia de aminoácidos la señal de glicosilación asparagina-X-serina/treonina, en la que X puede ser cualquier resto de aminoácido, se glicosila mediante oligosacáridos unidos al residuo asparagina de la secuencia cuando se expresa en una célula de planta. Ver Marshall, Ann. Rev Biochem., 41:673 (1972) y Marshall, Biochem. Soc. Symp., 40:17 (1974) para una revisión general de la secuencia de polipéptidos que funcionan como señales de glicosilación. Estas señales son reconocidas por células tanto de mamífero como de planta. Al final de su maduración, las proteínas expresadas en plantas o en células vegetales tienen un modelo de glicosilación diferente al de las proteínas expresadas en otros

tipos de células entre las que se incluyen células de mamíferos e insectos. Estudios detallados que caracterizan la glicosilación específica de plantas y su comparación con la glicosilación en otros tipos celulares se han realizado, por ejemplo, en los estudios descritos por Cabanes-Macheteau et al., Glicobiología 9(4):365-372 (1999), y por Altmann, Glicoconjugación J. 14:643-646 (1997). Estos y otros grupos han demostrado que la glicosilación específica de plantas genera glicanos que tienen xilosa unida por enlaces β(1,2) a la manosa, pero la xilosa no está unida por enlaces β(1,2) a la manosa como resultado de la glicosilación en células de mamífero e insecto. La glicosilación específica de plantas da como resultado una fucosa unida por enlaces α(1,3) al GlcNAc proximal, mientras que la glicosilación en células de mamífero da como resultado una fucosa unida por enlaces α(1,6) al GlcNAc proximal. Adicionalmente, la glicosilación específica de plantas no da como resultado la adición de un ácido siálico al extremo de la proteína de glicano, mientras que en la glicosilación en células de mamífero se añade ácido siálico.

En otra realización, las composiciones anteriores son además asociadas con material de planta. El material de planta presente puede ser paredes celulares vegetales, orgánulos vegetales, citoplasmas vegetales, células vegetales intactas, semillas vegetales, plantas viables y similares. Los materiales vegetales o macromoléculas vegetales particulares que pueden estar presentes incluyen ribulosa bisfosfato carboxilasa, complejo ligero de cultivo, pigmentos, metabolitos secundarios o clorofila y sus fragmentos. Las composiciones de la presente invención pueden tener una concentración de proteína quimérica de receptor de toxina de entre 0,001% y 99,9% en masa, excluyendo el agua. En otras realizaciones, la proteína quimérica de receptor de toxina está presente en concentraciones de entre 0,01% y 99% en masa, excluyendo el agua. En otras realizaciones, las composiciones de la presente invención tienen material de planta o macromoléculas vegetales presentes a una concentración de 0,01% a 99% en masa, excluyendo el agua.

En otra realización, la invención proporciona métodos para reducir el potencial de unión con un antígeno patógeno tal como se establece en la reivindicación 12. La invención contempla un receptor quimérico de toxina definido para su uso como medicamento en pacientes o animales.

La invención incluye además una proteína quimérica de receptor de toxina para su uso anteriormente indicado en la prevención o el tratamiento de la infección por carbunco, o los efectos de la toxina del carbunco.

En otro aspecto, la invención aporta compuestos farmacéuticos que incluyen las proteínas quiméricas de receptor de toxina aquí descritas y un portador farmacéuticamente aceptable.

En otro aspecto, la invención proporciona un vector de expresión que codifica la proteína quimérica de receptor de toxina CMG2 tal v como se describe en este documento.

En otro aspecto, la invención proporciona métodos para producir una proteína quimérica de receptor de toxina tal y como se indica en las reivindicaciones 16 o 17.

También se contemplan alteraciones y modificaciones de la proteína de receptor o una parte de la misma, teniendo en cuenta que dichas modificaciones no destruyen la capacidad del receptor de unirse a la toxina, la sustancia tóxica, el patógeno o el componente patogénico.

- 40 Como se ha indicado anteriormente, las proteínas quiméricas de receptor de toxina de carbunco de la invención se pueden expresar en plantas y en diversas células heterólogas. En una realización preferida, todas las proteínas utilizadas para producir las proteínas quiméricas de receptor de toxina de la presente invención son proteínas humanas.
- En otro aspecto, la invención proporciona inmunoadhesinas que incluyen los receptores quiméricos de la toxina del carbunco aquí descritos, como por ejemplo, multímeros con al menos dos proteínas quiméricas del receptor de la toxina del carbunco, la proteína quimérica del receptor de la toxina del carbunco asociada a la cadena J, y la proteína quimérica del receptor de la toxina del carbunco asociada a la cadena J y al componente secretor.
 - En otras realizaciones, la presente invención contempla una proteína quimérica de receptor de toxina de carbunco con glicosilación específica de plantas y las composiciones anteriores asociadas además a material de planta.
- También se describe en el presente documento la reducción o prevención de la unión del antígeno protector (PA) de Bacillus anthracis con células huésped por contacto del PA con los receptores quiméricos de toxina de carbunco aquí descritos. Otros aspectos caracterizan los métodos para la reducción de la morbilidad y mortalidad del carbunco y la morbilidad y mortalidad debido al antígeno protector.
- En otros aspectos, la invención proporciona compuestos farmacéuticos como receptores quiméricos de la toxina de carbunco, vectores de expresión para dichos receptores y métodos de elaboración de dichos receptores.

Breve descripción de las figuras

20

25

30

La FIG. 1 muestra pSSPHuA2, vector en el que se han fusionado los ADN que codifican una molécula quimérica de ICAM-1 que contiene las primeras cinco regiones de la ICAM-1 humana y la región Fc de la IgA2m(2) humana [SEC

- ID N.º: 9,48]. Este vector contiene el promotor SuperMas para impulsar la expresión de un péptido señal y las regiones constantes de la cadena pesada de la IgA2m(2) humana. Las secuencias que codifican las regiones 1-5 de ICAM se amplificaron, mediante RCP, para contener emplazamientos de restricción convenientes (5' Spel y 3' Spel) para la inserción entre el péptido señal y la región Cα1. Se añadió ADN que codifica una señal de retención ER (RSEKDEL) [SEC ID N.º: 5] al extremo 3' de la cadena pesada con el fin de impulsar el nivel de expresión del constructo.
 - La FIG. 2 muestra una molécula quimérica de ICAM. 2A muestra el casete de expresión de ADN a partir del cual se ha producido la molécula quimérica de ICAM-1. 2B muestra la secuencia de aminoácidos, tras la escisión del péptido señal, de la forma madura de la proteína de fusión [SEC ID N.º: 8]. Los aminoácidos introducidos mediante el procedimiento de clonación están subrayados y marcan la unión entre los cinco dominios extracelulares de ICAM-1 y las regiones Cαl-Cα3 de la cadena pesada de la IgA2m(2). Los números en negrita indican los quince posibles puntos de glicosilación.

15

30

45

50

- La FIG. 3 muestra la expresión de la inmunoadhesina en callo de tabaco transformado de forma independiente. 3A muestra inmunoblots de geles no reductores de SDS-PAGE con muestras que contienen diferentes callos de tabaco transformados (C) y extractos acuosos (Aq) probados y sondeados para la presencia de ICAM humana.
- Los marcadores de peso molecular están indicados, y el patrón de referencia (R) fue una mezcla (~75 ng de cada) de ICAM humana (~75 kD) y SIgA humana (>>250 kD). 3B muestra inmunoblots de geles no reductores de SDS-PAGE que contienen diferentes fracciones de inmunoadhesina parcialmente purificada procedente del callo Rhi107-11. Las fracciones analizadas de la purificación fueron jugo (3), fracción G-100 (G), fracción G-100 esterilizada por filtración (SG), y una mezcla de patrones de referencia de SIgA humana (75 ng) (RS). Las transferencias se sondearon con anticuerpos frente a la ICAM humana (~ICAM), cadena pesada de la IgA humana (~a), componente secretor humano (~SC) y cadena J humana (~J). En segundo lugar, se usaron anticuerpos conjugados con enzimas según necesidad para etiquetar las bandas inmunopositivas con fosfatasa alcalina.
 - La FIG. 4 ilustra los resultados de un ensayo por inmunoabsorción ligado a enzimas (ELISA) mostrando la competición entre el extracto de planta y la ICAM-1 soluble por la unión a un mAb anti-ICAM. Para el ensayo, se revistieron placas de 96 pocillos con 0,25 μg/ml de ICAM-1 soluble. Los cuadrados representan la concentración creciente de sICAM y los círculos representan las cantidades crecientes de extracto de callo (fracción G-100 esterilizada por filtración) usada para competir con la ICAM adherida para una cantidad constante de un anticuerpo murino (ICAM anti-humano).
- La FIG. 5 ilustra los resultados de un ensayo que muestra la capacidad de una inmunoadhesina para inhibir el rinovirus humano causando la muerte a las células HeLa (ensayo de efecto citopático o ECP). 5A muestra los resultados de un ensayo que compara ECP de rinovirus humano sobre células HeLa en presencia de extractos parcialmente purificados que contienen bien la inmunoadhesina de la fusión ICAM-Fc (IC1-5D/IgA) o que contienen un anticuerpo frente a doxorubicina. (Los triángulos hacia arriba y hacia abajo representan dos extractos derivados de Rhi107-11, que contienen inmunoadhesina.) 5B muestra los resultados de un ensayo que compara ECP de rinovirus humano sobre células HeLa en presencia de ICAM-1 soluble humana o de un extracto procedente de la inmunoadhesina de la fusión ICAM-Fc (IC1-5D/IgA). La parte inferior muestra la ampliación de la escala en el intervalo de la IC50 de la ICAM soluble (1,35 μg/ml) y para IC1-5D/IgA (0,12 μg/ml; 11,3 veces menos).
 - La FIG. 6 muestra una evaluación de las necesidades de producción para fabricar 1 g de inmunoadhesina terminada. En este diagrama, se ilustra el número de plantas necesarias para 1 g de inmunoadhesina, con un rendimiento del 20%, con los niveles de expresión esperados y el peso de plantas. A diferentes niveles de expresión de inmunoadhesina (mg/kg de peso fresco) y una recuperación global (ajustada al 20%), se puede determinar el peso de cada planta, y de esta manera el número total de plantas para un objetivo de producción específico (1 g/cosecha) contenido en una ventana (cuadro punteado) de posibilidades razonables. El número de plantas necesarias disminuye, inversamente, con el número especificado de periodos de crecimiento y recrecimiento. La producción esperada de biomasa, que es función del tiempo y de las condiciones de crecimiento, influye sobre el momento de cosechar y el periodo entre cosechas. Estos periodos de crecimiento se pueden ajustar a las realidades del programa de purificación espaciando las fechas de plantación y cosechado.
 - La FIG. 7 muestra la codificación y la secuencia de los aminoácidos de cada uno de los genes y proteínas de inmunoglobulina relacionados en la Tabla 2. [SEC ID N.º: 15 a 47 y SEC ID N.º: 52 a 62].
- La FIG. 8 muestra las secuencias de plásmidos usados para transformar plantas, según se describe en el ejemplo 2, para uso en los estudios de la expresión de inmunoadhesinas de la presente invención.
 - La FIG. 8A muestra las secuencias de nucleótidos [SEC ID N.º: 9] y proteínas [SEC ID N.º: 48] de los plásmidos PSSpICAMHuA2.
- La FIG. 8B muestra las secuencias de nucleótidos y proteínas [SEC ID N.º: 10] del péptido señal de legúmina de 60 alubia.

ES 2 426 194 T3

- 5 La FIG. 8C muestra las secuencias de nucleótidos [SEC ID N.º: 11] y aminoácidos [SEC ID N.º: 50] del dominio de codificación de proteína de pSHuJ.
 - La FIG. 8D muestra las secuencias de nucleótidos [SEC ID N.º: 12] y aminoácidos [SEC ID N.º: 51] del dominio de codificación de proteína de pSHuSC.
 - La FIG. 8E muestra la secuencia de nucleótidos [SEC ID N.º: 13] de los plásmidos pBMSP-1.
- 10 La FIG. 8F muestra la secuencia de nucleótidos [SEC ID N.º: 14] de los plásmidos pBMSP-1spJSC.
 - La FIG. 9 contiene las secuencias de nucleótidos y proteínas SEC ID N.º: 1; SEC ID N.º: 2; SEC ID N.º: 3; SEC ID N.º: 4; SEC ID N.º: 5; SEC ID N.º: 6; SEC ID N.º: 7; SEC ID N.º: 8, para ICAM-1, IgA2 humana y otras secuencias de nucleótidos.
- La FIG. 10 muestra secuencia completa (SEC ID N.º: 98] de nucleótidos y aminoácidos (SEC ID N.º: 99) de la fusión de ATR-IgA2 (inmunoadhesina).
 - La FIG. 11 muestra la secuencia (SEC ID N.º: 100) entre los extremos del ADN-T del plásmido pGPTV-kan-ocs-ATR-IgA2.
 - La FIG. 12 muestra la secuencia (SEC ID N.º: 101) entre los extremos del ADN-T del plásmido pGPTV-hpt-ocs-35SJ/SC.
- La FIG. 13 muestra un ensayo de efecto citopático. ICAM-l/IgA2 (rombos) e ICAM-1 soluble (cuadrados) mezcladas en distintas concentraciones con rinovirus humano y, a continuación, se agregaron a células HeLa. La inhibición de la muerte celular se cuantificó a los 4 días.
- La FIG. 14 muestra la secuencia de aminoácidos del constructo CMG2-IgG y variantes. La cisteína en negrita (Cys185 de la secuencia anterior, y Cys218 de la secuencia publicada³¹) es el último aminoácido del dominio VWA/I. Los siguientes 14 aminoácidos (en cursiva) son parte de CMG2, pero no del dominio VWA/I. Las etiquetas encima de la secuencia indican los inicios de IgGI Cγ1, Cγ2 y Cγ3. La secuencia subrayada es la región bisagra IgG1. Las secuencias de variantes (VI, V2a, V2b y V3) están indicadas con guiones que representan los aminoácidos suprimidos. Los números sobre los aminoácidos en negrita indican los extremos amino-terminales de los segmentos fragmentados (descritos en el texto).
- La FIG. 15 es un gel de tintura plateada de proteína A purificada CMG2-IgG y 1H IgG. Las bandas 1 y 4, patrones de tamaño de proteína; la banda 2; CMG2-IgG reducida; la banda 3, 1H reducida; las bandas 5 y 6, CMG2-IgG no reducida de dos preparaciones separadas; la banda 7, 1H no reducida. Las muestras de proteína recombinante contienen 50 ng de proteína por banda. Representación en dibujo de inmunoadhesinas CMG2-IgG y posibles productos de degradación mostrados en la zona de la derecha.
- La FIG. 16 es una tinción con Coomassie SDS-PAGE de CMG2-IgG y variantes. Las bandas 1-7 migran bajo condiciones no reductoras. Las bandas 8-13 migran bajo condiciones reductoras (100 mM DTT). Las bandas 1 y 8, original CMG2-IgG; las bandas 2 y 9, V1; las bandas 3 y 10, V2a; las bandas 4 y 11, V2b; las bandas 5 y 12, V3; las bandas 6 y 13, CMG2-IgG + cadena kappa; la banda 7, marcadores de peso molecular.
- La FIG. 17 es un perfil de elución del CMG2-IgG V2b derivado de planta, fraccionado mediante cromatografía por exclusión de tamaño. La proteína A-purificada CMG2-IgG V2b procedente de la planta de tabaco se introdujo en una columna Tosoh G4000SW y se eluyó con PBS. Se monitorizó la proteína a una absorbancia de 280 nm. Se había calibrado la columna a los estándares de peso molecular antes de la ejecución. Los tiempos de retención y los pesos moleculares calculados se indican en los perfiles. El patrón interno ácido p-aminobenzoico (pico con un tiempo de retención de 15,3 minutos) se añadió a la muestra antes de la separación.
- La FIG. 18 muestra la neutralización de la citotoxicidad de la toxina letal gracias a variantes de CMG2-IgG. RAW 264.7 células macrófagas de ratón se expusieron al PA + LF a concentraciones en aumento (0 a 1,25 μg/ml) de cualquiera de los originales CMG2-IgG (cuadrados), CMG2-IgG V2b (rombos), o una irrelevante IgG de planta (círculos). Cada punto es el promedio de tres repeticiones.
- La FIG. 19 es un modelo de CMG2-IgG V2b. Representación hipotética de un homodímero de la antitoxina, unido a una molécula de PA. La antitoxina se representa como la unión mediante interacciones no-covalentes entre los dominios Cγ3, aunque puede haber un puente disulfuro en la región bisagra (entre CMG2 y Cγ2) en una fracción de las moléculas. La barra indica la escala. Los archivos de estructura provienen de la base de datos de proteínas, y las imágenes de los gráficos moleculares se hicieron utilizando los medios de UCSF Chimera, de Recursos de Bioinformática, Visualización e Informática de la Universidad de California, San Francisco (con apoyo de NIH P41 RR-01081). 54
 - La FIG. 20 muestra variantes de CMG2-kappa. La CMG2-kappa se expresó en N. bentamiana tanto con CMG2-IgG V1 como con CMG2-IgG V3 y las proteínas purificadas por la proteína A se sometieron a SDS-PAGE y fueron

5 teñidas con Coomassie. Las bandas 1 y 2 migraron bajo condiciones no reductoras. Las bandas 3 y 4 migraron bajo condiciones reductoras (100 mM DTT); la banda 5 corresponde a los marcadores de peso molecular.

Breve descripción de las tablas

La tabla 1 muestra las fronteras de los cinco dominios extracelulares de ICAM-1.

La tabla 2 muestra los números de acceso a la secuencia de GenBank para los genes de la cadena pesada de inmunoglobulina y las proteínas codificadas por esos genes.

La tabla 3 proporciona una lista de ejemplos de moléculas que muestran homología con ICAM-1 y que se pueden utilizar para crear otras proteínas quiméricas de receptor de toxina rinovirus.

La tabla 4 muestra los conocidos receptores de la botulina y los dominios de unión putativos.

La tabla 5 muestra el diseño del estudio para los estudios de provocación con rinovirus al azar llevados a cabo en el ejemplo 9.

La tabla 6 muestra la producción del receptor quimérico de toxina de carbunco por transfección continuada de hojas de N. bentamina tal y como se describe en el ejemplo 16.

La tabla 7 muestra la IC_{50} calculada y la proporción de concentración molar de la antitoxina al PA a $IaIC_{50}$ para el ejemplo 18.

20 La tabla 8 describe la estructura de diversas variantes quimérica de CMG-IgG en el ejemplo 19.

Descripción detallada

Definiciones

10

15

40

45

50

Según se usan en el presente documento, las siguientes abreviaturas y términos incluyen, pero no necesariamente se limitan a, las siguientes definiciones.

La práctica de la presente invención empleará, a no ser que se indique otra cosa, técnicas convencionales de inmunología, biología molecular, microbiología, biología celular y ADN recombinante, que están entre las habilidades de la técnica. Véase, por ejemplo, Sambrook, et al., Molecular Cloning: A Laboratory Manual, 2ª edición (1989); Current Protocols In Molecular Biology (F.M. Ausubel, et al. eds., (1987)); la serie Methods In Enzymology (Academic Press, Inc.); M.J. MacPherson, et al. eds. Pcr 2: A Practical Approach (1995); Harlow y Lane, eds, Antibodies: A
 Laboratory Manual (1988), y H. Jones, Methods In Molecular Biology vol. 49, «Plant Gene Transfer And Expression Protocols» (1995).

<u>Inmunoadhesina</u>: un complejo que contiene una molécula proteínica quimérica de receptor de toxina unido a una parte del dominio constante de la inmunoglobulina, y que en algún caso contiene componente secretor y cadena J.

Proteína quimérica de receptor de toxina: una proteína de un receptor de toxina que contiene al menos una parte de su secuencia de aminoácidos derivada del receptor de toxina y al menos una parte deriva de un complejo inmunoglobulínico.

Receptor de toxina: tal y como se usa en este documento, el término se refiere a cualquier polipéptido que se une a agentes patógenos como se define en el presente documento, toxinas o cualquier proteína, lipoproteínas, glicoproteínas, polisacáridos o lipopolisacáridos que provoquen o ayuden a provocar un efecto patogénico con suficiente afinidad y avidez para permitir que la proteína quimérica de receptor de toxina actúe como receptor señuelo. Por ejemplo, un receptor de toxina puede ser un receptor viral adjunto como ICAM-1, un receptor del rinovirus humano, o un receptor de una toxina bacteriana, como uno de los receptores de antígeno protector del carbunco o de la toxina botulínica. Los receptores de toxina, tal y como se usan aquí, deben contener como mínimo los elementos funcionales para unirse a los componentes tóxicos/patógenos pero pueden incluso tener uno o más polipéptidos adicionales.

Molécula de inmunoglobulina o anticuerpo: un polipéptido o proteína multimérica que contiene las porciones inmunológicamente activas de una cadena pesada de la inmunoglobulina y de una cadena ligera de la inmunoglobulina covalentemente emparejadas entre sí y capaces de combinarse específicamente con un antígeno. Las inmunoglobulinas o moléculas de anticuerpo son una gran familia de moléculas que incluye varios tipos de moléculas tales como IgM, IgD, IgG, IgA, IgA secretora (SIgA) e IgE.

<u>Complejo inmunoglobulínico</u>: un complejo polipeptídico que puede incluir una porción de una cadena pesada de inmunoglobulina o tanto una porción de cadena pesada de inmunoglobulina como una cadena ligera de inmunoglobulina. Los dos componentes se pueden asociar entre sí de varios modos, como por ejemplo por enlaces covalentes como puentes disulfuro.

- Porción de una cadena pesada de inmunoglobulina: tal y como se usa en este documento, el término se refiere a aquella región de una cadena pesada que necesariamente aporta al menos una de las siguientes propiedades a las proteínas quiméricas de receptor de toxina tal y como aquí se describe: capacidad de multimerización, funciones efectoras, capacidad de ser purificada por las proteínas G o A, o mejorar la farmacocinética. Normalmente, esto incluye por lo menos una parte de la región constante.
- 10 <u>Porción de una cadena ligera de inmunoglobulina</u>: tal y como se usa en este documento, el término se refiere a aquella región de una cadena ligera necesaria para mejorar la estabilidad de la descrita proteína quimérica de receptor de toxina y, por tanto, mejorar la producción. Normalmente, esto incluye por lo menos una parte de la región constante.
- Dominio constante de la cadena pesada: un polipéptido que contiene al menos una porción del dominio constante de la cadena pesada de inmunoglobulina. Normalmente, en su forma original, la cadena pesada de inmunoglobulina IgG, IgD e IgA contiene tres dominios constantes unidos a un dominio variable. IgM e IgE contienen cuatro dominios constantes unidos a un dominio variable. Tal y como se usa en este documento, los dominios constantes se numeran de manera secuencial desde la región proximal al dominio variable. Por ejemplo, en las cadenas pesadas de IgG, IgD e IgA, el nombre dado a los dominios es: dominio variable, dominio constante 1, dominio constante 2 y dominio constante 3. En el caso de IgM e IgE, el nombre dado a los dominios es: dominio variable, dominio constante 1, dominio constante 2, dominio constante 3 y dominio constante 4.
 - Cadena pesada de inmunoglobulina quimérica: una cadena pesada derivada de la inmunoglobulina que contiene al menos una porción de su secuencia de aminoácidos derivada de una cadena pesada de inmunoglobulina de distinto isotipo o subtipo o algún otro péptido, polipéptido o proteína. Normalmente, una cadena pesada de inmunoglobulina quimérica muestra su secuencia residual de aminoácidos derivada de al menos dos isotipos o subtipos de cadena pesada de inmunoglobulina diferentes.

25

30

35

50

55

60

- <u>Cadena J</u>: un polipéptido que está implicado en la polimerización de inmunoglobulinas y en el transporte de las inmunoglobulinas polimerizadas a través de las células epiteliales. Véase The Immunoglobulin Helper: The J Chain in Immunoglobulin Genes, p. 345, Academic Press (1989). La cadena J se encuentra en la IgM pentamérica y en la IgA dimérica y normalmente va unida mediante puentes disulfuro. La cadena J se ha estudiado tanto en ratones como en humanos.
- Componente secretor (SC): un componente de inmunoglobulinas secretoras que ayuda a proteger la inmunoglobulina de agentes inactivantes incrementando de esta manera la eficacia biológica de la inmunoglobulina secretora. El componente secretor puede proceder de cualquier mamífero o roedor incluyendo el ratón y el ser humano.
- <u>Unión</u>: tal como se usa en el presente documento, el término se refiere a cualquier secuencia de polipéptidos utilizada para facilitar el plegado y la estabilidad de un polipéptido recombinante. Preferiblemente, esta unión será flexible, por ejemplo, una compuesta por una secuencia polipeptídica como (Gly3Ser)3 o (Gly4Ser)3.
- Planta transgénica: planta diseñada por ingeniería genética o progenie de plantas diseñadas por ingeniería genética.

 La planta transgénica contiene normalmente material procedente de al menos un organismo no relacionado, como un virus, otra planta o un animal.
 - <u>Plantas monocotiledóneas</u>: plantas con flores cuyos embriones tienen una hoja o cotiledón en las semillas. Ejemplos de monocotiledóneas son: lirio, césped, maíz, gramíneas, como la avena, el trigo y la cebada, orquídea, iris, cebolla y palmera.
- 45 <u>Plantas dicotiledóneas</u>: plantas con flores cuyos embriones tienen dos hojas o cotiledones en las semillas. Ejemplos de dicotiledóneas son: tabaco, tomate, legumbres como la alfalfa, roble, arce, rosa, menta, calabaza, margarita, nogal, cactus, violeta y ranúnculo.
 - Glicosilación: La modificación de una proteína mediante oligosacáridos. Véase Marshall, Ann. Rev. Biochem., 41:673 (1972) y Marshall, Biochem. Soc. Symp., 40:17 (1974) para una revisión general de las secuencias de polipéptido que funcionan como señales de glicosilación. Estas señales son reconocidas por células tanto de mamífero como de planta.
 - Glicosilación específica de plantas: el modelo de glicosilación encontrado en las proteínas expresadas en plantas y que es distinto del encontrado en las proteínas fabricadas en células de mamífero o de insecto. Las proteínas expresadas en plantas o en células vegetales tienen un modelo de glicosilación diferente al de las proteínas expresadas en otros tipos de células entre las que se incluyen células de mamífero y células de insecto. Estudios detallados que caracterizan la glicosilación específica de plantas y su comparación con la glicosilación en otros tipos celulares han sido realizados por Cabanes-Macheteau et al., Glycobiology 9(4):365-372 (1999), Lerouge et al., Plant Molecular Biology 38:31-48 (1998) y Altmann, Glycoconjugate J. 14:643-646 (1997). La glicosilación específica de plantas genera glicanos que tienen xilosa ß (1,2) a manosa. Ni la glicosilación en mamíferos ni en insectos genera xilosa ß(1,2) a manosa. Las plantas no tienen un ácido siálico unido al extremo del glicano, mientras que las células de mamífero sí lo tienen. Además, la glicosilación específica de plantas da como resultado una fucosa α(1,3) al

5 GlcNAc proximal, mientras que la glicosilación en células de mamífero da como resultado una fucosa α(1,6) al GlcNAc proximal.

Antígeno patógeno: cualquier molécula, como por ejemplo, una toxina que provoque o favorezca un efecto patogénico. El antígeno patógeno puede o no ser capaz de estimular la formación de anticuerpos.

Receptor de toxina de carbunco: tal como se usa en el presente documento, el término se refiere a cualquier polipéptido que se una al antígeno protector (PA), uno de los tres componentes proteicos usados por el Bacillus anthracis para destruir las células huésped, con suficiente afinidad y avidez para permitir que la proteína quimérica de receptor de toxina actúe como receptor señuelo. En esta técnica se han identificado dos receptores endógenos de la toxina del carbunco. Receptor de la toxina del carbunco/Marcador tumoral endotelial 8 (ATR/TEM8) (Bradley et al., 2001) y Factor 2 de morfogenia capilar humana (CMG2) (Scobie et al., 2001). El dominio extracelular de estos ATR contiene un dominio VWA/I, descrito a continuación. El receptor de toxina del carbunco, tal como se usa en el presente documento, debe tener como mínimo los elementos funcionales para unirse al PA, pero también puede incluir uno o más polipéptidos adicionales (por ejemplo, unos que mejoren el uso del receptor de la toxina del carbunco como receptor señuelo) que se podría generar mediante la fragmentación de las secuencias de codificación en uno o más polipéptidos adicionales dentro de la secuencia de codificación del receptor de la toxina del carbunco.

<u>Dominio VWA/I</u>: tal como se usa en el presente documento, el término se refiere al dominio A del factor de Van Willebrand (dominio VWA), también comúnmente conocido como dominio de la integrina (dominio I), y consiste en un dominio dentro del dominio extracelular de los dos receptores conocidos de la toxina del carbunco, TEM8 y CMG2, y se cree que contiene un sitio de adhesión dependiente de ion metálico (MIDAS) esencial para una correcta unión del PA con el receptor.

<u>Proteína quimérica de receptor de la toxina del carbunco</u>: una proteína de un receptor de la toxina del carbunco en la que al menos una parte de su secuencia de aminoácidos deriva del receptor de toxina y al menos una parte deriva de un complejo inmunoglobulínico. El complejo inmunoglobulínico puede contener solo una parte de una cadena pesada de inmunoglobulina o puede contener tanto un parte de cadena pesada como una parte de cadena ligera.

30 Receptor de toxina botulínica: cualquier polipéptido que se una a una toxina botulínica con suficiente afinidad y avidez para permitir que la proteína quimérica del receptor de la toxina del carbunco actúe como receptor señuelo. Entre los ejemplos se incluyen SV2 y sinaptotagmina.

<u>Cantidad eficaz</u>: una cantidad eficaz de una inmunoadhesina de la presente invención es suficiente para inhibir notablemente una infección viral o bacteriana (según sea el caso), citotoxicidad o replicación; o reducir la gravedad o duración de la infección.

<u>Constructo o Vector</u>: un segmento de ADN artificialmente ensamblado para ser transferido a un tejido o célula diana de planta. Normalmente, el constructo incluirá el gen o genes de interés particular, un gen marcador y secuencias de control adecuadas. El término «plásmido» se refiere a una molécula de ADN extracromosómica autónoma y autorreplicante. A los constructos de plásmido que contienen elementos reguladores adecuados se les denomina también «casetes de expresión». En una realización preferida, el constructo de plásmido también contiene un marcador seleccionable, por ejemplo un gen de resistencia a los antibióticos.

<u>Marcador seleccionable</u>: un gen que codifica un producto que permite el crecimiento de tejidos transgénicos en un medio selectivo. Algunos ejemplos de marcadores válidos serían genes que se configuran para mostrar resistencia a los antibióticos, como la ampicilina, la kanamicina o similares. Otros marcadores válidos serán conocidos por las personas expertas en la técnica.

Proteínas quiméricas de receptor de toxina con estabilidad mejorada

25

35

40

45

50

55

60

Las proteínas quiméricas de receptor de toxina descritas en este documentos tienen un receptor de toxina asociado con un complejo inmunoglobulínico que a su vez tiene una cadena pesada de inmunoglobulina y una cadena ligera de inmunoglobulina. Una proteína de receptor de toxina se puede asociar con una cadena pesada, una cadena ligera, o ambas cadenas. En algunas realizaciones, una cadena J, ya sea sola o asociada con un componente secretor, va asociada con una proteína quimérica de receptor de toxina para formar una inmunoadhesina. En otras realizaciones, la proteína quimérica de receptor de toxina tiene una glicosilación específica de planta.

Sin ánimo de estar forzados por la teoría, se cree que las proteínas quiméricas de receptor de toxina descritas en el presente documento aportan ventajas importantes con respecto a los anticuerpos monoclonales existentes, a los usos profilácticos con receptor señuelo o a terapias tales como una actividad más alta debida a la multivalencia del receptor, a funciones efectoras de la inmunoglobulina Fc, la farmacocinética mejorada debido a la Fc, y a la reducción del coste de producción cuando se hace con plantas.

La ventaja de la multivalencia ha sido demostrada por medio de fusiones de los dominios extracelulares del ICAM-1 humano con las cadenas pesadas de la inmunoglobulina (Martin, S., Casasnovas, J. M., Staunton, D. E. & Springer, T. A. Efficient neutralization and disruption of rhinovirus by chimeric ICAM-1/immunoglobulin molecules. J Virol 67,

- 3561-8 (1993)). ICAM-1 es el receptor de membrana del rinovirus humano (HRV), un virus del resfriado común. Las inmunoadhesinas quiméricas son mucho más efectivas que el ICAM-1 soluble para inhibir la unión del HRV a las células y alterar la conformación de la cápside viral (Martin et al. J Virol 67, 3561-8 (1993)). Un compuesto ICAM-1/IgA2 (RhinoRx) con más de 10 veces la actividad específica de ICAM-1 soluble en la protección de las células contra el efecto citopático del HRV se ha expresado en tabaco transgénico.
- La presencia de una región Fc debe conferir funciones efectoras a la inmunoglobulina, tales como la capacidad de producir la lisis de las células en presencia de un complemento. Los dominios de la región constante de la cadena pesada de la inmunoglobulina confieren varias propiedades conocidas como funciones efectoras del anticuerpo sobre una molécula particular que contiene ese dominio. Algunos ejemplos de funciones efectoras son la fijación del complemento, trasferencia placentaria, unión a la proteína estafilocócica, unión a la proteína estreptocócica G, unión a células mononucleares, neutrófilos o mastocitos y basófilos. La asociación de regiones particulares y de isotipos de inmunoglobulinas particulares con estas funciones efectoras es bien conocida y se describe por ejemplo, en Immunology, Roitt et al., Mosby St. Louis, Mo. (1993 3ª ed.)

Además, el enlace de la Fc a la FcRn permitiría a las inmunoadhesinas persistir más tiempo en la circulación (Ober, R. J., Martínez, C., Vaccaro, C., Zhou, J. & Ward, E. S. Visualizing the Site and Dynamics of IgG Salvage by the MHC Class I-Related Receptor, FcRn. J Immunol 172,2021-2029 (2004)). Esto permitiría que la antitoxina se pudiera usar con fines profilácticos.

El aumento de la eficacia de la proteína quimérica de receptor de toxina y de la molécula de inmunoadhesina o complejo cuando se produce en la célula huésped, en el tejido huésped o en el organismo huésped, célula de planta, tejido de planta o planta intacto, conlleva un incremento en la producción de moléculas y una reducción del coste de producción cuando se procesan. Esta productividad podría ser el resultado de una mayor eficiencia en la producción de cadenas constituyentes de la proteína quimérica de receptor de toxina e inmunoadhesinas o complejos de inmunoadhesina y/o mayor eficacia en la asociación del complejo de inmunoadhesina. En el caso concreto de la proteína quimérica de receptor de toxina o inmunoadhesina que contienen tanto una porción de cadena pesada como de cadena ligera de inmunoglobulina, el aumento del nivel aparente de velocidad de la inmunoadhesina purificada o parcialmente purificada puede ser debido a una mayor disponibilidad de cadenas constituyentes, y/o a una unión más eficaz del complejo, y/o a receptores multivalentes o a la combinación de todas ellas.

Una persona entendida en el tema comprenderá que las proteínas quiméricas de receptor de toxina descritas en este documento pueden ser modificadas según sea necesario para eliminar los dominios sensibles a la acción de las proteasas e incluir uniones en caso necesario para mejorar la función y la estabilidad. Los métodos de introducción de estas modificaciones son muy conocidos en esta técnica; sin embargo, la naturaleza exacta de las modificaciones (por ejemplo, qué dominios quitar, la longitud y la ubicación de las uniones) no se conoce *a priori*.

Receptor de toxina

20

25

30

35

40

45

50

Un receptor de toxina es un polipéptido que se une a agentes patógenos, toxinas o cualquier proteína que provoquen o ayuden a provocar un efecto patogénico con suficiente afinidad y avidez para permitir que la proteína quimérica de receptor de toxina actúe como receptor señuelo. Por ejemplo, en realizaciones antivirales o antibacterianas, se usan una o más proteínas de receptor que se unen eficazmente a virus, bacterias o bacteria de interés o subcomponentes como proteínas producidas por los virus o bacterias y necesarias para que el virus o bacteria inicie los procesos para llevar a cabo sus efectos patógenos. Muchas de estas proteínas de receptor ya son conocidas y aquellos con conocimientos generales de la técnica las pueden aplicar para aspectos poco apropiados de la invención, sin llevar a cabo experimentos indebidos.

En la sección que lleva por título «Receptores quiméricos de la toxina del carbunco» se describen con más detalle los receptores del carbunco y los dominios apropiados para su uso en esta invención.

Complejo inmunoglobulínico

El complejo inmunoglobulínico puede incluir una porción de una cadena pesada de inmunoglobulina o una porción de cadena pesada y una de cadena ligera de inmunoglobulina. Los dos componentes se pueden asociar entre sí de varios modos, como por ejemplo por enlaces covalentes como puentes disulfuro. Los complejos inmunoglobulínicos se asocian con al menos una proteína de receptor de toxina. La unión se puede hacer por medio de enlaces covalentes, interacción iónica, puentes de hidrógeno, fuerzas de Van der Waals, una interacción metal-ligando o cualquier otro tipo de interacción.

55 Cadena pesada de inmunoglobulina

Las proteínas quiméricas de receptor de toxina contienen al menos una porción de cadena pesada de inmunoglobulina que en cantidad suficiente confieren la capacidad de multimerizar la proteína de receptor de carbunco asociada, confieren funciones efectoras a los anticuerpos, estabilizan la proteína quimérica en las plantas, permiten la capacidad de ser purificadas por las proteínas A o G, o mejoran la farmacocinética.

Estas propiedades son atribuidas por los dominios constantes de las cadenas pesadas. Si la proteína quimérica de receptor de toxina solo contiene una cadena pesada de inmunoglobulina, la porción de la cadena pesada del complejo inmunoglobulínico contiene preferentemente al menos los dominios CH2 y CH3, o mejor, solamente CH2 y CH3. En caso de que la proteína quimérica de receptor de toxina contenga tanto cadena pesada como ligera, la porción de la cadena pesada del complejo inmunoglobulínico debe contener también preferentemente un dominio CH1.

Personas expertas en la técnica fácilmente identificarán las secuencias de la región constante de la cadena pesada de inmunoglobulina. Por ejemplo, se pueden consultar un gran número de ADN inmunoglobulínico y de secuencias proteicas en el GenBank. La tabla 2 muestra los números de acceso a la secuencia de GenBank para los genes de la cadena pesada de inmunoglobulina y las proteínas codificadas por esos genes.

15 TABLA 2

Nº ACCESO GENBANK	SECUENCIA DE INMUNOGLOBULINA HUMANA	Nº SECUENCIA
J00220	Secuencia de codificación de dominio constante de cadena pesada $Ig_{\alpha}I$	15, 52
J00220	Secuencia de aminoácidos de dominio constante de cadena pesada $Ig_{\alpha}I$	16
J00221	Secuencia de codificación de dominio constante de cadena pesada de IgA_2	17, 53
J00221	Secuencia de aminoácidos de dominio constante de cadena pesada IgA_2	18
J00228	Secuencia de codificación de dominio constante de cadena pesada \lg_{Y} l	19, 54
J00228	Secuencia de aminoácidos de dominio constante de cadena pesada \lg_{Y} l	20
J00230 V00554	Secuencia de codificación de dominio constante de cadena pesada $\ensuremath{IgG_2}$	21, 55
J00230 V00554	Secuencia de aminoácidos de dominio constante de cadena pesada $\lg G_2$	22
X03604 M12958	Secuencia de codificación de dominio constante de cadena pesada $\lg G_3$	23, 57
X03604 M12958	Secuencia de aminoácidos de dominio constante de cadena pesada $\lg G_3$	24
K01316	Secuencia de codificación de dominio constante de cadena pesada IgG_4	25
K01316	Secuencia de aminoácidos de dominio constante de cadena pesada IgG ₄	26
K02876	Secuencia de codificación de dominio constante de cadena pesada IgD	27
K02876	Secuencia de aminoácidos de dominio constante de cadena pesada IgD	28, 30, 32
K02877	Secuencia de codificación de dominio constante de cadena pesada IgD	29
K02877	Secuencia de aminoácidos de dominio constante de cadena pesada IgD	28, 30, 32
K02878	Secuencia de codificación de cadena pesada IgD de Germline	31
K02878	Secuencia de aminoácidos de cadena pesada IgD de Germline	28, 30, 32
K02879	Secuencia de codificación de dominio C-δ-3 de cadena pesada IgD de Germline	33

ES 2 426 194 T3

Nº ACCESO GENBANK	SECUENCIA DE INMUNOGLOBULINA HUMANA	Nº SECUENCIA
K02879	Secuencia de aminoácidos C-δ-3 de cadena pesada IgD de Germline	28, 30, 32
K01311	Secuencia de codificación CH1, dominio C- δ , J- δ de cadena pesada de IgD de Germline	58
K01311	Secuencia de aminoácidos CH1, dominio C-δ, J-δ de cadena pesada de IgD de Germline	28, 30, 32
K02880	Secuencia de codificación de término secretado, dominio C, gen de cadena pesada de ldG de Germline	36
K02880	Secuencia de aminoácidos de término secretado, dominio C, gen de cadena pesada de ldG de Germline	28, 30, 32
K02881	Secuencia de codificación del primer dominio de término de membrana, dominio C, gen de cadena pesada de IgD de Germline	38
K02881	Secuencia de aminoácidos del primer dominio de término de membrana, dominio C, gen de cadena pesada de IgD de Germline	28, 30, 32
K02882	Secuencia de codificación de cadena pesada de IdD de Germline	40
K02882	Secuencia de aminoácidos de cadena pesada de IdD de Germline	28, 30, 32
K02875	Secuencia de codificación de dominio C-δ-1, dominio C, gen de cadena pesada de IgD de Germline	42
K02875	Secuencia de aminoácidos de dominio C-δ-1, dominio C, gen de cadena pesada de IgD de Germline	28, 30, 32
L00022 J00227 V00555	Secuencia de codificación de dominio constante de cadena pesada IgE	59
L00022 J00227 V00555	Secuencia de aminoácidos de dominio constante de cadena pesada IgE	60
X17115	Secuencia de codificación de secuencia completa de cadena pesada de IgM	61
X17115	Secuencia de aminoácidos de secuencia completa de cadena pesada de IgM	62

Por lo tanto, en ciertas realizaciones, la porción de la molécula quimérica derivada de la cadena pesada de inmunoglobulina puede contener menos de una cadena pesada completa, siempre y cuando contenga la porción suficiente para conferir las propiedades anteriormente descritas.

La cadena pesada de inmunoglobulina puede ser de cualquiera de los tipos de inmunoglobulina G (IgG₁, IgG₂, IgG₃ o IgG₄). La porción de la cadena pesada de inmunoglobulina puede contener CH1, CH2, o CH3 de las cadenas pesadas de IgG. También se contemplan varias combinaciones o subcombinaciones de estos dominios constantes.

Un experto en la técnica comprenderá que las inmunoglobulinas están formadas por dominios con aproximadamente 100 o 110 restos de aminoácidos. Estos dominios diversos son conocidos en la técnica y tienen limitaciones también conocidas. Gracias a la biología molecular moderna se puede realizar fácilmente la extracción de un solo dominio y su sustitución por un dominio de otra molécula de anticuerpo. Los dominios son estructuras globulares estabilizadas por puentes disulfuro intracadena. Esto les confiere una forma discreta y hace que los dominios sean una unidad individual que se pueda sustituir o intercambiar con otros dominios con una forma similar.

Inmunoglobulinas quiméricas de cadena pesada

10

15

20

En varios aspectos y realizaciones se observa una molécula quimérica de receptor de toxina cuyos dominios inmunoglobulínicos, que contienen la cadena pesada, derivan de diferentes isotipos de inmunoglobulinas de cadena pesada. Un experto en la técnica puede comprender que, mediante el uso de técnicas moleculares, se pueden

- sustituir estos dominios por otros similares y así, poder producir una inmunoglobulina híbrida entre dos moléculas diferentes de inmunoglobulina. Estas inmunoglobulinas quiméricas permiten que las inmunoadhesinas que se construyan contengan varias propiedades diferentes e interesantes, gracias a los diferentes dominios de las inmunoglobulinas que las forman.
- En ciertas realizaciones, las moléculas quiméricas de receptor de toxina contienen dominios de dos isotipos diferentes de cadenas pesadas de inmunoglobulina humana.

Consideramos inmunoglobulinas quiméricas de cadena pesada procedentes de distintas especies (humanas, murinas o de otros mamíferos). La presente invención considera la inmunoglobulina quimérica de cadena pesada que contiene dominios de inmunoglobulina derivados de al menos dos isotipos diferentes de inmunoglobulina de mamíferos. En general, se puede utilizar inmunoglobulina de cualquier tipo de mamífero en las realizaciones preferidas, como por ejemplo los siguientes isotipos: cualquier isotipo de IgG. La presente invención también contempla moléculas quiméricas que contienen dominios de inmunoglobulina derivados de dos isotipos diferentes de inmunoglobulina de roedor o primate. Los isotipos de inmunoglobulina de roedor o primate son bien conocidos en la técnica

Las moléculas quiméricas de la presente invención pueden contener cadenas pesadas derivadas de inmunoglobulina que incluyan al menos uno de los siguientes dominios: los dominios CH1, CH2 o CH3 de IgG, IgG1, IgG2a, IgG2b o IgG3 de murino; el dominio CH1 de IgG, IgG1, IgG2, IgG3 o IgG4 humana; los dominios CH1, CH2 o CH3 de un isotipo IgG de mamífero; los dominios CH1, CH2 o CH3 de un isotipo de IgG de animal.

La presente invención también contempla la sustitución o adición de dominios de proteína, procedentes de moléculas de la superfamilia génica de las inmunoglobulinas, en las moléculas quiméricas. Las moléculas que pertenecen a la superfamilia génica de las inmunoglobulinas presentan homología de residuo de secuencia de aminoácidos y de secuencia de nucleótidos con las inmunoglobulinas. Las moléculas que forman parte de la superfamilia génica de las inmunoglobulinas se identifican gracias a la homología con respecto a las secuencias de ácidos nucléicos y aminoácidos. Véase, por ejemplo, p. 361 de Immunoglobulin Genes, Academic Press (1989).

30 Inmunoglobulinas de cadena ligera

15

35

40

45

La porción de una cadena ligera de inmunoglobulina descrita en este documento es esa parte de la cadena ligera de inmunoglobulina suficiente para aumentar la estabilidad de los receptores quiméricos de toxina expresados. Se prefiere que las cadenas ligeras de esta invención incluyan, al menos, un dominio constante o una parte de un dominio constante suficientes para poder unirse a cualquiera de las cadenas pesadas aquí descritas. Así pues, la cadena puede tener menos de un dominio. La cadena ligera puede ser una cadena lambda o kappa.

La identidad del receptor de toxina unido mediante enlaces covalentes a la cadena ligera se puede ajustar de modo que afecte a la afinidad y la avidez de la proteína quimérica de receptor de toxina o inmunoadhesina. Por ejemplo, si el receptor de toxina, que está unido mediante enlaces covalentes a la cadena ligera, es el mismo receptor de toxina que el que está unido a la cadena pesada, el mismo receptor de toxina, pero con una secuencia de aminoácidos diferente, debido a la presencia de diferentes dominios de receptor, o un receptor alternativo para la misma toxina, puede provocar un aumento de la avidez de la proteína quimérica de receptor de toxina. Por otra parte, la cadena ligera se puede unir mediante enlaces covalentes al receptor de otra toxina, creando así una proteína quimérica de receptor de toxina adecuada para actuar como receptor señuelo contra múltiples toxinas.

La unión entre los dominios de las cadenas ligeras y el dominio variable puede hacerse a través de cualquier tipo de enlace. La unión puede ser, por ejemplo, un enlace flexible polipeptídico tal que (Gly3Ser)3.

Se contempla la posibilidad de que las cadenas ligeras descritas en este documento también se pueden presentar en variaciones similares a las descritas para las cadenas pesadas de esta invención. Por ejemplo, los dominios constantes de la cadena ligera pueden ser derivados de diferentes organismos o especies.

Unión entre el receptor de toxina y el complejo inmunoglobulínico

- La unión del complejo inmunoglobulínico y el receptor de toxina puede ocurrir por medio de un enlace entre la cadena ligera y el receptor de toxina, preferiblemente por un enlace entre la cadena pesada y el receptor de toxina, o mucho mejor, por ambos enlaces. Estos enlaces pueden tener lugar por medio de una unión que confiera suficiente flexibilidad a las inmunoadhesinas aquí descritas, de modo que actúen como receptor señuelo. Preferiblemente, una unión covalente como por ejemplo, un enlace peptídico covalente.
- La unión puede ser por ejemplo, una secuencia natural de aminoácidos, una región bisagra de la inmunoglobulina, como la que están entre los dominios CH2 y CH3 de IgG, o un enlace polipeptídico flexible y sintético, como (Gly3Ser)3 o (Gly4Ser)3. Un receptor quimérico de toxina puede contener cualquier número de enlaces diferentes.

Las immunoadhesinas

Las inmunoadhesinas son polipéptidos que contienen al menos una proteína quimérica de receptor de toxina de esta invención. En algunas realizaciones, las inmunoadhesinas descritas en el presente documento también contienen una cadena J y/o un componente secretor. En otras realizaciones, las inmunoadhesinas contienen más de una proteína quimérica de receptor de toxina.

La cadena J

20

25

30

35

40

45

50

55

60

Las inmunoadhesinas de la presente invención puede contener, además de las proteínas quiméricas de receptor de toxina, una cadena J unida a las cadenas pesadas derivadas de la inmunoglobulina. En realizaciones preferidas, la inmunoadhesina de la presente invención está formada por dos o cuatro proteínas quiméricas del receptor de la toxina del carbunco y una cadena J unida al menos a una de las proteínas quiméricas. En la técnica se describe y se conoce la cadena J. Véase, por ejemplo, M. Koshland, The Immunoglobulin Helper: The J Chain, in Immunoglobulin Genes, Academic Press, London, pg. 345, (1989) y Matsuuchi et al., Proc. Natl. Acad. Sci. U.S.A., 83:456-460 (1986). La secuencia de la cadena J se puede consultar en varias bases de datos de los Estados Unidos.

El componente secretor

La inmunoadhesina también puede tener un componente secretor unido a la proteína quimérica de receptor de toxina. Esta unión puede ser mediante puentes de hidrógeno, puentes disulfuro, enlaces covalentes, interacciones iónicas o combinaciones de todos estos tipos de unión.

La presente invención contempla el uso del componente secretor de un gran número de especies diferentes, como de humano, ratón, conejo, bóvido y similares. Las secuencias de nucleótidos para estas moléculas son conocidas en la técnica. Por ejemplo, la patente americana N.º 6.046.037 contiene muchas de estas secuencias. Las inmunoadhesinas de la presente invención que contienen el componente secretor, la proteína quimérica del receptor de la toxina del carbunco y la cadena J, suelen estar unidas por medio de uno de los siguientes enlaces: puentes de hidrógeno, puentes disulfuro, enlaces covalentes, interacciones iónicas o combinaciones de todos estos tipos de unión

Las inmunoadhesinas multiméricas

Las inmunoadhesinas pueden contener más de una molécula protéica de receptor, por ejemplo, pueden contener moléculas quiméricas de receptor de toxina, es decir, unidades monoméricas que no están unidas por puentes disulfuro a otras moléculas quiméricas de receptor de toxina. Las inmunoadhesinas pueden contener moléculas quiméricas de receptor de toxina unidas a otras moléculas quiméricas de receptor de toxina de modo que formen dímeros u otras moléculas multivalentes. La molécula quimérica de receptor de toxina se presenta normalmente en forma de dímero, pues se une con la porción inmunoglobulina de la molécula quimérica. La porción inmunoglobulina de la molécula quimérica de receptor de toxina permite que, debido a la unión de dos moléculas quiméricas del receptor de la toxina del carbunco, se forme una molécula dimérica con dos partes de unión activas formadas a partir de la porción proteína del receptor de toxina. En realizaciones preferidas, la dimerización tiene lugar mediante puentes disulfuro, normalmente, entre los dominios de inmunoglobulina como parte de una molécula de inmunoglobulina que ocurre de manera natural. Las personas expertas en esta técnica pueden entender que estos puentes disulfuro, presentes normalmente en moléculas de inmunoglobina naturales, se pueden modificar, mover y eliminar, y aun así, seguir manteniendo la capacidad de formar un dímero con moléculas quiméricas de receptor de toxina.

La inmunoadhesina multimérica puede estar formada por cuatro moléculas quiméricas de receptor de toxina, dos de las cuales, derivadas de la fusión del receptor de toxina y de la cadena pesada de inmunoglobulina, están unidas entre sí por puentes disulfuro, además, cada una de estas moléculas unidas por puentes disulfuro, están igualmente unidas a otra molécula quimérica de receptor de toxina que procede de la fusión del receptor de toxina y una cadena ligera de inmunoglobulina, de modo que la forma resultante tiene estructura tetramérica.

En otras realizaciones preferidas, la inmunoadhesina contiene formas multiméricas de la molécula quimérica de receptor de toxina gracias a la unión de la cadena J con la porción inmunoglobulina de la molécula quimérica de receptor de toxina. La unión de la cadena J con el dímero formado por dos moléculas quiméricas de receptor de toxina permite la formación de estructuras tetraméricas de la inmunoadhesina.

La glicosilación específica de plantas

En ciertas realizaciones de la presente invención, las inmunoadhesinas y las proteínas quiméricas de receptor de toxina descritas anteriormente son expresadas por métodos que generan proteínas con glicosilación específica de plantas. Es bien sabido en la técnica que la glicosilación es una importante modificación proteica de células eucarióticas de plantas, mamíferos o insectos (Lerouge et al., Plant Molecular Biology 38:31-48, 1998). El proceso de glicosilación comienza en el retículo endoplasmático con la transferencia de un oligosacárido precursor a un residuo específico de la cadena polipeptídica nascente. El proceso de transformación de este oligosacárido en diferentes tipos de glicanos, que difieren en los tipos de residuos presentes y en la naturaleza de los enlaces entre los residuos, se produce en la ruta secretora, a medida que la glicoproteína avanza desde el retículo endoplasmático hasta su destino final. Una persona experta en la técnica comprenderá que al final de su maduración, las proteínas

expresadas en plantas o en células de plantas tendrán un modelo de glicosilación diferente al que tienen las proteínas expresadas en otros tipos celulares, incluyendo células de mamífero y células de insecto. Se han realizado estudios detallados que describen la glicosilación específica de plantas y su comparación con la glicosilación en otros tipos celulares. Véase, por ejemplo, Cabanes-Macheteau et al., Glycobiology 9(4):365-372 (1999), y Altmann, Glycoconjugate J. 14:643-646 (1997). Estos y otros grupos han demostrado que la glicosilación específica de plantas genera glicanos que tienen xilosa unida por enlaces β(1,2) a manosa, si bien la xilosa no está unida por enlaces β(1,2) a manosa como resultado de la glicosilación en células de mamífero e insecto. La glicosilación específica de plantas da como resultado una fucosa unida por enlaces α(1,3) a GlcNAc proximal, mientras que la glicosilación en células de mamífero da como resultado una fucosa unida por enlaces α(1,6) al GlcNAc proximal. Adicionalmente, la glicosilación específica de plantas no da como resultado la adición de un ácido siálico al extremo terminal de la proteína de glicano, mientras que en la glicosilación en células de mamífero se añade ácido siálico.

Las secuencias de aminoácidos de todos los polipéptidos que forman las inmunoadhesinas y la proteína quimérica de receptor de toxina de esta invención son conocidas. Una persona experta en la técnica sabrá que los sitios de glicosilación son el tripéptido Asn-X-Ser/Thr, en el que X puede ser cualquier aminoácido, a excepción de la prolina y el ácido aspártico (Kornfeld y Kornfeld, Annu Rev Biochem 54:631-664, 1985). Por lo tanto, un experto en la técnica también sabrá cuáles de los aminoácidos de los polipéptidos que forman las proteínas descritas en el presente documento tienen glicosilación específica de plantas.

En otros aspectos y realizaciones preferidas de la presente invención, la inmunoadhesina con glisocilación específica de plantas, está formada, además, por una cadena J y un componente secretor asociados a la molécula quimérica ya mencionada. Como era el caso con respecto a la molécula quimérica, una persona experta en la técnica será capaz de identificar los emplazamientos de glicosilación específica de plantas en las secuencias de la cadena J y del componente secretor.

Si se desea, la glicosilación específica de plantas puede ser modificada añadiendo secuencias que dirijan el proceso de post-traducción del polipéptido de planta, que forma las proteínas quiméricas de receptor de toxina y las inmunoadhesinas, hacia otros sitio que no sea el retículo endoplasmático, de modo que se genere un proceso de glicosilación post-traduccional en el que se reduzcan sustancialmente, o incluso se eliminen, los enlaces xilosa y fucosa. Si se añade la secuencia KDEL, que codifica el C-terminal de la inmunoglobulina, se obtiene este tipo de glicosilación modificada.

En otros aspectos y realizaciones preferidas de la invención puede ser conveniente eliminar la N-glicosilación o la O-glicosilación, o incluso ambas formas de glicosilación, en especial si no es necesaria la interacción del receptor Fc para producir una proteína/inmunoadhesina quimérica funcional de receptor de toxina, para así prevenir, o tratar, los efectos patológicos de un virus, una bacteria, un hongo o una molécula tóxica producida o presentada en el sujeto al que se le administra el producto.

Los derivados funcionales

20

25

30

35

40

45

50

55

60

En el presente documento también se describen derivados funcionales de la inmunoadhesina y de la proteína quimérica de receptor de toxina. Por "derivado funcional" se entiende un «derivado químico», «fragmento» o «variante» del polipéptido o ácido nucleico de la invención que retiene al menos una parte de la función de la proteína, por ejemplo la reactividad con un anticuerpo específico de la proteína, actividad enzimática o actividad de enlace, que permite su utilidad según la presente invención. Es bien conocido en la técnica que, debido a la degeneración del código genético, numerosas secuencias diferentes de ácidos nucleicos pueden codificar la misma secuencia de aminoácidos. Igualmente es bien conocido en la técnica que se pueden realizar cambios conservativos en los aminoácidos para llegar a una proteína o polipéptido que retenga la funcionalidad del original. En ambos casos, se pretende que todas las permutaciones queden abarcadas por esta memoria descriptiva.

Los derivados también se pueden diseñar según procedimientos de rutina para incluir una etiqueta de purificación por afinidad de manera que se pueden producir grandes cantidades y/o cantidades relativamente puras o aisladas de inmunoadhesina. Existen muchas versiones de etiquetas que se pueden incorporar en uno o más componentes de la inmunoadhesina, preferiblemente sin destruir la actividad de enlace deseada de la inmunoadhesina en ausencia de la etiqueta. Dichas etiquetas se pueden diseñar en forma de una secuencia de ácidos nucleicos que se puede expresar fusionada con las secuencias de ácidos nucleicos que codifican las inmunoadhesinas de la invención. Las etiquetas también se pueden diseñar para que se puedan eliminar, por ejemplo, mediante una enzima comercialmente disponible.

Además, es posible borrar codones o sustituir uno o más codones con otros codones que no sean degenerados para producir un polipéptido estructuralmente modificado, pero con la misma utilidad o actividad que el polipéptido producido por la molécula de ácido nucleico no modificada. Tal y como se reconoce en la técnica, los dos polipéptidos pueden ser equivalentes funcionales, tal y como ocurre con las dos moléculas de ácido nucleico que causan su producción, incluso aunque las diferencias entre las moléculas de ácido nucleico no estén relacionadas con la degeneración del código genético.

- Se pueden implementar manipulaciones de este tipo, así como la derivatización química tras la producción, por ejemplo, para mejorar la estabilidad, la solubilidad, la absorción, el efecto biológico o terapéutico, y/o la semivida biológica. Los restos capaces de mediar estos efectos se desvelan en, por ejemplo, Remington's Pharmaceutical Sciences, 18ª ed., Mack Publishing Co., Easton, Pa. (1990). Un derivado funcional, que se pretende abarcar en la presente invención, es un polipéptido "variante" que carezca de uno o más aminoácidos, que contenga aminoácidos adicionales o de reemplazo en relación al polipéptido natural. El variante puede proceder de un componente compuesto natural si se modifica adecuadamente la secuencia de codificación del ADN de la proteína para añadir, eliminar y/o modificar los codones de uno o más aminoácidos en uno o más sitios del C-terminal, N-terminal y/o en la secuencia natural. Se entiende que estas variantes que tienen aminoácidos añadidos, sustituidos y/o adicionales retienen una o más porciones caracterizantes de la proteína nativa, tal como se ha descrito anteriormente.
- Se puede preparar un derivado funcional de una proteína con restos de aminoácidos borrados, insertados y/o sustituidos, mediante técnicas convencionales que ya conocen las personas expertas en la técnica. Por ejemplo, los componentes modificados de los derivados funcionales se pueden producir usando técnicas de mutagénesis dirigida a la posición (como se ejemplifica por Adelman et al., 1983, DNA 2:183) en la que los nucleótidos de la secuencia de codificación del ADN se modifican para producir una secuencia de codificación modificada, y posteriormente expresar el ADN recombinante en una célula huésped procariota o eucariota, usando técnicas como las anteriormente descritas. Alternativamente, las proteínas con deleciones, inserciones y/o sustituciones de aminoácidos se pueden preparar convenientemente mediante síntesis química directa, usando procedimientos bien conocidos en la técnica. Los derivados funcionales de las proteínas exhiben normalmente la misma actividad biológica cualitativa que las proteínas naturales.
- Además, las inmunoadhesinas de la invención pueden ser, no solo inmunoadhesinas quiméricas de receptor Ig modificadas, sino también abarcar otros miembros naturales de la familia de las proteínas de receptor, isotipos, y/u otras secuencias de aminoácidos homólogas, por ejemplo de ser humano, primate, roedor, canino, felino, bovino, aviar, etc. El tipo de Ig usado en las inmunoadhesinas puede variar, por ejemplo, puede asumir una identidad de un miembro diferente de la familia de las Ig, incluido o no en una especia dada. Las Igs son diversas y tienen 15 secuencias bien conocidas, a través de las cuales, una persona no experta en la técnica puede aprovechar para crear inmunoadhesinas diferentes que tengan una utilidad más o menos diferente en un organismo dado sometido a tratamiento.

Las proteínas quiméricas del receptor de la toxina del carbunco y las inmunoadhesinas

- La invención también incluye las proteínas quiméricas del receptor de la toxina del carbunco según se establece en la reivindicación 1. Opcionalmente, con el fin de mejorar la estabilidad, también se puede incluir en el compuesto una cadena ligera de inmunoglobulina. Por otra parte, se puede incluir en el complejo un receptor de la toxina del carbunco asociado a la cadena ligera de inmunoglobulina o a un fragmento de cadena ligera, en ambos casos preferiblemente en el N-terminal, para mejorar la estabilidad y/o aportar receptores adicionales de la toxina del carbunco y potenciar el enlace con la toxina del carbunco.
- Una proteína de receptor de toxina se puede asociar con una cadena pesada, una cadena ligera, o ambas cadenas. En algunas realizaciones, una cadena J y un componente secretor, van asociados con una proteína quimérica de receptor de toxina para formar una inmunoadhesina. En otras realizaciones, la proteína quimérica de receptor de toxina tiene una glicosilación específica de planta.
 - La proteína quimérica de receptor de la toxina del carbunco
- Las proteínas quiméricas del receptor de la toxina del carbunco descritas en el presente documento contienen al menos una proteína del receptor de la toxina del carbunco unida a un complejo inmunoglobulínico que contiene una cadena pesada de inmunoglobulina.
 - El receptor de la toxina del carbunco

50

- El receptor de la toxina del carbunco es cualquier polipéptido que se una al antígeno protector (PA) con suficiente afinidad para permitir que la proteína quimérica de receptor de toxina actúe como receptor señuelo.
 - El receptor de la toxina del carbunco según este documento es un factor 2 de morfogenia capilar humana (CMG2) (Scobie et al., 2001). El receptor funciona como una proteína transmembrana tipo 1 y tiene, al igual que un péptido señal, un dominio extracelular y una región transmembrana de paso único. Se han podido predecir varias isoformas proteicas, incluso variantes solubles, mediante el proceso de *splicing*.
- El receptor de la toxina del carbunco, descrito en el presente documento, debe contener como mínimo elementos funcionales para unirse al PA y puede contener también uno o más polipéptidos adicionales (por ejemplo alguno que facilite el uso del receptor de la toxina del carbunco como receptor señuelo). Los dominios que unen el ATR al PA se han determinado correctamente (32-27). El dominio A del factor de Van Willebrand (dominio VWA), también conocido como dominio de la integrina (dominio I), contiene un sitio de adhesión dependiente de ion metálico (MIDAS) esencial para una correcta unión del PA con el receptor. Véase Scobie HM, Rainey GJ, Bradley KA, Young JA (2003) Human capillary morphogenesis protein 2 functions as an anthrax toxin receptor. Proc

5 Natl Acad Sci USA 100: 5170-5174. Bradley KA, Mogridge J, Mourez M, Collier RJ, Young JA (2001) Identification of the cellular receptor for anthrax toxin. Nature 414:225-229. En realizaciones preferidas, la proteína del receptor de la toxina del carbunco contiene el dominio extracelular completo del receptor.

Al receptor de la toxina del carbunco de esta invención le faltan los 14 aminoácidos que no forman parte del dominio VWA/I. Esta secuencia de 14 aminoácidos y su secuencia nucleótida correspondiente se pueden ver a continuación:

TEILELQPSSVCVG (SEC ID N.º: 102)

10

15

30

35

40

60

act gaa atc cta gaa ttg cag ccc tca agt gtc tgt gtg ggg (SEC ID N.º: 103)

Los vectores, las células y las plantas que contienen proteínas quiméricas de receptor de toxinas e inmunoadhesinas

La presente invención también contempla los vectores de expresión y clonación, las células y las plantas que contienen los receptores quiméricos de toxina y las inmunoadhesinas de la presente invención. La tecnología para aislar los genes que codifican las diferentes porciones proteína es bien conocida de una persona experta en la técnica y se puede aplicar para insertar los diferentes genes necesarios en los vectores de expresión y los vectores de clonación de forma que dichos vectores se puedan transfectar a células eucariotas tales como células de plantas, plantas y plantas transgénicas.

La presente invención contempla un método de ensamblaje de una inmunoadhesina siguiendo estos pasos: introducir dentro de un organismo de un segmento de ADN codificado a una molécula quimérica de proteína de receptor, cadena J, e introducir, dentro del mismo organismo, ADN codificado a componente secretor. El componente secretor de preferencia contiene como mínimo un segmento de los residuos 1 al 606 de aminoácidos de la secuencia de aminoácidos de la inmunoglobulina polimérica humana (plgR) o residuos de aminoácidos análogos de otras especies (Mostov, Ann Dev. Immu. 12:63-84 1994). De entre las secuencias del componente secretor que se utilicen, junto con la llamada en adelante plgR humana, están las que contienen al menos un segmento de los residuos 1 al 627 de aminoácidos de la plgR humana.

La presente invención contempla células eucariotas, entre las que se incluyen las células de plantas que contienen los receptores quiméricos de toxina y las inmunoadhesinas de la presente invención. La presente invención también contempla células vegetales con secuencias nucleótidas que codifican los diversos componentes de los receptores quiméricos de toxina y las inmunoadhesinas de esta invención. Una persona experta en la técnica comprenderá que la secuencia de nucleótidos que codifican el componente de secreción de la proteína protectora, la molécula de la proteína quimérica de receptor y la cadena J se unirán normalmente a un promotor y se presentarán como parte de un vector o casete de expresión. Si la célula eucariota es de planta, normalmente, el promotor que se use será uno que pueda operar en una célula de planta. Una vez separados los genes de las proteínas de receptor, los del componente secretor y los de la cadena J, estos operan normalmente unidos a un promotor de transcripción de un vector de expresión. La presente invención también contempla vectores de expresión, cuya secuencia nucleótida codifica la molécula de proteína quimérica de receptor y está unida a una secuencia reguladora para su expresión. Estos factores de expresión sitúan la secuencia de nucleótidos que se va a expresar en la célula 3' de una secuencia promotora que hace que se transcriba y se exprese la secuencia de nucleótidos. El vector de expresión también puede contener secuencias de mejora que favorezcan la eficacia de la transcripción. Además, para incrementar la cantidad de secuencia de nucleótidos que se transcribe dentro de una célula en concreto, se pueden incluir secuencias como por ejemplo terminadores, emplazamientos de poliadenilación u otras señales del extremo

La expresión de los componentes del organismo de elección puede ser causada por un plásmido de replicación independiente, por un componente permanente del cromosoma, o por cualquier fragmento de ADN que pueda dar lugar a transcripciones que codifican los componentes. Los organismos adecuados para la transformación pueden ser tanto procariotas como eucariotas. La introducción de los componentes del compuesto se puede hacer por transformación directa de ADN, por biolística hacia el interior del organismo o a través de otro organismo, como por ejemplo, con ayuda de la acción recombinante de la *Agrobacterium* en las células vegetales. La expresión proteica en los organismos transgénicos requiere una co-introducción de un elemento promotor adecuado y una señal de poliadenilación. En una realización de la invención, el elemento promotor causa potencialmente la expresión constitutiva de los componentes de todas las células de una planta. La expresión constitutiva que tiene lugar en la mayoría o en todas las células garantiza que los precursores puedan ocupar el mismo sistema de endomembranas necesario para que tenga lugar el ensamblaje.

Los vectores de expresión

Para expresar los genes de la presente invención se han usado, preferiblemente, vectores de expresión compatibles con las células huésped. Los vectores de expresión que se usan normalmente para la expresión génica de plantas son bien conocidos en la técnica e incluyen vectores procedentes de plásmidos inductores de tumores (Ti) de *Agrobacterium tumefaciens*, descritos por Rogers et al., Meth. in Enzymol., 153:253-277 (1987). Sin embargo, se sabe que otros muchos sistemas de vectores de expresión también funcionan en plantas. Véase por ejemplo, Verma et al., PCT Publication No. WO87/00551; y Cocking and Davey, Science, 236:1259-1262 (1987).

Los vectores de expresión descritos anteriormente presentan elementos de control de expresión tales como promotores. Los genes que se expresan se unen a un vector de expresión para permitir a la secuencia promotora que ejecute la unión y la síntesis del ARN polimerasa del gen codificador polipéptido deseado. En la expresión génica son útiles los promotores, pues son inducibles, virales, sintéticos, constitutivos y regulados. La elección de qué vector de expresión utilizar y, en última instancia, a qué promotor se debe unir operativamente una parte de la secuencia nucleótida que codifica parte de la inmunoadhesina de la presente invención, depende directamente, como ya se conoce en la técnica, de las propiedades funcionales deseadas, por ejemplo, de la localización y el tiempo de la expresión proteica y de la célula huésped que se transforme, siendo estas limitaciones inherentes en la técnica de construcción de moléculas del ADN recombinante. Sin embargo, un vector de expresión útil para poner en práctica la presente invención debe tener al menos la capacidad de permitir la replicación, y preferiblemente, permitir también la expresión del gen codificante del polipéptido incluido en el segmento de ADN al que está unido.

En realizaciones preferidas, el vector de expresión utilizado para expresar los genes contiene un marcador de selección efectivo en células vegetales, preferiblemente un marcador de selección de resistencia a drogas. Un marcador de resistencia a drogas preferido es el gen cuya expresión da como resultado la resistencia a la kanamicina, es decir, contiene un gen quimérico compuesto del promotor de nopalina - sintasa, la región codificadora de Tn5 que codifica la enzima neomicin - fosfotransferasa y el terminador 3' de nopalina - sintasa, tal y como lo describen Rogers et al., en Methods For Plant Molecular Biology, Weissbach y H. Weissbach, eds., Academic Press Inc., San Diego, California (1988). Un vector de expresión de plantas útil se puede adquirir en Pharmacia, Piscataway, N.J. Los vectores de expresión y los promotores de expresión de proteínas extrañas en plantas fueron descritos en las patentes americanas Nºs 5.188.642, 5.349.124, 5.352.605 y 5.034.322.

25 La construcción de vectores de expresión

20

30

35

55

60

Se han desarrollado diversos métodos para unir el ADN a vectores mediante extremos complementarios de cohesión. Por ejemplo, se pueden añadir regiones de homopolímeros complementarios al segmento de ADN para insertarlos en el vector de ADN. El vector y el segmento de ADN están unidos por puentes de hidrógeno a las colas complementarias de homopolímeros para formar moléculas de ADN recombinante. Por otra parte, se pueden usar enlaces sintéticos con uno o más endonucleasas de restricción para unir el segmento de ADN al vector de expresión. Se añaden enlaces sintéticos a los segmentos de ADN romo; para ello se incuban los segmentos de ADN romo con gran cantidad de moléculas de enlace sintéticas en presencia de una enzima con capacidad de catalizar la formación de enlaces entre las moléculas de ADN romo; un ejemplo de esta enzima sería la ADN ligasa T4 procedente de un bacteriófago. Así, los productos resultado de la reacción son segmentos de ADN que transportan secuencias sintéticas de enlace en sus extremos. Una endonucleasa de restricción apropiada corta los segmentos de ADN que luego se unen para formar un vector de expresión. Este vector se rompe por la acción de una enzima que produce terminales compatibles con los del enlace sintético. Los enlaces sintéticos que contienen varios sitios de restricción están disponibles en el mercado en numerosas fuentes como New England BioLabs, Beverly, Mass.

Las secuencias de nucleótidos que codifican el componente secretor, la cadena J y la molécula de proteína quimérica de receptor descrita en la presente invención, se introducen en la misma célula de planta, ya sea directamente o introduciendo cada componente en una célula de planta, regenerando una planta y utilizando métodos de hibridación cruzada de varios componentes para producir la célula de planta final de modo que contenga todos los componentes necesarios.

La expresión de receptores quiméricos de toxina y de inmunoadhesinas

Para introducir las secuencias nucleótidas que codifican los componentes de los receptores quiméricos de toxina y las inmunoadhesinas de la presente invención, podemos utilizar cualquier método. Entre los métodos de introducción de genes en plantas encontramos, por ejemplo, la *Técnica de Agrobacterium* para formación de plantas, la transformación de protoplasma, la transferencia génica al polen, la inyección dentro de los órganos reproductores y la inyección dentro del embrión maduro. Cada uno de estos métodos tiene ventajas y desventajas. Así pues, un método concreto para introducir genes en una célula eucariótica en particular, puede no ser el método más efectivo para otra célula eucariótica u otra especie de planta.

Las plantas

Entre los métodos de introducción de genes en plantas encontramos, por ejemplo, la *Técnica de Agrobacterium* para la transformación de plantas, la transformación de protoplasma, la transferencia génica al polen, la inyección dentro de los órganos reproductores y la inyección dentro del embrión maduro. Cada uno de estos métodos tiene ventajas y desventajas. Así pues, un método concreto para introducir genes en una célula eucariótica en particular, puede no ser el método más efectivo para otra célula eucariótica y especie de planta.

La introducción de los genes en las células vegetales se puede hacer de manera transitoria para producir de manera rápida una proteína deseada sin alterar de forma permanente o estable el genoma de una planta ni su descendencia. Un ejemplo de cómo realizar esta expresión transitoria sería por infiltración de los espacios de aire intracelulares en las hojas de una planta intacta mediante una suspensión de *Agrobacterium tumefaciens* que contenga el gen o los genes de interés de un vector binario y cultivando dichas hojas para, luego, proceder a la

extracción de la proteína. Voinnet O, Rivas S, Mestre P, Baulcombe D (2003) An enhanced transient expression system in plants based on suppression of gene silencing by the pl9 protein of tomato bushy stunt virus. The Plant Journal 33: 949-956.

10

15

20

25

30

35

60

La Técnica de Agrobacterium tumefaciens es un sistema popularmente utilizado de transfección génica en células vegetales, pues el ADN se puede introducir en tejidos vegetales completos, transfiriendo la necesidad de regeneración desde una planta intacta a un protoplasma. El uso de vectores de expresión por la Técnica de Agrobacterium para introducir ADN en células vegetales es conocido en esta técnica. Véase, por ejemplo, los métodos descritos por Fraley et al., Biotechnology, 3:629 (1985) y Rogers et al., Methods in Enzymology, 153:253-277 (1987). Además, la integración del ADN de Ti es un proceso relativamente exacto, no siendo necesario realizar muchas modificaciones. La región del ADN que se transfiere queda delimitada por los bordes de las secuencias y el ADN interviniente se inserta normalmente en el genoma de la planta tal y como describe Spielmann et al., Mol. Gen. Genet., 205:34 (1986) y Jorgensen et al., Mol. Gen. Genet, 207:471 (1987). Hay modernos vectores de transformación por la Técnica de Agrobacterium que son capaces de replicar tanto Escherichia coli como Agrobacterium, por lo tanto permiten que se hagan las manipulaciones convenientes, tal y como describe Klee et al., en Plant DNA Infectious Agents, T. Hohn y J. Schell, eds., Springer-Verlag, New York, pp. 179-203 (1985). Además, los recientes avances tecnológicos en los vectores de transferencia por la Técnica de Agrobacterium han mejorado la disposición de los genes y los sitios de restricción en los vectores para facilitar la construcción de vectores capaces de expresar diversos genes que codifican para polipéptidos. Los vectores que describe Rogers et al., Methods in Enzymology, 153:253 (1987), muestran sitios polilinker, flanqueados por un promotor, y un emplazamiento de poliadenilación, para una expresión directa de los genes transfectados que codifican para polipéptidos, y que son, por tanto, apropiados para este fin.

Para las especies vegetales en las que la *Técnica de Agrobacterium* es eficiente, este es el método de elección debido a su carácter fácil y definido en lo que respecta a la transfección génica. La *Técnica de Agrobacterium* para transformar hojas de discos y otros tejidos parece estar limitada a las especies vegetales que sufren infecciones naturales por *Agrobacterium tumefaciens*. Por lo tanto, la *Técnica de Agrobacterium* es más eficaz en plantas dicotiledóneas.

Muy pocas monocotiledóneas parecen ser huéspedes naturales de *Agrobacterium*, si bien, se han producido algunas plantas transgénicas usando la *Técnica de Agrobacterium*, tal y como describe Bytebier et al., Proc. Natl. Acad. Sci. U.S.A., 84:5345 (1987). Por lo tanto, cereales importantes desde el punto de vista comercial como el arroz, el maíz y el trigo se deben transformar usando métodos alternativos. La transformación de protoplastos vegetales se puede realizar con métodos basados en el precipitado de fosfato calcio, con tratamiento con polietilenglicol, con electropermeabilización y con combinaciones de estos tratamientos. Véase, por ejemplo, Potrykus et al., Mol. Gen. Genet., 199:183 (1985); Lorz et al., Mol. Gen. Genet, 199:178 (1985), Fromm et al., Nature, 319:791 (1986); Uchimiya et al., Mol. Gen. Genet., 204:204 (1986); Callis et al., Genes and Development, 1:1183 (1987); y Marcotte et al., Nature, 335:454 (1988).

40 La aplicación de estos métodos a distintas especies de plantas depende de la capacidad de regeneración de esa especie de planta a partir de protoplastos. Los métodos ilustrativos para la regeneración de cereales a partir de protoplastos están descritos en Fujimura et al., Plant Tissue Culture Letters, 2:74 (1985); Toriyama et al., Theor Appl. Genet, 73:16 (1986); Yamada et al., Plant Cell Rep., 4:85 (1986); Abdullah et al., Biotechnology, 4:1087 (1986).

Para transformar especies vegetales que no se puedan regenerar a partir de protoplastos, se pueden utilizar otros métodos de transfección de ADN a células intactas o a tejidos. Por ejemplo, la regeneración de cereales a partir de embriones inmaduros o explantos se puede realizar tal y como describe Vasil, Biotechnology, 6:397 (1988). Además, también se pueden utilizar "pistolas de partículas" o microproyectiles de alta velocidad. Con esta tecnología, el ADN se transporta a través de la pared celular y entra en el citoplasma sobre la superficie (0,525 µm) de pequeñas partículas metálicas, aceleradas a velocidades de uno o varios cientos de metros por segundo, según describe Klein et al., Nature, 327:70 (1987); Klein et al., Proc. Natl. Acad. Sci. U.S.A., 85:8502 (1988); y McCabe et al., Biotechnology, 6:923 (1988). Las partículas metálicas penetran en varias capas celulares y por lo tanto permiten la transformación de las células dentro del tejido explanto. Las partículas metálicas se usan para transformar con éxito las células de maíz y para producir plantas de tabaco y soja fértiles de transformación estable. La transformación de tejido de explantos evita el paso por una fase protoplástida, y por lo tanto, acelera la producción de plantas transgénicas.

También se puede insertar el ADN en plantas mediante transfección directa de ADN en el polen, tal y como describe Zhou et al., Methods in Enzymology, 101:433 (1983); D. Hess, Intern Rev. Cytol., 107:367 (1987); Luo et al., Plant Mol. Biol. Reporter, 6:165 (1988). La expresión de genes que codifican para polipéptidos se puede obtener inyectando ADN en los órganos reproductores de la planta, según describe Pena et al., Nature, 325:274 (1987). El ADN también se puede inyectar directamente en las células de embriones inmaduros y en células rehidratadas de embriones disecados, tal y como describe Neuhaus et al., Theor. Appl. Genet., 75:30 (1987); y Benbrook et al., in Proceedings Bio Expo 1986, Butterworth, Stoneham, Mass., pp. 27-54 (1986).

La regeneración de plantas a partir de protoplastos de plantas individuales o de varios explantos es bien conocida en la técnica. Véase, por ejemplo, Methods for Plant Molecular Biology, A. Weissbach and H. Weissbach, eds.,

Academic Press, Inc., San Diego, Calif. (1988). Este proceso de regeneración y crecimiento incluye los siguientes pasos: selección de las células diana y de brotes, enraizamiento de los brotes transformantes y crecimiento de las plantas en suelo.

La regeneración de las plantas que contienen el gen extraño introducido por la *Técnica de Agrobacterium tumefaciens*, procedente de hojas de explantos, se puede conseguir según lo describe Horsch et al., Science, 227:1229-1231 (1985). Según este procedimiento, los transformantes crecen en presencia de un agente de selección en un medio que induce la regeneración de los brotes en las especies vegetales en transformación, tal y como lo describen Fraley et al., Proc. Natl. Acad. Sci. U.S.A., 80:4803 (1983). Por este procedimiento se suelen producir brotes en un plazo de dos a cuatro semanas y estos brotes transformantes se transfieren posteriormente a un medio inductor adecuado para la formación de raíces con un agente selectivo y un antibiótico para prevenir la proliferación de bacterias. Los brotes transformantes que forman raíz en presencia del agente selectivo para formar plantas, son transplantados a la tierra para favorecer la producción de raíces. Estos procedimientos pueden variar en función de la especie de planta particular que se use, siendo estas variaciones conocidas en la técnica.

Las inmunoadhesinas de la presente invención se pueden producir a partir de cualquier célula de planta, como por ejemplo, de células procedentes de plantas dicotiledóneas o monocotiledóneas, solanáceas, alfalfa, legumbres, semillas oleaginosas como el cártamo, o el tabaco.

Las plantas transgénicas de la presente invención se pueden obtener a partir de especies de plantas susteptibles a la polinización cruzada, usando cualquier método de transformación conocido por una persona experta en la técnica. Entre las especies de plantas útiles están las dicotiledóneas como el tabaco, el tomate, las legumbres, la alfalfa, el roble o el arce; o las monocotiledóneas como la hierba, las plantas de grano, la avena, el trigo o la cebada; o plantas con baja capacidad de fecundación, como las gimnospermas, las coníferas, las colas de caballo, los musgos, las hepáticas, los hornabeques, las algas, los gametofitos, los esporofitos o los teridofitos.

Las células eucariotas

10

15

20

25

30

35

40

45

50

55

60

La presente invención también contempla la expresión de los receptores quiméricos de toxina y las inmunoadhesinas dentro de células eucariotas como pueden ser las células de mamíferos. Una persona entendida en la técnica comprenderá los diversos sistemas disponibles para la expresión en células de mamíferos, y podrá modificar fácilmente estos sistemas de modo que se puedan expresar las inmunoadhesinas y las moléculas quiméricas de receptor de proteína.

Los compuestos que contienen receptores quiméricos de toxina y las inmunoadhesinas

La presente invención también contempla compuestos que contienen los receptores quiméricos de toxina o las inmunoadhesinas de la presente invención, junto con macromoléculas o material de plantas. Normalmente, estas macromoléculas o material de plantas proceden de alguna planta útil para la presente invención. Las macromoléculas de planta están presentes, junto con el receptor quimérico de toxina o la inmunoadhesina presentes en esta invención, en por ejemplo una célula de planta, en un extracto de una célula de planta o en una planta. Las macromoléculas de planta típicas en un compuesto son la ribulosa bifosfato carboxilasa, los pigmentos del complejo cosechador de luz (LHCP), los metabolitos secundarios o la clorofila. Los compuestos de la presente invención tienen material de planta o macromoléculas vegetales presentes a una concentración de 0,01% a 99% en masa excluyendo el agua. Otras composiciones tienen los receptores quiméricos de toxina o las inmunoadhesinas de la presente invención a una concentración de entre el 1% y el 99% en masa excluyendo el agua. Otras composiciones incluyen los receptores quiméricos de toxina y las inmunoadhesinas a una concentración de entre el 50% y el 90% en masa excluyendo el agua.

Las composiciones de la presente invención pueden contener material de planta o macromoléculas vegetales a una concentración de 0,1% a 5% en masa excluyendo el agua. Normalmente, la masa presente en la composición consistirá en macromoléculas de plantas y en los receptores quiméricos de toxina o en las inmunoadhesinas de la presente invención. Cuando las proteínas de la presente invención están presentes a concentraciones más altas o más bajas, la concentración de las macromoléculas de plantas presentes en la composición varía inversamente. En otras realizaciones, la composición de las moléculas de planta se presenta a concentraciones entre el 0,12% y el 1% en masa excluyendo el agua.

La presente invención contempla la composición de materia formada por todos o algunos de estos componentes: una molécula quimérica de receptor de proteína, una cadena J o un componente secretor. Estos componentes forman un compuesto y están asociados tal y como se describió anteriormente. La composición también puede contener moléculas procedentes de plantas. Esta composición se puede obtener también después de un proceso de extracción que genere un receptor funcional quimérico de toxina o una inmunoadhesina y moléculas procedentes de plantas.

El método de extracción indica que hay que aplicar una fuerza a un planta que contenga la composición, donde, por medio de un compartimento apoplástico de la planta, este se rompe y libera dicha composición. La fuerza aplicada rompe el compartimento y libera el líquido apoplástico. La planta completa, o el extracto de planta, contiene una mezcla de receptor quimérico de toxina/inmunoadhesina y otras moléculas de planta. Entre las moléculas de la

- mezcla se encuentra la ribulosa bifosfato carboxilasa (RuBisCo) o fragmentos de la misma. Otra de las macromoléculas es el LHCP. Otra de las moléculas es la clorofila. Otros de los métodos útiles para preparar las composiciones son la extracción de varios solventes y la aplicación de vacío al material de la planta. Las composiciones de la presente invención pueden contener material o macromoléculas de planta a una concentración de 0,1% a 5% en masa excluyendo el agua.
- La presente invención también contempla que la proporción relativa de las moléculas de plantas y las moléculas de animales puede variar. Las cantidades de las proteínas específicas de planta, tales como RuBisCo o la clorofila, pueden ser tan pequeñas como 0,01% de la masa o tan grandes como 99,9% de la masa del extracto, excluyendo el agua.
- La presente invención también contempla las composiciones terapéuticas que se podrán usar en el tratamiento de un paciente o de un animal. La administración de la composición terapéutica se podrá hacer antes o después de la extracción de la planta u otro organismo transgénico. Una vez extraído el receptor quimérico de toxina/inmunoadhesinas se puede purificar mediante técnicas convencionales, tales como exclusión por tamaño, intercambio iónico o cromatografía de afinidad. Se pueden coadministrar moléculas de planta junto con el compuesto.
- La presente invención también contempla el uso de los extractos de plantas con fines terapéuticos y que contienen receptores quiméricos de toxina/inmunoadhesinas sin ninguna purificación adicional del compuesto terapéutico específico. La administración puede ser por vía tópica, ingestión oral, spray nasal o cualquier otro método adecuado para liberar los receptores quiméricos de toxina/inmunoadhesinas al patógeno diana que afecta a la mucosa.

Los compuestos farmacéuticos, las fórmulas y las vías de administración

- Los receptores quiméricos de toxina/inmunoadhesinas descritos en el presente documento se pueden administrar a pacientes en forma de un compuesto farmacéutico adecuado. Dicha composición puede incluir componentes adicionales o sustitutos de los descritos anteriormente. Es preferible que cuando se administre el compuesto, este aporte propiedades terapéuticas, profilácticas o ambas. La preparación de dichos compuestos se puede hacer usando los métodos rutinarios de la técnica y en cualquiera de las formas, ya sean soluciones líquidas, suspensiones o emulsiones, o cualquier forma sólida adecuada para su disolución en un líquido antes de la ingestión. Las técnicas de formulación y administración de polipéptidos y proteínas se pueden encontrar en Remington's Pharmaceutical Sciences, Mack Publishing Co., Easton, Pa., última edición. Por medio de estos procedimientos, cualquier persona no experta puede usar las inmunoadhesinas de la invención con éxito sin realizar experimentos indebidos.
- 35 Las vías de administración

Las vías de administración adecuadas para la invención pueden ser por ejemplo: vía oral, nasal, por inhalación, intraocular, faringeal, bronquial, transmucosa, intravenosa, intramuscular, intraperitoneal o intestinal. Por otra parte, también se puede administrar el compuesto de manera localizada, por ejemplo, por inyección u otra aplicación del compuesto sobre un lugar de acción preferido.

40 Las formulaciones

45

55

60

Los compuestos farmacéuticos de la presente invención se pueden fabricar por medios ya conocidos, como por ejemplo, procesos de mezclado convencional, disolución, granulación, fabricación de grageas, suspensión, emulsión, encapsulación, atrapamiento o liofilización. Se pueden utilizar uno o más agentes transportadores fisiológicamente válidos, que contengan excipientes y/u otros componentes auxiliares, para favorecer el procesamiento de los principios activos en la preparación farmacéutica. La fórmula adecuada dependerá de la vía de administración escogida.

En el caso de las preparaciones inyectables, los agentes de la invención se pueden formular como soluciones acuosas, preferiblemente soluciones tamponadas fisiológicamente compatibles, como la solución de Hanks, la solución de Ringer o una solución salina tamponada.

50 En el caso de una administración transmucosa, se usan agentes penetrantes adecuados para atravesar la barrera. Estos agentes penetrantes son conocidos de la técnica.

En el caso de la administración por vía oral, la formulación se hará fácilmente combinando los compuestos activos con vehículos farmacéuticamente aceptables que ya son conocidos en la técnica. Estos vehículos permiten que los compuestos de la invención se puedan formular en forma de comprimidos, pastillas, grageas, cápsulas, formas líquidas, geles, jarabes, soluciones acuosas, suspensiones y similares, administrados por vía oral para el tratamiento a pacientes. Los vehículos adecuados contienen excipientes, tales como azúcares (lactosa, sucrosa, manitol y/o sorbitol) o preparaciones de celulosa (almidón de maíz, de trigo, de arroz, de patata, gelatina, goma tragacanto, metilcelulosa, hidroxipropilmetilcelulosa, carboximetilcelulosa de sodio y/o polivinilpirrolidona (PVP)). Si se desea, se pueden añadir agentes desintegrantes como la polivinilpirrolidona sintética, el agar o el ácido algínico, o una sal como el alginato sódico.

- Las grageas tienen un recubrimiento adecuado, para el que se utilizan soluciones concentradas de azúcar que pueden contener goma arábica, talco, polivinilpirrolidona, geles carbómeros, polietilenglicol y/o dióxido de titanio, soluciones lacquer y solventes orgánicos adecuados, o mezclas de solventes. Se pueden añadir colorantes o pigmentos a los recubrimientos de las píldoras o grageas para su identificación o bien para marcar diferentes combinaciones de las dosis del ingrediente activo.
- Las composiciones farmacéuticas para su administración por vía oral son cápsulas rígidas de gelatina y cápsulas blandas selladas hechas de gelatina y de un plastificante, como el glicerol o el sorbitol. Las cápsulas rígidas pueden contener principios activos en la mezcla con excipientes como la lactosa, aglutinantes como los almidones y/o lubricantes como el talco o el estearato de magnesio y, opcionalmente, también estabilizadores. En las cápsulas blandas, los principios activos deben ir disueltos o en suspensión en líquidos adecuados, como aceites pastosos, parafina líquida o polietilenglicoles líquidos. Además también se pueden añadir estabilizadores. Todas las formulaciones para su administración por vía oral se deben presentar en dosis adecuadas para su correcta administración.

Para la administración bucal, los componentes pueden adquirir la forma de comprimidos o de pastillas, formulados de manera convencional o bajo forma de un gel hidrosoluble.

Para la administración por inhalación, los componentes indicados en la presente invención deben administrarse por medio de un aerosol en spray bajo la forma de inhaladores presurizados de dosis medidas o nebulizadores, utilizando un propelente apropiado, como por ejemplo diclorodifluorometano, triclorofluorometano, diclorotetrafluoroetano, dióxino de carbono u otros gases adecuados. En el caso de aerosoles presurizados, una válvula deberá liberar una dosis unitaria previamente medida. Las cápsulas y los cartuchos, por ejemplo de gelatina, de los inhaladores o de los insufladores, pueden contener un polvo mezcla del componente y un polvo de base adecuado, como la lactosa o el almidón.

Por otra parte, el principio activo puede ser en polvo y habrá que reconstituirlo con un vehículo adecuado, por ejemplo, agua estéril sin pirógenos, antes de su uso.

Además, las composiciones también se pueden formular en preparaciones depot. Estas formulaciones de acción prolongada se pueden administrar por medio de implantes (ya sean subcutáneos o intramusculares) o por inyecciones intramusculares. Así pues, por ejemplo, las composiciones se pueden formular con excipientes poliméricos o hidrofóbicos (como una emulsión en un aceite válido), con resinas de intercambio iónico o con pequeñas cantidades de derivados solubles.

Además, las composiciones serán administradas mediante un sistema de liberación prolongada, como matrices semipermeables de polímeros hidrofóbicos sólidos que contengan un agente terapéutico. Se han establecido varias composiciones de liberación prolongada que son conocidas por personas expertas en la técnica. Las cápsulas de liberación prolongada, en función de su naturaleza química, pueden liberar la composición por un período desde unas semanas hasta 100 días. Dependiendo de la naturaleza química y de la estabilidad biológica del reagente terapéutico, se pueden utilizar estrategias adicionales para la estabilización protéica.

40 Las composiciones farmacéuticas también pueden contener sólidos, vehículos alfa-gel o excipientes. Como ejemplo de estos vehículos o excipientes, se mencionan, aunque no se limita a ellos, el carbonato de calcio, el fosfato de calcio, varios azúcares, almidones, derivados de la celulosa, la gelatina, y polímeros tales como los polietilenglicoles.

Se pueden formar sales compatibles a nivel farmacéutico con muchos ácidos, como el clorhídrico, el sulfúrico, el acético, el láctico, el tartárico, el málico, el succínico, el cítrico, etc. Las sales suelen ser solventes y son las formas base correspondientes. En las disoluciones, la manipulación del pH se realiza de manera habitual para optimizar las propiedades deseadas.

Establecer dosis efectivas y regímenes de dosificación

35

45

50

Las composiciones farmacéuticas adecuadas para el uso de la presente invención deben contener cantidades efectivas de los principios activos para conseguir el objetivo deseado, ya sean objetivos terapéuticos o profilácticos. Una cantidad efectiva, desde el punto de vista farmacéutico, implica que la cantidad del compuesto debe ser efectiva para prevenir, aliviar o mejorar los síntomas de la enfermedad, o para prolongar la vida del sujeto que se está tratando. Las personas expertas en la técnica podrán determinar cuál es la cantidad efectiva desde el punto de vista farmacéutico. Normalmente, se considera una cantidad diaria de entre 0,5 pg/kg y 500 g/kg, con dosis individuales que suelen contener entre 1 y varios nanogramos de inmunoadhesina.

Para cualquiera de los ingredientes usados en los métodos de la invención, la dosis terapéuticamente efectiva se estima inicialmente mediante ensayos de cultivo celular. Por ejemplo, se administran diferentes dosis a distintos animales o cultivos celulares y se compara su efecto. De este modo, se pueden identificar los rangos de concentraciones deseadas y preparar y administrar así dichas cantidades. La optimización es un proceso rutinario para una persona no experta en la técnica.

Una persona experta, además de tener en cuenta la efectividad farmacéutica, también considera la toxicidad con respecto a los procedimientos farmacéuticos estándar en cultivos celulares o en experimentos con mamíferos, como por ejemplo, para establecer la DL₅₀ (la dosis letal para el 50% de la población) y la ED₅₀ (la dosis terapéutica efectiva para el 50% de la población). La relación entre los efectos tóxico y terapéutico es lo que se conoce como índice terapéutico y se expresa como una proporción entre la DL₅₀ y la ED₅₀. Los compuestos preferidos son los que muestran altos índices terapéuticos. Los datos obtenidos en los ensayos con cultivos celulares y en los estudios con animales se usan para establecer un rango de dosis para los humanos. La dosificación de dichos compuestos se establece, preferiblemente, dentro de un rango de concentraciones que incluya la ED₅₀ a baja toxicidad o a ninguna. La dosificación puede variar, dentro de este rango, en función de las dosis unitarias utilizadas y la vía de administración. El médico podrá establecer la formulación exacta, la vía de administración y la dosis en función de la condición de cada paciente. (Véase, p. ej., Fingl et al., (1975), en The Pharmacological Basis of Therapeutics, cap.

La dosis y la frecuencia de administración se pueden ajustar para mantener los valores plasmáticos del receptor quimérico de toxina o de la inmunoadhesina y así, aportar un efecto farmacéutico, bien sea terapéutico o profiláctico. La concentración mínima eficaz (CME) podrá variar en cada formulación, pero se podrá establecer partiendo de datos in vitro y/o in vivo. Las dosis necesarias para obtener la CME dependen de las características de cada individuo y de la vía de administración. Sin embargo, los ensayos como los que se describen en el presente documento, se pueden utilizar para determinar las concentraciones plasmáticas, que posteriormente se podrán optimizar en lo que respecta a la cantidad y a la formulación.

Los rangos de dosis se pueden establecer también teniendo como referencia el valor de la CME. Las composiciones se pueden administrar usando un régimen que mantenga los valores plasmáticos por encima de la CME durante el 10-90% del tiempo, durante el 30-90% del tiempo, o preferiblemente, durante el 50-90% del tiempo.

Si se desea, la presentación del compuesto puede ser en forma de un dispensador que contenga una o más dosis unitarias del principio activo. El acondicionamiento debe estar formado por una lámina de metal o plástico, como por ejemplo un blíster. El dispositivo o dispensador debe ir acompañado de las instrucciones de administración. El dispensador también debe ir acompañado de una nota, adherida al envase y prescrita por una agencia gubernamental que regule la fabricación, el uso o la venta de fármacos. Dicha nota reflejará la aprobación de esa agencia en lo que respecta a la forma de la inmunoadhesina para su administración en humanos y en animales. En la nota debe incluirse una etiqueta que indique la aprobación, por ejemplo, de la U.S. Food and Drug Administration para la prescripción de fármacos, en el caso de los Estados Unidos, o bien debe incluir el inserto indicando que el producto ha sido aprobado. Las composiciones que contienen un ingrediente de la invención, formuladas de un modo farmacéuticamente compatible, también se pueden preparar, disponer en un envase adecuado y etiquetar para el tratamiento de una condición indicada, como por ejemplo, para el tratamiento o la profilaxis de una enfermedad mediada por las moléculas de receptor de proteína de un organismo/paciente hospedador.

Métodos de tratamiento y prevención de la infección

20

25

30

35

50

55

A un paciente que necesite un tratamiento, ya sea terapéutico o profiláctico, con los receptores quiméricos de toxina/inmunoadhesinas de la invención (por ejemplo, contra una infección por carbunco) se le puede administrar una cantidad eficaz, desde el punto de vista farmacéutico, de los receptores quiméricos de toxina/inmunoadhesina deseados, preferiblemente, de una composición farmacéutica establecida, producida y administrada según descrito anteriormente. Estas formulaciones y formas de presentación pueden variar enormemente. A continuación se describen los procedimientos preliminares que se pueden utilizar para deducir las cantidades eficaces y la toxicidad, y que además se pueden usar para establecer los parámetros y los regímenes terapéuticos y profilácticos, tanto en humanos como en animales. Estos procedimientos son meramente ilustrativos y no se deben limitar a la invención. Además, son procedimientos rutinarios para una persona no experta en la técnica.

Capacidad del receptor quimérico de toxina/inmunoadhesina de reducir la infectividad en humanos: estudio sobre la escala de tolerancia a dosis

Se deben probar los receptores quiméricos de toxina/inmunoadhesinas de la presente invención, por ejemplo, haciendo estudios aleatorios controlados para determinar el efecto según la vía de administración (intravenosa o intramuscular en caso de infección). También se pueden usar otras vías de administración. Existen varios estudios que se pueden utilizar para monitorizar los efectos. Mediante estos estudios se puede evaluar en qué medida, los receptores quiméricos de toxina/inmunoadhesinas que se administren a los pacientes pueden tratar o prevenir la infección. Por ejemplo, se puede observar a sujetos infectados, o no infectados pero expuestos a la infección, a los que se les hayan administrado los receptores quiméricos de toxina/inmunoadhesinas y evaluarlos, después de un tiempo, para valorar la progresión de la enfermedad en comparación con sujetos similares infectados o expuestos a la infección pero a los que no se les ha tratado.

60 Los receptores quiméricos de toxina/inmunoadhesinas de la presente invención, se pueden fabricar en forma de solución salina tamponada, con cantidades variables de los receptores quiméricos de toxina/inmunoadhesinas, y administrarse al paciente en varios intervalos. Se harán estudios con dosis únicas ascendentes y con dosis múltiples ascendentes para evaluar la seguridad de la inmunoadhesina. En cada caso, se evaluará a uno o más sujetos para

5 cada valor de dosificación; a algunos se les administrará la inmunoadhesina y a uno o varios, un placebo. En ambos estudios se evaluarán los valores de las dosis múltiples. Los valores de las dosis pueden variar, pero normalmente se encuentran en rangos de nanogramo a gramo.

Las dosis se pueden administrar en un plazo de segundos, minutos, horas, semanas y meses, y se evalúa la toxicidad y el efecto farmacológico.

- Mediante, por ejemplo, exámenes visuales de la mucosa nasal en busca de signos de irritación o inflamación, se evaluarán la seguridad y la toxicidad. Según los métodos rutinarios, se deben hacer estudios de toxicidad de la sangre usando ensayos de sensibilidad, como ELISA, para establecer varios componentes sanguíneos, entre los que se incluyen cantidades plasmáticas de inmunoadhesinas y rinovirus. También se deberían realizar, según los métodos rutinarios, pruebas de lavado nasal.
- Para determinar la eficacia y la toxicidad previstas para los tiempos, en pacientes individuales y/o en poblaciones paciente-receptor, se deben usar análisis y cálculos estadísticos rutinarios.

Si, por motivos éticos, el patógeno alcanzado por la proteína quimérica de receptor de toxina, como la bacteria del carbunco o sus esporas, no se puede administrar a sujetos humanos en un ensayo clínico controlado, la eficacia de la dosis proyectada sobre seres humanos se puede determinar experimentalmente en especies animales adecuadas, como por ejemplo, en primates expuestos a la bacteria del carbunco o a sus esporas. La dosis eficaz se puede establecer en función de la supervivencia de los animales tratados y controlados con varias concentraciones y por varias vías de administración de la proteína quimérica de receptor de toxina. Se toman muestras de sangre, moco y/o tejidos de los sujetos para determinar la farmacocinética y la farmacodinámica de la proteína quimérica del receptor de la toxina que se ha administrado. Partiendo de estos datos, también se establecen la concentración mínima eficaz y la vía de administración protectora de la proteína quimérica del receptor de toxina. Para establecer la concentración mínima eficaz en sujetos humanos, se administran, a hembras y varones normales, dosis de la proteína quimérica de receptor de toxina, por la misma vía de administración que se concluyó efectiva en el estudio clínico sobre sujetos animales que se describió anteriormente, y se les toman muestras de sangre, moco y tejidos. La concentración de la proteína quimérica de receptor de toxina administrada al sujeto humano se puede ajustar para obtener la misma concentración que se concluyó eficaz o protectora en las pruebas y muestras con animales.

Las directrices para ensayos sobre animales y humanos, el establecimiento de productos seguros y eficaces para el tratamiento y/o la prevención de la exposición a patógenos como el carbunco, la toxina botulínica, la tularemia y similares, han sido promulgadas por la United States Food and Drug Administration y están a disposición del público en publicaciones como el Registro Federal: 31 de Mayo de 2002 (volumen 67, número 105), Rules and Regulations, Página 37988-37998. Esta regulación está disponible mediante acceso electrónico al Registro Federal wais.access.gpo.gov y se puede encontrar en el Código de Reglamentos Federales, Food and Drug Administration, 21, CFR, partes 314 y 601.

Los siguientes ejemplos ilustran diversos aspectos y realizaciones de la invención descrita. Estos ejemplos no limitan el alcance de la invención reivindicada.

40 Ejemplos

20

25

30

35

50

55

Ejemplo 1: La construcción de los casetes de expresión de la inmunoadhesina ICAM-1 (no pertenece a la invención)

Mediante la clonación por RCP se preparó un vector que codifica para los dominios extracelulares D1 a D5 de ICAM-1. En concreto, se amplificó un fragmento con cinco regiones Ig extracelulares de la ICAM-1 en el plásmido pCDICI-5D/IgA (Martin, et al. J. Virol. 67:3561-8, (1993)) usando los siguientes cebadores de oligonucleótidos:

- 45 5' -TCTGTTCCCAGGAACTAGTTTGGCACAGACATC (SEC ID N.º: 6) TGTGTCCCCCTCAAAAGTC 3'.
 - 5' CATACCGGGGACTAGTCACATTCACGGTCACCT (SEC ID N.º: 7)

CGCGG-3'

Estos dos cebadores fueron diseñados para introducir sitios Spel en los extremos 5' y 3' del fragmento purificado mediante RCP (nucleótidos subrayados). Se realizó una RCP con una polimerasa Pfu (Stratagene) para reducir la acumulación de errores. El fragmento obtenido por RCP fue clonado dentro del vector PCR-Script (Stratagene) y secuenciado antes de unirse a los casetes de IgA2 humanos (con y sin SEKDEL (SEC ID N.º: 4) en el grupo carboxilo-terminal).

Se desarrollaron construcciones génicas para expresar en plantas la cadena J, el componente secretor y una cadena pesada de IgA2 humanos. Se creó un vector de expresión de cadena pesada, llamado pSSpHuA2 (Véase FIG. 1). Este contiene una secuencia que codifica para un péptido señal de legúmina de alubia (Baumlein et al., Nucleic Acids Res. 14 (6), 2707-2720 (1986)). La secuencia de legúmina de alubia se puede ver en el GenBank, bajo el número X03677, y la secuencia del péptido señal de la legúmina de alubia tiene el número de SEC ID N.º: 10 (Véase también FIG. 8), así como la región constante de IgA2m(2) con espacios Spel y Sacl en medio, y el

5 promotor SuperMas para impulsar la expresión de un péptido señal y las regiones constantes de la cadena pesada de la IgA2m(2) humana.

Los ADN que codifican para los cinco primeros dominios de la ICAM-1 humana y para el dominio Fc de la IgA2m(2) humana se unieron a un casete de expresión de planta para hacer un constructo de expresión de la molécula quimérica de ICAM-1, tal y como se muestra en la FIG. 2A. Todo esto se hizo mediante la clonación del fragmento que codifica para los cinco dominios extracelulares de ICAM-1, dentro del vector pSSPHuA2, para generar pSSPICAMIHuA2. Los sitios de restricción adecuados (5' Spel y 3' Spel) permitieron que el fragmento amplificado se insertara entre el péptido señal y el dominio C-alfa-1. En el constructo resultante, la expresión de la molécula quimérica ICAM-1 está bajo el control del promotor SuperMas (Ni et. al., 1995) y de la secuencia terminadora nos, en el extremo 3'.

- El constructo de la molécula quimérica ICAM-1 resultante no tiene regiones variables. Tras la transformación del mARN, se cree que la escisión del péptido señal depositará la unión de la cadena pesada de la ICAM-1 dentro del retículo endoplasmático (RE) de la célula de planta. Se añade ADN que codifica para una señal de retención a RE (RSEKDEL, SEC ID N.º: 5) al extremo 3' de la cadena pesada con el fin de impulsar el nivel de expresión del constructo. La secuencia de aminoácidos SEKDEL (SEC ID N.º: 4) es la secuencia señal de consenso para la retención de proteínas en el retículo endoplasmático de las células de plantas. Esta secuencia se muestra para mejorar los valores de acumulación de anticuerpos en plantas (Schouten et al., Plant Molecular Biology 30:781-793 (1996)). En la FIG. 2B se muestra la secuencia de aminoácidos del constructo de la molécula quimérica ICAM-1. Antes de usarlos para el bombardeo de partículas, se verifican tanto la secuencia de ADN como el marco transformador del constructo.
- Se ha observado recientemente que la unión de la cadena J con la IgA tiene lugar en el aparato de Golgi (Yoo et al., J. Biol. Chem. 274:33771-33777 (1999)), y que las construcciones de la cadena pesada sin SEKDEL (SEC ID N.º: 4) también suceden allí. El fragmento de ICAM-1 se clona dentro de un casete de expresión con el dominio constante de IgA2m(2) sin SEKDEL (SEC ID N.º: 4).

Ejemplo 2: La expresión en plantas de la inmunoadhesina ICAM-1 asociada (no pertenece a la invención)

30 A. Los vectores de expresión de la inmunoadhesina

10

35

40

45

50

55

60

El plásmido pSSPICAMHuA2 [SEC ID N.º: 9 y FIG. 8A] tiene una longitud de 6313 bp. Los nucleótidos 49-1165 representan al Superpromotor (Ni et al., Plant Journal 7:661 -676, (1995)). Los nucleótidos 1166-3662 contienen una secuencia que codifica para un híbrido constante de ICAM-1 humana/IgA2m(2) humana, con secuencias de enlace. Se añade (nt 1186-1192) una secuencia Kozak (Kozak, Cell 44(2):283 -92 (1986)) para mejorar la iniciación de la transformación y el péptido señal de legúmina de alubia (nt 1189 1257; Bäumlein et al., Nucleic Acids Reg. 14 (6):2707-2720 (1986)). La secuencia de la región constante de IgA2m(2) humana (nt 3663-3633), ya se ha publicado anteriormente (Chintalacharuvu et al., J. Imm. 152:5299-5304, 1994). Al final de la cadena pesada (nt 3634-3654) se añade una secuencia que codifica para la señal de retención SEKDEL [SEC ID N.º: 4] a retículo endoplasmático. De la síntesis de nopalina en el extremo 3' derivan los nucleótidos 3663-3933 (señal de terminación y poliadenilación; Depicker et al., 1982). El resto del plásmido se deriva del vector pSP72 (Promega).

El plásmido pSHuJ (FIG. 8C) tiene una longitud de 4283 bp. Los nucleótidos 14-1136 representan al Superpromotor (Ni et al., Plant Journal 7:661 -676, (1995)) y los nucleótidos 1137-1648 se muestran en la FIG. 8 [SEC ID N.º: 1] y constituyen una secuencia que codifica para la cadena J humana que contiene el péptido señal nativo (Max and Korsmeyer, J Imm. 152:5299-5304, 1985) junto con las secuencias de unión. Se incluye (nt 1162-1168) una secuencia Kozak (Kozak, Cell 44(2):283-92, 1986) para mejorar la iniciación de la traducción. De la síntesis de nopalina en el extremo 3' derivan los nucleótidos 1649-1902 (señal de terminación y poliadenilación; Depicker et al., J Mol Appl Genet I(6):561-73 (1982)). El resto del plásmido se deriva del vector pSP72 (Promega).

El plásmido pSHuSC (FIG. 8D) tiene una longitud de 5650 bp. Los nucleótidos 13-1136 derivan del Superpromotor (Ni et al., Plant Journal 7:661-676 (1995)) y los nucleótidos 1137-2981 constituyen una secuencia que codifica para el componente secretor humano que contiene el péptido señal natural (Krajci et al., Biochem and Biophys. Res. Comm 158:783, (1994)) junto con secuencias de ligación [SEC ID N.º: 12]. Se incluye (nt 1151-1157) una secuencia Kozak (Kozak, Cell 44 (2):283-92, 1986) para mejorar la iniciación de la transformación. De la síntesis de nopalina en el extremo 3' derivan los nucleótidos 2982-3236 y proporcionan una señal de terminación y poliadenilación, según se describe en Depicker et al., J Mol Appl Genet I (6):561-73 (1982)). El resto del plásmido se deriva del vector pSP72 (Promega).

El plásmido pBMSP-1 (SEC ID N.º: 13 y FIG. 8E) procede de pGPTV-KAN. Becker et al., en Plant Molecular Biology 20, 1195-1197 (1992), describen nuevos vectores binarios de plantas con marcadores seleccionables, situados en el borde izquierdo del ADN-T, y secuencias por fuera de los bordes izquierdo y derecho. Los nucleótidos 18-187 de pBMSP-1 representan el borde derecho del ADN-T y los nucleótidos 1811-775 representan el promotor SuperMas. Los nucleótidos 2393-2663 representan el promotor de la nopalina sintasa (Depicker et al., J Mol Appl Genet I(6):561 -73, 1982); los nucleótidos 2698-3492 codifican para el gen NPTII (confiriéndole resistencia a la kanamicina), y los nucleótidos 3511-3733 son la señal de poliadenilación del gen 7 de *A. tumefaciens* (Gielen et al., Embo J 3:835-46,

5 1984). Los nucleótidos que codifican al gen NPTII y los nucleótidos 4317-4464 representan el borde izquierdo del ADN-T.

El plásmido pBMSP-1 spJSC [SEC ID N.º: 14 y FIG. 8F] es un derivado de pBMSP, que contiene J y SC bajo el control del Superpromotor. En este plásmido, los nucleótidos 1-149 representan el borde izquierdo del ADN-T. Los nucleótidos 955-733 son la señal de poliadenilación del gen *tumefaciens*, los nucleótidos 1768-976 que codifican para el gen NPTII (aportándole resistencia a la kanamicina) y los nucleótidos 2073-1803 representan el promotor de la nopalina sintasa. Los nucleótidos 2635-3768 representan el promotor SuperMas, los nucleótidos 3774-5595 codifican para el componente secretor humano y los nucleótidos 5603-5857 representan la señal de la poliadenilación nopalina-sintasa. Los nucleótidos 5880-6991 representan el promotor SuperMas, los nucleótidos 7007-7490 codifican para la cadena de unión humana y los nucleótidos 7504-7757 representan la señal de la poliadenilación nopalina-sintasa. Los nucleótidos 7886-8057 representan el borde izquierdo del ADN-T.

El plásmido pGPTV-HPT, que codifica para la enzima que confiere resistencia a la higromicina, es accesible comercialmente a través del Max-Planck-Institut für Zuchtungsforschung (Alemania). Lo describe Becker en Plant Molecular Biology 20, 1195-1197 (1992).

B. La transformación de las plantas y la expresión de la inmunoadhesina ICAM-1 en plantas

10

15

35

40

45

50

55

60

Los casetes de expresión descritos anteriormente se usaron para producir inmunoadhesina en plantas. Se bombardean tejidos de hoja de tabaco (*N. tabacum cv Xanthi*) con los plásmidos pSSPICAMHuA2, pSHuJ, pSHuSC y pBMSP-1 y se seleccionan los microcallos transformados, en agar nutritivo, en presencia de kanamicina. Cada microcallo, indicativo de la transformación de casos independientes, se separa del tejido precursor y se cultiva en agar nutritivo en presencia de kanamicina.

Se examinan los tejidos de los callos para observar la expresión del transgén. Se observa que el callo n.º 7132 expresa una inmunoadhesina ICAM-1 quimérica y una cadena J por inmunoblot y por RCP (datos no mostrados). Este callo no muestra ADN codificado a SC. El callo se da bien en el cultivo y, una vez se acumula suficiente masa, el n.º 7132 se bombardea de nuevo, esta vez con dos de los plásmidos descritos anteriormente, PBMSP-1 SpJSC, que contiene casetes de expresión para la cadena J y el SC, y pGPTV-HPT, que contiene un casete de expresión para el gen hpt I y que aporta resistencia a la higromicina. Después de un período de selección y crecimiento en agar nutritivo, se identifican varios transformantes independientes, por medio de inmunoblot, que expresan la molécula quimérica de ICAM-1, la cadena J y el SC en varias fases de ligación.

La FIG. 3 muestra la expresión de la molécula quimérica de ICAM-1 en callo de tabaco transformado de forma independiente. La FIG. 3A muestra inmunoblots de geles de SDS-PAGE no reductora, cuyas muestras, que contienen diferentes callos de tabaco transformados (C) y extractos acuosos (Aq), migran y prueban la presencia de ICAM humana. La solubilidad de la inmunoadhesina nos asegura que la extracción se podría realizar fácilmente y la similitud de las señales nos lleva a creer en la reproducibilidad de la expresión. La FIG. 3B muestra inmunoblots de geles de SDS-PAGE no reductora que contienen diferentes fracciones de inmunoadhesina parcialmente purificada del callo Rhi107-11. Las transferencias se sondearon con anticuerpos frente a la ICAM humana (~ICAM), cadena pesada de la IgA humana (~α), componente secretor humano (~SC) y cadena J humana (~J). En segundo lugar, se usaron anticuerpos conjugados con enzimas según necesidad para etiquetar las bandas inmunopositivas con fosfatasa alcalina. La especificidad del inmunoblotting se comprueba por un fallo en la detección de bandas inmunopositivas en extractos de callos no expresables (no se muestra). El PM esperado para una molécula quimérica de ICAM-1 dimerizada, sin glicosilación, es de 173.318; es probable que esta forma esté presente en la banda que migra justo por debajo de los marcadores de 250 kD, pues es inmunopositiva para la ICAM-1 y la cadena pesada. Esta banda también es inmunopositiva para el SC (PM total esperado de ~248 kD) pero no para la cadena J, algo inesperado, en cierto modo, teniendo en cuenta la vía canónica para la asociación de la SIgA, lo que implica dos tipos celulares (para mamíferos) y necesita de la presencia de cadena J antes de asociarse al SC. Una inmunoadhesina tetramérica, que contenga una sola molécula de cadena J y una sola molécula de SC, tiene un PM esperado de ~440 kD, previo a la glicosilación. Hay evidencias de varias especies con pesos moleculares muy por encima de los 200 kD, inmunopositivas según el método de las cuatro puntas.

Para producir transformantes estables, tanto en plantas como en animales, se usa el bombardeo con microproyectiles impregnados de ADN (revisión de Sanford et al., Meth. Enz. 217:483-509, 1993). Se realizan transformaciones mediadas por partículas con los vectores que codifican para la inmunoadhesina de la presente invención, usándose el acelerador de partículas PDS-1000/He, fabricado por Bio-Rad. El acelerador de partículas PDS-1000/He utiliza presión por helio para acelerar las micropartículas impregnadas de ADN hacia las células diana. Su naturaleza física la convierte en una técnica muy versátil y fácil de usar. Hemos transformado con éxito el tabaco con los cuatro componentes de la IgA secretora simultáneamente.

El procedimiento biolístico básico se realizó como se indica a continuación: se preparó una suspensión de microproyectiles mezclando 60 mg de partículas en 1 ml de etanol absoluto. Se procedió al agitado; se eliminaron 25-50 µl y se añadieron a un tubo estéril microcentrifugador. Después de proceder al microcentrifugado durante 30 segundos, el etanol se eliminó y se volvió a suspender la resina en 1 ml de agua estéril, para posteriormente centrifugarla durante 5 minutos. Se retiró y la resina se volvió a suspender en 25-50 µl de una solución de ADN que

contiene una mezcla de ADN plasmídico, por lo general, aunque no siempre, en cantidades equimolares. La cantidad de plásmido añadida variaba entre 0,5 ng y 1 μg por preparación. Gradualmente se fueron añadiendo: 220 μl de agua estéril, 250 μl de 2,5M CaC12, y 50 μl de 0,1M espermidina. La mezcla se agitó durante al menos 10 minutos y, a continuación, se centrifugó durante otros 5 minutos. Se eliminó el sobrenadante y el microproyectil de ADN se precipitó en 600 μl de etanol absoluto, se mezcló y centrifugó durante 1 minuto. El etanol se eliminó y la resina se volvió a suspender en 36 μl de etanol. Se aplicaron diez μl de una suspensión, lo más uniformemente posible, sobre el centro de una hoja Kapton (DuPont) para que el etanol se evaporase. El macrocarrier y el disco de ruptura se colocaron en la unidad. Bajo la pantalla de parada se colocó una placa petri con hojas de tabaco esterilizadas por filtración. A 28-29 mm Hg se evacuó la cámara y luego se bombardeó la diana de nuevo. El protocolo para el tabaco está optimizado, pero también para otras plantas, variando parámetros como la presión de He, la cantidad de partículas recubiertas, la distancia entre el macrocarrier y la pantalla, y la distancia de vuelo desde la pantalla de parada hasta el tejido.

Los casetes de expresión para moléculas quiméricas de ICAM-1 también se unieron a vectores binarios para ser usados en una transformación por *Agrobacterium*. Se introdujo un vector binario de *Agrobacterium*, diseñado para la expresión de la cadena J humana y el componente secretor humano, y conferir también resistencia a la kanamicina, en una cepa de *A. tumefaciens* LBA4404. La molécula quimérica ICAM/IgA de otro vector binario también se usó para transformar LBA4404. Cultivos de ambas cepas se dejaron incubar toda la noche y se usaron simultáneamente con hojas de tabaco, según el protocolo estándar (Horsch et al., Science 227:1229-1231, 1985).

Se siguió un protocolo estándar para la regeneración de discos de hojas de tabaco, tanto procedentes de bombardeo como de transformación por *Agrobacterium* (Horsch et al., Science 227:1229-1231, 1985). Dado que las plantas transformadas, regeneradas por bombardeo de tejido, suelen ser inactivadas después de la maduración, las plantas de tabaco transgénicas se transformaron por *Agrobacterium*, lo que implica una mayor expresión de plantas maduras

Ejemplo 3: La purificación de la inmunoadhesina ICAM-1 asociada (no pertenece a la invención)

20

25

30

35

40

45

50

55

La inmunoadhesina expresada según el ejemplo 2 fue purificada. Para facilitar el desarrollo de los procesos de extracción, se cultivó una gran cantidad de callos. Un esquema de purificación parcial aportó una concentración estable, disponible en condiciones amortiguadoras variables, para la investigación de las ulteriores técnicas cromatográficas con las inmunoadhesinas (véase FIG. 3). Se extrajeron los callos con una licuadora, que estrujó el tejido entre las dos cuchillas de acero inoxidable, mientras se bañaba en una solución amortiguadora de citrato de sodio (0,6 M, pH 7,4) y urea (concentración final de 2 M). Se precipitó el jugo (~1 ml/g peso fresco), tras pasarlo por un filtro grueso de estopilla, con 0,67 volúmenes de sulfato de amonio saturado. Después de centrifugar y hacer una extracción cuidadosa, obtuvimos una resina verde, en un volumen pequeño de 50 mM de citrato sódico (pH 6,6) con un homogenizador Dounce. Tras un centrifugado adicional, se recogió un sobrenadante marrón claro y se purificó parcialmente, durante un intercambio de tampón en modo desalinizante, pasándolo por una columna Sephadex G-100. El intercambio de solución desalinizante/tampón amortiguador permitió la preparación de una concentración purificada parcialmente (~0,2 ml/g peso fresco de callo) en un tampón deseado; para la elución se utilizó la columna G-100 con 0,25 X de tampón de fosfato salino. Esta elución parece ser estable durante al menos 10 días a 2-8 °C.

Ejemplo 4: La inmunoadhesina ICAM-1 inhibe la infectividad por rinovirus humano (no pertenece a la invención)

Se demostró que la infectividad de las células por el rinovirus humano se inhibe por la acción de la inmunoadhesina preparada en el ejemplo 3. El extracto de callos preparado según el ejemplo 3 compitió con éxito para unir un anticuerpo monoclonal anti-ICAM a una ICAM-1 soluble. La FIG. 4 muestra los datos de un ensayo por inmunoabsorción ligado a enzimas (ELISA). Para el ensayo, se revistieron placas de 96 pocillos con 0,25 µg/ml de ICAM-1 soluble. Los cuadrados representan la concentración creciente de sICAM y los círculos representan las cantidades crecientes de extracto de callo (fracción G-100 esterilizada por filtración) usada para competir con la ICAM adherida para una cantidad constante de un anticuerpo murino (ICAM antihumano). Después de lavar los recipientes, se detectó un anticuerpo murino adherente con un anticuerpo antimurino conjugado a la peroxidasa del rábano. La actividad de la enzima adherente fue medida a 490 nm, con ortofenilendiamina como sustrato. Los datos (cuadrados, sICAM; círculos, extracto) se describen por medio de curvas siginoides de la forma OD490=y=y0+a/[l+e -{(x-x0)/b}], donde a=y máx., y0=y mín., b=la inclinación de la parte de la curva que cambia rápidamente y x0=al valor de x al 50% del nivel de respuesta. Respecto a la ICAM-1 soluble, el extracto de inmunoadhesina sobre el que se hace el ensayo contiene el equivalente de 250 µg ICAM/ml; esto es una estimación debido a los efectos de avidez esperados de los compuestos diméricos y tetraméricos de las fusiones de cadenas pesadas de ICAM-1. Así pues, ELISA demostró que la inmunoadhesina compite con la ICAM-1 soluble para unirse a un anticuerpo monoclonal anti-ICAM.

La competitividad de ELISA permite hacer la valoración cuantitativa de la recuperación de la actividad, comparando las cantidades normalizadas de varias fracciones necesarias para obtener una respuesta del 50%. Después de la purificación, expresamos la concentración de la preparación de inmunoadhesina como una dilución recíproca, o lo que es lo mismo, el número de mililitros en los que se debe diluir un miligramo de inmunoadhesina para obtener una respuesta del 50%. ELISA facilitará el desarrollo del proceso de purificación para la inmunoadhesina.

Un ensayo de efecto citopático (ECP) demostró la capacidad especial de la inmunoadhesina parcialmente purificada para inhibir la infectividad del rinovirus humano en las células humanas (FIG. 5). Se preincubó el serotipo del rinovirus RVH-39 con la ICAM-1 humana, con una composición ICAM/IgA (aportada por el Dr. Tim Springer) o con extractos de callo que expresan nuestra inmunoadhesina ICAM-1/SIgA u otro anticuerpo diferente, para posteriormente colocar en una placa cada una de las mezclas con células HeLa S3 a 33 °C. Tres días después, se fijaron las células viables y se tiñeron con una solución metanólica cristal violeta; una densidad óptica a 570 nm facilita el cálculo proporcional de la viabilidad celular.

Dos extractos derivados de Rhi 107-11 y que contienen la inmunoadhesina, inhiben claramente la capacidad del virus para infectar y matar las células HeLa (FIG. 5A, triángulos hacia arriba y hacia abajo). Como los extractos solo estaban purificados parcialmente, también hicimos ensayos con un extracto preparado de la misma manera pero que contenía IgA2m(2) humana dirigida contra la doxorrubicina, un agente utilizado en quimioterapia. Dicho extracto, que tenía una inmunoglobulina similar con una especificidad de unión no relacionada, no pudo inhibir la infectividad del rinovirus y demostró que la expresión de la unión ICAM-1/cadena pesada aporta especificidad a la inhibición. El ensayo ECP demostró, tal y como se esperaba, la capacidad diferencial de la ICAM-1 soluble y un ICI-5/IgA (Martin et al., 1993) para inhibir la infectividad del virus (FIG. 5B). En la FIG. 5B se muestra el rango de expansión del IC₅₀ para la ICAM-1 soluble (1,35 µg/ml) y del IC1-5/IgA (0,12 µg/ml; 11,3 veces menos).

15

20

25

30

35

40

45

50

55

60

Ejemplo 5: Producción y purificación de las inmunoadhesinas y estudios clínicos y toxicológicos (no pertenece a la invención)

La producción de suficiente inmunoadhesina para las necesidades clínicas y toxicológicas propuestas se realiza por medio de la elaboración de plantas de tabaco transgénicas. Las plantas transgénicas que expresan inmunoadhesina (sin señal de retención a RE) se generan por transformación mediada por *Agrobacterium*. Se prevé que la falta de señal de retención a RE mejore la unión, pues la SIgA naciente se procesa por todo el aparato de Golgi, incluyendo la red del trans Golgi, donde el SC se une mediante enlaces covalentes a la dIgA, tal y como se sugiere desde los experimentos de pulso y caza (Chintalacharuvu & Morrison, Immunotechnology 4:165-174, (1999)). Como la transformación mediada por *Agrobacterium* es mucho más probable que genere plantas con niveles consistentes de expresión transgénica, también es probable que la descendencia de estas plantas se use para producir inmunoadhesina de uso clínico.

Con el fin de maximizar los niveles de expresión y crear una auténtica línea pura, es conveniente crear plantas homocigotas. La mayor producción de plantas (de la generación T0) puede autofecundarse en el invernadero antes de que la semilla se recoja. Se espera que una cuarta parte de las plantas T1 sean homocigotas. Se cultivan en el invernadero y las muestras de las semillas de varias plantas germinan por separador en un medio con kanamicina. Se prevé que toda la descendencia (T2) de las plantas homocigotas sea de color verde. Se prevé que sean blancos o amarillentos algunos de los descendientes de las plantas heterocigotas. La homocigoticidad queda confirmada cruzando semillas salvajes y extractos de inmunoblot de los descendientes.

Durante una campaña de producción, se deben encajar continuamente la cosecha y el procesado, en especial teniendo en cuenta que se pueden obtener múltiples cosechas de una sola plantación, por ejemplo, de las plantas que se cortan al nivel del suelo en una cosecha y vuelven a crecer para posteriores cosechas. Para desarrollar una escala de producción de inmunoadhesinas es importante decidir la cantidad necesaria de inmunoadhesina terminada, tener en cuenta los niveles de expresión (mg de inmunoadhesina presente/kg de peso fresco de tabaco), conocer la tasa de crecimiento de las plantas y el peso estimado de una planta media, y la producción total del esquema de purificación (fijado en un 20%). Si se establece una necesidad total de 3 g de inmunoadhesina terminada, se necesitan 4 cosechas, cada una con una producción estimada de 1 g de inmunoadhesina terminada.

Se establece el espacio necesario para el cultivo de las plantas, teniendo en cuenta estos objetivos y parámetros y el número necesario de plantas. La FIG. 6 muestra una evaluación de las necesidades de producción para fabricar 1 g de inmunoadhesina terminada. En este diagrama, se ilustra el número de plantas necesarias para 1 g de inmunoadhesina, con un rendimiento del 20%, a niveles de expresión y peso de plantas esperados. A diferentes niveles de expresión de inmunoadhesina (mg/kg de peso fresco) y una recuperación global (ajustada al 20%), se puede determinar el peso de cada planta, y de esta manera el número total de plantas para un objetivo de producción específico (1 g/cosecha) contenido en una ventana (cuadro punteado) de posibilidades razonables. El número de plantas necesarias disminuye, inversamente, con el número especificado de periodos de crecimiento y recrecimiento. La producción esperada de biomasa, que es en función del tiempo y de las condiciones de crecimiento, influye sobre el momento de cosechar y el periodo entre cosechas. Estos periodos de crecimiento se pueden ajustar a las realidades del programa de purificación, espaciando las fechas de plantación y cosechado. Por ejemplo, para obtener 1 g de inmunoadhesina terminada derivada de planta, con un nivel de expresión razonable de 100 mg de inmunoadhesina/kg de peso fresco, se necesitan 250 plantas, siempre y cuando se recojan a un peso de 200 g/planta (~80 días después de haber germinado). En esta escala, estas plantas requieren aproximadamente 10 m² de espacio de cultivo y se recogen dos veces en 150 días.

Procesar más de 50 kg de biomasa al mismo tiempo exige varias operaciones a gran escala que tienen su contrapartida en la industria de procesado de alimentos. En dicho proceso hay que hacer manejo de materiales a granel, reducción de tamaño, prensado y filtrado. Se utiliza una prensa Vincent y un sistema de filtración Durco para

- procesar de manera eficiente estas cantidades. La fase de prensado conlleva el uso de un sencillo tampón de citrato sódico y urea. Estos componentes amortiguan el extracto, ayudan a prevenir la oxigenación de los compuestos fenólicos y de su unión a proteínas (Gegenheimer, Methods in Enzymology 182:174-193, 1990; Loomis, Methods in Enzymology, 31:528-544, 1974; Van Sumere et al., The Chemistry and Biochemistry of Plant Proteins, 1975) y garantizan la solubilidad de la inmunoadhesina durante la posterior precipitación ácida.
- La filtración de lípidos ácido-insolubles y de proteínas (~90% del total) es seguida de una ultrafiltración del flujo 10 tangencial para concentrar las inmunoadhesinas y eliminar las proteínas pequeñas, en concreto las fenólicas. La diafiltración facilita la eliminación de moléculas pequeñas y permite un intercambio de tampón en la preparación, para preservarlo durante un corto periodo de tiempo y posteriormente continuar con la cromatografía. Tanto la SPsefarosa (que liga a pH 5,0 o inferior) como la Q-sefarosa (que liga a pH 5,5 o superior) están entre los intercambios de iones que se pueden usar para filtrar la inmunoadhesina. Son fáciles de conseguir, escalables, robustas y tienen 15 altas capacidades. En concreto, existen para formatos de cama expandida, lo que reduce la severidad de los pasos previos de filtración. La cromatografía de intercambio catiónico, más selectiva que la cromatografía de intercambio aniónico, se usa en primer lugar. La inmunoadhesina se purifica a partir de varias especies de proteínas potencialmente presentes, hasta el punto de que al menos el 95% de la proteína está en forma de ICAM-I/IgA, 20 ICAM-1/dlgA o ICAM-I/SlgA, mientras que la presencia de dominios de ICAM-1 divalentes y tetravalentes son críticos para la potente actividad antiviral. Se prueba la inmunoadhesina purificada para comprobar que tenga niveles aceptables de endotoxina, de alcaloides, como la nicotina, y de carga biológica. También se controlan los niveles de actividad (definidos por ELISA y ensayos ECP), la concentración proteica, el pH y la apariencia. Posteriormente, se determina la estabilidad de los lotes clínicos de inmunoadhesina para asegurar que los pacientes 25 reciben una inmunoadhesina potente. Se ha observado incluso, que los extractos purificados parcialmente son estables durante 10 días en condiciones de refrigeración. Se comprueba también la concentración y la potencia de la inmunoadhesina formulada clínicamente (en solución tamponada de fosfato salino) cuando se guarda a -20 °C, 2-8 °C y 37 °C durante un periodo de 3 a 6 meses.

Ejemplo 6: Las inmunoadhesinas tienen glicosilación específica de plantas (no pertenece a la invención)

Se analizan las inmunoadhesinas producidas para determinar el patrón de glicosilación presente. Cabanes-30 Macheteau et al., Glicobiología 9(4):365-372 (1999), demostró la presencia de varios restos de glicosilación, típica de plantas, en un constructo de anticuerpo expresado en planta. Sus métodos son usados para demostrar que las inmunoadhesinas que se produjeron según los ejemplos 1, 2 y 3 siguen un patrón de glicosilación específica de plantas. Esperamos que esta diversidad también sea una fuente de variabilidad para la inmunoadhesina. Si bien se 35 ha demostrado que los extractos crudos tienen actividad antiviral in vitro (no se muestran datos), la glicosilación como tal no parece afectar a la potencia. La N-glicosilación (la FIG. 2 muestra que, solo en la molécula quimérica ICAM-1, hay quince sitios potenciales) probablemente contribuye a la diversidad de bandas que se ven en los inmunoblots. Las preparaciones de inmunoadhesina son digeridas con N-glicosidasa A, antes de la transfección, mostrando que la diferencia en los patrones de bandas se rompe y genera bandas más pequeñas y discretas. De 40 este modo, las glicoformas se caracterizan inicialmente con geles de poliacrilamida reductora y no reductora. Además, las fracciones digeridas y pseudodigeridas se examinan con ensayos ECP y ELISA, demostrando el efecto de la N-glicosilación sobre la potencia y la concentración in vitro.

Ejemplo 7: La inmunoadhesina ICAM-1 inactiva el rinovirus humano (no pertenece a la invención)

50

55

La inmunoadhesina preparada según los ejemplos 1, 2 y 3 se lleva a cabo por su capacidad de inactivar el HRV porque se une al virus, bloquea su entrada e induce la formación de cápsidas virales vacías. Para medir la unión de la inmunoadhesina al HRV, se procede a incubar la inmunoadhesina con [³H]leucina etiquetada HRV-39 durante 30 minutos, para añadirla luego a células HeLa durante 1 h. Después del lavado, las células y el virus unido se separan gracias al Tritón X-100 y [³H] y se miden con un detector de centelleo.

Se compara la inactivación de HRV-39, por incubación con la inmunoadhesina, con la inactivación de HRV por sICAM-1. El HRV-39 no se inactiva directamente hasta que llega a un grado significativo (<0,5 logl0 reducción de infectividad), por incubación con sICAM-1 monomérico; sin embargo, la incubación con ICI-5D/IgA reduce la infectividad en aproximadamente 1,0 log10 (Arruda et al., Antimicrob. Agents Chemother. 36:1186-1191, 1992; Crump et al., Antimicrob. Agents Chemother. 38:1425-7, 1994). Con el fin de comprobar la capacidad de la inmunoadhesina para inactivar el HRV-39, 106 dosis infectivas al 50% de tejido cultivado (TCID₅₀) de HRV-39 se incuban en un medio con concentración de sICAM-1 o inmunoadhesina igual a diez veces la IC₅₀ de cada molécula de ese virus, o en un medio estable, durante 1 h a 33 °C sobre una plataforma oscilante. Cada composición virus-inmunoadhesina o virus-medio se diluye luego en diez veces, y la concentración se determina en las células HeLa en placas de 96 pocillos.

El efecto de la inmunoadhesina sobre el HRV unido a las células hospedadoras se comprueba mediante inoculación de las células HeLa con el HRV-39 a MOI de 0,3 en presencia o ausencia de la inmunoadhesina. La absorbancia tiene lugar durante una hora a 4 °C, se lavan las células y el medio se sustituye, con o sin la inmunoadhesina. Se incuban las células durante diez horas a 33 °C (para que se pueda producir un turno de replicación) y se recogen los virus por medio de la congelación/descongelación de las células. El virus se concentra en las células HeLa.

- El compuesto ICAM-IGA (IC1-5D/IgA) es más eficaz que el sICAM-1 para inducir cambios en la conformación del HRV, llegando incluso a formar partículas virales vacías y no infecciosas (Martin et al., J. Virol. 67:3561-8, 1993). Para examinar la capacidad de la inmunoadhesina producida conforme a los ejemplos 1, 2 y 3 para inducir cambios en la conformación de HRV que provoquen la liberación del ARN viral, la inmunoadhesina purificada se incuba con [³H] leucina etiquetada HRV-39 durante 30 minutos y luego se cubre el virus con un gradiente de sacarosa al 5-30%. Después de proceder al centrifugado durante 90 minutos a 40.000 rpm, se recogen las fracciones, se miden [³H] y se valora su infectividad. (Se obtienen sedimentos intactos de HRV a 149S con un gradiente de sacarosa y cápsidas vacías sin sedimento de ARN a 75S (Martin et al., J. Virol. 67:3561-8,1993)). Debido a su valencia aumentada, se espera que la inmunoadhesina ICAM/SIgA sea más eficaz que la ICAM-IgA en lo que respecta a la inducción de
- 15 El efecto inhibitorio de la inmunoadhesina purificada en un panel de serotipos principales y minoritarios de HRV (que no usa ICAM-1 como receptor) se examinará por medio del ensayo ECP. La capacidad de la ICAM-1 de inhibir la infección por HRV varía entre los aislados virales. Se ha demostrado (Crump, et al., Antimicrob. Agents Chemother. 38:1425-7, 1994) que la EC₅₀ para la sICAM-1 varía de 0,6 μg/ml a > 32 μg/ml cuando se experimenta sobre un panel de serotipos de receptores principales de HRV con células HeLa. Nuestro panel contiene nueve serotipos principales (HRV-3, -13, -14, -16, -23, -39, -68, -73 y -80) y el serotipo minoritario HRV-1A.

Ejemplo 8: Estudios clínicos que demuestran la capacidad de la inmunoadhesina ICAM-1 de reducir la infectividad en los humanos: estudio sobre la escala de tolerancia a dosis (no pertenece a la invención)

La inmunoadhesina de la presente invención se probó en dos ensayos controlados aleatoriamente para determinar el efecto de la administración intranasal de la inmunoadhesina en infección, la respuesta IL-8 y la enfermedad en dos resfriados experimentales causados por rinovirus. Estos dos estudios evalúan la inmunoadhesina tomada por los sujetos antes o después de la inoculación del rinovirus. Los protocolos clínicos usados aquí se basan en protocolos usados previamente para evaluar la eficacia contra una infección por rinovirus de la molécula ICAM-1 soluble y recombinante (Turner, et al., JAMA 281:1797-804,1999).

A. Los sujetos

25

40

45

55

Los sujetos han sido seleccionados en comunidades universitarias de la Universidad de Virginia, Charlottesville. Es necesario que los sujetos gocen de buena salud, sean no fumadores y tengan edades comprendidas entre los 18 y 60 años. Se excluye a sujetos con un historial de enfermedades alérgicas o rinitis no alérgica, anatomía nasal o mucosa anormal, o que hubieran sufrido alguna infección del aparato respiratorio las dos semanas anteriores al estudio. También se excluye a mujeres embarazadas, en periodo de lactancia o que no estén tomando ningún medicamento anticonceptivo. Para el estudio experimental de exposición al virus (véase a continuación fase I/II), es necesario que se pruebe la susceptibilidad de los sujetos al virus de estudio, mediante la concentración plasmática de anticuerpo neutralizante de 1:4 o menos para el virus, determinada 90 días antes del inicio del estudio.

B. Medicación del estudio

partículas vacías no infecciosas.

La inmunoadhesina de la presente invención se formula en una solución tamponada de fosfato salino (PBS) a 2,6 mg/ml en spray. El placebo es una PBS y tiene una apariencia idéntica a la del compuesto activo. Las soluciones se administran usando un frasco equipado con una bomba de spray nasal de dosis medida. La bomba suministra 70 µl de la solución, que contiene 183 µg de la inmunoadhesina en cada aplicación. Se administran dos aplicaciones por cada orificio nasal, seis veces al día (en intervalos de 3 horas), siendo la dosis diaria total 4,4 mg. Esta es la misma dosis, en mg proteína/día, que se usó para la ICAM-1 soluble en el estudio de infección de la tremacamra (Turner et al., JAMA 281:1797-804, 1999). Un mol de inmunoadhesina tiene cerca del doble de masa que un mol de sICAM-1. Sin embargo, teniendo en cuenta las diferencias de la actividad *in vitro* entre los compuestos sICAM-1 e ICAM/IgA, la inmunoadhesina es mucho más efectiva, en lo que respecta a la molaridad, que la sICAM-1. Por lo tanto, esta cantidad es un cálculo conservador sobre la cantidad necesaria. Esta es la dosis utilizada, salvo en el caso de que los estudios de escalada de dosis reflejen problemas con dicha dosis.

50 C. Diseño del estudio

Se hacen estudios con dosis únicas ascendentes y con dosis múltiples ascendentes para evaluar la seguridad de la inmunoadhesina. En cada caso, se evalúa a tres sujetos para cada valor de dosificación; dos de ellos han recibido la inmunoadhesina y uno el placebo. En el estudio con dosis únicas ascendentes, se evalúan cuatro valores de dosis. La dosis individual más baja es la mitad de la dosis que se establecía en el estudio de exposición, y la dosis individual más alta es el doble de la que se establecía en el estudio de exposición. Los valores de las dosis son como se indica a continuación: una aplicación en cada orificio nasal (366 µg en total), dos aplicaciones en cada orificio nasal (732 µg en total), tres aplicaciones en cada orificio nasal (1098 µg en total) y cuatro aplicaciones en cada orificio nasal (1464 µg en total).

Se usan los mismos valores de dosis en los estudios de dosis múltiples ascendentes. Los sujetos reciben dosis cada tres horas (seis veces al día) durante cinco días. En ambos estudios, los sujetos son evaluados a la misma dosis, pudiendo alterarse el comienzo de cada uno de los niveles siguientes hasta que quede claro que no hay toxicidad aguda en el nivel anterior. A todos los sujetos se les administra una dosis única 21 días después de la primera dosis,

5 y posteriormente, a las seis semanas, como seguimiento (para determinar el anticuerpo sérico contra la inmunoadhesina).

A otro grupo de doce sujetos se les administra una dosis de dos aplicaciones en cada orificio nasal (732 µg en total), y se les hace un lavado nasal a las horas 1, 2, 4, 8 y 16 (a dos sujetos en cada una de estas horas). Los lavados se analizaron en Panorama Research mediante ELISA para calcular la semivida in vivo de la inmunoadhesina. La cantidad total de la inmunoadhesina que se debe usar en una escalada de dosis y en estudios de determinación de semivida (en un total de 28 sujetos) será de aproximadamente 270 mg.

D. Estudios de toxicidad

10

15

20

25

30

35

40

Además del registro rutinario de eventos adversos, la toxicidad de la inmunoadhesina se estudia de tres maneras. En primer lugar, antes de administrar la primera dosis y después de la última, los investigadores realizan un examen visual de la mucosa nasal, en concreto, buscan signos de irritación o de inflamación. Se anota cualquier cambio visible. En segundo lugar, se realizan estudios estándar de toxicidad en la sangre sobre las muestras recogidas antes del tratamiento y después de la última dosis, en los días 1, 4 y 8 (y 21 en los estudios de dosis múltiples ascendentes) del estudio. En tercer lugar, se guardan y congelan las muestras de suero para determinar si la inmunoadhesina es capaz de pasar, a través de la mucosa nasal, hasta la sangre. Esto se realiza de dos maneras. En primer lugar, mediante la técnica ELISA se mide la presencia de la inmunoadhesina en las muestras de suero. En este examen, los anticuerpos de IgA antihumana adsorbidos en las placas de microconcentración capturan cualquier inmunoadhesina que haya en el suero, y son detectados por un anticuerpo anti-ICAM. La sensibilidad de los exámenes se establece usando muestras de suero humano normal con concentraciones conocidas de la inmunoadhesina. Por otra parte, los anticuerpos anti-ICAM pueden ser adsorbidos en las placas para capturar la inmunoadhesina del suero que podría ser detectada por un anti-lqA. En segundo lugar, la presencia de la respuesta inmune a la inmunoadhesina se lleva a cabo con el método ELISA, que utiliza la inmunoadhesina adsorbida a las placas de microconcentración. Cualquier anticuerpo de antiinmunoadhesina del suero se une v es detectable con la IgG o la IgM antihumanas. Se comparan las muestras de suero previas y posteriores al tratamiento y cualquier cambio en la concentración es considerado una prueba de la absorción de la inmunoadhesina. En caso de encontrar pruebas positivas de los anticuerpos de antiinmunoadhesina, se realizan estudios para distinguir la actividad del anti-ICAM-1 y la del anti-IgA.

Se examina a los pacientes por un posible desarrollo de una reacción alérgica a la inmunoadhesina. (En estudios anteriores, no se produjeron episodios adversos de reacciones a la ICAM soluble aplicada por vía tópica en la nariz o a planticuerpos aplicados por vía tópica en la cavidad oral). Los individuos que muestran síntomas de alergia nasal son examinados en busca de anticuerpos IgE de antiinmunoadhesina específica en fluidos de lavado nasal utilizando la técnica ELISA en dos pasos (R&D Systems).

E. Análisis estadístico

El tamaño de la muestra de estos estudios se basa en estudios anteriores que siguen el modelo de exposición al rinovirus. El tamaño de la muestra prevista para los estudios de protección debe ser adecuado para detectar una reducción en la incidencia de resfriados clínicos desde el 75% en el grupo del placebo al 25% en el grupo del tratamiento activo a valores unilaterales de a=0,05 y 1-β=0,80. Además, el tamaño de la muestra debe ser suficiente para detectar un cambio en la puntuación total de síntomas de 5 unidades, asumiendo una desviación estándar de 5,8 unidades.

Ejemplo 9: Estudios clínicos que demuestran la capacidad de la inmunoadhesina para reducir la infectividad en los humanos: estudios de exposición (no pertenece a la invención)

Los estudios de exposición se usan para demostrar que el tratamiento con la inmunoadhesina de la presente invención protege contra los resfriados clínicos o reduce los síntomas del resfriado después de una exposición al virus.

A. El virus de desafío

El virus de desafío utilizado en este estudio es el rinovirus 39 (HRV-39). El rinovirus tipo 39 es un grupo importante de rinovirus que necesita la ICAM-1 para adherirse a las células. Se ha comprobado la seguridad de los virus de desafío seleccionados atendiendo a directrices de consenso (Gwaltney et al., Prog. Med. Virol. 39:256-263, 1992). Todos los sujetos fueron inoculados con aproximadamente 200 dosis infectivas al 50% de tejido cultivado (TCID₅₀). El virus se administró en forma de gotas en dos aplicaciones de 250 μl por orificio nasal, espaciadas entre sí unos
 15 minutos, mientras los sujetos permanecían en posición supina.

้ล	h	\sim	ᆮ
\boldsymbol{a}		_	1

	Día								
-	0	1	2	3	4	5	6	7-14	21
				Horario de	el estudio de	preinoculacio	ón		
Medicación		6 dosis	6 dosis	6 dosis	6 dosis	6 dosis			
Inoculación		hora 4							
Puntuación de síntomas		m/n	m/n	m/n	m/n	m/n	m/n	n	
Lavado nasal		m	m	m	m	m	m		
Muestra de suero		Х							Χ
			Horario del estudio de preinoculación						
Medicación		6 dosis	6 dosis	6 dosis	6 dosis	6 dosis			
Inoculación		hora 0							
Puntuación de síntomas		m/n	m/n	m/n	m/n	m/n	m/n	n	
Lavado nasal		m	m	m	m	m	m		
Muestra de suero		X							Χ

Nota

En ambos estudios en los días 1-5, se aplican dosis a las horas 0, 3, 6, 9, 12 y 15

m = mañana

n = noche

B. Diseño del estudio

Se realizan dos estudios aleatorios de exposición al rinovirus (véase Tabla 5). Se evalúa la misma formulación de la inmunoadhesina de la presente invención en estudios previos y posteriores a la inoculación. En ambos estudios, se administran seis dosis diarias de la medicación durante cinco días. A cada sujeto se le asigna recibir aleatoriamente la inmunoadhesina o su placebo correspondiente, en el momento de unirse a cada estudio. Se trata de un estudio ciego y todo el personal del ensayo clínico, los sujetos y los empleados de Panorama Reseach continúan ciegos hasta que se han recogido todos los datos.

En el estudio preinoculación, la administración del medicamento comienza cuatro horas (dos dosis) antes de la exposición al virus. El virus de desafío se administra una hora después de la segunda dosis de inmunoadhesina (o placebo) y las cuatro dosis restantes de la medicación a estudio se administran según horario durante el primer día. En este estudio, dieciocho sujetos reciben el tratamiento activo y dieciocho sujetos reciben el placebo.

En el estudio posinoculación, la administración de los medicamentos comienza 24 horas después de la exposición al virus. Se eligió este momento porque ya se había usado en otros estudios de protección frente a una exposición a virus, y porque los síntomas del resfriado ya son claros (Harris & Gwaltney, Clin. Infect. Dis. 23:1287-90, 1996). El 20 virus desafío de este estudio se administra por la mañana del día 0 del estudio, aproximadamente 24 horas antes de recibir la dosis de la medicación objeto de estudio, por la mañana del día 1 del estudio. En este estudio, 36 sujetos reciben el tratamiento activo y 18 sujetos reciben el placebo.

Se aísla a cada sujeto en habitaciones de hotel desde el día 0 del estudio (el día de la exposición al virus) hasta el día 6. Cada uno de estos días se realiza una puntuación de síntomas y un lavado nasal para aislar los virus, por la mañana, antes del la primera dosis de la medicación, y una segunda puntuación de síntomas cada noche. El día 6 del estudio, los sujetos ya no permanecen aislados pero se siguen registrando las puntuaciones de síntomas cada noche hasta el día 14. Los sujetos vuelven al lugar de estudio el día 21 y se les recoge una muestra de suero para detectar los anticuerpos de la antiinmunoadhesina. La cantidad total de la inmunoadhesina que se debe usar en ambos estudios de exposición al virus (sobre un total de 54 sujetos) es de aproximadamente 1200 mg.

30 C. Aislamiento viral

La propagación del virus es detectado por el aislamiento del mismo en cultivo celular. Los ejemplares del lavado nasal se recogen mediante la instilación de 5 ml al 0.9% de solución salina en cada orificio nasal. Este lavado se expulsa dentro de un vaso de plástico y se refrigera durante una o dos horas hasta que se realizan los cultivos virales. La inmunoadhesina se elimina de los ejemplares gracias a un tratamiento con el anticuerpo anti-ICAM-1

adsorbido a un gel de agarosa (Affi-Gel 10, Bio-Rad Laboratories, Hercules, Calif.). Una parte de cada ejemplar procesado se guarda a -80 °C y otra parte se inocula en dos tubos de células HeLa, una línea de células HeLa enriquecida para la producción de ICAM-1 (Arruda et al., J. Clin. Microb. 34:1277-1279, 1996). Los rinovirus se identifican por ensayos normales de efecto citopático. A los sujetos cuyo cultivo viral sea positivo en cualquiera de los días del estudio posexposición se les considera infectados. El cálculo de las concentraciones virales en los ejemplares guardados a -80 °C se hace con diluciones en diez veces sobre placas de microconcentración con células HeLa.

Los anticuerpos contra el virus de desafío son detectados por concentraciones plasmáticas neutralizantes, hechas con los métodos estándar (Gwaltney et al., Diagnostic Procedures for Viral Rickettsial and Chlamydial Infections, páginas 579-614, American Public Health Association). Los ejemplares de suero para las pruebas de anticuerpo se recogen durante el proceso de selección, inmediatamente antes de la exposición al virus (aguda), y de nuevo 21 días después (convalecencia). Los sujetos con un aumento de al menos cuatro veces la concentración de anticuerpos contra el virus de desafío, al compararse la muestra de suero de la etapa de convalecencia con la muestra de suero de la etapa aguda, se consideran infectados.

D. Evaluación de la gravedad de la enfermedad

La gravedad de la enfermedad se valora tal y como se describió anteriormente (Turner et al., JAMA 281:1797-804, 20 1999). Las puntuaciones de síntomas se registran antes de la exposición al virus (punto de referencia) y dos veces al día a intervalos aproximados de doce horas durante los siguientes 6 días. De los días 7 a 14 de estudio, los sujetos registran sus puntuaciones de síntomas una vez al día, por la noche. En cada evaluación, a los sujetos se les pide que analicen la gravedad máxima de los siguientes ocho síntomas, en el intervalo desde la última 25 evaluación de síntomas: estornudos, rinorrea, obstrucción nasal, dolor de garganta, tos, dolor de cabeza, malestar y frío. A cada síntoma se le asigna una puntuación de gravedad de 0 a 3, que se corresponde con una gravedad sintomática de: ausente, leve, moderado o grave. Si los síntomas están presentes en el punto de referencia, la puntuación de los síntomas correspondiente al punto de referencia se eliminará del informe de puntuación sintomática. La puntuación más alta de las dos evaluaciones diarias será tomada como la puntuación diaria para cada síntoma. Las puntuaciones diarias de los síntomas para los ocho síntomas individuales se suman para obtener la puntuación total diaria de los síntomas. Se suma la puntuación total diaria de los síntomas para los 5 primeros días tras la exposición al virus (días 1 a 5 del estudio) y por la noche del día 5 del estudio se les pregunta a todos los sujetos: «¿Consideras que has tenido un resfriado?». De los sujetos que hayan tenido una puntuación total de los síntomas de al menos 6, y que hayan tenido al menos tres días de rinorrea o que su impresión subjetiva haya sido 35 que sí hayan tenido un resfriado, se dice que han sufrido un resfriado clínico.

El peso de las secreciones nasales expulsadas se determina durante los días 1 a 7, dándoles a cada sujeto paquetes de pañuelos nasales previamente pesados. Una vez usados los pañuelos, se guardan en bolsas de plástico herméticas. Todas las mañanas se recogen y se pesan los pañuelos usados y los no usados del paquete original.

40 E. Ensayo IL-8

50

15

Estudios recientes han sugerido que la respuesta inflamatoria del hospedador, en concreto la interleucina 8 (IL-8), puede estar relacionada con la patogénesis de los síntomas del resfriado común debido a la infección por rinovirus. Las concentraciones de IL-8 en los lavados nasales se determinan con un ELISA comercial (R&D Systems, Minneapolis, Minn.) tal y como se ha descrito anteriormente (Turner et al., JAMA 281:1797-804, 1999).

45 F. Estudios de toxicidad

Los estudios son los mismos tanto para el estudio de exposición como para los estudios de escala a dosis descritos en el ejemplo 8.

G. Análisis estadístico

El análisis estadístico se realiza de la misma manera que el descrito en el estudio de escalada de dosis del ejemplo 8.

Los ejemplos y discusiones anteriores, aunque predominantemente dirigidos a las inmunoadhesinas ICAM-1, se pueden adaptar fácilmente, por una persona experta, para lograr y aplicar el uso de otros tipos de inmunoadhesinas activas contra otros tipos o subtipos de virus o patógenos bacterianos. Los siguientes ejemplos ilustran realizaciones de inmunoadhesina antibacteriana, usando el receptor de la toxina del carbunco (ATR) como proteína del receptor.

55 Ejemplo 10: Construcción de los casetes de expresión de la inmunoadhesina del ATR (no pertenece a la invención)

Mediante clonación por RCP se prepara un casete que codifica para una porción del dominio extracelular del receptor de la toxina del carbunco humano (ATR). En concreto, un fragmento de 523 bp, que codifica para los aminoácidos 44-216 (los llamados dominio A del factor de von Willebrand), se amplifica desde un plásmido ATR

ES 2 426 194 T3

5 (Bradley et al., 2001) o desde un plásmido TEM8 (St Croix et al., 2000) usando los siguientes cebadores de oligonucleótido:

5'-GACCTGTACTTCATTTTGGACAAATCAGG-3'

(SEC ID N.º: 91)

5'-GAGCTCAAAATTGAGTGGATGATGCCT

(SEC ID N.º: 92)

TGCAGAG-3'

40

45

50

55

El segundo cebador (SEC ID N.º: 92) está diseñado para introducir un sitio Sac I en el extremo 3' del dominio de codificación del dominio extracelular del ATR (subrayado sólido). Se realiza una RCP con una polimerasa Pfu (Stratagene) para reducir la acumulación de errores. Se amplifica un segundo fragmento de 124 bp, que contiene un extremo 5' de región no traducida y un péptido señal de planta, a partir de un plásmido 8ATG-TOPO n.º4 (que es un clon por RCP de un extremo 5' de región no traducida optimizada de planta y un péptido señal del vector de clonación Invitrogen pCR4-TOPO), usando los siguientes cebadores de oligonucleótido:

5'-GGTACCACTTCTCTCAATCCAACTTTC-3'

(SEC ID N.º: 93)

5'-GTCCAAAATGAAGTACAGGTCAGCCAA

(SEC ID N.º: 94)

ACTAGTAGAGGTGAACAAAAGC-3'

El primer cebador (SEC ID N.º: 93) está diseñado para introducir un sitio Kpn I en el extremo 5' del fragmento por RCP (subrayado sólido). Los dos fragmentos de RCP tienen 20 nt de secuencia complementaria (punteado). Los dos fragmentos de RCP se mezclan y se amplifica un fragmento de 626 bp usando SEC ID N.º: 93 y SEC ID N.º: 92. El fragmento obtenido por RCP fue clonado dentro del vector PCR-Script (Stratagene) y secuenciado antes de clonarse entre los sitios Kpn I y Sac I del vector pMSP-colCAM, dando como resultado el plásmido pMSP-ATR-IgA2. Esto se traduce en una fusión genética del dominio extracelular de ATR y del dominio constante de la IgA2 humana.

Este dominio constante de la IgA2 humana ha sido sintetizado para usar los codones de manera óptima para la expresión de las células de tabaco. La secuencia completa de nucleótidos y aminoácidos de la fusión ATR-IgA2 (la inmunoadhesina) se muestra en la FIG. 10. En el constructo resultante, la expresión de la molécula quimérica ATR-IgA2 está bajo el control del promotor SuperMas (Ni et. al., 1995) y de la secuencia terminadora ags, en el extremo 3'

30 Se elimina todo el casete de expresión (promotor+ATR-IgA2+terminador) del compuesto pMSP-ATR-IgA2, que tiene la enzima de restricción Asc I, y se clona dentro del vector binario del plásmido Ti *Agrobacterium* pGPTV-kan-ocs, dando como resultado el plásmido pGPTV-kan-ocs-ATR-IgA2. El vector pGPTV-kan-ocs deriva del pGPTV-kan (Becker et al., 1992), que fue modificado de la siguiente manera. La secuencia entre los sitios Eco RI y Hind III de pGPTV-kan, que contiene el gen uid A, se elimina y reemplaza con el extremo 3' del gen terminador ocs (MacDonald et al., 1991) orientado al gen npt II, más los sitios de restricción para Asc I y Sac I. El propósito de este terminador adyacente al borde derecho del ADN-T es eliminar la interferencia transcripcional con el transgén, debido a que la transcripción se origina en el ADN de planta, fuera del borde derecho (Ingelbrecht et al., 1991).

La secuencia entre los bordes del ADN-T del plásmido pGPTV-kan-ocs-ATR-IgA2 se muestra en la FIG. 11. Las secuencias por fuera de los bordes izquierdo y derecho son como se describe (Becker et al., 1992). Los nucleótidos 18-187 representan el borde derecho del ADN-T. Los nucleótidos 311-630 representan el extremo 3' de la región terminadora ocs. Los nucleótidos 927-1976 representan el promotor SuperMas. Los nucleótidos 1990-2017 representan el extremo 5' no traducido del gen psaDb de *Nicotiana sylvestris* (Yamamoto et al., 1995). El contexto del codón de iniciación AG (nucleótidos 2012-2026) está diseñado para unirse al encontrado en los genes de planta altamente expresados (Sawant et al. 1999). Los nucleótidos 2018-2086 forman una secuencia de codificación para una nueva versión del péptido señal de la legúmina *Vicia faba* (Baumlein et al., 1986). Los nucleótidos 2087-2605 forman una secuencia de codificación para el dominio A del factor de von Willebrand de ATR (Bradley et al., 2001). Los nucleótidos 2606-3631 forman una secuencia de codificación de la región constante de la IgA2m(2) humana (Chintalacharuvu et al., 1994). Los nucleótidos 3794-4108 derivan del terminador agropina sintasa (ags). Los nucleótidos 4530-4800 representan el promotor NOS (Depicker et al., 1982). Los nucleótidos 4835-5626 codifican para el gen NPT II (y confieren resistencia a la kanamicina). Los nucleótidos 5648-5870 son la señal de poliadenilación del gen 7 de *A. tumefaciens* (Gielen et al., 1984). Los nucleótidos 6454-6602 representan el borde izquierdo del ADN-T.

También se ha desarrollado un constructo para la expresión en plantas de la cadena J humana y del componente secretor. Este constructo, pGPTV-hpt-ocs-35SJ/SC, se basa en el vector pGPTV-hpt-ocs, que se ha derivado del mismo modo que se ha descrito anteriormente para el pGPTV-kan-ocs. La secuencia entre los bordes del ADN-T del plásmido pGPTV-hpt-ocs-35SJ/SC se muestra en la FIG. 12. Las secuencias por fuera de los bordes izquierdo y derecho son como se describe (Becker et al., 1992). Los nucleótidos 1-149 representan el borde izquierdo del ADN-T. Los nucleótidos 733-955 son la señal de poliadenilación del gen 7 de *A. tumefaciens* (Gielen et al., 1984). Los nucleótidos 980-2002 (complemento) representan el gen hpt (y confieren resistencia a la higromicina).

- Los nucleótidos 2049-2318 (complemento) representan el promotor NOS (Depicker et al., 1982). Los nucleótidos 2898-3230 representan el promotor 35S del virus mosaico de la coliflor (CaMV), que promueve la expresión del gen del componente secretor humano y su péptido señal nativo (nucleótidos 3236-5056); y los nucleótidos 5060-5445 representan la señal de poliadenilación del gen rbcS-E9 del guisante (Mogen et al., 1992).
- Los nucleótidos 5457-5788 representan una segunda copia del promotor 35S del CaMV que promueve la expresión del gen de la cadena J (de unión) humana y de su péptido señal nativo (nucleótidos 5797-6273); y los nucleótidos 6281-6494 representan el terminador del gen 7. Los nucleótidos 6501-6819 (complemento) representan el extremo 3' del gen terminador ocs. Los nucleótidos 6944-7113 representan el borde derecho del ADN-T.
 - Ejemplo 11: La transformación de plantas y la expresión de la inmunoadhesina de ATR en plantas (no pertenece a la invención)
- Los casetes de expresión descritos anteriormente se usaron para producir inmunoadhesina en plantas por medio de la transformación mediada por *Agrobacterium*. Los plásmidos pGPTV-hpt-ocs-35SJ/SC y pGPTV-kan-ocs-ATR-IgA2 se introducen por separado dentro de la cepa LBA4404 de *A. tumefaciens*. Los cultivos de ambas cepas se dejan incubar toda la noche y se usan simultáneamente con hojas de tabaco, según el protocolo estándar (Horsch et al., 1985). Se selecciona el tejido de planta transformado en un medio de regeneración que contiene kanamicina (100 µg/ml) e higromicina (25 µg/ml).
 - Las plántulas que se regeneran en presencia de antibiótico se seleccionan para la expresión transgénica. Esto se logra preparando extractos del tejido de la hoja en un tampón de fosfato salino (PBS) y monitorizando los extractos clarificados sobre un papel de nitrocelulosa. Estos «puntos» seleccionados se examinan con un antisuero conjugado de alcalina fosfatasa específico para la IgA humana, la cadena J o el componente secretor. A las plantas que den positivo en el primer cribado se les harán más cribados, incluyendo el Western blot y el RCP. Es de esperar que la inmunoadhesina ATR-IgA2 tenga un PM de la subunidad de 59 kDa. Debido a la dimerización natural de la región constante de cadena pesada, se espera que también se formen dímeros de ~118 kDa. Estos dímeros se vuelven a dimerizar dentro de la célula de planta en presencia de la cadena J, formando una molécula de ~252 kDa. Al añadir el componente secretor, se observa una especie molecular de ~320 kDa.
- La presencia de un péptido señal en el compuesto de la cadena pesada quimérica, la cadena J y el componente secretor es importante para favorecer la formación de una inmunoadhesina multimérica. Tras la transformación del mARN, se cree que la escisión del péptido señal depositará cada proteína dentro del retículo endoplasmático (RE) de la célula de planta. Se espera que la formación de la inmunoadhesina multimérica tenga lugar en el RE y los corpúsculos de golgi; la molécula formada será excretada posteriormente desde la célula.
- 35 Ejemplo 12: Purificación de la inmunoadhesina ATR formada (no pertenece a la invención)

25

55

- La purificación de la inmunoadhesina ATR formada se puede conseguir siguiendo básicamente el método descrito para la inmunoadhesina ICAM-1 del ejemplo 3 arriba mencionado.
- Ejemplo 13: La inmunoadhesina ATR inhibe la acción de la toxina sobre las células de mamífero (no pertenece a la invención)
- Los casetes de expresión descritos anteriormente se usan para producir la inmunoadhesina formada, purificada a partir de extractos de plantas. La inmunoadhesina purificada se usa para proteger a las células CHO-K1 de la muerte en un bioensayo sencillo. Las células CHO-K1 tienen el receptor al que se une el PA en la superficie celular, pero no son sensibles a la toxina. Mueren cuando se exponen al PA y a la LFN-DTA, una proteína de fusión compuesta por los 255 aminoácidos de N-terminal de LF unidos a la cadena catalítica A de la toxina diftérica. Esta toxina recombinada explota las mismas interacciones de receptor LF-PA que se necesitan para la unión y entrada de las proteínas nativas LF y OF. Para probar el efecto protector de la inmunoadhesina, las células CHO-K1 se mezclan con una cantidad mayor de ATR-IgA2 en presencia de una cantidad constante (tóxica) de PA y LFn-DTA, y se evalúa el efecto posterior sobre la síntesis de proteínas. El ATR-IgA2 es un inhibidor eficaz de la acción de la toxina, que inhibe la acción de la toxina a concentraciones molares más bajas que la ATR soluble.
- 50 Ejemplo 14: La inmunoadhesina ATR inhibe la acción tóxica de la toxina en sujetos humanos (no pertenece a la invención)
 - La inmunoadhesina purificada se prepara en un tampón aceptable desde el punto de vista farmacéutico y se administra a sujetos humanos infectados por carbunco. La vía de administración puede ser un inhalador en aerosol o una inyección. Los sujetos que están en las etapas finales de la infección, que normalmente mueren, son protegidos de la acción de la toxina gracias a la inmunoadhesina.
 - Ejemplo 15: Construcción de un casete de expresión de la inmunoadhesina ATR alternativo (no de la invención)
 - Se prepara, mediante clonación por RCP, un casete que codifica para todo el fragmento extracelular del ATR humano (los aminoácidos 24-320). En concreto, se amplifica un fragmento de 878 bp a partir del plásmido ATR

ES 2 426 194 T3

5 (Bradley et al., 2001) o a partir de un plásmido TEM8 (St Croix et al., 2000) usando los siguientes cebadores de oligonucleótido:

5'-GGGGGACGCAGGGAGGATGGGGGTC

(SEC ID N.º: 95)

CAG -3'

5'-GAGCTCCCGTCAGAACAGTGTGTGG

(SEC ID N.º: 96)

10 TGGTG-3'

15

20

30

35

40

45

50

El segundo cebador (SEC ID N.º: 96) está diseñado para introducir un sitio Sac I en el extremo 3' de la región de codificación del dominio extracelular del ATR (subrayado sólido). Se realiza una RCP con una polimerasa Pfu (Stratagene) para reducir la acumulación de errores. Se amplifica un fragmento de 121 bp, que contiene un extremo 5' no traducido y un péptido señal de planta, a partir del plásmido delta, ATG-TOPO n.º 4, usando los siguientes cebadores de oligonucleótido:

5'-GGTACCACTTCTCTCAATCCAACTTTC-3'

(SEC ID N.º: 93)

5'-ATCCTCCCTGCGTCCCCCAGCCAAACTAGTA

(SEC ID N.º: 97)

GAGGTGAACAAAAGC-3'

El primer cebador (SEC ID N.º: 93) está diseñado para introducir un sitio Kpn I en el extremo 5' del fragmento obtenido por RCP (subrayado sólido). Los dos fragmentos obtenidos por RCP tienen 20 nt de secuencia complementaria (punteado). Los dos fragmentos obtenidos por RCP se mezclan y se amplifica un fragmento de 981 bp usando SEC ID N.º: 93 y SEC ID N.º: 96. El fragmento obtenido por RCP es clonado dentro de un casete de expresión de planta para formar una fusión genética con la IgA2 humana de la misma manera que el dominio parcial extracelular del ATR (ejemplo 1).

25 Con una construcción alternativa que siga el mismo método se podrían amplificar los aminoácidos 41-227.

Ejemplo 16: La producción de una proteína quimérica del receptor de la toxina del carbunco: CMG2-IgG y anticuerpos anti-PA de alta afinidad

La construcción de CMG2 unida a la IgG (CMG2-IgG) y los anticuerpos anti-PA de alta afinidad

Hace poco tiempo se sintetizaban fragmentos de ADN que codifican a las regiones variables de las cadenas pesada y ligera del codón optimizado anti-PA y un fragmento que codifica a la porción del dominio extracelular del receptor de la toxina del carbunco humano (CMG2). Tanto el CMG2 como las secuencias de la región variable de la cadena pesada del anti-PA se unieron por separado a los fragmentos de ADN que codifican para los dominios de regiones constantes de la cadena pesada de la IgG1 humana en un vector binario de *Agrobacterium*, bajo el control de un promotor de plantas constituyente (CaMV35S) y una secuencia de la señal de poliadenilación al extremo 3'. Se preparó un vector similar de cadena kappa para la región variable de la cadena ligera 1H. La construcción de estos vectores se describe en detalle más abajo.

Se utilizó la herramienta «Signal IP» para predecir el sitio de escisión del péptido señal de CMG2, que tiene lugar entre los aminoácidos 33 y 34⁴⁵. Usando una tabla de uso de codones derivada de genes de plantas de alta expresión, diseñamos y sintetizamos un fragmento de ADN de 697 bp que incluye un extremo 5' corto no traducido, el péptido señal de la proteína de almacenamiento albúmina 2S2 de *Arabidopsis thaliana* ⁴⁶, y los aminoácidos 34-232 de CMG2 (FIG. 14). La parte codificada de CMG2 se corresponde con la usada por Scobie et al. como una proteína soluble³¹. Tras confirmar la secuencia, este fragmento se clonó entre los sitios Kpn I y Sac I del vector pMSP-IgG, que ya tiene la región constante de la IgG1 humana, para formar el plásmido pMSP-CMG2-IgG. Esto se traduce en una fusión genética del dominio extracelular de CMG2 y de la región constante de la IgG1 humana. Esta región constante de la IgG1 humana ha sido sintetizada para usar los codones de manera óptima para la expresión de las células de tabaco. En el constructo resultante, la expresión de la molécula quimérica CMG2-IgGl está bajo el control del promotor CaMV35S47 de alta expresión y del extremo 3' del gen terminador *ags*. En la figura 14 se muestra la secuencia esperada de aminoácidos de la proteína madura.

Todo el casete de expresión (promotor+CMG2-lgGl+terminador) se subclona, a partir del compuesto pMSP-CMG2-lgG, dentro del vector binario del plásmido Ti *Agrobacterium* pGPTV-kan-ocs, dando como resultado el plásmido pGPTV-kan-ocs-CMG2-lgG. El vector pGPTV-kan-ocs deriva de pGPTV-kan, que a su vez deriva del vector binario más común pBIN19.⁴⁸ El casete de expresión usa un extremo 5' no traducido del gen de *Nicotiana sylvestris psaDb*, el cual favorece la traducción.⁴⁹ El contexto del codón de iniciación AG está diseñado para unirse al encontrado en los genes de planta altamente expresados.

Para expresar el anticuerpo anti-PA, se sintetiza un fragmento de ADN, que codifica para el dominio variable de la cadena pesada 1H y que tiene codones optimizados de planta, con un sitio Sac I en el extremo 3' de unión a nuestra secuencia de la región constante de la IgG1 humana con codón optimizado. De igual manera, también se sintetiza

- una secuencia de codificación para el dominio Vk del anticuerpo 1H, con un sitio Hind III en el extremo 3' para unirse a nuestro dominio constante kappa humano con codón optimizado. Estas secuencias incorporan el mismo dominio 5' UTR y el péptido señal que el que se usó con el gen CMG2. Ambas regiones variables se clonaron en vectores de expresión separados bajo el control del promotor CaMV35S, junto con las correspondientes regiones constantes de las cadenas pesada y ligera.
- 10 La producción proteica en el tabaco usando un sistema de expresión transitoria mediada por *Agrobacterium tumefaciens*.

Dos cepas de *Agrobacterium* portadoras de casetes de expresión de las cadenas pesada y ligera 1H se coinfiltraron en las hojas de *Nicotiana benthamiana*, recogida 7 días después y procesada inmediatamente para proceder a la purificación de anticuerpo.⁵¹ De manera similar se infiltró en las hojas una cepa de *Agrobacterium* portadora del casete de expresión CMG2-IgG. Mediante cromatografía de proteína A, se fraccionaron y prepararon los extractos de hojas procedentes de plantas de tabaco transitoriamente transfectadas. Gracias a este enfoque rápido, de alta capacidad y fácilmente reproducible, purificamos pequeñas muestras de 1H y CMG2-IgG.

La tabla 6 muestra los resultados de un experimento típico.

15

45

50

Tabla 6. Aislamiento y purificación de proteínas a partir de hojas de N. benthamiana transfectadas transitoriamente.

	gramos	μg/gm		μg/gm producidos	
Proteína	hojas	(ELISA)	µg recuperados	(OD280)	nmoles
1H lgG	100	18	1740	17,4	11,6
CMG2-IgG	74	Sin datos	1140	15,4	9,8

- Mediante SDS-PAGE se separaron las proteínas purificadas, bajo condiciones reductoras y no reductoras y sujetas a una tinción de plata (FIG. 15). La preparación de 1H IgG contenía una sola banda de 150 kDa, que se redujo a dos bandas de 50 y 26 kDa. Con la técnica del Western blot se confirmó que estas dos bandas eran cadena pesada gamma y cadena ligera kappa (no se muestra). La preparación CMG2-IgG que se eluyó a partir de la proteína A era una mezcla heterogénea de proteínas, con la banda más grande a 45 kDa bajo condiciones no reductoras y a 29 kDa bajo condiciones reductoras. El tamaño esperado, basado en la secuencia de aminoácidos, de un monómero CMG2-IgG es 58 kDa. Bajo condiciones reductoras se ve una banda pequeña a 53 kDa, lo que probablemente represente el monómero intacto CMG2-IgG. Las bandas de migración más rápidas son las de los productos de degradación proteolítica que carecen del dominio VWA/I y de todo, o parte, del CγI. Todas las bandas han reaccionado con antisuero anti-IgGI (datos no mostrados).
- La preparación de CMG2-IgG migró de nuevo bajo condiciones reductoras en SDS-PAGE y el gel se usó para teñir con Coomassie bandas en membranas PVDF. Tres trozos, que contienen los fragmentos 53, 34 y 29 kDa (FIG. 15) se enviaron a las instalaciones de estructura molecular de UC Davis para someterse a una degradación de Edman (secuenciación de aminoácidos N-terminal). No se pudo recuperar ninguna secuencia de la banda 53 kDa. Esto sugiere la presencia de residuos «bloqueados», lo cual es coherente con el Gln esperado para el amino terminal de CMG2. Los amino terminales de los fragmentos 34 y 29 kDa estaban en los aminoácidos 268 y 297 respectivamente (aminoácidos en negrita con los números 1 y 2 en la figura 14). Estos resultados son coherentes con los modelos del dibujo en la figura 15.
 - Ejemplo 17: Comprobar la actividad de la toxina anticarbunco in vitro de la proteína quimérica del receptor de la toxina del carbunco
- 40 Este ejemplo demuestra los métodos de comprobación de la actividad de la toxina anticarbunco de las proteínas quiméricas de receptor de toxina y de las inmunoadhesinas descritas en el presente documento.
 - Se examinaron el planticuerpo 1H IgG purificado y la antitoxina CMG2-IgGl para analizar su capacidad de neutralizar el PA en un ensayo con macrófagos murinos donde se emplea la toxina letal. Se observó una supervivencia de células murinas macrófagas RAW 264.7 tras la administración de PA más factor letal (100 ng/ml PA, 50 ng/ml LF), así como con distintas concentraciones de 1H IgG o CMG2-IgGl de planta.²⁵ Se preincubaron proteínas antitoxina con toxinas durante unos minutos antes de añadir a los macrófagos. Después de tres horas de exposición a toxinas, se realizó un ensayo indirecto de viabilidad. La concentración de 1H IgG de planta determinó que el anticuerpo tenía un IC₅₀ de ~0,3 μg/ml, muy similar al del mismo anticuerpo de células de animal (no se muestra). La preparación CMG2-IgG también protegía a los macrófagos en el rango de concentración 1-10 μg/ml. Esto sugiere que CMG2-IgG es una antitoxina potente.
 - Ejemplo 18: La proteína del receptor de la toxina del carbunco. Variantes de la inmunoadhesina CMG2-IgG

Este ejemplo demuestra modificaciones significativas hechas para mejorar la estabilidad y la producción de las proteínas quiméricas de receptor de toxina y de las inmunoadhesinas descritas en el presente documento.

5 La producción y la expresión de las variantes

Mediante RCP, se introdujeron modificaciones en torno al sitio Sac I en la unión entre los dominios de codificación de la CMG2 y la IgG del constructo CMG2-IgG. Se eliminaron catorce aminoácidos que no pertenecían al dominio VWA/I tal y como se define en la estructura cristalina³⁴ (V1 en la figura 14). Dicha secuencia de 14 aminoácidos y su secuencia nucleótida correspondiente se pueden ver a continuación:

TEILELQPSSVCVG (SEC ID N.º: 102)

10

15

20

45

50

55

act gaa atc cta gaa ttg cag ccc tca agt gtc tgt gtg ggg (SEC ID N.º: 103)

El dominio Cγl de la variante 2a (V2a en la figura 14) fue eliminado, ya que el análisis anteriormente citado sugería que había sitios sensibles a la proteasa en dicho dominio. En la variante 2b tanto los 14 aminoácidos y como el dominio Cγ1 se eliminaron. En la variante 3 el domino Cγl no se elimina, pero los 14 aminoácidos se sustituyeron por un enlace flexible (Gly₃Ser)₃

Todas estas cuatro variantes y el original CMG2-IgG se expresaron transitoriamente en N. benthamiana y se purificaron a partir de extractos de hojas por cromatografía de proteína A. Además, el CMG-IgG original se expresó junto con una cadena kappa humana. Las mismas cantidades de cada proteína se sometieron a SDS-PAGE bajo condiciones no reductoras y reductoras, y el gel se tiñó con azul Coomassie (FIG. 16). Todas las variantes contienen mucha más cantidad de la forma de mayor peso molecular que el original CMG2-IgG. Las variantes V1 y V3 parecen tener los mismos fragmentos de degradación (30 y 33 kDa) que el original CMG2-IgG, mientras que la variante V2a tiene dos fragmentos diferentes de 30 kDa aproximadamente. La secuenciación amino terminal de estos fragmentos (rodeada por una caja e identificada con los números 4 y 5 en la figura 16) reveló que comienzan justo antes de la región bisagra de V2a (FIG. 15).

La variante V2b, que contiene solamente el dominio VWA/I de CMG2 y Cγ2/Cγ3 de IgG, fue más estable que las otras. En condiciones reductoras (banda 11, figura 16) la mayoría de la proteína aparece en una banda 50 kDa, con muy poca degradación aparente (el tamaño esperado de esta proteína, en términos de secuencia de aa, es 46,5 kDa). En condiciones no reductoras (figura 16, banda 5) hay grandes bandas a ~40 kDa y a ~97 kDa. Ambas bandas se reducen hasta el monómero de 50 kDa, lo que indica que se corresponden con formas monoméricas y dímeros con puentes disulfuro (no se muestran datos). La cromatografía por exclusión de tamaño (SEC) de la proteína V2b muestra un solo pico a 75 kDa (figura 17). La combinación de técnicas SDS-PAGE y SEC sugiere que la proteína es una mezcla de dímeros con puentes disulfuro y dímeros unidos por enlaces no covalentes, probablemente ligados por interacciones entre los dominios Cy3.

La expresión de CMG2-IgG en presencia de la cadena ligera kappa

También es interesante saber lo que ocurre con la CMG2-IgG expresada en presencia de la cadena kappa. Se forma una escalera de bandas que comienza con aproximadamente 137 kDa y se incrementa en unidades de 35 kDa (banda 6, figura 16). Cuando se reduce, esta escalera forma tres bandas de 60,40 y 28 kDa (banda 13). La banda de 28 kDa es cadena kappa y la banda de 60 kDa es toda CMG2-IgG. La banda de 40 kDa desde este carril (número 3 en figura 16) se sometió a la degradación de Edman, lo que mostró que su amino terminal estaba en V196. Esto demostró que la cadena kappa podía prevenir la escisión de Cγ1, pero no la de la secuencia extra de 14 aminoácidos de CMG2.

Pruebas de actividad de la antitoxina

El CMG2-IgG original y el CMG2-IgG V2b fueron examinados para observar la actividad de la antitoxina en el ensayo de protección macrófaga, junto con un control negativo de anticuerpo (FIG. 18). El CMG2-V2b IgG fue superior al original, y las demás variantes mostraron niveles intermedios de actividad (datos no mostrados). La concentración de CMG2-IgG V2b que se necesitó para neutralizar la actividad de la toxina del carbunco en un 50% (IC₅₀) fue de 35 ng/ml (promedio de dos ensayos, tabla 2). Esto se compara favorablemente con anticuerpos anti-PA que están siendo desarrollados por Human Genome Sciences (IC₅₀ = 50 ng/ml), ⁵² Elusys (IC₅₀ = 80 ng/ml) ²⁷ y Avanir (IC₅₀ = 30 a 70 ng/ml). ²³ La proporción molar de CMG2-IgG V2b a PA en el IC₅₀ es de 0,38, lo que significa que cada molécula de CMG2-IgG V2b puede neutralizar casi tres moléculas de la toxina letal del carbunco.

Análisis estructural

Al superponer tres estructuras cristalinas: IgG Fc (1E4K en la Base de Datos de Proteínas⁵³), el dominio VWA/I de CMG2 (con puentes disulfuro internos, 1SHU³⁴) y CMG2 ligado a PA (1T6B³⁶), se deriva un modelo previsto de cómo debe ser la estructura del CMG-IgG V2b y de cómo se debe unir a PA (figura 19). La cromatografía por exclusión de tamaño sugiere que casi toda la CMG2-IgG Var2b tiene forma dimérica, sin embargo, los análisis SDS-PAGE sugieren que al menos el 50% de los dímeros no están unidos por enlaces covalentes. Esto puede ser debido a la forma del dominio VWA/I de CMG2, que es más globular que el dominio Cγ1 de la inmunoglobulina, siendo este más alargado (FIG. 19). Un impedimento estérico evitará que las cisteínas de las regiones bisagra de la IgG Fc se acerquen demasiado y formen puentes disulfuro eficaces.

5 La expresión de CMG2-IgG en presencia de CMG2-kappa

10

15

20

25

30

35

40

45

Se formó un compuesto formado por los 199 primeros aminoácidos de CMG2 y un dominio constante de cadena kappa humana (CMG2-kappa). CMG2-kappa fue expresada transitoriamente junto con la variante 1 o la variante 3 (ambas contienen dominios Cγ1 intactos); las proteínas resultantes se purifican por medio de Proteína-A-Sefarosa. En ambos casos, las especies moleculares dominantes fueron un par de bandas de aproximadamente 180 y 160 kDa (FIG. 20). En condiciones reductoras se observan bandas de 57 kDa, 34 kDa y 13 kDa. Los inmunoblots (no se muestran) demostraron que la banda 57 kDa contenía cadena pesada de IgG, mientras que las bandas más pequeñas reaccionaron al antisuero específico de cadena kappa. El tamaño de la banda más pequeña sería coherente con la incisión de los 14 aminoácidos entre el dominio VWA/I de CMG2 y la región constante kappa. Las principales bandas no reducidas reaccionaron con anti-IgG y antisuero anti-kappa, y probablemente representan las moléculas tetraméricas unidas con dos «cadenas pesadas» y dos «cadenas ligeras». Estas moléculas fueron probadas con ensayos de protección macrófaga RAW. La IC₅₀ fue de 44 ng/ml para VI/k y 32 ng/ml para V3/k (tabla 2). Debido a su mayor tamaño, la proporción molar antitoxina: PA a IC₅₀ fue muy inferior en las nuevas proteínas: 0,25 para VI/k y 0,18 para V3/k.

Tabla 7. IC₅₀ calculada (ng/ml) y relación molar de antitoxina a PA en IC₅₀. Las preparaciones de la CMG2-IgG original y de las variantes se mezclaron con 80 ng/ml de PA y 80 ng/ml de factor letal en ensayos de protección macrófaga RAW (véase protocolo, D. 1.5). Los resultados provienen de ensayos en tres días diferentes.

	Ensayo 20/07/05		Ens	Ensayo 27/07/2005		Ensayo 28/07/2005	
Variante	IC ₅₀ Relación Molar		IC ₅₀	Relación Molar	IC ₅₀	Relación Molar	
Original							
CMG2-lgG	242	2,16	-	-	224	2,00	
V1	-	-	-	-	197	1,80	
V2a	-	-	-	-	67	0,72	
V2b	41	0,45	-	-	28	0,31	
V3	-	-	-	-	100	0,91	
V1/K	-	-	44	0,25	-	-	
V3/K	-	-	32	0,18	-	-	

Eliminación de IgG por medio de FcyR y del efecto N-glicano

Los mecanismos implicados en la neutralización in vivo y en la eliminación de la toxina del carbunco y/o de la infección por *B. anthracis* por varias antitoxinas que están en desarrollo, no son bien conocidos. En el caso de los anticuerpos y las inmunoadhesinas, la neutralización in vivo de los compuestos toxina-antitoxina depende de su interacción con FcγR. Muchos tipos de leucocitos tienen receptores celulares de superficie para los dominios Fc de la IgG, conocidos como FcγR. Unir los compuestos antigén-anticuerpo a estas células mediante la interacción de Fc-FcγR puede dar como resultado diversas respuestas como la citotoxicidad celular dependiente de anticuerpos (ADCC) y la internalización de los compuestos receptor-ligando.

Las estructuras cristalinas muestran que FcγR se une a la región bisagra más baja de Cγ2 del dominio Fc de cadena pesada. ⁵⁵ Los estudios genéticos y bioquímicos han identificado residuos de aminoácidos que modulan esta interacción, así como la función del N-glicano de IgG Fc. Los N-glicanos son estructuras de oligosacáridos unidas mediante enlaces covalentes a ciertos residuos asparagina de las glicoproteínas. El análisis de la estructura cristalina sugiere que el N-glicano del Asn²⁹⁷ de IgG humana estabiliza una conformación específica del dominio Fc que promueve la unión FcγR. ^{55, 56} (FIG. 21). La eliminación de este N-glicano reduce drásticamente la afinidad de la IgG con las tres principales isoformas de FcγR in vitro, pero no afecta a la semivida in vivo. ^{57, 58, 59}

Todavía no se conoce el efecto de la glicosilación o la ausencia de la misma sobre el efecto protector de CMG2-IgG contra la toxina letal del carbunco o contra la infección por *B. anthracis*. Si la eliminación/destrucción eficaz de los complejos antitoxina-PA se ve afectada por la unión al FcγR, puede verse afectado también por el estado de glicosilación de la antitoxina. Los científicos de Avanir Pharmaceuticals compararon la actividad in vivo de formas glicosiladas y no glicosiladas de dos de sus compuestos anticuerpo-anti-PA, y descubrieron muy pocas diferencias en relación a la eficacia protectora.²³ Llegaron a la conclusión de que la neutralización de la toxina letal no está mediada por el efecto Fc. Sin embargo, fue un solo experimento, y observaron una disminución de la eficacia de uno de los anticuerpos no glicosilados. Por este motivo, se analizarán las formas no glicosiladas (la forma analizada en estos ejemplos) y las glicosiladas de la inmunoadhesina CMG2-IgG.

Se observan diferencias sutiles en los N-glicanos de las glicoproteínas de animal y de planta, y algunos han expresado su preocupación sobre la inmunogenicidad/alergenicidad de las glicoproteínas de plantas. ^{60, 61} La 1H IgG

y la CMG2-IgG de estos ejemplos se ha elaborado usando la región constante no glicosilada de la cadena pesada. Se cree que la inmunogenicidad no va a ser un gran problema para una neutralización del tratamiento contra el carbunco basado en una inmunoadhesina hecha de planta, incluso si fuera glicosilada. Si la inmunogenicidad llegase a ser un problema importante, debería ser posible modificar genéticamente las plantas para «humanizar» sus N-glicanos. 62-67

10 Conclusión

35

40

Una inmunoadhesina de planta, que consiste en un dominio extracelular del receptor de la toxina del carbunco humano CMG2 unida al dominio Fc de la IgG1 humana (CMG2-IgG), pudo proteger a los macrófagos de ratón de los efectos letales de la toxina letal del carbunco a concentraciones nanomolares. La actividad específica de la inmunoadhesina parece ser comparable a los mejores anticuerpos monoclonales.

15 Ejemplo 19: Otras variantes quiméricas de CMG2-IgG

Este ejemplo demuestra modificaciones significativas que se pueden hacer para mejorar la estabilidad y la producción de las proteínas quiméricas de receptor de toxina y de las inmunoadhesinas descritas en el presente documento.

La variante 2b será modificada para aumentar aún más su rendimiento. La introducción de un enlace flexible (Gly₃Ser)₃ entre los dominios VWA/I y Cγ2 (véase la estructura en la figura 19) dará como resultado una variante con un alto porcentaje de dímeros unidos por puentes disulfuro que la harán más estable y/o activa in vivo. Los 14 aminoácidos entre el dominio CMG2 VWA/I y el Cκ en el compuesto CMG2-kappa también se podrán sustituir por un enlace (Gly₃Ser)₃. Estas dos nuevas proteínas se producirán en tabaco transfectado transitoriamente y serán purificadas mediante cromatografía de proteína-A-sefarosa. Se comprobará que se hayan unido correctamente y que tenga la estabilidad esperada. Las constantes de enlace serán determinadas por resonancia del plasmón superficial. Su actividad se compara a la de las inmunoadhesinas existentes mediante ensayos de protección macrófaga RAW. No se prevé que la glicosilación afecte a la actividad en este ensayo celular. Sin embargo, la glicosilación puede afectar a la actividad in vivo, de modo que después de seleccionar la inmunoadhesina antitoxina más potente, el sitio de glicosilación en el dominio Cγ2 se volverá a introducir. Tanto las versiones glicosiladas como las no glicosiladas serán probadas in vivo.

Complejos moleculares que intervienen en la expresión de CMG2-IgG en el tabaco

La variante 4 será idéntica a la variante 2b pero con un enlace flexible, y será construida mediante la unión de un fragmento de ADN que codifica para el dominio VWA/I más el enlace (Gly₃Ser)₃ a partir de la variante 3 (aminoácidos 1-196, figura 14) a un fragmento de ADN que codifica para la región bisagra y los dominios constantes Cy2-Cy3 a partir de la variante 2b (aminoácidos 298-531, figura 14).

Además, CMG2-kappa se modificará, pues se sustituirán los 14 aminoácidos extras por el enlace flexible (Gly₃Ser)₃. Cada variante será emplazada en un casete de expresión bajo el control de un promotor constitutivo de planta (CaMV35S, u otro promotor de nuestra elección) y una secuencia de la señal de poliadenilación del extremo 3' en planta. El casete de expresión será clonado dentro del vector binario pGPTV, 48 y el plásmido resultante será transformado dentro de la cepa EHA105 de *Agrobacterium tumefaciens*.

Tabla 8

Inmunoadhesina	Disposición del dominio	N.º esperado de sitios de enlace a PA
V2b	CMG2-Cy2-Cy3	2
V4	CMG2-(G₃S)₃-Cγ2-Cγ3 VWA/I-GGGSGGGSGGGS-EPKSCDKTHTCP- CH2-CH3	2
V3/CMG-kappa	СМG2-(G ₃ S) ₃ -Сү1-Сү2-Сү3/ СМG2-(G ₃ S) ₃ -Ск	4

Tras seleccionar la antitoxina más potente (usando el ensayo de protección macrófaga), se llevará a cabo una mutagénesis dirigida al sitio para convertir un codón de Gln (en la posición 381 en la figura 14) a Asn, usando un kit comercial.

El sistema de expresión transitoria en el tabaco

Las cepas de *Agrobacterium tumefaciens* que llevan un vector binario para la expresión de las variantes 2b, 4, 5 o 6, o dos cepas de *Agrobacterium* que llevan la variante 3 más la nueva CMG2-kappa, serán infiltradas en hojas de

5 Nicotiana benthamiana (en torno a 100), junto con una cepa adicional que lleva un vector binario (P19) que codifica para un supresor viral de silenciación. El supresor de silenciación se usa para conseguir altos niveles de expresión.

Después de la infiltración, cada *Agrobacterium* transfiere su ADN-T (que contiene los casetes de expresión) desde el vector binario a las células vegetales, donde está integrado y transcrito. La inmunoadhesina se acumula en grandes cantidades en las hojas, que se recogen 7 días después de la infiltración y se procesan para obtener la inmunoadhesina purificada. Pueden producirse pequeñas cantidades de cada una de estas cinco proteínas quiméricas anticuerpo (<5 mg), suficiente para hacer análisis in vitro y de cultivos celulares, al igual que en los estudios de neutralización de toxina in vivo de rata, en un corto espacio de tiempo usando el sistema de expresión de tabaco.⁵¹

La purificación a pequeña escala y la caracterización biofísica de la inmunoadhesina

Se homogenizan las hojas de tabaco (*N. tabacum* o *N. benthamiana*) y se extraen en una solución tamponada acuosa, se centrifugan y se filtran para eliminar los sólidos; posteriormente, las proteínas con dominios IgG-Fc intactos serán purificadas por cromatografía de proteína-A-sefarosa, dializadas por PBS y esterilizadas por filtración. La proteína purificada se tiñe con una tinción Coomassie y luego se procede a la técnica del inmunoblot usando anticuerpos contra la IgG1 humana (o cadena kappa). Se utilizan cuatro criterios para evaluar el éxito en esta etapa.

En primer lugar, una proteína quimérica, purificada por proteína A, estará formada por especies de un tamaño. En segundo lugar, deberá tener un peso molecular coherente con la(s) secuencia(s) para la(s) que codifica(n) la(s) proteína(s). En tercer lugar, reaccionará con un antisuero anti-IgG. En cuarto lugar, tendrá una actividad mayor en el ensayo de protección macrófaga RAW que la de la composición actual CMG-IgG V2b. Mediremos la cinética de unión de las inmunoadhesinas al antígeno protector (List Biological Labs) por resonancia del plasmón superficial en un BIAcore (Pharmacia Biosensor), que se usará para calcular el K_d.

La protección de macrófagos de ratón contra la toxina desafío.

10

30

35

La supervivencia de células macrófagas de ratón RAW 264.7 (ATCC N.º TIB-71), tras la administración de CMG2-IgG y de la toxina, se determinará básicamente como se describe. Antes de añadir las células, concentramos la CMG2-IgG desde 10 a 1000 ng/ml y la preincubamos con la toxina (80 ng/ml PA, 80 ng/ml LF) durante 30 minutos. Después de tres horas de exposición a la toxina, se realiza un ensayo de viabilidad indirecta utilizando MTT (bromuro de 3-(4,5-dimetiltiazol-2-yl)-2,5-difeniltetrazolio). Incubamos las células en un medio con 2 mg/ml MTT durante 30 minutos, las solubilizamos en isopropanol ácido (40 nM HC1, 0,5% SDS en 90% de alcohol isopropílico) y medimos la absorbancia en A₅₉₅. El porcentaje de células que sobreviven a la toxina desafío, a una dosis específica de reactivo, comparado con las células de tratamiento simulado, se mide por análisis MTT ((promedio de pocillos de la prueba - promedio de los 8 pocillos solo con toxina) x 100%/promedio de los 8 pocillos sin toxina). Los valores de IC₅₀ (concentración de antitoxina con actividad neutralizada al 50%) se estiman a partir de la curva de respuesta a dosis. La relación molar efectiva, o la relación antitoxina-toxina a IC₅₀, también se determina para cada proteína quimérica.

El enlace flexible (Gly₃Ser)₃ implica una mejora medible en la unión de los dímeros por puentes disulfuro, en la actividad neutralizante in vitro, o en ambos.

Ejemplo 20: La actividad de la antitoxina CMG2-IgG en modelos animales de infección por carbunco

Este ejemplo demuestra las pruebas sobre animales que se pueden realizar para identificar las proteínas quiméricas de receptor de toxina y las inmunoadhesinas de la presente invención.

La presencia o ausencia del N-glicano del dominio Fc de la inmunoadhesina seleccionada puede afectar a la eficacia in vivo contra la toxina o contra una exposición a una espora de *B. anthracis*, debido a las distintas interacciones con los receptores de Fc y/o semivida en suero de la antitoxina. Tanto las formas aglicosiladas como las glicosiladas de CMG2-lgG se comprueban en un ensayo de neutralización de toxina de rata Fischer. Después se llevan a cabo pruebas de formas in vivo, semivida o ambas, sobre conejos, seguidas de un ensayo de exposición a esporas en conejos. Para los ensayos de neutralización in vivo de toxina de rata se necesitan unos 3 mg de cada antitoxina, procedente de las transfecciones transitorias de tabaco. Para los estudios de farmacocinética y de exposición a esporas en conejos se necesitan unos 200 mg de cada toxina, que serán purificados a partir de tabaco transformado de forma estable.

La neutralización in vivo de la toxina del carbunco en ratas Fischer

Los experimentos de neutralización in vivo de la toxina del carbunco se realizan usando formas glicosiladas y aglicosiladas de CMG2-IgG, básicamente como lo describe Ivins. ⁶⁹ Anestesiamos, en una cámara anestésica con isoflurano EZ (Euthanex Corp, PA) siguiendo las directrices del fabricante, a ratas macho de Fischer 344, con catéteres en la vena yugular, y con pesos de entre 200 g y 250 g (Charles River Laboratories). Les administramos una dosis de antitoxina (0,25 y 0,12 nmoles/rata, correspondiente a 1 y 0,5 veces molar, equivalente a la toxina letal), a través del catéter, a 0,2 ml PBS/0,1% BSA pH 7,4. Cinco minutos más tarde, se les administra la toxina letal (PA 20 µg/LF 4 µg de 0,2 ml/200 g rata). El control negativo es una IgG1 humana hecha de planta (nuestro laboratorio). Se usan cinco animales en cada grupo (5 animales/grupo x 2 dosis x 2 antitoxinas = 20 animales), y

cuatro animales en cada uno de los controles (4 animales/grupo x 2 dosis de control de IgG = 8 animales). Se observa a los animales por posibles molestias y para conocer el momento de la muerte y la supervivencia, valorada en función de parada respiratoria y ausencia de latido. Mantenemos a las ratas bajo el efecto de la anestesia hasta 5 horas después de la exposición a la toxina letal, o hasta la muerte, para minimizar el malestar. Las ratas que sobreviven 5 horas se monitorizan durante un periodo de tiempo más largo (hasta 72 horas). Las muestras de suero se recogen de las ratas que sobrevivieron al intervalo de 5 horas y se les analiza la concentración de la antitoxina por medio de ELISA. En un estudio similar, un anticuerpo producido por Avanir Pharmaceuticals protegía a todos los animales contra esta dosis de toxina letal de 0,5 veces molar equivalente a la toxina. Podemos esperar que con nuestra inmunoadhesina hecha de planta suceda lo mismo. Si es necesario, repetiremos los experimentos con inmunoadhesina en relación molar inferior a la toxina letal. La dosis mínima efectiva se determina para cada una de las dos formas de antitoxina.

Los parámetros farmacocinéticos en conejos

20

25

30

35

45

50

55

60

Para establecer la farmacocinética (PK) de la CMG2-IgG inyectada por vía intravenosa (i.v.), inyectamos CMG2-IgG a una dosis de 10 mg/conejo i.v. a la arteria auricular de conejos holandeses enanos (tres por grupo; de 1,5 a 2,0 kg). Se recogen muestras de sangre de la arteria auricular de cada animal una hora antes de la inyección, a las horas 1, 4 y 8, y los días 1, 2, 3, 4, 5, 6, 8, 10, 12, 15, 17, 19 y 21 después de la inyección. Obtenemos el suero tras la coagulación y centrifugación, y lo guardamos a -80 °C hasta realizar el análisis.

La concentración de CMG2-IgG en las muestras de suero de los conejos se mide con la técnica funcional ELISA. La CMG2-IgG purificada se usa como un patrón. Con el antígeno protector (List Biological Labs), a una concentración de 1 μg/ml, se recubren los pocillos (100 μl/pocillo) de las placas de microtitulación (Costar Corp.), que se dejan incubar toda la noche a 4 °C. El antígeno sin ligar es eliminado y los pocillos se bloquean con PBS + 5% de leche en polvo desnatada, durante 1 h a temperatura ambiente. Luego, se aspira la solución de bloqueo. Las muestras y el patrón se aplican sobre la placa recubierta de PA, durante 1 h a 37 °C, para luego lavarlo tres veces. Para continuar este proceso, añadimos peroxidasa del rábano (HRP) de IgG antihumana de cabra, conjugada durante 1 h a 37 °C, y luego lo lavamos tres veces. Los compuestos de anticuerpo se detectan añadiendo un sustrato de HRP e incubando durante 30 minutos a temperatura ambiente. El desarrollo del color (absorbancia a 405 nm) se determina usando un lector de microplacas Benchmark. Realizamos la prueba de ELISA para conocer la interferencia del suero de conejo y la unión no específica.

Los parámetros descriptivos de PK se determinan por métodos estándar independientes de modelo, 70 basados en los datos de concentración en suero por tiempo para la CMG2-IgG. La referencia de tiempo predosis para la administración i.v. se asigna al valor de concentración de la primera referencia de tiempo que se toma para los cálculos de PK. Se analiza el caso de cada conejo para obtener la concentración sérica máxima ($C_{máx}$), el tiempo necesario para llegar a la $C_{máx}$, la zona por debajo de la curva, la eliminación sistémica, la semivida terminal y la biodisponibilidad absoluta (F).

La exposición de los conejos a aerosoles con esporas de Bacillus anthracis

Los modelos de animales se han desarrollado para estudiar la protección pasiva de la infección por carbunco en conejillos de indias^{29, 71, 72}, ratones^{9, 73, 75} y conejos⁷⁶. Una ventaja de los modelos de ratón es que se necesita mucha menos antitoxina. Sin embargo, la mejor protección con anticuerpos anti-PA se ha observado en conejos^{24, 27} así que planeamos utilizar este mismo modelo para probar nuestra CMG2-IgG.

A partir del mes 16, las proteínas quiméricas de receptor de toxina, tanto glicosiladas como aglicosiladas, se probarán en un estudio profiláctico de preexposición. Si los conejos están protegidos (100% a la máxima dosis de antitoxina) en este estudio, entonces haremos un estudio de tratamiento posexposición que empezaría en torno al mes 21. Los conejos holandeses enanos (1,5 a 2 kg) se distribuirán aleatoriamente en grupos que contengan cuatro machos y cuatro hembras. Durante la etapa de profilaxis preexposición, los conejos recibirán, el día 0, una única dosis de CMG2-IgG i.v. (1, 2 o 4 mg de CMG2-IgG/conejo por la arteria auricular) o una solución tamponada de fosfato salino (PBS) i.v. como control, de 30 a 45 minutos antes de la exposición a las esporas del carbunco. Para evaluar la eficacia posexposición, expondremos a los conejos a las esporas en el día 0, y luego se les dará una única inyección i.v. de 4 mg de CMG2-IgG/conejo a las horas 24, 36 y 48, después de la exposición, o de PBS i.v. 48 h después de la exposición. Siguiendo el protocolo estándar, solo se expondrá a los conejos por el hocico. La dosis de aerosol objetivo de exposición para el desafío es 200 veces el 50% de la dosis letal (LD₅₀) de la cepa Ames (Ames $LD_{50} = 1,05 \times 10^5$ esporas⁷⁶). Las dosis reales de exposición se determinarán a partir de la concentración inicial y de un volumen acumulado por minuto que se recoge a lo largo de toda la exposición. Se observará a todos los animales dos veces al día durante 28 días posexposición. Se recogerán muestras de sangre y suero preexposición y en los días 1, 2, 7, 10, 14, 21 y 28 posexposición. Siempre que sea posible, las muestras de sangre y suero se obtendrán de los animales moribundos que se hayan muerto recientemente («en el momento de la muerte») y se analizarán para buscar B. anthracis. El día 28, los animales supervivientes serán sacrificados, pero se recogerán y cultivarán sus pulmones, bazos y ganglios linfáticos intratorácicos. Las muestras de suero serán esterilizadas por filtración y consideradas no infecciosas por cultivo antes de enviarlas a Planet Biotechnology, donde se realizarán análisis ELISA para determinar los valores séricos de CMG2-IgG (como en D.2.3) y las concentraciones de anti-PA de conejo (descritas más abajo).

5 La medición de la respuesta del anticuerpo anti-PA de conejo a las inmunoadhesinas

Estudios anteriores han encontrado que los conejos protegidos de la inhalación de carbunco por anticuerpos monoclonales anti-PA desarrollaron unas concentraciones protectoras de sus propios anticuerpos anti-PA. La técnica de ELISA, similar a la utilizada para establecer los valores de CMG2-IgG en el suero, se utilizará para medir la respuesta inmune contra PA en los conejos expuestos a las esporas del carbunco. En este ensayo se recubren las placas de microtitulación con PA a una concentración de 1 µg/ml y se dejan incubar durante toda la noche a 4 °C. El antígeno no ligado se elimina por lavado y se bloquean los pocillos. Luego, se aspira la solución de bloqueo. Las diluciones de las muestras de suero se incuban en la placa durante 1 hora a 37 °C. Añadimos, durante 30 minutos a 37 °C, un conjugado de peroxidasa del rábano de IgG anticonejo de cabra (Santa Cruz Biotech), y para desarrollar el color añadimos sustrato HRP y dejamos incubar 30 minutos a temperatura ambiente. El desarrollo del color (absorbancia a 405 nm) se determinará por lector de microplacas Benchmark. La dilución del suero resultante a una señal de densidad óptica de 1,0 se usará como medida a la respuesta (concentración).

Ejemplo 21. Proteínas quiméricas del receptor de la toxina botulínica (no pertenece a la invención)

Las proteínas quiméricas del receptor de la toxina botulínica se construyen mediante la fusión de un receptor de la toxina botulínica a una región constante de cadena pesada. De modo que se construyen la sinaptotagmina I (STI) de las proteínas quiméricas del receptor de la toxina botulínica y la SV2 de las proteínas quiméricas del receptor de la toxina botulínica.

La fusión del receptor de la toxina botulínica a la cadena pesada

10

15

20

25

30

35

40

55

60

Las porciones de STI (fragmento STI) y de SV2 (fragmento SV2), esas secuencias de aminoácidos suficientes para unirse a la toxina, se fusionan con la región constante de cadena pesada con secuencia(s) proteinácea(s) adicional(es), necesaria(s) para la acumulación, la solubilidad, la purificación, la resistencia a la proteasa y las siguientes modificaciones para alterar la inmunogenicidad o para aumentar la semivida en el paciente y la selección, como la posibilidad de interaccionar favorablemente con gangliósidos como Gtlb y Gdla. Los enlaces polipéptidos, como ((Gly)xSer)n, también se incluyen para aislar las necesidades de plegado y la funcionalidad de estas secuencias. Las secuencias de aminoácidos que codifican para estos polipéptidos, se optimizan de modo que incluyan el uso de codones sinónimos, para evitar la recombinación durante la clonación y la transformación, y para evitar la expresión de la pequeña inhibición mediada por ARN.

Los fragmentos del receptor de proteína botulínica fusionados a la región constante de cadena pesada también pueden ser homomultímeros y heteromultímeros de los fragmentos STI o SV2. En el caso de los homomultímeros, el fragmento de receptor de la toxina botulínica fusionado a la región constante de cadena pesada es una cadena simple de polipéptidos donde está presente, una o más veces, la secuencia del fragmento STI o del SV2, por ejemplo, la secuencia del fragmento está presente en serie en una secuencia simple de aminoácidos primarios. Se espera que los fragmentos de enlace multimerizados aumenten la afinidad aparente del enlace, por un efecto de avidez, y por lo tanto que se incremente la potencia. En el caso de los heteromultímeros, el fragmento del receptor de la toxina botulínica fusionado a la región constante de cadena pesada es una cadena simple de polipéptidos donde está presente, una o más veces, la secuencia del fragmento STI o del SV2, por ejemplo, la secuencia del fragmento está presente en serie en una secuencia simple de aminoácidos primarios. La posición de las secuencias del fragmento repetidas en la matriz lineal es variada para aumentar la avidez del enlace y así aumentar la potencia.

La proteína quimérica del receptor de la toxina botulínica

Cada uno de los fragmentos de receptor de la toxina botulínica descritos anteriormente se fusiona a la región Fc de IgG o IgA, en particular, al amino o carboxilo terminal de las regiones constantes de cadena pesada 1, 2 y 3 (α1, α2, α3 y γ1, γ2 y γ3) o a las regiones constantes de cadena pesada 2 y 3 (α2 y α3 o γ2 y γ3). También se podrán construir regiones quiméricas constantes de cadena pesada. Por ejemplo, se puede usar una región quimérica constante de cadena pesada γΙ, γ2, α2 y α3 para favorecer la purificación por medio de cromatografía de afinidad de Proteína G.

50 La proteína quimérica del receptor de la toxina botulínica mejorada con región constante de cadena pesada

Cada uno de los fragmentos del receptor de la toxina botulínica anteriormente descritos se fusiona con la región Fc de IgG o de IgA, igual que antes, en cadenas polipeptídicas separadas, y también a la región constante de la cadena ligera (κ ο λ), tanto en el amino terminal como en el carboxilo terminal. Las regiones constantes de anticuerpo se unen durante la síntesis y la maduración celular formando moléculas tetraméricas, donde las regiones constantes de las cadenas ligera y pesada se unen, de un modo canónico, por interacciones proteína-proteína con enlaces covalentes y no covalentes entre los diversos dominios constantes.

La proteína quimérica del receptor de la toxina botulínica mejorada con dominio constante de cadena pesada y un dominio variable de anticuerpo

Al complejo formado por un fragmento del receptor de la toxina botulínica y por una región constante de cadena ligera se le añade una región variable de anticuerpo con una especificidad de unión que mejora el rendimiento del

señuelo. Para mejorar el rendimiento del señuelo se pueden usar los siguientes tipos de especificidad de la región variable: una especificidad de enlace antigangliósido, para orientar al señuelo hacia las membranas sinápticas, donde se sabe que se concentra la toxina botulínica; una especificidad de enlace que dirige al señuelo a apartarse de las membranas sinápticas hacia otros componentes séricos o celulares, como los que participan en la eliminación mediada por el dominio Fc, para garantizar una destrucción rápida de la toxina botulínica; una especificidad antitoxina para favorecer la unión de la toxina o favorecer un reconocimiento más amplio de la toxina, haciendo que las regiones variables reconozcan otras secuencias de aminoácidos de toxina, que se pueden utilizar para facilitar los cruces de toxinas y para mejorar los enlaces.

Los multímeros de orden superior

Las fusiones de los multímeros de orden superior con IgA se forman mediante la unión de los polipéptidos descritos anteriormente con los dominios constantes de cadena pesada α2 y α3, lo que conlleva la posterior fusión de la cadena de unión (cadena J) y el componente secretor (SC) o la proteína de protección (PP).

Los multímeros de orden superior también están formados por la fusión de los polipéptidos descritos anteriormente con las regiones constantes de cadena pesada de la IgM, los cuales favorecen la unión de la cadena J y la unión de varios (cinco) anticuerpos con el receptor señuelo del tipo IgM.

20 Referencias adicionales

40

- 1. Dixon, T. C, Fadl, A. A., Koehler, T. M., Swanson, J. A. & Hanna, P. C. *Early Bacillus anthracis-macrophage interactions: intracellular survival and escape.* Cell Microbiol 2,453-63 (2000).
- 2. Leppla, S. H. Anthrax toxin edema factor: a bacterial adenylate cyclase that increases cyclic AMP concentrations of eukaryotic cells. Proc Natl Acad Sci USA 79, 3162-6 (1982).
- 3. Vitale, G., Pellizzari, R., Recchi, C., Napolitani, G., Mock, M. & Montecucco, C. *Anthrax lethal factor cleaves the N-terminus of MAPKKs and induces tyrosine/threonine phosphorylation of MAPKs in cultured macrophages.*Biochem Biophys Res Commun 248, 706-11. (1998).
 - 4. Duesbery, N. S. et al. *Proteolytic inactivation of MAP-kinase-kinase by anthrax lethal factor.* Science 280, 734-7 (1998).
- Friedlander, A. M. Macrophages are sensitive to anthrax lethal toxin through an acid- dependent process. J Biol Chem 261, 7123-6 (1986).
 - 6. Hanna, P. C, Acosta, D. & Collier, R. J. On the role of macrophages in anthrax. Proc Natl Acad Sci USA 90, 10198-201 (1993).
 - 7. Popov, S. G. et al. Systemic cytokine response in murine anthrax. Cell Microbiol 6, 225-33 (2004).
- 8. Alibek, K. & Handelman, S. Biohazard the chilling true story of the largest covert biological weapons program in the world told from inside by the man who ran it (Random House, 1999).
 - 9. Karginov, V. A. et al. *Treatment of anthrax infection with combination of ciprofloxacin and antibodies to protective antigen of Bacillus anthracis.* FEMS Immunol Med Microbiol 40, 71-4 (2004).
 - 10. Joellenbeck, L. M., Zwanziger, L. L., Durch, J. S. & Strom, B. L. (eds.) *The Anthrax Vaccine: Is It Safe? Does It Work?* (Natl. Acad. Press, Washington, DC, 2002).
 - 11. Ivins, B. E., Welkos, S. L., Little, S. F., Crumrine, M. H. & Nelson, G. O. *Immunization against anthrax with Bacillus anthracis protective antigencombined with adjuvants*. Infect Immun 60, 662-8 (1992).
 - 12. Hambleton, P. & Turnbull, P. C. Anthrax vaccine development: a continuing story. Adv Biotechnol Processes 13, 105-22 (1990).
- 45 13. Tan, Y., Hackett, N. R., Boyer, J. L. & Crystal, R. G. *Protective immunity evoked against anthrax lethal toxin after a single intramuscular administration of an adenovirus-based vaccine encoding humanized protective antigen.* HumGene Ther 14, 1673-82 (2003).
 - 14. Galloway, D. R. & Baillie, L. DNA vaccines against anthrax. Expert Opin Biol Ther 4, 1661-7 (2004).
 - 15. Rhie, G. E., Roehrl, M. H., Mourez, M., Collier, R. J., Mekalanos, J. J. & Wang, J. Y. *A dually active anthrax vaccine that confers protection against both bacilli and toxins*. Proc Natl Acad Sci USA 100, 10925-30 (2003).
 - 16. Hermanson, G. et al. A cationic lipid-formulated plasmid DNA vaccine onfers sustained antibody-mediated protection against aerosolized anthrax spores. Proc Natl Acad Sci USA 101, 13601-6 (2004).
 - 17. Watson, J., Koya, V., Leppla, S. H. & Daniell, H. Expression of Bacillus anthracis protective antigen in

- 5 transgenic chloroplasts of tobacco, a non-food/feed crop. Vaccine 22, 4374-4384 (2004).
 - 18. Rainey, G. J. & Young, J. A. Antitoxins: novel strategies to target agents of bioterrorism. Nat Rev Microbiol 2, 721-6 (2004).
 - 19. Artenstein, A. W. et al. *Chloroquine Enhances Survival in Bacillus anthracis Intoxication*. The Journal of Infectious Diseases 190, 1655-1660 (2004).
- 10 20. Shoop, W. L. et al. Anthrax lethal factor inhibition. Proc Natl Acad Sci USA 102, 7958-63 (2005).
 - 21. Forino, M. et al. Efficient synthetic inhibitors of anthrax lethal factor. Proc Natl Acad Sci USA 102, 9499-9504 (2005).
 - 22. Wang, F. et al; *Human monoclonal antibodies that neutralize anthrax toxin byinhibiting heptamer assembly*. Hum Antibodies 13, 105-10 (2004).
- 15 23. Sawada-Hirai, R. et al. *Human anti- anthrax protective antigen neutralizing monoclonal antibodies derived from donors vaccinated with anthrax vaccine adsorbed.* J Immune Based Ther Vaccines 2, 5 (2004).
 - 24. Peterson, J. W. et al. in American Society for Microbiology Human Monoclonal anti-PA antibody completely protects rabbits and is synergistic with ciprofloxacin in protecting mice and guinea pigs against inhalational anthrax (2005).
- 25. Maynard, J. A. et al. *Protection against anthrax toxin by recombinant antibody fragments correlates with antigen affinity*. Nat Biotechnol 20, 597-601 (2002).
 - 26. Harvey, B. R., Georgiou, G., Hayhurst, A., Jeong, K. J., Iverson, B. L. & Rogers, G. K. *Anchored periplasmic expression, a versatile technology for the isolation of high-affinity antibodies from Escherichia coli-expressed libraries*. Proc Natl Acad Sci USA 101, 9193-8 (2004).
- 25. Mohamed, N. et al. A high-affinity monoclonal antibody to anthrax protective antigen passively protects rabbits before and after aerosolized Bacillus anthracis spore challenge. Infect Immun 73, 795-802 (2005).

30

- 28. Beebe, L. et al. in *Program and abstracts of the 43rd Interscience Conference on Antimicrobial Agents and Chemotherapy 47 Protection against inhalation anthrax-induced lethality by a human monoclonal antibody to protective antigen in rabbits and cynomolgus monkeys* [abstract 3836]. (American Society for Microbiology, (Chicago). Washington, DC, 2003).
- 29. Altboum, Z., Gozes, Y., Barnea, A., Pass, A., White, M. & Kobiler, D. *Postexposure prophylaxis against anthrax: evaluation of various treatment regimens in intranasally infected guinea pigs*. Infect Immun 70, 6231-41 (2002).
- 30. Bradley, K. A., Mogridge, J., Mourez, M., Collier, R. J. & Young, J. A. *Identification of the cellular receptor for anthrax toxin.* Nature 414, 225-9 (2001).
 - 31. Scobie, H. M., Rainey, G. J., Bradley, K. A. & Young, J. A. *Human capillary morphogenesis protein 2 functions as an anthrax toxin receptor.* Proc Natl Acad Sci USA 100, 5170-4 (2003).
 - 32. Liu, S. & Leppla, S. H. Cell surface tumor endothelium marker 8 cytoplasmic tail-independent anthrax toxin binding, proteolytic processing, oligomer formation, and internalization. J Biol Chem 278, 5227-34 (2003).
- 40 33. Rosovitz, M. J. et al. Alanine-scanning mutations in domain 4 of anthrax toxin protective antigen reveal residues important for binding to the cellular receptor and to a neutralizing monoclonal antibody. J Biol Chem 278, 30936-44 (2003).
 - 34. Lacy, D. B., Wigelsworth, D. J., Scobie, H. M., Young, J. A. & Collier, R. J. Crystal structure of the von Willebrand factor A domain of human capillary morphogenesis protein 2: an anthrax toxin receptor. Proc Natl Acad Sci USA101, 6367-72 (2004).
 - 35. Lacy, D. B., Wigelsworth, D. J., Melnyk, R. A., Harrison, S. C. & Collier, R. J. Structure of heptameric protective antigen bound to an anthrax toxin receptor: A role for receptor in pH-dependent pore formation. Proc Natl Acad Sci USA (2004).
- 36. Santelli, E., Bankston, L. A., Leppla, S. H. & Liddington, R. C. *Crystal structure of a complex between anthrax toxin and its host cell receptor.* Nature 430, 905-8 (2004).
 - 37. Wigelsworth, D. J., Krantz, B. A., Christensen, K. A., Lacy, D. B., Juris, S. J.& Collier, R. J. *Binding stoichiometry and kinetics of the interaction of a human anthrax toxin receptor, CMG2, with protective antigen.* J Biol Chem 279, 23349-56 (2004).

- 5 38. Scobie, H. M. & Young, J. A. *Interactions between anthrax toxin receptors and protective antigen*. Curr Opin Microbiol 8, 106-12 (2005).
 - 39. Martin, S., Casasnovas, J. M., Staunton, D. E. & Springer, T. A. *Efficient neutralization and disruption of rhinovirus by chimeric ICAM-1/immunoglobulin molecules*. J Virol 67, 3561-8 (1993).
- 40. Ober, R. J., Martinez, C., Vaccaro, C., Zhou, J. & Ward, E. S. Visualizing the Site and Dynamics of IgG Salvage by the MHC Class I-Related Receptor, FcRn. J Immunol 172, 2021-2029 (2004).
 - 41. Ma, J. et al. Characterization of a recombinant plant monoclonal secretory antibody and preventive immunotherapy in humans. Nature Medicine 4, 601-606 (1998).
 - 42. Ma, J. K. et al. Generation and assembly of secretory antibodies in plants. Science 268, 716-719 (1995).
 - 43. Larrick, J. W., Yu, L., Chen, J., Jaiswal, S. & Wycoff, K. *Production of antibodies in transgenic plants*. Res Immunol 149, 603-8 (1998).

- 44. Organisms, C. o. t. B. C. o. G. E. 6 Biological Confinement of Genetically Engineered Organisms. (National Research Council, Washington, D.C., 2004).
- 45. Nielsen, H., Engelbrecht, J., Brunak, S. & von Heijne, G. *Identification of prokaryotic and eukaryotic signal peptides and prediction of their cleavage sites*. Protein Engineering 10, 1-6 (1997).
- 46. Guerche, P., Tire, C., De Sa, F. G., De Clercq, A., Van Montagu, M. & Krebbers, E. *Differential Expression of the Arabidopsis 2S Albumin Genes and the Effect of Increasing Gene Family Size*. Plant Cell 2, 469-478 (1990).
 - 47. Odell, J. T., Nagy, F. & Chua, N. H. *Identification of DNA sequences required for activity of the cauliflower mosaic virus* 35S *promoter.* Nature 313, 810-812 (1985).
- 48. Becker, D., Kemper, E., Schell, J. & Masterson, R. *New plant binary vectors with selectable markers located proximal to the left T-DNA border.* Plant Molecular Biology 20, 1195-1197 (1992).
 - 49. Yamamoto, Y. Y., Tsuji, H. & Obokata, J. 5'-leader of a photosystem I gene in Nicotiana sylvestris, psaDb, contains a translational enhancer. J Biol Chem 270, 12466-70 (1995).
- 50. Sawant, S. V., Singh, P. K., Gupta, S. K., Madnala, R. & Tuli, R. Conserved nucleotide sequences in highly expressed genes in plants. Journal of Genetics 78, 123-131 (1999).
 - 51. Voinnet, O., Rivas, S., Mestre, P. & Baulcombe, D. An enhanced transient expression system in plants based on suppression of gene silencing by the p19 protein of tomato bushy stunt virus. Plant J 33, 949-56 (2003).
- 52. Zhang, X. et al. in *Program and abstracts of the 43rd Interscience Conference on Antimicrobial Agents and Chemotherapy 277 Selection of potent neutralizing human monoclonal antibodies to protective antigen of Bacillus anthracis* [abstract 3976]. (American Society for Microbiology, (Chicago). Washington, DC, 2003).
 - 53. Sondermann, P., Huber, R., Oosthuizen, V. & Jacob, U. *The 3.2-A crystal structure of the human IgGI Fc fragment-Fc gammaRIII complex.* Nature 406, 267-73 (2000).
- 54. Wein, L. M. & Liu, Y. *Analyzing a bioterror attack on the food supply: The case of botulinum toxin in milk.*40 Proc Natl Acad Sci USA 102, 9984-9 (2005).
 - 55. Shields, R. L. et al. *High resolution mapping of the binding site on human IgGI for Fc gamma RI, Fc gamma RII, Fc gamma RIII, and FcRn and design of IgG1 variants with improved binding to the Fc gamma R.* J Biol Chem 276, 6591-604 (2001).
- 56. Radaev, S. & Sun, P. D. Recognition of IgG by Fcgamma receptor. The role of Fc glycosylation and the binding of peptide inhibitors. J Biol Chem 276, 16478-83 (2001).
 - 57. Jefferis, R. & Lund, J. Interaction sites on human IgG-Fc for FcgammaR: current models. Immunol Lett 82, 57-65 (2002).
 - 58. Dorai, H., Mueller, B. M., Reisfeld, R. A. & Gillies, S. D. Aglycosylated chimeric mouse/human IgGl antibody retains some effector function. Hybridoma 10, 211-7 (1991).
- 59. Hand, P. H. et al. Comparative biological properties of a recombinant chimeric anti- carcinoma mAb and a recombinant aglycosylated variant. Cancer Immunol Immunother 35, 165-74 (1992).
 - 60. Cabanes-Macheteau, M. et al. N-Glycosylation of a mouse IgG expressed in transgenic tobacco plants.

5 Glycobiology 9, 365-72 (1999).

- 61. Ko, K. et al. Function and glycosylation of plant-derived antiviral monoclonal antibody. Proc Natl Acad Sci USA 100, 8013-8 (2003).
- 62. Lerouge, P., Bardor, M., Pagny, S., Gomord, V. & Faye, L. *N-glycosylation of recombinant pharmaceutical glycoproteins produced in transgenic plants: towards a humanisation of plant N-glycans*. Curr Pharm Biotechnol 1, 347-54 (2000).
 - 63. Palacpac, N. Q. et al. Stable expression of human betal,4-galactosyltransferase in plant cells modifies N-linked glycosylation patterns. Proc Natl Acad Sci USA 96, 4692-7 (1999).
 - 64. Bakker, H. et al. *Galactose-extended glycans of antibodies produced by transgenic plants*. Proc Natl Acad Sci USA 98, 2899-904 (2001).
- 65. Misaki, R., Kimura, Y., Palacpac, N. Q., Yoshida, S., Fujiyama, K. & Seki, T. *Plant cultured cells expressing human betal,4-galactosyltransferase secrete glycoproteins with galactose-extended N-linked glycans*. Glycobiology 13, 199-205 (2003).
 - 66. Pagny, S. et al. Structural requirements for Arabidopsis betal,2-xylosyltransferase activity and targeting to the Golgi. Plant J 33, 189-203 (2003).
- 20 67. Koprivova, A. et al. *Targeted knockouts of Physcomitrella lacking plant-specific immunogenic N-glycans*. Plant Biotechnology Journal 2, 517-523 (2004).
 - 68. Varughese, M., Chi, A., Teixeira, A. V., Nicholls, P. J., Keith, J. M. & Leppla, S. H. *Internalization of a Bacillus anthracis protective antigen-c-Myc fusion protein mediated by cell surface anti-c-Myc antibodies.* Mol Med 4, 87-95 (1998).
- 25 69. Ivins, B. E., Ristroph, J. D. & Nelson, G. O. *Influence of body weight on response of Fischer 344 rats to anthrax lethal toxin.* Appl Environ Microbiol 55, 2098-100 (1989).
 - 70. Perrier, D. & Gibaldi, M. General derivation of the equation for time to reach a certain fraction of steady state. J Pharm Sci 71, 474-5 (1982).
- 71. Little, S. F., Ivins, B. E., Fellows, P. F. & Friedlander, A. M. *Passive protection by polyclonal antibodies against Bacillus anthracis infection in guinea pigs*. Infect Immun 65, 5171-5 (1997).
 - 72. Kobiler, D., Gozes, Y., Rosenberg, H., Marcus, D., Reuveny, S. & Altboum, Z. *Efficiency of protection of guinea pigs against infection with Bacillus anthracis spores by passive immunization*. Infect Immun 70, 544-60 (2002).
- 73. Lyons, C. R. et al. *Murine model of pulmonary anthrax: kinetics of dissemination, histopathology, and mouse strain susceptibility.* Infect Immun 72, 4801-9 (2004).
 - 74. Steward, J., Lever, M. S., Simpson, A. J., Sefton, A. M. & Brooks, T. J. *Post-exposure prophylaxis of systemic anthrax in mice and treatment with fluoroquinolones*. J Antimicrob Chemother 54, 95-9 (2004).
 - 75. Brossier, F., Levy, M., Landier, A., Lafaye, P. & Mock, M. Functional analysis of Bacillus anthracis protective antigen by using neutralizing monoclonal antibodies. Infect Immun 72, 6313-7 (2004).
- 40 76. Zaucha, G. M., Pitt, L. M., Estep, J., Ivins, B. E. & Friedlander, A. M. *The pathology of experimental anthrax in rabbits exposed by inhalation and subcutaneous inoculation*. Arch Pathol Lab Med 122, 982-92 (1998).
 - 77. Horsch, R. B., Fry, J. E., Hoffmann, N. L., Eichholtz, D., Rogers, S. G. & Fraley, R. T. *A simple and general method for transferring genes into plants*. Science 227, 1229-1231 (1985).
- 78. Rogers, S. G., Horsch, R. B. & Fraley, R. T. Gene transfer in plants: Production of transformed plants using Ti plasmid vectors. Methods Enzymol. 118, 627-640 (1986).
 - 79. Cundell, A. *Microbial Testing in Support of Aseptic Processing*. Pharmaceutical Technology 28, 56-66 (2004).
 - 80. Hariharan, M., VanNoord, T. & Greden, J. F. A high-performance liquid-chromatographic method for routine simultaneous determination of nicotine and cotinine in plasma. Clin Chem 34, 724-9 (1988).
- 81. Little, S. F. et al. Characterization of lethal factor binding and cell receptor binding domains of protective antigen of Bacillus anthracis using monoclonal antibodies. Microbiology 142 (Pt 3), 707-15 (1996).
 - 82. Bäumlein, H., Wobus, U., Pustell, J., Kafatos, F.C. (1986) The legumin gene family: structure of a B type

ES 2 426 194 T3

- 5 gene of Vicia faba and a possible legumin gene specific regulatory element. Nucl. Acids Res. 14: 2707-2713
 - 83. Becker, D., Kemper, E., Schell, J., Masterson, R. (1992) New plant binary vectors with selectable markers located proximal to the left T-DNA border. Plant Mol. Biol. 20: 1195-1197
 - 84. Bradley, K.A., Mogridge, J., Mourez, M., Collier, R.J., Young, J.A.T. (2001) *Identification of the cellular receptor for anthrax toxin*. Nature 414: pre-publication
- 85. Chintalacharuvu, K.R., Raines, M., Morrison, S.L. (1994) *Divergence of human alpha-chain constant region gene sequences. A novel recombinant alpha 2 gene*. Journal of Immunology 152: 5299-5304
 - 86. Crump et al. (1994) Comparative Antirhinoviral Activities of Soluble Intercellular Adhesion Molecule-1 (sICAM-1) and Chimeric ICAM-1 Immunoglobulin A Molecule. Antimicrobial Agents and Chemotherapy, 38:6, p. 1425-1427
- 87. Depicker, A., Stachel, S., Dhaese, P., Zambryski, P., Goodman, H.M. (1982) *Nopaline synthase: transcript mapping and DNA sequence*. J. Mol. Appl. Genet. 1: 561-573
 - 88. Gielen, J., De Beuckeleer, M., Seurinck, J., Deboeck, F., De Greve, H., Lemmers, M., Van Montagu, M., Schell, J. (1984) *The complete nucleotide sequence of the TL-DNA of the* Agrobacterium tumefaciens *plasmid pTi Ach5*. Embo J 3: 83546
- 20 89. Greve et al. (1991) EP 0468257, Multimeric form of human rhinovirus receptor protein.

30

- 90. Horsch, R.B., Fry, J.E., Hoffmann, N.L., Eichholtz, D., Rogers, S.G., Fraley, R.T. (1985) A simple and general method for transferring genes into plants. Science 227: 1229-1231
- 91. Ingelbrecht, I., Breyne, P., Vancompernolle, K., Jacobs, A., Van Montagu, M., Depicker, A. (1991) Transcriptional interference in transgenic plants. Gene 109: 239-242
- 92. MacDonald, M.H., Mogen, B.D., Hunt, A.G. (1991) Characterization of the polyadenylation signal from the T-DNA-encoded octopine synthase gene. Nucleic Acids Res 19: 5575-81
 - 93. Martin et al. (1993), Efficient Neutralization and Disruption of Rhinovirus by Chimeric ICAM-1/Immunoglobulin Molecules. J. of Virology, 67:6, p. 3561-3568.
 - 94. Mogen, B.D., MacDonald, M.H., Leggewie, G., Hunt, A.G. (1992) Several distinct types of sequence elements are required for efficient mRNA 3' end formation in a pea rbcS gene. Mol Cell Biol 12: 5406-14
 - 95. Ni, M., Cui, D., Einstein, J., Narasimhulu, S., Vergara, C.E., Gelvin, S.B. (1995) Strength and tissue specificity of chimeric promoters derived from the octopine and mannopine synthase genes. Plant Journal 7: 661-676
- 96. Sawant, S.V., Singh, P.K., Gupta, S.K., Madnala, R., Tuli, R. (1999) *Conserved nucleotide sequences in highly expressed genes in plants.* Journal of Genetics 78: 123-131
 - 97. St Croix, B., Rago, C., Velculescu, V., Traverso, G., Romans, K.E., Montgomery, E., Lai, A., Riggins, G.J., Lengauer, C., Vogelstein, B., Kinzler, K.W. (2000) *Genes expressed in human tumor endothelium*. Science 289: 1197-202.
- 98. Yamamoto, Y.Y., Tsuji, H., Obokata, J. (1995) *5'-leader of a photosystem I gene in Nicotiana sylvestris,* 40 psaDb. contains a translational enhancer. J Biol Chem 270: 12466-70.

Los ejemplos anteriores no son limitantes, son meramente representativos de varios aspectos de las realizaciones de la presente invención. Toda la documentación que se cita indica los niveles de competencia en la técnica a la que pertenece la invención.

- Una persona experta en la técnica apreciará fácilmente que la presente invención está adaptada para llevar a cabo el objeto, la finalidad y las ventajas mencionados, y los inherentes a ellos. Los métodos y las composiciones que se describen en el presente documento ilustran realizaciones preferidas, son ejemplos, y no se proponen como limitaciones del alcance de dicha invención.
- La invención que se describe de forma ilustrativa, se puede poner en práctica debidamente en ausencia de cualquier elemento o elementos, limitación o limitaciones que no son explicitados en el presente documento. Los términos y las expresiones que se han empleado se usan como términos de descripción y no de limitación, y no se tiene intención, con el uso de estos términos y expresiones, de excluir ningún equivalente de las características mostradas o descritas, o partes de ellas. Se reconoce que algunas modificaciones son posibles dentro del alcance de la invención reivindicada. Así pues, se debe entender que, aunque la presente invención se ha descrito en base a realizaciones preferidas, personas expertas en la técnica pueden recurrir a características opcionales,

5 modificaciones o variaciones de los conceptos descritos en el presente documento.

Además, donde las características o aspectos de la invención se describen en términos de grupos Markush o de otras alternativas agrupadas, las personas expertas en la técnica reconocerán que la invención también está descrita en términos de miembros individuales, o miembros de subgrupos, dentro del grupo Markush, u otro grupo, y de exclusión de miembros individuales donde corresponda.

REIVINDICACIONES

5

15

35

1 Una proteína quimérica de receptor de toxina formada por:

un complejo inmunoglobulínico, que a su vez está compuesto por al menos un fragmento de cadena pesada de la inmunoglobulina G (IgG) y

una proteína de morfogenia capilar 2 (CMG2) de la proteína de receptor de la toxina del carbunco, a la que le faltan los residuos de aminoácidos de SEC ID N.º: 102, unidos por enlaces covalentes con la cadena pesada de la IgG, o un fragmento de la misma.

- 2 Una proteína quimérica de receptor de toxina, como indicado en la reivindicación 1, en forma de dímero con otro receptor quimérico de toxina de la reivindicación 1.
- 3 Una proteína quimérica de receptor de proteína, de las reivindicaciones 1 o 2, cuyo complejo inmunoglobulínico está formado, además, por un fragmento de una cadena ligera de inmunoglobulina, preferiblemente una cadena kappa o lambda.
 - Una proteína quimérica de receptor de toxina, de las reivindicaciones 1 a 3, cuya cadena pesada de IgG, o un fragmento de la misma, y a cuya CMG2 de la proteína de receptor de la toxina del carbunco le faltan los residuos de aminoácidos de SEC ID N.º: 102, que están unidos por enlace covalente por medio de la unión (Gly₃Ser)₃.
- 20 5 Una proteína quimérica de receptor de proteína, descrita en las reivindicaciones anteriores, cuyo dominio Cγ1 de la cadena pesada de IgG se omite.
 - Una proteína quimérica de receptor de toxina, de las reivindicaciones 1 a 3, en donde el enlace covalente entre la CMG2 de la proteína de receptor de la toxina del carbunco y la cadena pesada de IgG es la bisagra de inmunoglobulina.
- Tuna proteína quimérica de receptor de toxina, descrita en las reivindicaciones anteriores, cuyo fragmento de la cadena pesada de IgG solo contiene las regiones constantes 2 y 3 de la cadena pesada.
 - 8 Una proteína quimérica de receptor de toxina, descrita en las reivindicaciones anteriores, donde la cadena pesada de IgG y la proteína del receptor de la toxina del carbunco son proteínas humanas.
- 9 Una proteína quimérica de receptor de toxina, descrita en las reivindicaciones anteriores, donde la proteína 30 quimérica CMG-lgG tiene una secuencia de aminoácidos de SEC ID N.º: 114
 - 10 Una composición formada por una CMG2 de una proteína quimérica de receptor de toxina, de cualquiera de la reivindicaciones de 1 a 9, y por material de planta.
 - Una composición, como la descrita en la reivindicación 10, cuyo material de planta sea seleccionado dentro del siguiente grupo: paredes de células de planta, orgánulos de plantas, citoplasma de plantas, células de planta intactas, semillas de plantas y plantas viables.
 - Un método para reducir la unión de un antígeno de carbunco a una célula hospedadora in vitro. El método consiste en: poner en contacto al antígeno de carbunco con la proteína quimérica de receptor de toxina de cualquiera de las reivindicaciones de 1 a 9, donde la proteína quimérica de receptor de toxina se une al antígeno de carbunco y se reduce la unión del antígeno de carbunco con la célula hospedadora.
- 40 13 Una proteína quimérica de receptor de toxina, descrita en las reivindicaciones de 1 a 9, para utilizar como medicamento sobre pacientes o animales.
 - 14 Una proteína quimérica de receptor de toxina, descrita en las reivindicaciones de 1 a 9, para utilizar en la prevención o en el tratamiento contra la infección por carbunco, o contra los efectos de la toxina del carbunco.
- 15 Un vector de expresión que codifica para la CMG2 de la proteína quimérica de receptor de toxina, según se 45 describe en las reivindicaciones de 1 a 9.
 - Un método de producción de una proteína quimérica de receptor de toxina, de cualquiera de las reivindicaciones de 1 a 9, que esté formado por la introducción de un vector de expresión de la reivindicación 15 en una célula hospedadora; y la expresión del complejo inmunoglobulínico y de la CMG2 de la proteína del receptor de la toxina del carbunco para formar una proteína quimérica de receptor de toxina.
- 50 17 Un método, indicado en la reivindicación 16, donde el hospedador es una planta.
 - 18 Una composición farmacéutica formada por una proteína quimérica de receptor de toxina, descrito en las reivindicaciones de 1 a 9, y un vehículo farmacéuticamente válido.

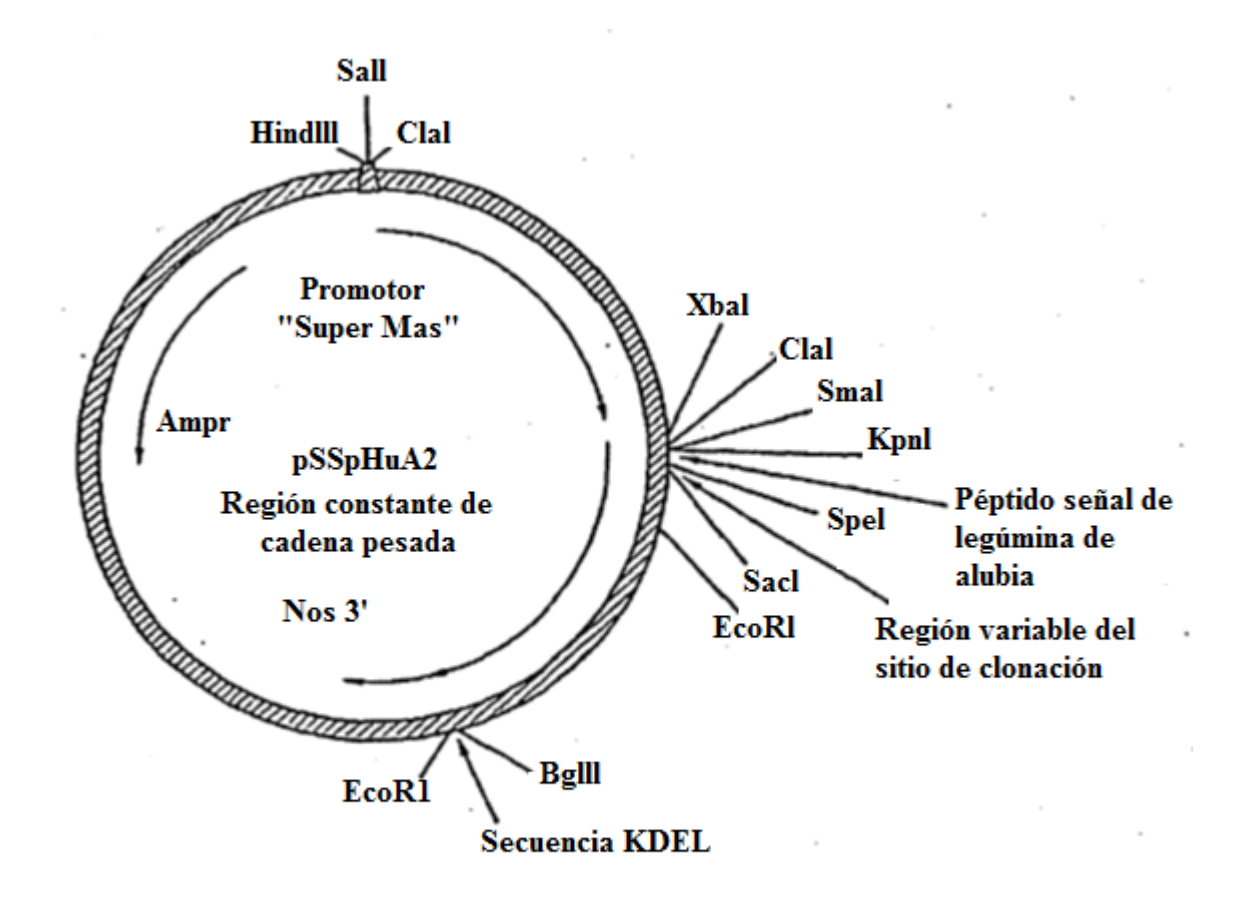


FIGURA 1

	Sp	e I Sp	e /	
Promotor SuperMas		Dominios Extracelulares ICAM-1		Extremo 3' del terminador NOS

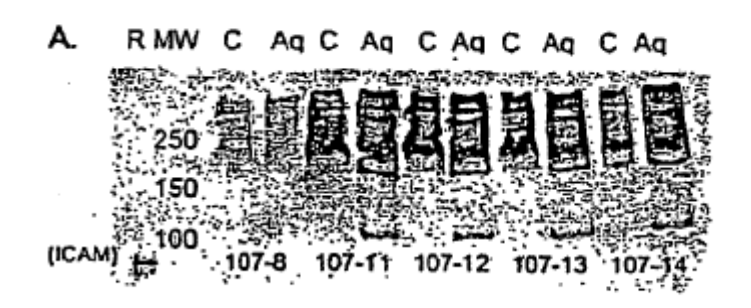
FIGURA 2A

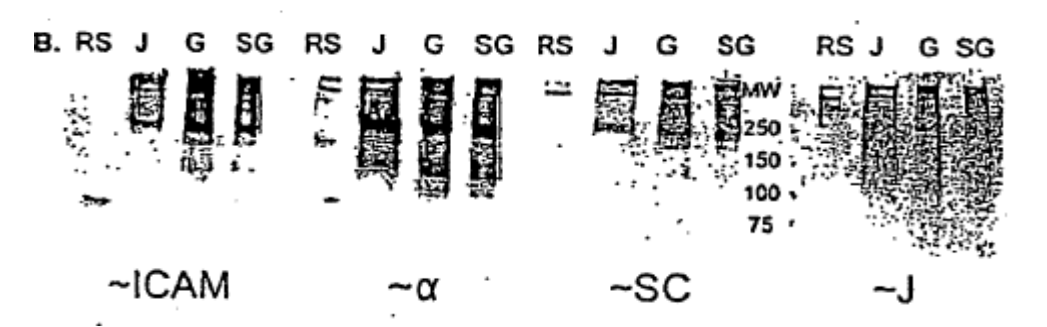
FIGURA 2B

otsvspskvilprogsvlvtcstscdopkilgibtplpkkelllponnrkvyelsnvoedsopmcysncpdgostaktpltvymtpervelaplpswopvg KSAVQGPPERDLCGCYSVSRVLFGCAQFWNHGETFTCTAAHPELKTPLTANITKSGNTPRPEVHLLPPPSEELALNELVTLTCLARGFSPKDVLVRHLQGS kceniprakvtlngvpaqplgpraqlllkatpedngrsfscsatlevagqlihknqtrelrvlygprldërdcpgnwtwpensqqtpmcqawgnplpelkc LKDGT PPLPI GESVTVTRDLEGTYL CRARSTQGEVTREVTVINTISGSSAS PTSPKV FPLSLDST PQDGINVVACL VQGFPPQEPLSVTWSESGQINVTARINF PPSQDASGDLYTTSSQLTLPATQCPDGKSVTCHVKHYTNSSQDVTVPCRVPPPPCCHPRLSLHRPALEDLLLGSEANLTCTLTGLRDASGATFTWTPSSG KNLTLRCQVEGGA PRANLTVVLLRGEKELKREPAVGEPAEVTTTVLVRRDHHGANFSCRTĖLDLRPQGLELFENTSAPYQLQTFVLPATPPQLVSPRVLEV DTQGTVVCSLDGLFPVSEAQVHLALGDQRLNPTVTYGNDSFSAKASVSVTAEDEGTQRLTCAVILGNQSQETLQTVTIYSFPAPNVILTKPEVSEGTEVTV oelprekylthasroepsogittyavtsilrvaaedhkkgetfschvghealplaftoktidrlagkpihinvsvymaeadgtcyrsekdel

[SEC ID N.º: 8]

FIGURA 3





Expresión de ICAM-1-SIgA en callos de tabaco transformados individualmente. Inmunoblots de geles de SDS-PAGE no reductora, cuyas muestras, que contienen diferentes callos de tabaco transformados (C) y extractos acuosos (Aq), migran y prueban la presencia de ICAM humana (A). Los marcadores de PM están indicados, y el patrón de referencia (R) fue una mezcla (~75 ng de cada) de ICAM humana (~75 kD) y SIgA humana (>>250 kD). La solubilidad del planticuerpo nos asegura que la extracción se podría realizar fácilmente y la similitud de las señales nos lleva a creer en la reproducibilidad de la expresión. B. Inmunoblots de geles de SDS-PAGE no reductora que contienen varias fracciones del planticuerpo parcialmente purificado a partir de callos Rhi107-11. J = jugo, G = fracción G-100, SG = fracción G-100 esterilizada por filtración (el que se utiliza en ensayo ECP) y RS = una mezcla de patrones de referencia de SIgA humana (75 ng) y de ICAM-1 humana (75 ng). Las transferencias se sondearon con anticuerpos frente a la ICAM humana (~ICAM), la cadena pesada de la IgA humana (~α), el componente secretor humano (~SC) y la cadena J humana (~J). En segundo lugar, se usaron anticuerpos conjugados con enzimas según necesidad para etiquetar las bandas inmunopositivas con fosfatasa alcalina. La especificidad del inmunoblotting se comprueba por un fallo en la detección de bandas inmunopositivas en extractos de callos no expresables (no se muestra). El PM esperado para una ICAM-1 dimerizada, sin glicosilación, es de 173.318; es probable que esta forma esté presente en la banda que migra justo por debajo de los marcadores de 250 kD, pues es inmunopositiva para el ICAM-1 y la cadena pesada. Esta banda también es inmunopositiva para el SC (PM total esperado de ~248 kD) pero no para la cadena J, algo inesperado, en cierto modo, teniendo en cuenta la vía canónica para la asociación de la SIgA, lo que implica dos tipos celulares (para mamíferos) y necesita de la presencia de cadena J antes de asociarse al SC. Una inmunoadhesina tetramérica, que contenga una sola molécula de cadena J y una sola molécula de SC, tiene un PM esperado de ~440 kD, previo a la glicosilación. Hay evidencias de varias especies con pesos moleculares muy por encima de los 200 kD, que son inmunopositivas según el método de las cuatro puntas.

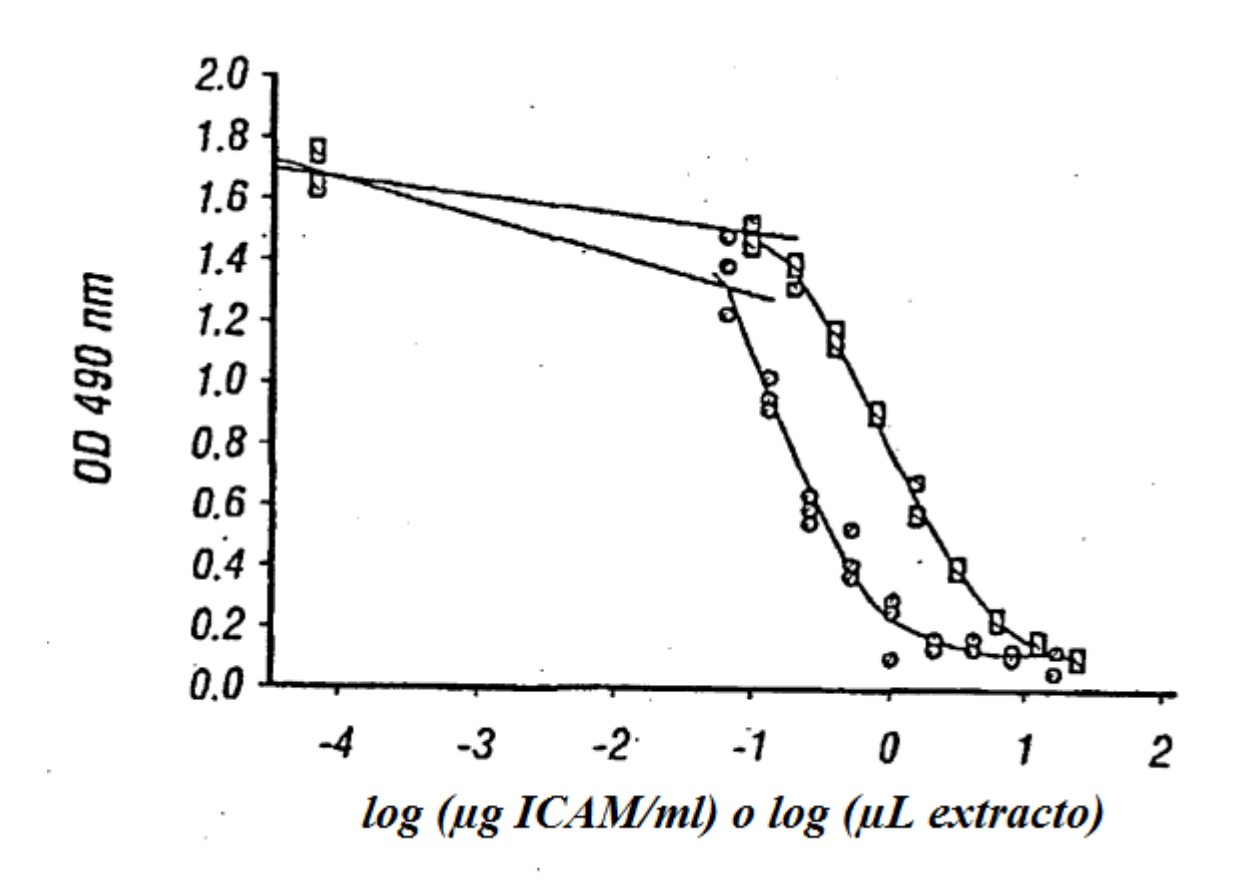
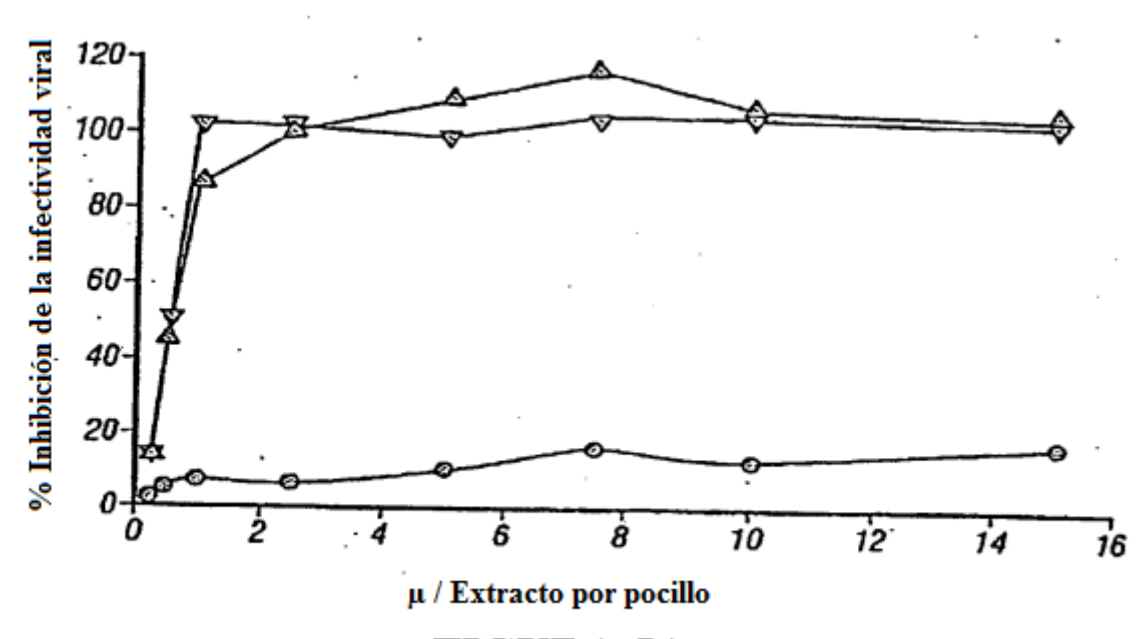


FIGURA 4





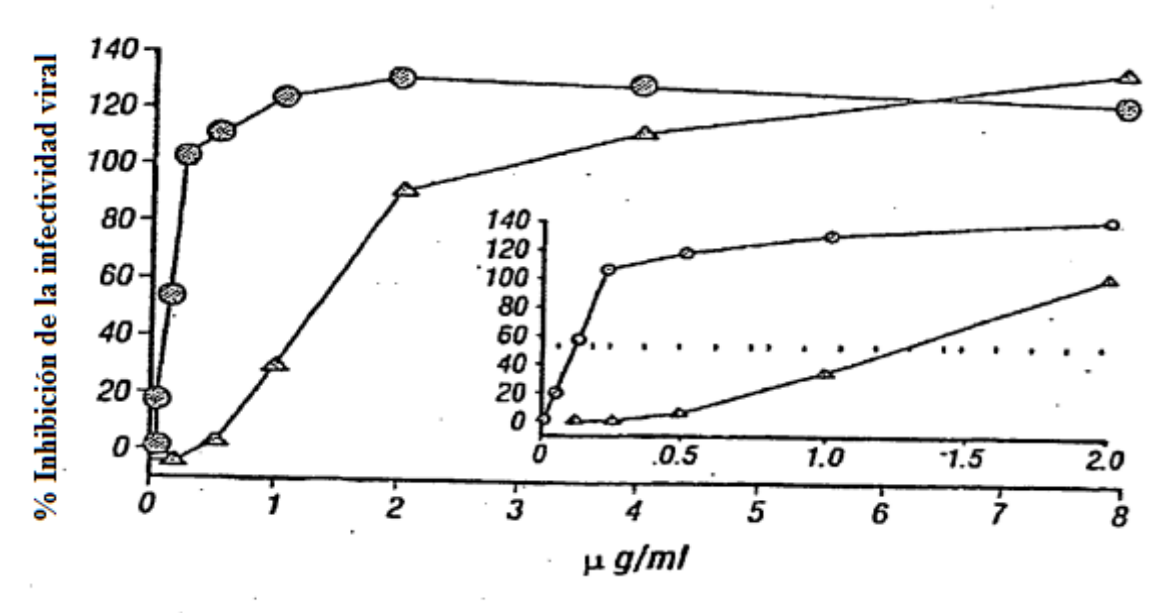


FIGURA 5B

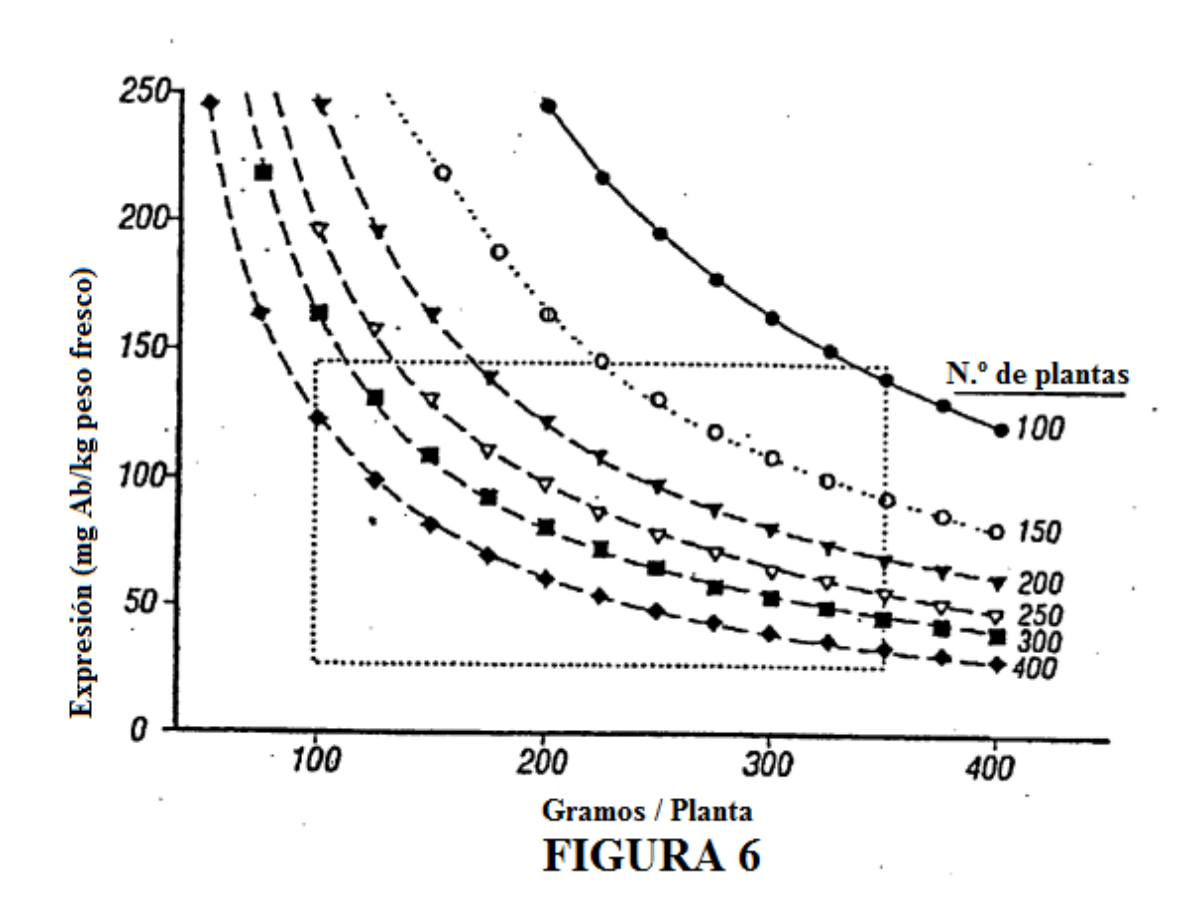


FIGURA 7A

I. REGIÓN C-α-1 DE LA IG HUMANA - HOMO SAPIENS (HUMANO)

SECUENCIA DE AMINOÁCIDOS

>sp | P01376 | REGIÓN C CADENA ALFA-1 IG HUMANA ALC1 – Homo sapiens (Humano).

10 ASPTSPKVFP	20 LSLCSTQPDG	30 NVVIACLVQG	40 FFPQEPLSVT	50 WSESGQGVTA	60 RNFPPSQDAS
70 GDLYTTSSQL	60 } TLPATQCLAG	1	100 TNPSODVIVE	i	120 SPSTPPTPSP
130 SCCHPRLSLH	140 RPALEDLLIG	1	i	170 TWTPSSGKSA	1
190 GCYSVSSVLP	200 GCAEPWNHGK	. 1	220 SKTPLTATLS	. 1	1
ZSO - ALNELVTLTC	260 - LARGPSPKDV	i		1	. 300 TFAVTSILRV
310 AAEDWKKGDT	320 FSCMVGHEAL	1	340 (RLAGKPTHVN	350 VSVVMAEVDG	тсу

[SEC ID N.º: 16]

SECUENCIA DE CODIFICACIÓN

						9	-1
•	cateceegae	cagccccaag	gtettecege	tgageetetg	cagitacccag	ccagatggga	60
	acgtggtcat	egectgeetg	gtccagggct	tcttccccca	ggagccactc	agtgtgacct	120
	ggagcgaaag	cabacadaac	gtgaccgcca	gaaacttccc	acccagccag	gatgcctccg	180
	9990000914	caccacgage	agccagctga	ccctgccggc	cacacagtgc	ctageeggea	240
	agtcegtgac	atgccacgtg	aagcactaca	cgaatcccag	ccaggatgtg	actgtgccct	300
•		CTC&&CTCC&					360
	catgctgcca	cccccgactg	tcactgcacc	gaceggeeet	cgaggacctg	ctcttaggtt	420
_	cagaagcgaa	cctcacgtgc	acactgaccg	9cctgagaga	tgcctcaggt	gtcaccttca.	480
	cctggacgcc	ctcaagtggg	aagagcgctg	trcaaggacc	accegagege	gacctctgtg	540
	getgetacag	cgtgtccagt	gtcctgccgg	gctgtgccga	gecatggaac	catgggaaga	600
	ccttcacttg	cactgctgcc	taccccgagt	ccaagacccc	gctaaccgcc	accetetesa	660
		cacattccgg					720
		gctggtgacg					780
		gctgcagggg					840
		gcccagccag					900
	cagccgagga	ctggaagaag	ggggacacct	teteetgeat	ggtgggccac	gaggccctgc	960
		cacacagaag					1020
		catggcggag					1061
	-555-		3-3333	ceederaced	•		2001

[SEC ID N.º: 15]

GenBank

J00220

LOCUS HUMIGCC8 2533 bp ADN PRI 02-DIC-1998

DEFINICIÓN Región constante de la cadena pesada alfa-1 de la inmunoglobulina de homo sapiens

(gen IGHA1), SCD parcial.

N.º ACCESO J00220

VERSIÓN J00220.1 GI: 184743

PALABRAS CLAVE -

FUENTE humano
ORGANISMO Homo sapiens

FIGURA 7B

```
Eucariotas; Metazoos; Cordados; Craneados; Vertebrados; Teleósteos;
   Mamíferos; Euterios; Primates; Catarrinos; Homínidos; Homos.
```

REFERENCIA 1 (bases 1 a 2533)

AUTORES Takahashi, N., Ueda, S., Obata, M., Nikaido, T., Nakai, S. y Honjo, T.

TÍTULO Structure of human immonoglobulin gamma genes: Implications for evolution of a gene family

REVISTA Cell 29, 671-679 (1982)

MEDLINE 83001943

COMENTARIO Esta secuencia forma parte de una región multigénica que contiene los genes de la cadena

pesada de inmunoglobulina gamma-3, gamma-1, pseudo-épsilon y alfa-1.

CARACTERÍSTICAS Situación/Calificadores

fuente 1..2533

> /organismo = "Homo sapiens" /db xref = "taxón: 9606" /cromosoma = "14" /mapa = "14q32.33"

/clon = "cosmid Ig13; Ig-gamma3-122" /tipo_tejido = "placenta; hígado"

/germline

intrón <1..141

/nota = "alfa-1 intrón J-C"

142..447 exón

/gen = "IGHA1"

gen <142..>1638

/gen = "IGHA1"

SCD unión a (<142..447,662..1021,1244..1638)

> /gen = "IGHA1" /comienzo_codón = 3

/producto = "región constante de la cadena pesada de la inmunoglobulina alfa-1"

/n_proteina = "AAC82528.1" /db xref = "GI = 184749"

/translation="SPTSPKVPPLSLCSTQPDGNVVIACLVQGFFPQEPLSVTWSESG OGVTARNFPPSQDASGDLYTTSSQLTLPATQCLAGKSVTCHVKHYTNPSQDVTVPCPV PSTPPTPSPSTPPTPSPSCCHPRLSLHRPALEDLLLGSEANLTCTLTGLRDASGVTFT wtpssgksavqgpperolcgcysvssvlpgcaepwnhgktftctaaypesktpltatl sksgntfrpevhllpppseelalnelvtltclargfspk0vlvrwlogsgelprekyl TWASRQEPSOGITTFAVTSILRVAAEDWKKGDTFSCMVGHEALPLAFTOKTIDRLAGK PTHVNVSVVMAEVDGTCY*

intrón 448..661

/gen = "IGHA1" /nota = "A" 662..1021

/gen = "IGHA1"

1022..1243

/gen = "IGHA1"

/nota = "B"

exón 1244..>1638

/gen = "IGHA1"

CONTADOR BASE 424 t 490 a 866 c 753 g

ORIGEN

axón

intrón

```
1 ggtccaactg caggcetgtg gtgcaggage tgtgtgacca tggggetgte accaggeete
61 tetgtgetgg gttcctccag talagaggag aggcagtata gaggagaggg cegegtete
121 acaggcatt ctgtgttcca gcatececga ctagececaa ggtetteceg etgageetet
                      gcagcaccca
                                                                                                 gccagatggg
cagtgtgacc
                                                                                                                                                                                                                                                                                                                         ggtccagggc
cgtgaccgcc
                                                                                                                                                                           macgrageca tegectacet
                                                                                                                                                                          tggagcgana gcggacaggg
 241 aggageeact
                                                                                                ggatgcctcc ggggacctgt acaccacgag
cctagccgc augtccgtga catgccacgt
gactgtgccc tgcccaggtc agagggcagg
                                                                                                                                                                                                                                                                                                                         cageragetg accetgeegg
301 cacccagcca
361 ccacacageg
                                                                                                                                                                                                                                                                                                                         gaagractac
ctggggagtg
                                                                                                                                                                                                                                                                                                                                                                                                     acquatecca
 421 gccaggatgt
                                                                                                addidates tecestores createres createres recerrents additional add
 481 accceptegt
541 actcacacca
 601 gggcgaggcg
661 gttccctcaa
 721 tgccacccc gactgtcact gcaccgaccg gccctcgagg acctgctct aggttcagaa
781 gcgaacccca cgtgcacact gaccggcctg agagatgcct caggtgtcac cttcacctgg
```

FIGURA 7C

841 acgccctcaa gtgggaagag cgctgttcaa ggaccacctg agcgtgacct ctgtggctgc 901 tacagegrat coagegreet googggetgt googagecat ggaaccatgg gaagacette 961 acttgcactg ctgcctaccc cgagtccaag accocgctaa ccgccaccct ctcaaaatcc 1021 ggtgggtcca gaccetgete ggggccetge teagtgetet ggtttgcaaa gcatatteet 1081 ggeotgcote otcoctocca atcotggget coagtgetca tgccaagtac acagggaaac 1141 tgaggcagge tgaggggcca ggacacagec eggggtgccc accagagcag aggggetete 1201 trateccety eccagenees tyacetyget etetaceete caggaaacac attecygece 1261 gaggtccace tgctgccgcc gccgtcggag gagctggccc tgaacgagct ggtgacgctg 1321 acgtgcctgg cacgcggctt cagccccaag gacgtgctgg ttcgctggct gcaggggtca 1381 caggagetge eccgegagaa gtacetgaet tgggeatece ggcaggagee cagecaggge 1441 accaccacct tegetgigae cageatactg egegiggeag eegaggactg gaagaagggg 1501 gacacettet cetgeatggt gggccacgag gecetgeege tggcetteae acagaagace 1561 atcgaccgct tggcgggtaa acccacccat gtcaatgtgt ctgttgtcat ggcggaggtg 1621 gacggcacct gctactgage egecegeetg tececaccee tgaataaact ccatgetece 1681 ccaagcagce ccaegettee atccggegee tgtctgtcca tectcagggt etcagcactt 1741 gygaaagggc cagggcatgg acagggaaga ataccccctg ccctgagcct cggggggccc 1801 ctggcacccc catgagactt tecaccetgg tgtgagtgtg agttgtgagt gtgagagtgt 1861 gtggtgcagg aggcctcgct ggtgtgagat cttaggtctg ccaaggcagg cacagcccag 1921 gatgggttet gagagacgea catgccccgg acagttetga gtgagcagtg geatggccgt 1981 ttgrccctga gagagecgec tetggetgta getgggaggg aatagggagg graaaaggag 2041 caggetagec aagaaaggeg caggtagtgg caggagegge gagggagtga ggggetggac 2101 tccagggccc cactgggagg acaageteea ggagggeeee accaecetag tgggtgggee 2161 traggargic cracigarge atgraggaag gggracetee cettaaccae actgreetge 2221 acggggcacg tgggcacagg tgcacactca cactcacata tatgcctgag ccctgcagga 2281 gcggaacgtt cacageccag acceagetee agaaaageca ggggagteee eteccaagee 2341 cccaagetea georgerees etaggeeest etggettese tgrgttesa ergrgcacag 2401 atraggrace macteracag accreteres ggragerert geterriger tggccmagte 2461 teceateest testaages aastaggass canageatag acagggaggg gecasgtggg 2521 gtggcatcag aag [SEC ID N.º: 52]

II. REGIÓN C DE CADENA DE LA IG ALFA-2 HUMANA - HOMO SAPIENS (HUMANO)

SECUENCIA DE AMINOÁCIDOS

>sp | P01877 | ALC2 REGIÓN C DE CADENA DE LA IG ALFA-2 HUMANA - Homo sapiens (Humano)

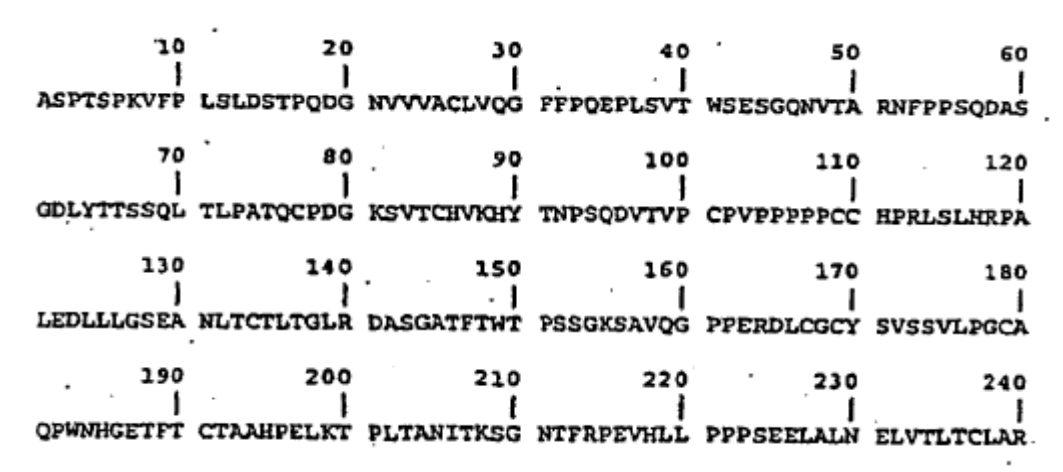
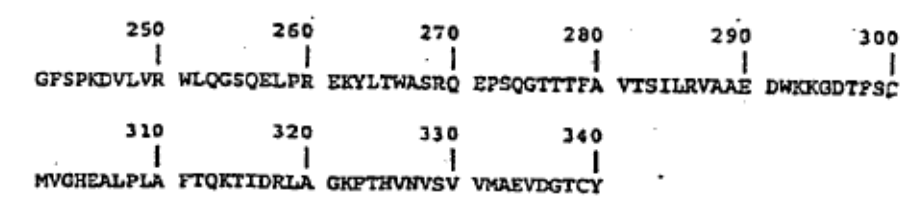


FIGURA 7D



[SEC ID N.º: 18]

SECUENCIA DE CODIFICACIÓN

	9	-1
catececgae cagececaag htetteeege tgageetega cageacecec	caagatggga	60
achebacear chestagesta decembades sessected davaceacse	agegegacce	120
ggagcgaaag cggacagaac gcgaccgcca gaaacttccc acctagccag	gatgcctccq	180
gggacctgta caccacgage agecagetga cectgeegge cacacagtge	ccagacqqea	240
agtecgtgac atgecacgtg sageactaca cgsateccag ccaggatgtg	actoroccet	300
geceagetee eccacetece coatgetgee acceegact gregetgeac	CONCODUCCO	360
togaggacct getettaggt teagaagega accteacgtg cacactgace	Occtoroad	420
atgectetgg tgccacette acctggacge ceteaagtgg gaagageget	GEECAAGGAC	480
cacctgageg tgacctctgt ggetgetaca gegtgtecag tgtectgect	gectatacce	540
agccatggaa ccatggggag accttcacct gcactgctgc ccaccecgag	Francisco	
cactaaccgc caacatcaca aaacccggaa acacattccg gcccgaggtc	caschestes	600
caccaccare adadasacta accetaved vactastas accessatas	Cheucheuge	660
OCTICAGES CARGAINES STORTEGES OFFICERS OFFICERS	ctggcacgtg	720
gettengeee changgatgtg etggtteget ggetgenggg geencaggag	ctgccccgcg	780
agaagtacct gaettgggca teeeggeagg ageceageea gggcaccace	accttcgctg	840
chaccadese seedededed devicedadd seedsawdaw dddddacaee	tteteetgea	- 900
rangadeer chaddecerd cederadest terereday decesteday	cacttaacaa	960
gtaaacccae ccatgtcaat gtgtctgttg tcatggcgga ggtggacggc	acctoctact	1020
ge		1022
		1011

[SEC ID N.º: 17]

GenBank

J700221 Ig humana de germline

LOCUS HUMIGCD7 2516 bp ADN PRI 11-ABR-2001
DEFINICIÓN Cadena H de Ig humana de germline Región: G E A B: alfa-2 A2m (I) Región

constante de alelo extremo 3'.

N.º ACCESO J00221

VERSIÓN J00221.1 GI:184756

PALABRAS CLAVE

ORGANISMO humano FUENTE Homo sapiens

Eucariotas; Metazoos; Cordados; Craneados; Vertebrados; Teleósteos;

Mamíferos; Euterios; Primates; Catarrinos; Homínidos; Homos.

REFERENCIA 1 (bases 1 a 2516) AUTORES Ellison.J. y Hood. L.

TÍTULO Linkage and sequence homology of two human immunoglobulin gamma

heavy chain constant region genes

REVISTA Proc. Natl. Acad. Sci. U.S.A. 79 (6), 1984-1988 (1982)

MEDLINE 82197621 PUBMED 6804948

REFERENCIA 2 (bases 737 a 1016) AUTORES Flanagan.J.G. y Rabbitts.T.H.

TÍTULO Arrangement of human immunoglobulin heavy chain constant regiongenes implies

evolutionary duplication of a segment containing gamma, epsilon and alpha genes

REVISTA Nature 300 (5894). 709-713 (1982)

MEDLINE 83088998 PUBMED 6817141

REFERENCIA 3 (bases 49 a 229; 425 a 514)

AUTORES Hisajima, H., Nishida, Y., Nakai, S., Takahashi, N., Ueda, S. and

Honjo, T.

TÍTULO Structure of the human immunoglobulin C epsilon 2 gene, a truncated

pseudogene: implications for its evolutionary origin

REVISTA Proc. Natl. Acad. Sci. U.S.A.80 (10), 2995-2999 (1983)

MEDLINE 83221529

FIGURA 7E

PUBMED 6407005

REFERENCIA 4 (bases 1 a 2516)

AUTORES Flanagan, J.G., Lefranc, M.P. y Rabbitts, T.H.

TÍTULO Mechanisms of divergence and convergence of the human

immunoglobulin alpha 1 and alpha 2 constant region gene sequences

REVISTA Cell 36 (3), 661-688 (1984)

MEDLINE 84130179 PUBMED 6421489

COMENTARIO (3) también informa sobre el gen alfa-1 completo y parte del alelo alfa-2 A2m (2)

(bases 737-2516; véase Tabla de sitios). La comparación de las tres secuencias sugiere que el alelo alfa-2 A2m (1) podría ser un híbrido del gen alfa-1 y del alelo alfa-2 A2m (2). La región bisagra de los genes alfa está al principio del dominio CH2. La región bisagra alfa-1 tiene 13 aminoácidos más que la de alfa-2. Ambas regiones bisagra están formadas por repeticiones en tándem de una secuencia aproximada de 15 bps. La primera repetición se produce en el extremo 5' del mARN del sitio de unión, y no es codificante. Los autores (3) sugieren que esta estructura repetitiva proporciona un mecanismo posible para el gran número de variaciones observadas en las regiones bisagra. Hay una inserción de 30 bp acopladas, deleción de 2 bp en

alfa-2 en relación a alfa-1 (a partir de base 97).

(1) también informa sobre los genes de región C épsilon-1 y épsilon-2 (pseudogén). Los autores (1) determinaron la unión física entre épsilon-1 y alfa-2, y entre épsilon-2

y alfa-1. (2) también informa del dominio CH2 alfa y épsilon-2.

Esta entrada es parte de una región multigénica (región B), que incluye los genes gamma-2, gamma-4, epsilon-1 y alfa-2. Véase segmento 1 para más comentarios.

Fuente de información completa;

ADN genómico humano, Ig10 cosmídico (1), (3); Clon H-Ig-alfa-25 de ADN placentario (2); ADN genómico de TOU II-5 biblioteca clon lambda-TOU-alfa2 (para

A2m (2) alelo) (3).

CARACTERÍSTICAS

Situación/Calificadores

fuente 1..2516

/organismo = "Homo sapiens" /db_xref = "taxón:9606"

/mapa = "14q32.33"

/germline

gen <1..1621

/gen = "IgH" /nota = "IGHA2"

intrón <1..163 /qen = "IqH"

/nota = "alfa-2 intrón J-C"

SDC unión (<164..469.684 ..1004, 1227.. 1621)

/gen = "IgH"

/nota = "contiene región constante"

/comienzo_codón = 3

/producto = "inmunoglobulina de cadena pesada alfa-2"

/n.º_proteín a= "AAB59396.1"

/db_xref = "GI: 184761"

/cranslation="sptspkvpplslostpqdgnvvvaclvqgpppqeplsvtmsesg qnvtarnfppsqdasgdlyttssoltlpatqcpdgksvtchvkhytnpsqdvtvpcpv pppppcchprlslhrpaledlligseanltctltglrdasgatftwtpssgksavqgp perdlcgcysvssvlpgcaqpmnhgetftctaahpelktpltanitksgntfrpevhl lpppseelalmelvtltclargfspkdvlvrmlqgsqelprekyltmasrqepsqgtt tfavtsilrvaaedwkkgdtfscmvghealplaftoktidrlagkpthvnvsvvmaev

DCICY.

exón 164..469 " /gen = "IgH"

/nota = "G00-119-333"

intrón 470..683

/gen = "IgH"

/nota = "alfa = 2 intrón A"

exón 684..1004

FIGURA 7F

```
intrón
                              /gen = "IgH"
                              1005..1226
                              /gen = "IgH"
                              /nota= "alfa-2 intrón B"
 exón
                              1227..1621
                              /gen = "IgH"
 variación
                              1434
                              /gen = "IgH"
                              /nota = "t en A2m (1); a en A2m (2).
 variación
                              1441
                              /gen = "IgH"
                              /nota = "g en A2m (1); a en A2m (2).
 variación
                              /gen = "IgH"
                              /nota = "c en A2m (1); t en A2m (2)".
 variación
                              1486
                              /gen = "IgH"
                              /nota = "c en A2m (1); g en A2m (2)".
 variación
                              /gen = "IgH"
                              /nota = "t en A2m (1); a en A2m (2).
 variación
                              1573..1574
                              /gen = "IgH"
                              /nota = "tg en A2m (1); ca en A2m (2)".
 variación
                              1602..1606
                              /gen = "IgH"
                              /nota = "tggac en A2m (1); cggat en A2m (2)".
 variación
                              2060
                              /nota = "c en A2m (1); t en A2m (2)".
 variación
                              2384
                              /nota = "a en A2m (1); c en A2m (2)".
 variación
                              /nota = "c en A2m (1); g en A2m (2)".
CONTADOR BASE
                       488 a
                                  861 c 754 g
```

ORIGEN

```
1 ggtccaaccg caggcccatg gtgcaggage tgtgtaacct atggggctgt caccaggcet
  61 ctctgtgctg ggttcctcca gtgtagagga gaggcaggta cagcctgtcc tcctggggac
 121 atggcatgag ggccgcgtec tcacagcgca ttetgtgtte cagcatecce gaccagecce
 181 aaggtettee egetgageet egacageace eeccaagatg ggaacgtygt cytegeatge
 241 ctggtccagg gcttcttccc ccaggagcca ctcagtgtga cctggagcga aagcggacag
 301 macgtgaccg ccagaaactt cccacctagc caggatgcct ccggggacct gtacaccacg
 361 ageagecage tgaccetgee ggccacacag tgeccagaeg geaagteegt gacatgecae
 421 gtgaagcaet acacgaatee cagecaggat gtgactgtge cetgeecagg teagagggea
 481 ggetgggag tggggeggg ceacecegte etgecetgae actgegeetg cacecgtgtt
 541 ccccacaggg ageogecet teactcacae cagagtggae ecegggeega geoccaggag
 601 gtggtggtgg acaggccagg aggggcgagg cgggggcacg gggaagggcg ttctgaccag
 661 etcaggerat etetecarte cagiteccee aceteccea igeigecace ecegarigie
 721 getgeacega eeggeeeteg aggaeetget ettaggttea gaagegaace teaegtgeac
 781 actgacogge ctgagagatg cetetggtge cacetteace tggacgecet caagtgggaa
 841 gagogorgot caaggaccae orgagogoga cototogogo toctacagog totocagogot
 901 congectige tgtgcccage catggaacca tggggagacc ttcacctgca ctgctgccca
961 ccccgagttg asgaccccac tascgccaa catcacaaaa tecggtgggt ccagaccctg
1021 ctcggggccc tgctcagtgc tctggtttgc asagcatatt cccggcctgc ctcctccctc
1081 cenatectgy getecagige testgecasg tacacaggga sactgagges ggetgagggg
1141 ccaggacaca gcccagggtg cccaccagag cagaggggct ctctcatccc ctgcccagcc
1261 geogecates gasgagetss coetsaacsa setsatsacs etsacstsee tsacastsee tsacastsee 1321 etcasecce aassatstse tsacastse setsaassassa teaccostse
1381 gangtacctg acttgggcat cccggcagga gcccagccag ggcaccacca ccttcgctgt
1441 gaccageata etgegegtgg eageegagga etggaagaag ggggacacet teteetgeat
1501 ggrgggccac gaggccctgc cgctggcctt cacacagaag accategacc gcttggcggg
1561 tanacceace cargreaty tyrerytryr carggrygag grygaeggea ectgeracty
1621 agregeeege etgteeeeee eeetgaataa acteemtget eeeeeaagea geeeeaeget
1681 tecateogge geotytotyt coatectoay gytotoayca ottygyaaay gyccayyyca
1741 tadacadada adastaceee étaceetasa estedadada escetadese escetadada
1801 etttechece tggtgtgagt gtgagttgtg agtgtgagag tgtgtggtgc aggaggeete
```

FIGURA 7G

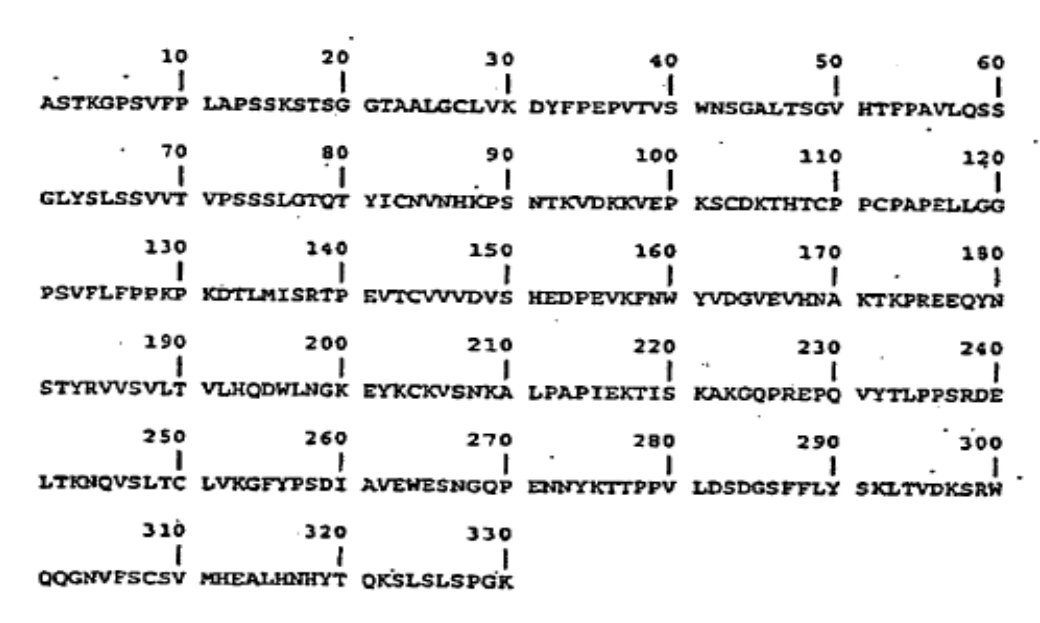
```
1861 gctggtgga gatcttaggt ctgccaaggc aggcacagcc caggatgggt tctgagagace
1921 gcacatgecc cggacagtte tgagtgagca gtggcatgge cgtttgtccc tgagagagcc
1981 gctctggct gtagctgga gggaataggg agggtaaaag gagcaggcta gccaagaaag
2041 gcgcaggtag tggcaggag tgaggggagt gagtgaggtag gcccactggg
2101 aggacaagct ccaggaggg cccaccacce tagtgggtgg gcctcaggac gtcccactga
2161 cgcatgcaga aaggggcacc tccccttaac cacactgcte tgtacggggc acgtgggaac
2221 acatgcacac tcacactcac atatacgcet gagcctgca ggagtggaac gtcacaggc
2281 cagaccagt tccagaaaaag ccaggggagt cccctccaa gcccccaagc tagcctgct
2341 ccccaagac cctctggctt ccctgtgtt ccactgtga cagatcagg accaactcca
2401 cagaccctc ccaggcagcc cctgtccct gcctggcaa gtctcccatc ccttcctaag
2461 cccaactagg acccaaagca tagacagga ggggccgcg ggggtggcat cagaag
```

[SEC ID N.º: 53]

III. REGIÓN C DE LA IG GAMMA-1 HUMANA - HOMO SAPIENS (HUMANO)

SECUENCIA DE AMINOÁCIDOS

>sp | P01857 | GC1_REGIÓN C DE LA IG GAMMA-1HUMANA - Homo sapiens (Humano)



[SEC ID N.º: 20]

SECUENCIA DE CODIFICACIÓN

```
-1
ectecacess gggcccateg gtettecece tggcaceete etecsagage acetetgggg
                                                                              60
gracagogge cotgggotge orggteaagg actaetteec egaaceggtg acggtgtegt
                                                                             120
ggaactcagg cgccctgacc agcggcgtgc acacettecc ggctgtccta cagtectcag
                                                                             180
gactetacte ecteageage gragtgaccy tocceteray cagettygge accessacet
                                                                             240
acatetgeaa egigaateae aageeeagea acaceaaggi ggacaagaaa gitgageeea
                                                                             300
materigiga camameteme acatgeceme egigecempe acetgamete eigggggme
                                                                             360
egreageert ecretteece ecaaaaceea aggacaeeet catgatetee eggaceeetg
                                                                             420
aggreacatg cgtggtggtg gacgtgagec acgasgaece tgaggteaag ttemactggt
                                                                             480
acgtggacgg cgtggaggtg cataatgcca agacaaagcc gcgggaggag cagtacaaca
                                                                             540
adracasata casadarere averavadese recradese esredadava accareres
acraetraced adradarese aresevades recraces adverages averages
                                                                             600
                                                                             660
aagccaaaga gcagcccga gaaccacagg tgtacaccct gccccatcc cgggatgagc
                                                                             720
                                                                             780
ccgtggagtg ggagagcaat gggcagccgg agaacaacta caagaccacg cctcccgtgc
                                                                             B40
tggactccga cggctccttc ttcctctaca gcaagctcac cgtggacaag agcaggtggc
                                                                             900
agcaggggaa cgtcttctca tgctccgtga tgcatgaggc tctgcacaac cactacacge
                                                                             960
agaagageet etecetytet eegggtaaat ga
                                                                             992
```

FIGURA 7H

[SEC ID N.º: 19]

GenBank

J700228

LOCUS HUMIGCC4 2009 bp ADN PRI 02-DIC-1998

DEFINICIÓN Región constante de la cadena pesada de la inmunoglobulina gamma-1 de homo

sapiens (gen IGHG1) Scod. Parc.

N.º ACCESO J00228

VERSIÓN J00228.1 GI:184739

PALABRAS CLAVE -

ORGANISMO humano FUENTE Homo sapiens

Eucariotas; Metazoos; Cordados; Craneados; Vertebrados; Teleósteos;

Mamíferos; Euterios; Primates; Catarrinos; Homínidos; Homos.

REFERENCIA 1 (bases 1 a 2009)

AUTORES Takahashi, N., Ueda, S., Obata, M., Nikaido, T., Nakai, S. y Honjo, T.

TÍTULO Structure of human immonoglobulin gamma genes: Implications for evolution of a gene

family

REVISTA Cell 29, 671-679 (1982)

MEDLINE 83001943

COMENTARIO Esta secuencia forma parte de una región multigénica que contiene los genes de la

cadena pesada de inmunoglobulina gamma-3, gamma-1, pseudo-épsilon y alfa-1.

CARACTERÍSTICAS

fuente 1..200

/organismo = "Homo sapiens" /db xref = "taxón: 9606"

/cromosoma = "14" /mapa = "14q32.33"

Situación/Calificadores

/mapa = "14q32.33" /clon = "cósmido lg13; lg-gamma3-122"

/tipo_tejido = "placenta; hígado"

/germline

gen <1...>1803 /gen = "IGHG1"

intrón <1..209

/gen = "IGHG1"

SDC unión (<210..503, 892..936, 1055..1384, 1481..1803)

/gen = "IGHG1" /comienzo_codón = 3

/producto = "región constante de la cadena pesada de la inmunoglobulina gamma-1"

/n_proteína = "AAC82527.1" /db xref = "GI: 184747"

/translation="stkgpsvfplapsskstsggtaalgclvkdyfpepvtvswnsga Ltsgvhtfpavlossglyslssvvtvpssslgtgty1cnvnhkpsntkvdkkveprsc Dkthtcppcpapellggpsvflfppkpkdtlmisrtpevtcvvvdvshedpevkpnmy VDGVevhnaktkpreegynstyrvvsvltvlhodwlngkeykckvsnkalpapiekti Skakgoprepgvytlppsrdeltknovsltclvkgfypsdiavewesnggpennyktt PPVLDSDGSfflyskltvdksrwoggnvfscsvmhealhnhytgkslslspgk*

diferencia_misc 563

/gen = "IGHG1"

/sustituir = " "

diferencia_misc 593

/gen = "IGHG1" /sustituir = " "

diferencia_misc 614

/gen = "IGHG1"

/sustituir = " "

diferencia_misc 633

/gen = "IGHG1" /sustituir = " "

diferencia_misc 643

/gen = "IGHG1"

/sustituir = " "

diferencia_misc 654

/gen = "IGHG1"

FIGURA 7I

/sustituir = " " diferencia misc 684

/gen = "IGHG1"

/sustituir = " '

diferencia misc 692

/gen = "IGHG1"

/sustituir = " 765...766

diferencia_misc /gen = "IGHG1"

/sustituir = "

diferencia_misc 1475

/gen = "IGHG1"

/sustituir = "

diferencia_misc 1578

/gen = "IGHG1"

/sustituir = " '

CONTADOR BASE 418 a 698 c 566 g 327 t

ORIGEN

1 agetttetgg ggeaggeeag geetgaeett ggetttgggg cagggagggg getaaggtga 61 ggcaggrage gccagcaggt gcacacccaa tgcccatgag cccagacact ggacgctgaa 121 cctcgcggac agttasgaac ccaggggcct ctgcgcctgg gcccagctct 181 gcggtcacat ggcaccacct ctettgcage ctccaccaag ggcccatcgg tettecccct 241 ggcaccetce tecaagagea cetetggggg cacageggee ctgggctgcc tggtcmagga 301 ctacttcccc gaaceggtga eggtgtegtg gaactcagge geeetgacca geggegtgca 361 cacetteeeg getgeeetac agteeteagg actetactee etcageageg tggtgacegt 421 gecetecage agert9ggea cecagaceta catergeaac grgaateaca ageecageaa 481 caccaaggig gacaagaaag tiggigagaa gccagcacag ggagggaggg igicigcigg 541 aagcaggote agegeteetg ceiggacgea teceggetai geageceeag iceagggeag 601 caaggeagge coogtotgee tetteacceg gageetetge cogeceeact catgeteagg 721 caggecetge acacaaaggg geaggtgetg ggeteagace tgecaagage catateeggg 781 aggaccotge coorgaecta ageocaccee asaggocasa eterceacte cotrageteg 841 gacacettet etecteccag attecageaa eteccaatet tetetetgea gageecaaat 901 cttgtgacaa aactcacaca tgcccaccgt gcccaggtaa gccagcccag gcctcgccct 961 ccageteaag gegggaeagg tgeeetagag tageetgeat ecagggaeag gereeageeg 1021 ggtgctgaca egtecacete catetettee teageacetg aacteetggg gggacegtea 1081 gtetteetet teeccecaaa acceaaggae acceteatga teteceggae ecetgaggte 1141 acatgogtgg tggtggaegt gagocacgaa gaecotgagg tcaagttcaa otggtaegtg 1201 gacggcgtgg aggtgcataa tgccaagaca aagccgcggg aggagcagta caacagcacg 1261 taccgggtgg tcagcgtcct caccgtcctg caccaggact ggctgaatgg caaggagtac 1321 magtgcaagg tetecaacam agreeteeca geececateg agammaccat etecamagee 1381 aaaggrggga cccgrggggt gcgagggcca carggacaga ggccggcrcg gcccacccrc 1441 tgccctgaga gtgaccgctg taccaacctc tgtcctacag ggcagccccg agaaccatag 1501 gtgtacaccc tgcccccatc ccgggatgag ctgaccaaga accaggtcag cctgacctge 1561 ctggtcamag gettetatee cagegacate geogragagt gggmgmgcam tgggcmgceg 1621 gagaacaact acaagaccac geeteeegtg etggaeteeg aeggeteett etteetetae 1681 agcaagetea cegtggacaa gageaggtgg cagcagggga acgtettete atgeteegtg 1741 atgestgagg etetgesess cesetseseg esgaagagee tetecetgee teegggtass 1801 tgagtgcgac ggccggcaag ccccgctccc cgggctctcg eggtcgcacg aggatgcttg 1861 gracgtacce cotglacata etteroggge gorcagoatg gaaataaago accoagogot 1921 gecetgggee eetgegagae tgtgatggtt etttecaegg gteaggeega gtetgaggee 1981 tgagtggcat gagggaggca gagcgggte

[SEC ID N.º: 54]

IV. REGIÓN C DE LA IG GAMMA 2 HUMANA - HOMO SAPIENS (HUMANO)

SECUENCIA DE AMINOÁCIDOS

>sp | P01859 | GC2_REGIÓN C DE LA IG GAMMA-2HUMANA - Homo sapiens (Humano)

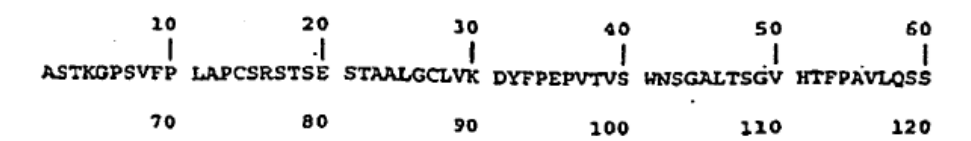


FIGURA 7J

GLYSLSSVVT	VPSSNFGTQT	 YTCNVDHKPS	ntkvdktver	KCCVECPPCP	APPVAGPSVF
130 LPPPKPKDTL	140 MISRTPEVIC	150 VVVDVSHEDP	-1	170 VEVHNAKTKP	
190 OHVVTJVSVV	DWLNGKEYKC	210 KVSNKGLPAP	1EKTISKTKG	230 QPREPQVYTL	240 PPSREEMTKN
QVSLTCLVKG	260 FYPSDIAVEW	· · · 270 - ESNGQPENNY	280 KTTPPMLDSD	290 GSFFLYSKLT	300 VDKSRWQQGN
310 VFSCSVMHEA	320 LHNHYTQKSL	326 SLSPGK			•

[SEC ID N.º: 22]

SECUENCIA DE CODIFICACIÓN

geeteeacea	agggcccatc	ggtcttcccc	ctggcgccct	gctccaggag	CACCECCGAG	60
agcacagccg	ccctgggctg	cctggtcaag	gactacttcc	CCGAACCGGt	gacggtgtcg	120
tggaactcag	gegetetgae	cagoggogtg	CACACCLLCC	CARCERTECE	ACAGECCECA	180
ggactctact	ccctcagcag	COTTOTO	GEGCCCECCA	DODATION	Caccoagacc	
tacacctgca	acgtagatca	CARGCCCAGC	aacaccaagg	FCCSCARCAC	201100	240
2222222				-ggacaagac	agergagege	300
aaacgrigtg	regagigeee	9cc3r3ccc9	gcaccacctg	tggcaggacc	gtcagtcttc	360
ccccccccc	COSSECCESS	Barescere	argatetece	ggacccctga	ggtcacatac	420
grggrggrgg	acgrgageca	CGPBGGCCCC	gaggreeagt	tcaactggta	Catagacage	480
gtggaggtgc	ataatgccaa	gacaaagcca	cgggaggage	AGEECAACAG	CACGLICCOL	540
granteagen	FEETCACCOL	TOPOGRADA	-200-00-0-	-3	cassicities	
3-333-3	coccaccac	racaceag	gactggctga	acggcaagga	gtacaagtgc	600
aaggreteea	acaaaggcct	cccagccccc	accgagaaaa	ccatctccaa	aaccaaaggg	660
cageceegag	aaccacaggt	gtacaccctg	ccccatccc	dapappapat	gaccaagaac	720
Caggecagee	tgacctgcct	DUTCABAGOC	ttctacccca	000000000	gatanaan.	
000000000	3	22-0400530	correcte	gegacatege	cgrggagrgg	780
gagagcaaig	aacaaccaav	gaacaactac	aagaccacac	ctcccatgct	ggactccgac	840
ggetettet	receesacag	caageteace	gtggacaaga	gcaggtqqca	GERGOGGAGC	900
gtetteteat	gctccgtgat	gcatgaggct	ctgcacaacc	Actacacaca	CRACACCEC	960
tecetatere	50005555	J - 23		occueacyca.	annanaccce	700
tecetatete	caaaraar					978

[SEC ID N.º: 21]

Gen	Bank
-----	------

J00230 Ig humana de germline
LOCUS HUMIGCD1 2009 bp ADN PRI 11-ABR-2001
DEFINICIÓN Cadena H de Ig humana de germline Región: G-E-A B: Región constante gamma-2 Extremo 3'.

N.º ACCESO J00230 V00554 VERSIÓN J00230.1 GI:184750

PALABRAS CLAVE

ORGANISMO humano FUENTE Homo sapiens

Eucariotas; Metazoos; Cordados; Craneados; Vertebrados; Teleósteos;

Mamíferos; Euterios; Primates; Catarrinos; Homínidos; Homos.

REFERENCIA 1 (bases 1 a 2009) AUTORES Ellison.J. y Hood. L.

TÍTULO Linkage and sequence homology of two human immunoglobulin gamma

heavy chain constant region genes

REVISTA Proc. Natl. Acad. Sci. U.S.A. 79 (6), 1984-1988 (1982)

MEDLINE 82197621 PUBMED 6804948

REFERENCIA 2 (bases 896 a 1256; 1749 a 1937) AUTORES Krawinkel, H. y Rabbitts.T. H.

TÍTULO Comparison of the hinge-coding segments in human immunoglobulin gamma heavy chain

genes and the linkage of the gamma 2 and gamma 4

FIGURA 7K

```
subclass genes JOURNAL EMBO J. 1 (4), 403-407 (1982)
                   84235992 PUBMED 6329676
MEDLINE
REFERENCIA
                   3 (bases 475 a 1071; 1179 a 1330; 1461 a 1524)
                   Takahashi, N., Ueda, S., Obata, M., Nikaido, T., Nakai, S. y Honjo, T.
AUTORES
TÍTULO
                   Structure of human immunoglobulin gamma genes: implications for evolution of a gene
                   family JOURNAL Cell 29 (2), 671-679 (1982)
                   83001943 PUBMED 6811139
MEDLINE
COMENTARIO
                   El 2 Marzo de 2000 esta versión sustituye: 32759
                   (2) informa también secuencias de gamma-3, gamma-4 y un pseudogén gamma. La
                   mayoría de esta secuencia es homóloga en un 95% con gamma-4. Los exones de la
                   bisagra son homólogos solo en un 70%. Los autores estiman que gamma-2 y gamma-4
                   se separaron hace 6,6 millones de años. Los autores de (1) creen que la transferencia
                   mediada por dominio de intrones ha desempeñado un papel importante en la evolución
                   de los genes humanos gamma. Asimismo, informan de las regiones bisagra de
                   gamma-1, gamma-3, gamma-4 y un pseudogén de gamma. (1) se estima que la
                   divergencia entre los genes humanos gamma se produjo entre 7,7 y 4,4 millones de
                   años. Esta entrada es parte de una región multigénica que incluye los genes gamma-2,
                   gamma-4, épsilon-1 y alfa-2. La ubicación relativa de los cuatro genes la determinaron
                   Flanagan y Rabbitts (Nature 300. 709-713 (1982)). Se refieren a este grupo de genes
                   como región B. Los genes de la región A son gamma-3, gamma-1, pseudo-épsilon y
                   alfa-1. Flanagan y Rabbits también determinaron las ubicaciones generales de las dos
                   regiones. Situaron la región A entre las regiones JH/mu/delta y la región B. Fuente de
                   información completa:
                   ADN de hígado fetal humano, biblioteca de T. Maniatis (3) y Lawn et al. (2), (1); clones
                   p-gamma-2RPA3 (2), 5A (3) e Ig-gamma-2-15 (1).
CARACTERÍSTI
                       Situación/Calificadores
                                                      fuente
                                                                              1..2009
                       /organismo = "Homo sapiens"
CAS
                       /db xref = "taxón: 9606"
                                                                              /mapa = "14q32.33"
                                                                    <1..215
                       /germline
                                              intrón
                       /gen = "IgH"
                                                                       <1..2009
                                                gen
                       /gen = "IgH"
                                                                       /nota = "IGHG2"
                       216..509
                                                             /gen = "IgH"
exón
                       /nota = "G00-119 -338"
                                                          Región_C
                                                                              216..508
                       /gen = "IgH"
                       /nota = "región constante de cadena pesada CH1 de inmunoglobulina"
                       unión (<216..509, 902..937, 1056..1382, 1480..1802)
SDC
                       /gen = "IgH"
                                                       /comienzo codón = 3
                       /producto = "cadena pesada de inmunoglobulina gamma-2"
                       /nº_proteína = "AAB59393.1"
                       /db_xref = "GI: 184758"
                       translation="STKGPSVFPLAPCSRSTSESTAALGCLVKDYFPEPVTVSWNSGA/
                       LTSGVHTFPAVLQSSGLYSLSSVVTVPSSNFGTQTYTCNVDHKPSNTKVDKTVERKCC
                       vecppcpappvagpsvflfppkpkdtlhisrtpevtcvvvdvshedpevqfnhyvdgv
                       EVHNAKTKPREEQFNSTFRVVSVLTVVHQDWLNGXEYKCKVSNKGLPAPIEKTISKTK
                       GQPREPQVYTLPPSREEMTKNQVSLTCLVKGFYPSDIAVEWESHGQPENNYKTTPPML
                       DSDGSFFLYSKLTVDKSRWQQGNVFSCSVMHEALHNHYTQKSLSLSPGK*
intrón
                       510..901
                                                             /gen = "IgH"
conflicto
                       537
                                                       /gen = "IgH"
                                                                 /sustituir = " "
                       /cita = (3)
                                                             /gen = "IgH"
                       550..551
conflicto
                                                                 /sustituir = " "
                       /cita = (3)
                       570
                                                       /gen = "IgH"
conflicto
                       /cita = (3)
                                                                 /sustituir = " "
conflicto
                       777..778
                                                             /gen = "IgH"
                                                                 /sustituir = " "
                       /cita = (3)
conflicto
                       791
                                                       /aen = "laH"
                       /cita = (3)
                                                                 /sustituir = " "
```

6

864

/cita = (3)

901..936

902..937

/gen = "IgH"

/nota = "G00-119 -338"

conflicto

región_C

exón

/nota = "bisagra de cadena pesada de inmunoglobulina"

/gen = "IgH"

intrón

región_C 1055.1381

/sustituir = " "

938..1055

/gen = "IgH"

/gen = "IgH"

FIGURA 7L

```
/gen = "IgH"
                    /nota = "región constante de cadena pesada CH2 de inmunoglobulina"
exón
                                                           /aen = "laH"
                    /nota = "G00-119 -338"
                                                                                  1383..1479
                                                           intrón
                    /gen = "IgH"
                                                 región C1479..1799
                    /gen = "IgH"
                    /nota = "región constante de cadena pesada CH3 de inmunoglobulina"
                    1480..1802
                                                                          /gen = "IgH"
exón
                    /nota = "G00-119 -338"
                                                        conflicto
                                                                                 1493
                                                                          /cita = (3)
                    /gen = "IgH"
                    /sustituir = ""
                                                 conflicto 1802..1806
                    /gen = "IgH"
                                                                          /cita = (2)
                    /sustituir = ""
                                                 conflicto
                                                                          1814..1815
                    /gen = "IgH"
                                                                          /cita = (2)
                    /sustituir = ""
                                                 conflicto 1825
                    /gen = "IgH"
                                                                          /cita = (2)
                    /sustituir = ""
                                                 conflicto 1890
                    /gen = "IgH"
                                                                          /cita = (2)
                    /sustituir = ""
                                                                          1903..1908
                                                 señal poliA
                                                 conflicto 1909..1918
                    /gen = "IgH"
                    /gen = "IgH"
                                                                          /cita = (3)
                    /sustituir = ""
                                                 conflicto 1929..1932
                    /gen = "IgH"
                                                                          /cita = (2)
                    /sustituir = " " CONTADOR BASE
                                                                                   568 g
                                                                                                  331 t
                                                           410 a
                                                                      700 c
```

ORIGEN

```
1 agetttetgg ggegageegg geetgaettt ggetttgggg cagggagtgg getaaggtga
  61 ggcaggtggc gccagccagg tgcacacca atgcccgtga gcccagacac tggaccttgc
  181 cacaccgcgg tcacatggca ccacctetet tgcagcetec accaagggce catcggtett
  241 ccccetggeg ccetgetcca ggagcacete cgagageaca gecgecetgg getgeetggt
  301 caaggactae tteecegaac eggtgaeggt gtegtggaac tcaggegete tgaccagegg
  161 egracace treceagerd recraeagre creaggacte tactecerea geagegrage
  421 gaccytyccc tecageaset teggesecca gacctacace tycasegrag atcacaagee
  481 cagcaacacc aaggtggaca agacagttgg tgagaggcca gctcagggag ggagggtgtc
  541 tgetggaage caggetcage cetectgeet ggacgeacce eggetgtgca geeccagece
 601 agggcagcaa ggcaggcccc atctgtctcc tcacceggag gcctctgccc gccccactca
661 tgctcaggga gagggcctc tggctttttc caccaggctc caggcaggca caggctgggt
 721 gcccctaccc caggecette acacacaggg gcaggtgctt ggctcagacc tgccasaage
 781 catatecggg aggacectge coetgaceta ageogacece anaggecasa etgeocace
 841 cetcageteg gacacettet etecteecag atecgagtaa eteccaatet tetetetgea
 901 gagegeasat grigtgrega grgeceaceg tgeecaggra agecageeca ggeeregeec
961 tccagetcaa ggegggacag gtgecetaga gtageetgea tecagggaca ggeeegettagt
1081 ctteetette ceeccaaaac ecaaggacac ceteatgate teeeggaece etgaggteac
1141 gtgcgtggtg gtggacgtga gccacgaaga ccccgaggte cagttcaact ggtacgtgga
1201 cggcgtggag gtgcataatg ccaagacaaa gccacgggag gagcagttca acagcacgtt
1261 ccgtgtggtc agcgtctca ccgttgtgca ccaggactgg ctgaacggca aggagtacaa
1321 gtgcmaggte techacamag geeteerage eccentegag manacement ecamancem
1381 aggtgggace cgcggggtat gagggccaca tggacagagg ccggctcggc ccaccetetg
1441 ccctgggagt gaccgctgtg ccaaectctg tccctacagg gcagccccga gaaccacagg
1501 tgtacaccct gcccccatcc cgggaggaga tgaccaagaa ccaggtcagc ctgacctgcc
1561 tggtcaaagg cttctacccc agcgacateg ccgtggagtg ggagagcaat gggcagccgg
1621 agaacaacta caagaccaca ecteccatge tggacteega eggeteette tteetetaca
1681 gcaageteae egtggacaag agcaggtgge agcaggggaa egtettetea tgeteegtga
1741 tgcatgagge tetgcasac cactacacge agaagagest etecetgtet enggstaat
1801 gagtgecaeg georgecage eccegetee eaggeteteg gggtegegtg aggatgettg
1861 geaegtaece egggtaeat ettecesgge acceageatg gaaataaage acceageget
1921 gccctgggcc cctgcgagac tgtgatggtt cttccgtgg gtcaggccga gtctgaggcc
1981 tgagtggcat gagggaggca gagtgggtc
```

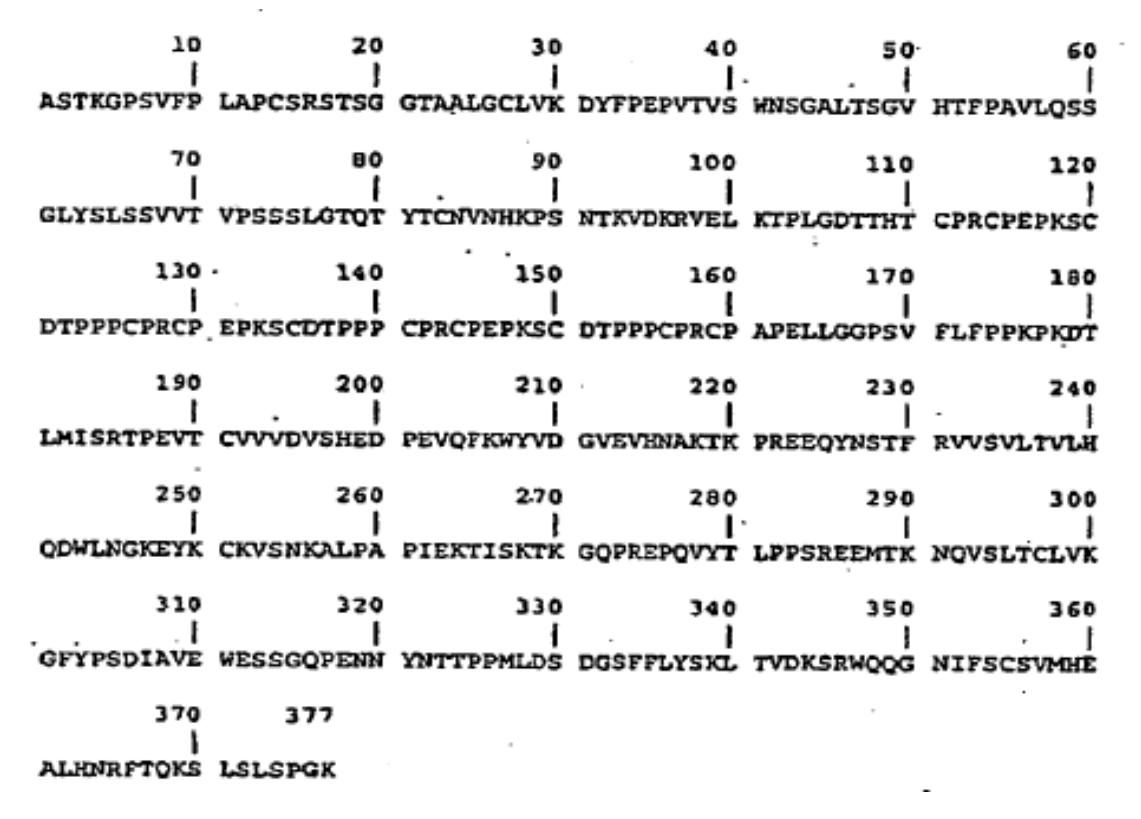
[SEC ID N.º: 55]

FIGURA 7M

V. REGIÓN C DE LA IG GAMMA-3 HUMANA - HOMO SAPIENS (HUMANO)

SECUENCIA DE AMINOÁCIDOS

CAA27268 C gamma 3 (Homo sapiens)



[SEC ID N.º: 24]

FIGURA 7N

SECUENCIA DE CODIFICACIÓN

GCTTCCACCAAGGGCCCATCGGTCTTCCCCCTGGCGCCCCTGCTCCAGGAGCACCTCTGGGGGCACAGCGGCCCTG GGCTGCCTGGTCAAGGACTACTTCCCCGAACCGGTGACGGTGTCGTGGAACTCAGGCGCCCTGACCAGCGGCGTG CACACCTTCCCGGCTGTCCTACAGTCCTCAGGACTCTACTCCCTCAGCAGCGTGGTGACCGTGCCCTCCAGCAGC TTGGGCACCCAGACCTACACCTGCAACGTGAATCACAAGCCCAGCAACACCAAGGTGGACAAGAGAGTTGAGCTC AAAACCCCACTTGGTGACACAACTCACACATGCCCACGGTGCCCAGAGCCCCAAATCTTGTGACACACCTCCCCCG TGCCCACGGTGCCCAGAGCCCAAATCTTGTGACACACCTCCCCCATGCCCACGGTGCCCAGAGCCCAAATCTTGT GACACACCTCCCCGTGCCCAAGGTGCCCAGCACCTGAACTCCTGGGAGGACCGTCAGTCTTCCTCTTCCCCCCA CCCGAGGTCCAGTTCAAGTGGTACGTGGACGGCGTGGAGGTGCATAATGCCAAGACAAAGCCGCGGGAGGAGCAG TACAACAGCACGTTCCGTGTGGTCAGCGTCCTCACCGTCCTGCACCAGGACTGGCTGAACGGCAAGGAGTACAAG TGCAAGGTCTCCAACAAGGCCTCCCAGGCCCCCATCGAGAAACCCATCTCCAAAACCAAAGGACAGCCCCGAGAA GGCTTCTACCCCAGCGACATCGCCGTGGAGTGGGAGAGCAGCCGGGCAGGCCGGAGAACAACTACAACACCACGCCT CCCATGCTGGACTCCGACGGCTCCTTCTTCCTCTACAGCAAGCTCACCGTGGACAAGAGCAGGTGGCAGCAGGGG AACATCTTCTCATGCTCCGTGATGCATGAGGCTCTGCACAACCGCTTCACGCAGAAGAGCCTCTCCCTGTCTCCG GGTAAATGA

[SEC ID N.º: 23]

GenBank

gen gamma-3 de IgG humana IgG G3m (b) Región constante de cadena pesada de EZZ X03604

(individual II-4 de TOU) PubMed, Proteína, Secuencias Relacionadas, Taxonomía, OMIM, LinkOut

LOCUS HSIGGC3 2590 bp ADN PRI 24-NOV-1998

DEFINICIÓN Gen gamma-3 de IgG humana IgG G3m (b) Región constante de cadena pesada de EZZ

(individual II-4 de TOU).

N.º ACCESO X03604 M12958 VERSIÓN X03604.1 GI:33070

PALABRAS CLAVE Región constante; gamma-inmunoglobulina; cadena pesada de Ig; inmunoglobulina.

ORGANISMO FUENTE Homo sapiens

Eucariotas; Metazoos; Cordados; Craneados; Vertebrados; Teleósteos;

Mamíferos; Euterios; Primates; Catarrinos; Homínidos; Homos.

REFERENCIA 1 (bases 1 a 2590)

Huck, S., Fort, P., Crawford, D.H., Lefranc, M.P. and Lefranc, G. **AUTORES**

TÍTULO Sequence of a human immunoglobulin gamma 3 heavy chain constant region gene:

comparison with the other human C gamma genes

Nucleic Acids Res. 14 (4), 1779-1789 (1986) **RFVISTA**

86148507 **MEDLINE**

REFERENCIA 2 (bases 4 a 204; 2202 a 2236)

Takahashi, N., Ueda, S., Obata, M., Nikaido, T., Nakai, S. y Honjo, T. **AUTORES**

TÍTULO Structure of human immunoglobulin gamma genes: implications for evolution of a gene

Cell 29 (2), 671-679 (1982) **REVISTA** 83001943

MEDLINE

CARACTERÍSTICAS Situación/Calificadores

fuente 1..2590

/organismo = "Homo sapiens" /db xref = "taxón: 9606"

conflicto 28

/nota = "falta T en (2)".

/cita = (2)

conflicto 80..82

/nota = "CGC es GCG en (2)"

FIGURA 70

/cita = (2)conflicto 120 /nota = "C es T en (2)" /cita = (2)conflicto 135 /nota = "T es C en (2)". /cita = (2)SCD unión (<215..509, 901..951, 1095..1239, 1283..1327, 1471..1515. 1634..1963, 2061..>2380) /comienzo_codón = 1 /producto = "C gamma 3" /nº proteína = "CAA27268.1" /db_xref = "GI: 577056"

/translation="ASTKGPSVFPLAPCSRSTSGGTAALGCLVKDYFPEPVTVSWNSG

ALTSGVHTFPAVLQSSGLYSLSSVVTVPSSSLGTQTYTCNVNHKPSNTKVDKRVELKT

PLGDTTHTCPRCPEPKSCDTPPPCPRCPEPKSCDTPPPCPRCPEPKSCDTPPPCPRCP

APELLGGPSVFLFPPKPKDTLMISRTPEVTCVVVDVSHEDPEVQFKWYVDGVEVHNAK

TKPREEQYNSTFRVVSVLTVLHQDWLNGKEYKCKVSNKALPAPIEKTISKTKGQPREP

QVYTLPPSREEMTKNQVSLTCLVKGFYPSDIAVEWESSGQPENNYNTTPPMLDSDGSF FLYSKLTVDKSRWQQGNIFSCSVMHEALHNRFTQKSLSLSPGK*

intrón 510..900 /nota = "intrón I" intrón 952..1094 /nota = "intrón II" intrón 1140..1282 /nota = "intrón III" 1328..1470 intrón /nota = "intrón IV" intrón 1516..1633 /nota = "intrón V" 1964..2060 intrón

/nota = "intrón VI" característica_misc 2484..2489

/nota = "pot. señal poliA"

CONTADOR BASE 541 a 925 c 703 a 421 t

ORIGEN

1 agetttetgg ggcaggccag geetgaettt ggctggggge agggaggggg ctaaggtgae 61 gcaggtggcg ccagccaggc gcacacccaa tgcccgtgag cccagacact ggaccctgcc 121 tggaccetcg tggatagaca agaaccgagg ggcctctgcg ccctgggccc agctctgtcc 181 cacaccgcag teacatggcg ceatetetet tgcagettee accaagggce categgtett 241 coccetggcg coctgeteca ggagcacete tgggggcaca geggeeetgg getgeetggt 301 caaggactac ttccccgaac cggtgacggt gtcgtggaac tcaggcgccc tgaccagcgg 361 cgtgcacace ttcccggetg tectacagte etcaggacte tactecetca gcagegtggt 421 gaccgtgccc tccagcagct tgggcaccca .gacctacacc tgcaacgtga atcacaagcc 481 cagcaacacc aaggtggaca agagagttgg tgagaggcca gcgcagggag ggagggtgtc 541 tgctggaage caggeteage cetectgeet ggacgeatee eggetgtgea gteceageee 601 agggeageaa ggeaggeece gtetgactee teacceggag cetetgeecg ceccacteat 661 gctcagggag agggtcttct ggctttttcc accaggctcc gggcaggcac aggctggatg 721 cccctacccc aggcccttca cacacagggg caggtgctgc gctcagagct gccaaaagcc 781 atatccagga ggaecetgee cetgaectaa geecaeceea aaggeeaaae tetetaetea 841 ctcagctcag acacettete tetteccaga tetgagtaae teccaatett etetetgeag 901 ageteaaaac eccaettggt gacacaacte acacatgeec acggtgeeca ggtaageeag 961 cccaggacte gccctccage teaaggeggg acaagageee tagagtggee tgagtccagg

FIGURA 7P

1021	gacaggcccc	agcagggtgc	tgacgcatcc	acctccatcc	cagaterece	taacteeena
1081	tettetetet	gcagagccca	aatcttotoa	Cacacctccc	ccataccca	Cotococca
1141	taagccagcc	caggeeteac	CCTCCagete	aaggcaggag	aagaggggta	ggcgcccagg
1201	agtccaggga	Caggeeeeag	Caggotocto	acocotrose	Steentees	gagtggcccg
1261	actcccaatc	tretetetee	90305555	terreres	cccacccca	gacccccgea
1321	actcccaatc	adccaccege	cocctcocc	teergegaea	cacetecee.	atgcccacgg
1381	tgcccaggta	Econocca	ggccccgccc	cceageteaa	ggcgggacaa	gagccctaga
3443	gtggcctgag	Cccagggaca	ggccccagea	gggtgctgac	gcatccacct	ccatcccaga
1601	tccccgtaac	CCCCaatett	ctctctgcag	agcccaaatc	ttgtgacaca	cctcccccgt
1201	gcccaaggtg	cccaggtaag	ccagcccagg	cctcgccctc	cageteaagg	caggacaggt
TOPT	gccctagagt	ggcctgcatc	cagggacagg	tcccagtcgg	gtgctgacac	atctgcctcc
1051	atetetteet	cagcacctga	actcctggga	ggaccgtcag	tetteetett	CCCCCGGAAA
TP91	cccaaggata	cccttatgat	ttcccggacc	cctgaggtca	cgtgcgtggt	ggtggacgta
1/41	agccacgaag	acccegaggt	ccagttcaag	tggtacgtgg	acggcgtgga	ggtgcataat
1801	gccaagacaa	agccgcggga	ggagcagtac	aacagcacgt	tccgtgtggt	cagcutecte
1861	accgtcctgc	accaggactg	gctgaacggc	aaggagtaca	agtgcaaggt	Ctccaacaaa
1921	gccctcccag	ccccatcga	gasaaccatc	tccaaaacca	aaggegggac	CCGCGGGGTA
1981	tgagggccac	atggacagag	gccagcttga	cccaccctct	gccctgggag	tgaccgctot
2041	gccaacetet	gtccctacag	gacagccccq	agaaccacag	GEGEACACCC	toccccare
2101	ccgggaggag	atgaccaaga	accaddtcad	CCTGBCCTGC	CEGGECARAO	OCTICEACCE
2161	cagcgacate	gccgtggagt	gggagageag	caaacsacca	Gagaacaact	acaacacca
2221	gcctcccatg	ctqqactccq	acqueteett	Cttcctctac	agcaagctca	CCGLCGGCGC
2281	gagcaggtgg	cagcagggga	acatettete	atactccata	atoratoro	ctctcccc
2341	ccgcttcacg	Cagaagaggg	terecetate	recondutasa	taaatacaac	accedence.
2401	ccccgctcc	ccopactete	aggatracac	Caccaractt	caagegegae	ageeggeaag
2461	actteceggg	caccagcat	77777777	2"33""	tossetsess	cegegeacae
2521	ctotoatoot	tetttecaee	catcacaca	actetagege	caccetggge	cccidcgaga
2581	ctgtgatggt agagcgggtc		aarcaggeeg	agrergagge	cryayrgaca	rgagggaggc
	-2-2-2322cc				_	

[SEC ID N.º: 56]

VI. REGIÓN C DE LA IG GAMMA-4 HUMANA - HOMO SAPIENS (HUMANO)

SECUENCIA DE AMINOÁCIDOS

>sp |P01861| GC4_REGIÓN C DE LA IG GAMMA-4 HUMANA – Homo sapiens (Humano).

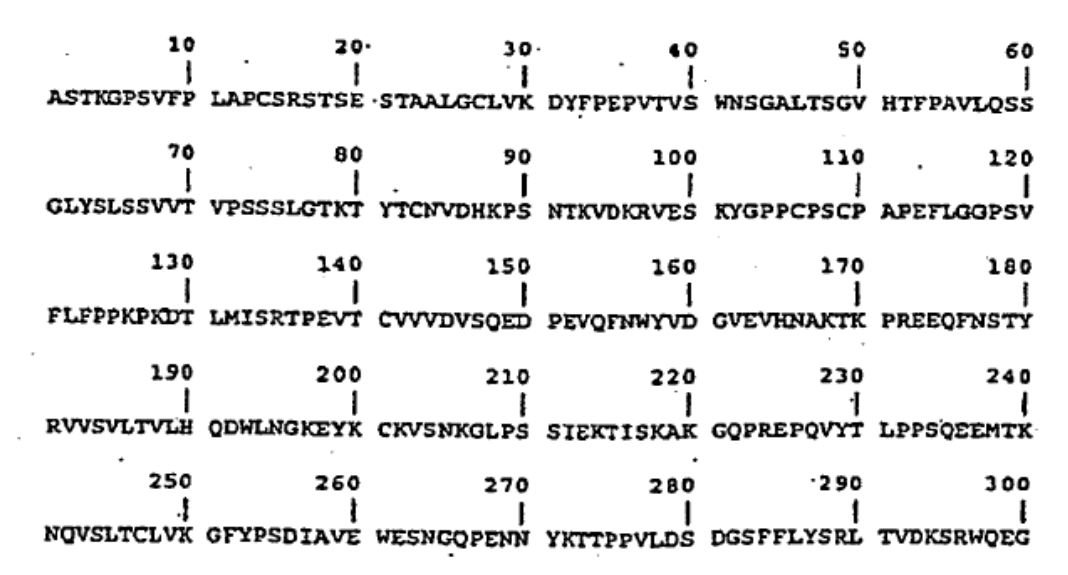


FIGURA 7Q

310 320 327 NVFSCSVMHE ALHNHYTQKS LSLSLGK

SECUENCIA DE CODIFICACIÓN

[SEC ID N.º: 26]

. · g	-1
•	60
ettecaccaa gggeccatee gtetteeeee tggegeeetg etteaggage accteegaga	120
	180
	240
	300
	-
	360
tectgitee eccassace asggaracte teatgatete eeggareer gaggicacgi	420
granging garatease caggaagace engagetera geteracting tacgtigate	480
gcgrggaggt gcataatgcc aagacaaagc cgcgggagga gcagttcaac agcacgtacc	540
gcgtggage gcataatgc aagacaaag varange gaacagcaag gagtacaagt	600
granger generated and an entry of the state	660
grangeter caacaaagge effecter confedagaa anceatere anagecanag	720
	780
	840
	900
	960
atgtettete acgeteegtg atgeatgagg etetgeacaa ceactacaca cagaagagee	983
tetecetgte tetgggtaba tga	303

[SEC ID N.º: 25]

GenBank

K01316 Ig humana de germline

LOCUS HUMIGCD2 2028 bp ADN PRI 11-ABR-2001

DEFINICIÓN Cadena H de Ig humana de germline Región: G-E-A B: Región constante gamma-

4, Extremo 3'

N.º ACCESO K01316

VERSIÓN K01316.1 GI: 184751

PALABRAS CLAVE

FUENTE humano ORGANISMO Homo sapiens

Eucariotas; Metazoos; Cordados; Craneados; Vertebrados; Teleósteos;

Mamíferos; Euterios; Primates; Catarrinos; Homínidos; Homos.

REFERENCIA 1 (bases 1 a 2028)

AUTORES Ellison, J., Buxbaum, J. y Hood, L.

TÍTULO Nucleotide sequence of a human immunoglobulin C gamma 4 gene

REVISTA DNA 1 (1), 11-18 (1981)

MEDLINE 83157104

REFERENCIA 2 (bases 475 a 1069; 1180 a 1331, 1432 a 1655)

AUTORES Takahashi, N., Ueda, S., Obata, M., Nikaido, T., Nakai, S. y Honjo, T.

TÍTULO Structure of human immunoglobulin gamma genes: implications for evolution of a gene

family

REVISTA Cell 29 (2), 671-679 (1982)

MEDLINE 83001943 PUBMED 6811139

REFERENCIA 3 (bases 894 a 1106) AUTORES Krawinkel, U. y Rabbitts, T. H.

TÍTULO Comparison of the hinge-coding segments in human immunoglobulin gamma heavy chain

genes and the linkage of the gamma 2 and gamma 4 subclass genes

REVISTA EMBO J. 1 (4), 403-407 (1982)

MEDLINE 84235992 PUBMED 6329676

REFERENCIA 4 (bases 1 a 2028) AUTORES Ellison, J. y Hood, L.

TÍTULO Linkage and sequence homology of two human immunoglobulin gamma heavy chain

constant region genes

REVISTA Proc. Natl. Acad. Sci. U.S.A. 79 (6), 1984-1988 (1982)

MEDLINE 82197621 PUBMED 6804948

FIGURA 7R

```
COMENTARIO
                         (1) informa de que el gen C-gamma-4 humano es homólogo con los genes gamma-1,
                         gamma-2a y gamma-2b de murino (sobre el 75%). (3) también indica secuencias
                         parciales para los pseudogenes gamma-2, gamma-3 y gamma. (2) muestra las
                         regiones bisagra del gamma-1, gamma-2, gamma-3, y pseudo-gamma.
                         Esta entrada es parte de una región multigénica (región B), que incluye los genes
                         gamma-2, gamma-4, épsilon-1 y alfa-2. Véase segmento 1 para más comentarios.
                         Fuente de información completa:
                         ADN de hígado fetal humano, biblioteca de T. Maniatis (3) y Lawn et al. (1), (2); clones
                         24B (1), lambda-HG4.1 (3) e Ig-gamma-4-2 (2).
CARACTERÍSTICAS
                               Situación/Calificadores
                               1..2028
   fuente
                               /organismo = "Homo sapiens"
                               /db_xref = "taxón: 9606"
                               /mapa = "14q32.33"
                               /germline
                               <1..2028
   gen
                               /gen = "IgH"
                               /nota = "IGHG4"
                               <1..215
   intrón
                               /gen = "IgH"
                               /nota = "gamma-4 intrón J-C"
     SCD
                               unión (<216..509, 900..935, 1054.. 1383, 1481..1803)
                               /gen = "IgH"
                               /comienzo_codón = 3
                               /producto = "cadena pesada de inmunoglobulina gamma-4"
                               /n° proteína = "AAB59394.1"
                               /db xref = "GI: 184759"
                                /translation="STKGPSVFPLAPCSRSTSESTAALGCLVKDYFPEPVTVSWNSGA
                                LTSGVHTFPAVLQSSGLYSLSSVVTVPSSSLGTKTYTCNVDHKPSNTKVDKRVESKYG
                                PPCPSCPAPEFLGGPSVFLFPPKPKDTLMISRTPEVTCVVVDVSQEDPEVQFMYVDG
                                vevhnaktkpreeofnstyrvvsvltvlhodwlngkeykckvsnkglpssiektiska
                                KGQPREPQVYTLPPSQEEMIKNQVSLTCLVKGFYPSDIAVEWESNGQPENNYKTTPPV
                                LDSDGSFFLYSRLTVDKSRHQEGNVFSCSVMHEALHNHYTOKSLSLSLGK*
                               216 509
     exón
                               /gen = "IgH"
/nota = "G00-119-340"
                               510..899
     intrón
                               /aen = "laH"
     exón
                               900..935
                               /gen = "IgH"
                               536..1053
      intrón
                               /gen = "IgH"
                               1054..1383
      exón
                               /gen = "IgH"
                               1384..1480
      intrón
                               /gen = "IgH"
      exón
                               1481..1803
                               /gen = "IgH"
   CONTADOR BASE
                                          421 a
                                                         709 c
                                                                       567 g
                                                                                 331 t
   ORIGEN
                 1 agetttetgg ggeaggeegg geetgaettt ggetggggge agggaggggg etaaggtgae
                61 geaggeggeg ceagecagge geacaccaa tgeccatgag cecagacact ggaccetgea
               121 tggaccateg eggatagaca agaacegagg ggeetetgeg eeetgggeee agetetgtee
               181 cacacegegg teacatggea ceacetetet tgeagettee accaagggee cateegtett
              241 ecceptages contectes agagement canagement acceptage
              301 caaggactae tteecegaac eggrgaeggt gregrggaac teaggegeec tgaccagegg
              361 egrgcacace treceggerg tectacagte ereaggacte tactecerca geagegrggt
               421 gaccytyccc tccaycayct tyggcacyaa gacctacacc tycaacytay accacaayce
              481 cagcaacacc aaggrggaca agagagrigg tgagaggcca gcacagggag ggagggrgrc
541 tgctggaage caggcroage corectger ggacgcacce eggetgtgca geccoagece
              601 agggcagcaa ggcatgcccc acctgtctcc tcacccggag gcctctgacc accccactca
```

721 cccctacccc aggccctgcg catacagggc aggtgctgcg ctcagacctg ccaagagcca 781 tatccgggag gaccctgccc ctgacctaag cccaccccaa aggccaaact ctccactccc

FIGURA 7S

841 teageteaga cacettetet ceteceagat etgagtamet cecamtette tetetgeaga 901 gtccaaatat ggtcccccat gcccatcatg cccaggtaag ccaacccagg cctcgccctc 961 cageteaagg egggacaggt geeetagagt ageetgeate cagggacagg ecceageegg 1021 grgcrgacgc arccacccc attitutct cagcaccrga grtccrgggg ggaccarcag 1081 tettectitt cocceaaaa cocaaggaca eteteatgat eteceggace cetgaggtea 1141 cgtgcgtggt ggtggacgtg agccaggaag accccgaggt ccagttcaac,tggtacgtgg 1201 arggcgrgga ggrgcaraat gccaagacaa agccgcggga ggagcagttc aacagcacgt 1261 acceptotege cagegreete acceptectes accaggacte getgaacege aaggagtaca 1321 agtgcanggt ctccaacaaa ggcctcccgt cctccatcga gaaaaccatc tccnaagcca 1381 aaggtgggac ccarggggtg cgagggccac acggacagag gccagctcgg cccaccetct 1441 gecetgggag tgacegetgt gecaacetet gteeetacag ggeageceeg agageeacag 1501 gtgtacaccc tgcccccatc ccaggaggag atgaccaaga accaggtcag cctgacctgc 1561 Ctggtcaaag gcttctaccc cagcgacatc gccgtggagt gggagagcaa tgggcagccg 1621 gagaacaact acaagaccac getteeegtg etggaeteeg aeggeteett etteetetae 1681 agcaggotaa cogtggacaa gagcaggtgg caggagggga atgtottoto atgotocgtg 1741 Atgestgagg Ctctgcacaa ccactacaca cagaagagec tetecetgte retgggtaaa 1801 tgagtgccag ggccggcaag cccccgctcc ccgggctctc ggggtcgcgc gaggatgctt 1861 ggcacgtacc ccgtctacat acttcccagg cacccagcat ggaaataaag cacccaccac 1921 tgccctgggc ccctgtgaga ctgtgatggt tetttecaeg ggteaggeeg agtetgagge 1981 ctgagtgaca tgagggaggc agagcgggtc ccactgtccc cacactgg

[SEC ID N.º: 57]

VII. REGIÓN C DE LA IG DELTA HUMANA - HOMO SAPIENS (HUMANO)

SECUENCIA DE AMINOÁCIDOS

>sp |P01880| DTC_REGIÓN C DE LA IG DELTA HUMANA - Homo sapiens (Humano)

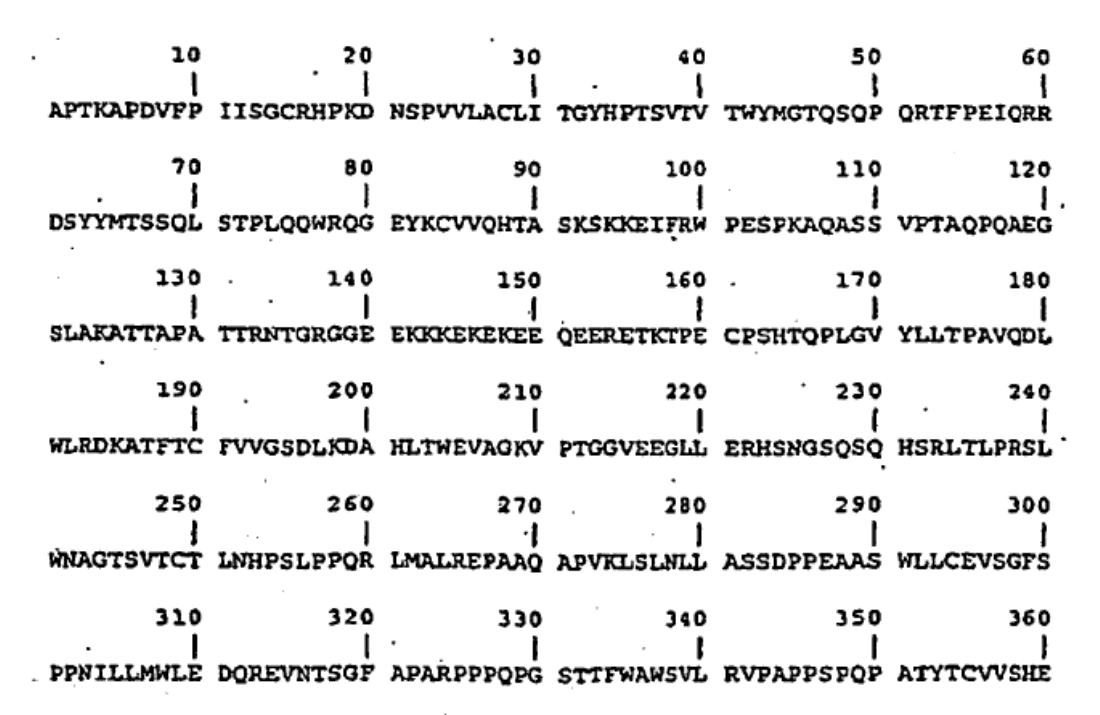


FIGURA 7T

370 380 | | DSRTLLNASR SLEVSYVTDH GPM

[SEC ID N.º: 28]

GenBank

K02876 IgD humana de germline... (gi: 184766) PubMed, Proteína, Secuencias Relacionadas, Taxonomía,

OMIM, LinkOut

LOCUS HUMIGCD2 300 bp ADN PRI 08-NOV-1994
DEFINICIÓN Gen de la cadena de IdG humana de germline, región C, región bisagra primera.

N.º ACCESO K02876

VERSIÓN K02876.1 GI: 184766

PALABRAS CLAVE Región C; germline; exón bisagra; cadena pesada de inmunoglobulina;

inmunoglobulina delta.

FUENTE ADN de Homo sapiens (paciente individual aislado con leucemia linfocítica crónica

(LLC)).

ORGANISMO Homo sapiens

Eucariotas; Metazoos; Cordados; Craneados; Vertebrados; Teleósteos;

Mamíferos; Euterios; Primates; Catarrinos; Homínidos; Homos.

REFERENCIA 1 (bases 1 a 300)

AUTORES White, M.B., Shen, A.L., Word, C.J., Tucker, P.W. y Blattner, F.R. TÍTULO Human immunoglobulin D: genomic sequence of the delta heavy chain

REVISTA Science 228 (4700), 733-737 (1985)

MEDLINE 85192522

COMENTARIO Véase segmento 1
CARACTERÍSTICAS Situación/Calificadores

fuente 1..300

/organismo= "Homo sapiens"

/aislamiento = "Paciente con leucemia linfocítica crónica (LLC)"

/db_xref= "taxón: 9606" /mapa="14q32.33" /tipo célula= "linfocito"

/germline

intrón <1..151

/gen = "IGHD"

/nota = "G00-120-084"

/número = 1

exón 101..202

intrón

/parcial

/aen = "IGHD"

/nota = "región bisagra-1; G00-120 -084"

/número = 2 203..>300

/gen = "IGHD"

/nota = "G00-120-084"

/número = 2

gen unión (K02875. 1:1..495, 1..300, K02877.1: 1..300,

K02878.1:1..500, K02879.1:1..500, K02880.1:1..100,

K02881.1:1..200, K02882.1:1..52)

/gen = "IGHD"

SCD unión (K02875.1:101..403, 101..202, K02877.1:101..172, K02878.1:101..424,

K02879.1:101..424, K02881.1:25..182, K02882.1:44..52)

/parcial /gen = "IGHD"

/nota = "enlace de membrana"

/comienzo_codón= 3

/producto = "cadena delta de inmunoglobulina"

/n.º_proteína = "AAA52771.1" /db_xref = "GI: 495872" /db_xref = "GDB G00-120 -084"

/cranslation="PTKAPDVFPIISGCRHPKDNSPVVLACLITGYHPTSVTVTHYMG TQSQPQRTFPEIQRRDSYYMTSSQLSTPLOOWRQGEYKCVVQHTASKSKKEIFRWPES

FIGURA 7U

PSHTQPLGVYLLTPAVQDLWLRDKATFTCFVVGSDLKDAHLTWEVAGKVPTGGVEEGL LERHSNGSQSQHSRLTLPRSLWNAGTSVTCTLNHPSLPPORIMALREPAAQAPVKLSL NLLASSDPPEAASWLLCEVSGFSPPNILLMWLEDQREVNTSGFAPARPPPOPRSTTFW AWSVLRVPAPPSPQPATYTCVVSHEDSRTLLNASRSLEVSYLAMTPLIPQSKDENSDD YTTFDDVGSLWTTLSTFVALFILTLLYSGIVTFIKVK*

[SEC ID N.º: 28]

SCD unión (K02875.1:101..403, 101..202, K02877.1:101..172, K02878.1:101..424,

K02879.1:101..424, K02880.1:25..53)

/parcial /gen = "IGHD"

/nota = "forma secretada" /comienzo_codón = 3

/producto = "cadena delta de inmunoglobulina"

/n.º_proteína = "AAA52770.1" /db_xref = "GI: 495871" /db_xref = "GDB G00-120 -084"

/timeslation='ptkapdvfpiisgcrhpkdnspvvlaclitgyhptsvtvtwymg
TQSQPQRTFPEIQRRDSYYMTSSQLSTPLQQWRQGEYKCVVQHTASKSKKEIFRWPES
PKAQASSVPTAQPQAEGSLAKATTAPATTRNTGRGGEEKKKEKEKEEQEERETKTPEC
PSHTQPLGVYLLTPAVQDLWLRDKATFTCFVVGSDLKDAHLTWEVAGKVPTGGVEEGL
LERHSNGSQSQHSRLTLPRSLWNAGTSVTCTLNHPSLPPQRLMALREPAAQAPVKLSL
NLLASSDPPEAASWLLCEVSGFSPPNILLMWLEDQREVNTSGFAPARPPPQPRSTTFW

ANSVLRVPAPPSPQPATYTCVVSHEDSRTLLNASRSLEVSYVTDHGPMX*

CONTADOR BASE 59 a 133 c 52 g 56 t

ORIGEN sobre 300 bp tras el segmento; 118 bp aguas arriba del sitio Stul.

1 taggetgeet gigececca estgerigte casaaccag ceterggiae atecatgeec 61 tetgecetaa geeteacetg castitiest tiggatiteag agteteaaa ggeacaggee 121 teeteegigt ceaetgeaca accesages gagggeages tegenaagge aaccacagee 181 ceagecacca ecegiaacac aggigagaag ececiteest geacacteca ececiaecca 241 cetgeteatt ecteageege etectecagg cagecettea taacteetig tetgagtete

[SEC ID N.º: 27]

K02877 Ig humana de germline...[gi: 184767] PubMed, Proteína, Secuencias Relacionadas, Taxonomía, OMIM,

LinkOut

intrón

LOCUS HUMIGCH03 300 bp ADN PRI 08-NOV-1994

DEFINICIÓN Gen de la región C de la cadena de Ig delta-H de germline humana, segunda región

bisagra (linfocito LLC).

N.º ACCESO K02877

VERSIÓN K02877.1 GI: 184767

PALABRAS CLAVE Región C; germline; exón bisagra; cadena pesada de inmunoglobulina; inmunoglobulina

delta.

ORGANISMO FUENTE ADN de Homo sapiens (paciente individual aislado con leucemia linfocítica crónica

[LLC]).

ORGANISMO Homo sapiens

Eucariotas; Metazoos; Cordados; Craneados; Vertebrados; Teleósteos;

Mamíferos; Euterios; Primates; Catarrinos; Homínidos; Homos.

REFERENCIA 1 (bases 1 a 300)

AUTORES White, M.B., Shen, A.L., Word, C.J., Tucker, P.W. y Blattner, F.R. TÍTULO Human immunoglobulin D: genomic sequence of the delta heavy chain

REVISTA Science 228 (4700), 733-737 (1985)

MEDLINE 85192522
COMENTARIO Véase segmento 1

CARACTERÍSTICAS Situación/Calificadores

fuente 1..300

/organismo = "Homo sapiens"

/aislamiento = "Paciente con leucemia linfocítica crónica (LLC)"

/db_xref = "taxón: 9606" /mapa = "14q32.33" /tipo célula = "linfocito"

/germline <1..100

/gen = "IGHD"

/nota = "G00-120-084"

/número = 2 101..172

exón 101..172 /gen = "IGHD"

/nota = "región bisagra-2; G00-120 -084; putativo"

/número = 3

FIGURA 7V

intrón 103..>300

/gen = "IGHD"

/nota = "G00-120-084"

/número = 3

unión (K02875. 1:1..495, K02876.1: 1..300, 1..300, gen

K02878.1:1..500, K02879.1:1..500, K02880.1:1..100,

K02881.1:1..200, K02882.1:1..52)

/gen = "IGHD"

unión (K02875.1:101..403, K02876.1:101..202, 101..172, K02878.1:101..424, SCD

K02879.1:101..424, K02881.1:25..182, K02882.1:44..52)

/parcial

/gen = "IGHD"

/nota = "enlace de membrana"

/comienzo_codón = 3

/producto = "cadena delta de inmunoglobulina"

/no_proteína = "AAA52771.1" /db xref = "GI: 495872"

/db xref = "GDB G00-120 -084"

/cranslation=*PTKAPDVFP1ISGCRHPKDNSPVVLACLITGYHPTSVTVTWYMG TOSOPORTFPEIORRDSYYMTSSOLSTPLOOMROGEYKCVVOHTASKSKKEIFRMPES PKAQASSVPTAQPQAEGSLAKATTAPATTRNTGRGGEEKKKEKEKEKEGEERETKTPEC PSHTQPLGVYLLTPAVQDLWLRDKATFTCFVVGSDLKDAHLTWEVAGKVPTGGVEEGL LERHSNGSQSQHSRLTLPRSLWNAGTSVTCTLNHPSLPPQRLMALREPAAQAPVKLSL nllassdppeaaswllcevsgfsppnillmwledqrevntsgfaparpppqprsttfw awsvlrvpappspopatytcvvshedsrtlinasrslevsylamtpliposkdensdd

YTTFDDVGSLWTTLSTFVALFILTLLYSGIVTFIKVK*

SCD unión (K02875.1:101..403, K02876.1:101..202, 101..172, K02878.1:101..424,

K02879.1:101..424, K02880.1:25..53)

/parcial

. /gen = "IGHD"

/nota = "forma secretada" /comienzo_codón = 3

/producto = "cadena delta de inmunoglobulina"

/nº proteína = "AAA52770.1" /db xref = "GI: 495871" /db xref = "GDB G00-120 -084"

/translation="PTKAPDVFPIISGCRHPKDNSPVVLACLITGYHPISVTVTWYMG TOSOPORTFPEIORRDSYYMTSSQLSTPLOOWROGEYKCVVOHTASKSKKEIFRWPES PKAQASSVPTAOPQAEGSLAKATTAPATTRNTGRGGEEKKKEKEKEEQEERETKTPEC PSHTQPLGVYLLTPAVQDLWLRDKATFTCFVVGSDLKDAHLTWEVAGKVPTGGVEEGL LERHSNGSOSOHSRLTLPRSLWAGTSVTCTLNHPSLPPORLMALREPAAOAPVKLSL nllassdppeaaswllcevsgfsppnilimwledqrevntsgfaparpppoprsttfw AWSVLRVPAPPSPQPATYTCVVSHEDSRTLLNASRSLEVSYVTDHGPMK*

CONTADOR BASE 102 a 52 c 70 g 76 t

ORIGEN Sobre 1,85 kb tras segmento 2.

```
1 greattaget ggatttagee attecacaat gtacacatat treasacatt grgttgtaca
181 tgacccctgg gctatcaaaa Cacctattgc ccaataacta gttggccgtt ggtgccctaa
241 actattgaag égattgetgt tatgtégatg ggeeceggae acttagaaac tegtgacece
```

[SEC ID N.º: 29]

FIGURA 7W

K02878 IgD humana de germline... [gi: 184768] PubMed, Proteína, Secuencias Relacionadas, Taxonomía, OMIM, LinkOut

LOCUS **HUMIGCH04** 500 bp ADN PRI 08-NOV-1994 **DEFINICIÓN** Genes de la cadena de IgD de Germline humana, Región C, Dominio C delta-2

N.º ACCESO K02878

VERSIÓN K02878.1 GI: 184768

PALABRAS CLAVE Región C; germline, cadena pesada de inmunoglobulina; cadena delta de

inmunoglobulina.

FUENTE ADN de Homo sapiens (paciente individual aislado con leucemia linfocítica crónica

[LLC])

ORGANISMO Homo sapiens

Eucariotas; Metazoos; Cordados; Craneados; Vertebrados; Teleósteos;

Mamíferos; Euterios; Primates; Catarrinos; Homínidos; Homos.

REFERENCIA 1 (bases 1 a 500)

White, M.B., Shen, A.L., Word, C.J., Tucker, P.W. y Blattner, F.R. **AUTORES** TÍTULO Human immunoglobulin D: genomic sequence of the delta heavy chain

Science 228 (4700), 733-737 (1985) **REVISTA**

MEDLINE 85192522 **COMENTARIO** Véase segmento 1.

Situación/Calificadores CARACTERÍSTICAS

fuente 1..500

/organismo = "Homo sapiens"

/aislamiento = "Paciente con leucemia linfocítica crónica (LLC)"

/db xref = "taxón: 9606" /mapa = "14q32.33"/tipo célula = "linfocito"

/germline

<1..100 intrón

exón

intrón

intrón

/gen = "IGHD"

/nota = "G00-120-084"

/número = 3 101..424

/gen = "IGHD"

/nota = "dominio constante delta-2; G00-120 -084"

/número = 4 425..>500

/gen = "IGHD"

/nota = "G00-120-084"

/número = 4 425..>500

/gen = "IGHD" /nota = "IgD-s intrón D"

unión (K02875. 1:1..495, K02876.1: 1..300,

gen

K02877.1:1..300, 1..500, K02879.1:1..500, K02880.1:1..100,

K02881.1:1..200, K02882.1:1..52)

/gen = "IGHD"

unión (K02875.1:101..403, K02876.1:101..202, K02877.1:101...172, 101..424, SCD

K02879.1:101..424, K02881.1:25..182, K02882.1:44..52)

/parcial /gen = "IGHD"

/nota = "enlace de membrana"

/comienzo_codón = 3

/producto = "cadena delta de inmunoglobulina"

/n.º proteína = "AAA52771.1" /db xref = "GI: 495872" /db xref = "GDB G00-120 -084"

/translation='PTKAPDVFPIISGCRHPKDNSPVVLACLITGYHPTSVTVTWYMG TOSQPQRTFPEIQRRDSYYMTSSQLSTPLQQWRQGEYKCVVQHTASKSKÆIFRWPES PKAQASSVPTAQPQAEGSLAKATTAPATTRNTGRGGEEKKKEKEKEEGEERETKTPEC PSHTQPLGVYLLTPAVQDLWLRDKATFTCFVVGSDLKDAHLTWEVAGKVPTGGVEEGL Lerhsngsosohsrltlprslwnagtsvtctlnhpslpporlmalrepaaqapvklsl WILLASSDPPEAASWLLCEVSGFSPPNILLMWLEDQREVNTSGFAPARPPPOPRSTTFW ANSVLRYPAPPSPQPATYTCVVSHEDSRTLLNASRSLEVSYLAMTPLIPQ5KDENSDD

FIGURA 7X

SCD unión (K02875.1:101..403, K02876.1:101..202, K02877.1:101...172, 101..424, K02879.1:101..424, K02880.1:25..53) /parcial /gen = "IGHD" /nota = "forma secretada" /comienzo_codón = 3 /producto = "cadena delta de inmunoglobulina" /no_proteína = "AAA52770.1" /db xref = "GI: 495871" /db xref = "GDB G00-120 -084" /translation- PTKAPDVFPIISGCRHPKDNSPVVLACLITGYHPTSVTVTWYMG TQSQPQRTFPEIQRRDSYYMTSSQLSTPLQQWRQGEYKCVVQHTASKSKKEIFRWPES PKAQASSVPTAQPQAEGSLAKATTAPATTRNTGRGGEEKKKEKEKEEQEERETKTPEC PSHTQPLGVYLLTPAVQDLWLRDKATFTCFVVGSDLKDAHLTWEVAGKVPTGGVEEGL Lerhsngsqsqhsrltlprslwagtsvtctlnhpslppqrlmalrepaaqapvklsl NLLASSDPPEAASWLLCEVSGFSPPNILLMWLEDOREVNTSGFAPARPPPOPRSTTFW ahsvlrvpappspopatytcvvshedsrtllnasrslevsyvtdhgpmk* CONTADOR BASE 93 a 79 t 171 c 157 g **ORIGEN** sobre 450 bp tras el segmento 3; 131 bp aguas arriba del sitio Accl. 1 gaagetgggg agaggagage acagtggtta agtcagteet tgcageecaa etgeteetga 61 aggreeggee acagetgete tegtttgete teecetgeag agtgteegag ceacacecag 121 cotottggeg totacotget asceretges gtgcsggace tgtggctccg ggacsasgec 181 accttcacct gcttcgtggt gggcagtgac ctgaaggatg ctcacctgac ctgggaggtg 241 gccgggaagg tccccacagg gggcgtggag gaagggctgc tggagcggca cagcaacggc 301 toccagaged ageacageog totgaccotg cocaggiont igiggaacge ggggaccie 361 greacetgea caetgaacea teccageete ceaececaga ggrigatgge geegagagaa 421 cccggtgage etggetecca ggtggggaga cgagggtgee caeageetge tgaccectae 481 gcccgcccca gggccatgac [SEC ID N.º: 30] K02879 Ig humana de germline...[gi: 184769] PubMed, Proteína, Secuencias Relacionadas, Taxonomía, OMIM, LinkOut LOCUS **HUMIGCH05** 500 bp ADN PRI 08-NOV-1994 DEFINICIÓN Gen de la región C de la cadena de Ig delta-H de germline humana, dominio C delta-3 (linfocito LLC). N.º ACCESO K02879 VFRSIÓN K02879.1 GI: 184769 PALABRAS CLAVE región C; germline, cadena pesada de inmunoglobulina; cadena delta inmunoglobulina. FUENTE ADN de Homo sapiens (paciente individual aislado con leucemia linfocítica crónica (LLC)) **ORGANISMO** Homo sapiens Eucariotas; Metazoos; Cordados; Craneados; Vertebrados; Teleósteos; Mamíferos; Euterios; Primates; Catarrinos; Homínidos; Homos. **REFERENCIA** 1 (bases 1 a 500) **AUTORES** White, M.B., Shen, A.L., Word, C.J., Tucker, P.W. y Blattner, F.R. TÍTULO Human immunoglobulin D: genomic sequence of the delta heavy chain **REVISTA** Science 228 (4700), 733-737 (1985) **MEDLINE** 85192522 **COMENTARIO** Véase segmento 1 CARACTERÍSTICAS Situación/Calificadores fuente 1..500 /organismo = "Homo sapiens" /aislamiento = "Paciente con leucemia linfocítica crónica (LLC)" /db xref = "taxón: 9606" /mapa = "14q32.33" /tipo_célula = "linfocito" /germline intrón <1..100 /gen = "IGHD" /nota = "G00-120-084" /número = 4 101..424 exón /gen = "IGHD"

/nota = "dominio C delta-3; G00-120 -084; putativo"

/número = 5

FIGURA 7Y

```
425..>500
   intrón
                              /aen = "IGHD"
                              /nota = "G00-120-084"
                              /número = 5
                              unión (K02875.
                                                 1:1..495,
                                                           K02876.1: 1..300, K02877.1:1..300,
   gen
                              K02878.1:1..500,
                                                    1..500.
                                                                 K02880.1:1..100,K02881.1:1..200,
                              K02882.1:1..52)
                              /aen = "IGHD"
   SCD
                              unión (K02875.1:101..403, K02876.1:101..202, K02877.1:101...172,
                              K02878.1:101..424, 101..424, K02881.1:25..182, K02882.1:44..52)
                              /parcial
                              gen = "IGHD"
                              /nota = "enlace de membrana"
                              /comienzo_codón = 3
                              /producto = "cadena delta de inmunoglobulina"
                              /n.º_proteína = "AAA52771.1"
                              /db_xref = "GI: 495872"
                              /db xref = "GDB G00-120 -084"
                               /cranslation- PTKAPDVFPIISGCRHPKDNSPVVLACLITGYHPTSVTVTWYMG
                               TOSOPORTFPEIORRDSYYMTSSOLSTPLOOWROGEYKCVVOHTASKSKKÆIFRWPES
                               PKAQASSVPTAQPQAEGSLAKATTAPATTRNTGRGGEEKKKEKEKEEQEERETKTPEC
                               PSHTQPLGVYLLTPAVQDLWLRDKATFTCFVVGSDLKDAHLTWEVAGKVPTGGVEEGL
                               Lerhsngsosohsrltlprslwnagtsvtctlnhpslpporlmalrepaaoapvklsl
                               nllassdppeaaswllcevsgfsppnillmwledqrevntsgfaparpppqprsttfw
                               AWSVLRVPAPPSPQPATYTCVVSHEDSRTLLNASRSLEVSYLAMTPLIPQSKDENSDD
                               YTTFDDVGSLWTTLSTFVALFILTLLYSGIVTFIKVK*
   SCD
                                unión (K02875.1:101..403, K02876.1:101..202, K02877.1:101...172,
                                K02878.1:101..424, 101..424, K02880.1:25..53)
                                /parcial
                                /gen = "IGHD"
                                /nota = "forma secretada"
                                /comienzo_codón = 3
                                /producto = "cadena delta de inmunoglobulina"
                                /n.° proteína = "AAA52770.1"
                                /db_xref = "GI: 495871"
                                /db xref = "GDB G00-120 -084"
                               translation - PTKAPDVFPIISGCRHPKDNSPVVLACLITGYHPISVTVTWYKG
                               TOSOPORTFPEIORRDSYYMTSSQLSTPLOOWROGEYKCVVQHTASKSKKEIPRWPES
                               PKAQASSVPTAQPQAEGSLAKATTAPATTRNTGRGGEEKKKEKEKEEGEERETKTPEC
                               PSHTQPLGVYLLTPAVQDLWLRDKATFTCFVVGSDLKDAHLTWEVAGKVPTGGVEEGL
                               LERKSNGSQSOHSRLTLPRSLWNAGTSVTCTLNHPSLPPQRLMALREPAAQAPVKLSL
                               NLLASSDPPEAASWLLCEVSGFSPPHILLMWLEDOREVNTSGFAPARPPPOPRSTTFW
                               AWSVLRVPAPPSPOPATYTCVVSHEDSRTLLNASRSLEVSYVTDHGPMK*
CONTADOR BASE
                                                     145 g
                                                                  82 t
ORIGEN
                   sobre 150 bp tras el segmento 4; 118 bp aguas arriba del sitio HindIII.
     1 ccacaggana ggaganggga ggcaccacac cctggccggc cccacttete tectagtgce
     61 cccqtqqcca gagcctgaca gccccccac ctccccqcaq ctqcqcaggc acccqtcaaq
    121 ctttetetga acctgetgge etegtetgae ecceegagg eggeetegtg geteetgtgt
    181 gaggtgtetg gettetegee ecceaacate eteetgatgt ggetggagga eeagegtgag
    241 Stgaacactt Ctgggtttgc ccccgcacgc ccccctccac ageccaggag caccacgtte
```

301 toggectoga grotocroco roteccades escendes ereadecade escetacaed

FIGURA 7Z

361 tgtgtggtca gccacgagga ctcccggact ctgctcaacg ccagccggag cctagaagtc 421 agctgtgagt caccccagg ccagggttgg gacggggact ctgagggggg ccataaggag 481 ctggaatcca tactaggcag

[SEC ID N.º: 33]

K01311. IgD humana de germline...[gi: 184716] PubMed, Proteína, Taxonomía, OMIM

LOCUS HUMIGCB9 106 bp ADN PRI 12-ABR-2001

DEFINICIÓN Región de la cadena J de IgD delta de germline humana: C-delta CH1

N.º ACCESO K01311

VERSIÓN K01311.1 GI: 184716

PALABRAS CLAVE región C; germline; cadena pesada de inmunoglobulina; cadena delta de inmunoglobulina.

FUENTE humano
ORGANISMO Homo sapiens

Eucariotas; Metazoos; Cordados; Craneados; Vertebrados; Teleósteos;

Mamíferos; Euterios; Primates; Catarrinos; Homínidos; Homos.

REFERENCIA 1 (bases 1 a 106)

AUTORES Rabbitts, T.H., Forster, A. y Milstein, C.P.

TÍTULO Human immunoglobulin heavy chain genes: evolutionary comparisons of C mu, C delta, and

C gamma genes and associated switch sequences

REVISTA Nucleic Acids Res. 9 (18), 4509-4524 (1981)

MEDLINE 82059479 PUBMED 6795593

COMENTARIO La secuencia de aminoácidos deducida se compara en (1) para la unión cadena J/C delta-1

de la proteína ER1 humana. El gen delta aparece sólo en 5 kb desde la región mu. Los autores (1) no pudieron detectar ninguna secuencia de conmutación adyacente al gen delta y afirman que esto implica que no tienen lugar una conmutación mu/delta mediante un proceso de conmutación de clase. Especulan que toda la región VH- (C-mu) - (C-delta) se

transcribe a una molécula precursora nuclear que se rompe más tarde.

Esto es parte de una región multigénica que contiene la región J, región de conmutación,

genes C-mu-secretado, C-mu-membrana y C-delta. Situación/Calificadores

CARACTERÍSTICAS

fuente 1..106

/organismo = "Homo sapiens"
/db_xref = "taxón: 9606"
/mapa = "14q32.33"
/tipo_célula = "linfocito"
/tipo_tejido = "placenta"
/tipo_tejido = "hígado"
/fase desarrollo = "feto"

/germline

/tejido lib = "lawn et al."

gen <1..106

/gen = "IGHD"

intrón <1..26

/gen = "IGHD"

/nota = "intrón delta J-C; G00-120 -084"

SCD <27..>106

/gen = "IGHD"

/nota = "región C - dominio CH1"

/comienzo_codón = 3

/producto = "cadena delta de inmunoglobulina"

/n°_proteína = "AAB59423.1" /db_xref = "GI: 184735"

/traducción = "PTKAPDVFPIISGCRHPKDNSPVVLA"

CONTADOR BASE

24 a 38 c 24 g 20 t

ORIGEN

1 tgccaccca ggactetgte ttecageace caceaagget ceggatgtgt tececateat 61 ateagggtge agacacccaa aggataacag ceetgtggte etggea

[SEC ID N.º: 58]

K02880. IgD humana de germline...(gi: 184770) PubMed, Proteína, Secuencias Relacionadas, Taxonomía, OMIM, LinkOut

FIGURA 7AA

LOCUS HUMIGH06 100 bp ADN PRI 08-NOV-1994 DEFINICIÓN Genes de la cadena de IgD de germline humana, región C, terminal secretado.

N.º ACCESO K02880

VERSIÓN K02880.1 GI: 184770

PALABRAS CLAVE región C; germline; cadena pesada de inmunoglobulina; cadena delta de

inmunoglobulina.

FUENTE ADN de Homo sapiens (paciente individual aislado con leucemia linfocítica crónica

(LLC))

ORGANISMO Homo sapiens

Eucariotas; Metazoos; Cordados; Craneados; Vertebrados; Teleósteos;

Mamíferos; Euterios; Primates; Catarrinos; Homínidos; Homos.

REFERENCIA 1 (bases 1 a 100)

AUTORES White, M.B., Shen, A.L., Word, C.J., Tucker, P.W. y Blattner, F.R. TÍTULO Human immunoglobulin D: genomic sequence of the delta heavy chain

REVISTA Science 228 (4700), 733-737 (1985)

MEDLINE 85192522 COMENTARIO Véase segmento 1

CARACTERÍSTICAS Situación/Calificadores

fuente 1..100

/organismo = "Homo sapiens"

/aislamiento = "Paciente con leucemia linfocítica crónica (LLC)"

/db_xref = "taxón: 9606" /mapa = "14q32.33" /tipo_célula = "linfocito"

/tipo_célula = "linfocito" /germline

intrón <1..>100 /gen = "IGHD"

/nota = "G00-120-084"

/nota = G00-120-08/ /número = 5

intrón <1..24 /gen = "IGHD"

/nota = "G00-120-084"

/número = 5 25..>53

/gen = "IGHD"

exón

/nota = "dominio terminal secretado; G00-120 -084"

/número = 6

gen unión (K02875.1:1..495, K02876.1:1..300, K02877.1:1..300, K02878.1:1..500,

K02879.1:1..500, 1..100, K02881.1:1..200, K02882.1:1..52)

/gen = "IGHD"

SCD unión (K02875.1:1..403, K02876.1:1..202, K02877.1:1..172, K02878.1:1..424,

K02879.1:1..424, 25..53)

/parcial

. /gen = "IGHD"

/nota = "forma secretada" /comienzo_codón= 3

/producto = "cadena delta de inmunoglobulina"

/n.º_proteína = "AAA52770.1" /db_xref = "GI: 495871"

/db_xref = " GDB: G00-120 -084"

/translation *PTKAPDVFPIISGCRHPKDNSPVVLACLITGYHPTSVTVTWYMG
TQSQPORTFPEIQRRDSYYMTSSOLSTPLOQWRQGEYKCVVQHTASKSKKEIFRWPES
PKAQASSVPTAQPQAEGSLAKATTAPATTRNTGRGGEEKKKEKEKEEQEERETKTPEC
PSHTQPLGVYLLTPAVQDLWLRDKATFTCFVVGSDLKDAHLTHEVAGKVPTGGVEEGL
LERHSNGSOSQHSRLTLPRSLWNAGTSVTCTLNHPSLPPQRLMALREPAAQAPVKLSL
HLLASSDPPEAASWLLCEVSGFSPPNILLMWLEDQREVNTSGFAPARPPPQPRSTTYW

AWSVLRVPAPPSPQPATYTCVVSHEDSRTLLNASRSLEVSYVTDHGPMK*

CONTADOR BASE 24 a 33 c 22 g 21 t

ORIGEN Sobre 1,8 kb tras segmento 5

1 gacacgeega ttttttgtta ttagatgtaa cagaccatgg ceceatgaaa tgateeegga

61 ccagatocgt cegcaccego cacteagoag ctotggcoga

[SEC ID N.º: 36]

FIGURA 7BB

K02881. IgD humana de Germline...[gi: 184771] PubMed, Proteína, Secuencias Relacionadas, Taxonomía, OMIM, LinkOut

LOCUS **HUMIGH07** 200 bp ADN PRI 08-NOV-1994 **DEFINICIÓN** Genes de la cadena de IgD de germline humana, región C, primer dominio de

membrana terminal

N.º ACCESO K02881

VERSIÓN K02881.1 GI: 184771

PALABRAS CLAVE región C; germline; cadena pesada de inmunoglobulina; cadena delta de

inmunoglobulina.

FUENTE ADN de Homo sapiens (paciente individual aislado con leucemia linfocítica crónica

(LLC))

ORGANISMO Homo sapiens

Eucariotas; Metazoos; Cordados; Craneados; Vertebrados; Teleósteos;

Mamíferos; Euterios; Primates; Catarrinos; Homínidos; Homos.

REFERENCIA 1 (bases 1 a 200)

White, M.B., Shen, A.L., Word, C.J., Tucker, P.W. y Blattner, F.R. **AUTORES** TÍTULO Human immunoglobulin D: genomic sequence of the delta heavy chain

REVISTA Science 228 (4700), 733-737 (1985)

MEDLINE 85192522 **COMENTARIO** Véase segmento 1

CARACTERÍSTICAS Situación/Calificadores

fuente 1..200

/organismo = "Homo sapiens"

/aislamiento = "Paciente con leucemia linfocítica crónica (LLC)"

/db xref = "taxón: 9606" /mapa = "14q32.33" /tipo_célula = "linfocito"

/germline

intrón <1..24

/gen = "IGHD" /nota = "G00-120-084"

/número = 5 25..182

exón /aen = "IGHD"

/nota = "primer dominio de membrana terminal; G00-120-084, putativo"

/número = 6

intrón 183..>200 /gen = "IGHD"

/nota = "G00-120-084"

/número = 6

unión (K02875.1:1..495, K02876.1:1..300, K02877.1:1..300, K02878.1:1..500, gen

K02879.1:1..500, K02880.1:1..100, 1..200, K02882.1:1..52)

/gen = "IGHD"

SCD unión (K02875.1:1..403, K02876.1:1..202, K02877.1:1..172, K02878.1:1..424,

K02879.1:1..424, 25..182.1:44..52)

/parcial /gen = "IGHD"

/Nota = "enlace de membrana"

/comienzo_codón = 3

/producto = "cadena delta de inmunoglobulina"

/no_proteina = "AAA52771.1" /db xref = "GI: 495872" /db xref = "GDB: G00-120 -084"

/cranslation=*PTKAPDVFPIISGCRHPKDNSPVVLACLITGYHPTSVTVTWYMG TQ50PQRTFPEIQRROSYYMTSSQLSTPLQQWRQGEYKCVVQHTASKSKXE1FRWPES PKAQASSVPTAQPQAEGSLAKATTAPATTRNTGRGGEEKKKEKEKEEQEERETKTPEC PSHTQPLGVYLLTPAVQDLWLRDKATFTCFVVGSDLKDAHLTWEVAGKVPTGGVEEGL Lerhangsqsqhsrltlprslmagtsvtctlnhpslppqrlmalrepaaqapvklsl NLLASSDPPEAASWLLCEVSGFSPPNILLMWLEDQREVNTSGFAPARPPPQPRSTTFW AHSVLRVPAPPSPQPATYTCVVSHEDSRTLLNASRSLEVSYLAHTPLIPQSKDENSDD

YTTFDDVGSLWTTLSTFVALFILTLLYSGIVTFIKVK*

CONTADOR BASE 37 a 72 c 49 g 42 t

FIGURA 7 CC

ORIGEN Sobre 800 bp tras segmento 6.

1 cgctcggccc ccgttcctcc ccagaccttg ccatgacccc cctgatccct cagagcaagg
61 atgagaacag cgatgactac acgacctttg atgatgtggg cagcctgtgg accaccttgt
121 ccacgtttgt ggccctcttc atcctcaccc tcctctacag cggcattgtc actttcatca

181 aggtcagggg agcggccagg

[SEC ID N.º: 38]

K02882. lgD humana de germline...[gi: 184772] PubMed, Proteína, Secuencias Relacionadas, Taxonomía, OMIM,

LinkOut

LOCUS HUMIGH08 100 bp ADN PRI 08-NOV-1994
DEFINICIÓN Genes de la cadena de IgD de germline humana, región C, segundo dominio de

membrana terminal

N.º ACCESO K02882

VERSIÓN K02882.1 GI: 184772

PALABRAS CLAVE región C; germline; cadena pesada de inmunoglobulina; cadena delta de

inmunoglobulina.

FUENTE ADN de Homo sapiens (paciente individual aislado con leucemia linfocítica crónica

(LLC))

ORGANISMO Homo sapiens

Eucariotas; Metazoos; Cordados; Craneados; Vertebrados; Teleósteos;

Mamíferos; Euterios; Primates; Catarrinos; Homínidos; Homos.

REFERENCIA 1 (bases 1 a 100)

AUTORES White, M.B., Shen, A.L., Word, C.J., Tucker, P.W. y Blattner, F.R. TÍTULO Human immunoglobulin D: genomic sequence of the delta heavy chain

REVISTA Science 228 (4700), 733-737 (1985)

MEDLINE 85192522 COMENTARIO Véase segmento 1

CARACTERÍSTICAS Situación/Calificadores

fuente 1..100

/organismo = "Homo sapiens"

/aislamiento = "Paciente con leucemia linfocítica crónica (LLC)"

/db_xref = "taxón: 9606" /mapa = "14q32.33" /tipo_célula = "linfocito"

/germline

intrón <1..43

/gen = "IGHD" /nota = "IgD-Mb" /número = 6

exón 44..>52

/gen = "IGHD"

/nota = "enlace de membrana (segundo dominio de membrana terminal); G00-

120-084, putativo"

/número = 7

gen unión (K02875.1:1..495, K02876.1:1..300, K02877.1:1..300, K02878.1:1..500,

K02879.1:1..500, K02880.1:1..100, 1..200, K02881.1:1..52)

/gen = "IGHD"

SCD unión (K02875.1:1..403, K02876.1:1..202, K02877.1:1..172, K02878.1:1..424,

K02879.1:1..424, K02881.1:25..182.1:44..52)

/parcial /gen = "IGHD"

/nota = "enlace de membrana"

/comienzo_codón = 3

/producto = "cadena delta de inmunoglobulina"

/n.º_proteína = "AAA52771.1" /db_xref = "GI: 495872" /db xref = "GDB: G00-120 -084"

/translation-*Ptkapdvppiisgcrhpkonspvvlaclitgyhptsvtvtwymg TQSQPQRTFpeigrrdsyymtssqlstplqmrqcgykcvvohtaskskkeifrmpes Pkaqassvptaqpqaegslakattapattrntgrggeekkækekeeqeeretktpec Pshtqplgvylltpavqdlhlrdkatftcfvvgsdlkdahltmevagkvptggveegl Lerhsngsqsqhsrltlprslmnagtsvtctlnhpslppqrlmalrepaaqapvklsl

NLLASSDPPEAASWLLCEVSGFSPPNILLMWLEDQREVNTSGFAPARPPPQPRSTTFW

FIGURA 7DD

AWSVLRVPAPPSPOPATYTCVVSHEDSRTLLNASRSLEVSYLAMTPLIPOSKDENSDD YTTFDDVGSLWTTLSTFVALFILTLLYSGIVTFIKVK*

CONTADOR BASE 22 a 30 c 30 g 18 t

Sobre 1,3 kb tras segmento 7. ORIGEN

1 traggettet agreectite tgaccecage egetetett caggreaagt agreecagaa

61 gagcaggacg ccctgtacct gcagagaagg gaagcagcct

[SEC ID N.º: 40]

K02875. IgD humana de germline...[gi: 184765] PubMed, Proteína, Secuencias Relacionadas, Taxonomía, OMIM,

LinkOut

LOCUS HUMIGCH01 495 bp ADN PRI 08-NOV-1994 **DEFINICIÓN** Genes de la cadena de IgD de germline humana, región C, dominio C delta-1

N.º ACCESO K02875

K02875.1 GI: 184765 VERSION

PALABRAS CLAVE región C; germline; cadena pesada de inmunoglobulina; cadena delta de

inmunoglobulina.

FUENTE ADN de Homo sapiens (paciente individual aislado con leucemia linfocítica crónica

(LLC))

ORGANISMO Homo sapiens

Eucariotas; Metazoos; Cordados; Craneados; Vertebrados; Teleósteos;

Mamíferos; Euterios; Primates; Catarrinos; Homínidos; Homos.

REFERENCIA 1 (bases 1 a 495)

White, M.B., Shen, A.L., Word, C.J., Tucker, P.W. y Blattner, F.R. **AUTORES** Human immunoglobulin D: genomic sequence of the delta heavy chain TÍTULO

REVISTA Science 228 (4700), 733-737 (1985)

85192522 **MEDLINE**

COMENTARIO La secuencia en formato legible por ordenador y el borrador de entrada (1) fueron

gentilmente cedidos por M. B. Blanco, 06-AGO-1985.

Los extremos de los exones C-delta y delta-s se localizaron comparando las

secuencias traducidas con las secuencias conocidas AA (1). Situación/Calificadores

CARACTERÍSTICAS

1..495 fuente

/organismo = "Homo sapiens"

/aislamiento = "Paciente con leucemia linfocítica crónica (LLC)"

/db xref = "taxón: 9606" /mapa = "14q32.33" /tipo_célula = "linfocito"

/germline

unión (1..495,K02876.1:1..300, K02877.1:1..300, K02878.1:1..500, gen

K02879.1:1..500, K02880.1:1..100, 1..200, K02881.1:1..200, K02882.1:1..52)

/gen = "IGHD"

intrón <1..100

/gen = "IGHD"

/nota = "intrón J-C; G00-120 -084"

SCD K02877.1:101..172, K02878.1:1..424, (101..403, K02876.1:1..202,

K02879.1:1..424, K02880.1:25..53)

/parcial /gen = "IGHD"

/nota = "forma secretada" /comienzo_codón = 3

/producto = "cadena delta de inmunoglobulina"

/n.º_proteína = "AAA52770.1" /db_xref = "GI: 495871"

/db xref = "GDB: G00-120 -084"

/translation="ptkapdvfplisgcrhpkdnspvvlacLitgyhptsvtvtwykg tosoportfpeiorrdsyymtssqlstploowrogeykcvvohtaskskkeifrwpes PKAQASSVPTAQPQAEGSLAKATTAPATTRNTGRGGEEKKKEKEKEEQEERETKTPEC PSHTQPLGVYLLTPAVQDLWLRDKATFTCFVVGSDLKDAHLTWEVAGKVPTGOVEEGL LERHSNGSQSQHSRLTLPRSLWNAGTSVTCTLNHPSLPPQRLMALREPAAQAPVKLSL NLLASSDPPEAASHLLCEVSGFSPPNILLMWLEDQREVNTSGFAPARPPPOPRSTTFW

awsvlrvpappspopatytcvvshedsrtllnasrslevsyvtdhgpmk•

exón 101..403

/gen = "IGHD"

/nota = "dominio constante delta-1; G00-120 -084; putativo"

FIGURA 7EE

```
/número = 1
   SCD
                            unión (101..403, K02876.1:1..202, K02877.1:101..172, K02878.1:1..424,
                           K02879.1:1..424, K02881.1:25..182, K02882.1:44..52)
                           /parcial
                           /gen = "IGHD"
                           /nota = "enlace de membrana"
                           /comienzo_codón = 3
                           /producto = "cadena delta de inmunoglobulina"
                           /n.º_proteína = "AAA52771.1"
                           /db xref = "GI: 495872"
                           /db xref = " GDB: G00-120 -084"
                            /translation-*PTKAPDVFPIISGCRHPKDNSPVVLACLITGYHPTSVTVTWYMG
                            TOSOPORTFPEIORRDSYYMTSSQLSTPLOOWRQGEYKCVVOHTASKSKKEIFRWPES
                            PKAQASSVPTAQPQAEGSLAKATTAPATTRNTGRGGEEKKKEKEKEEQEERETKTPEC
                            PSHTQPLGVYLLTPAVQDLWLRDKATFTCFVVGSDLKDAHLTWEVAGKVPTGGVEEGL
                            LERHSNGSQSQHSRLTLPRSLHNAGTSVTCTLNHPSLPPQRLMALREPAAQAPVKLSL
                            MLLASSDPPEAASWLLCEVSGFSPPNILLMWLEDQREVNTSGFAPARPPPOPRSTTFW
                            AWSVLRVPAPPSPOPATYTCVVSHEDSRTLLNASRSLEVSYLAMTPLIPOSKDENSDD
                            YTTFDDVGSLWTTL5TFVALFILTLLYSGIVTFIKVK*
                            404..>495
   intrón
                           /gen = "IGHD"
                           /nota = "G00-120-084"
                           /número = 1
CONTADOR BASE
                     114 a
                            179 c
                                   120 g 82 t
ORIGEN
              182 bp aguas arriba del sitio Sphl; cromosoma 14p32.3.
          1 titecetgee tecegteace etgeogerag ggeetetgee etgeoetgee cettgteete 61 aggittecag cetcagaete ecactgigte tgtettecag caccaacca ggeteeggat
         121 gtgttcccca tcatatcagg gtgcagacac ccaaaggata acagccctgt ggtcctggca
         181 tgcttgataa ctgggtacca cccaacgtcc gtgactgtca cctggtacat ggggacacag
         241 agccagecce agagaacett certgagata canagaeggg acagetacta catgacaage
         301 agreagetet ceacecect ceageagtgg egecaaggeg agtacaaatg egtggteeag
         361 cacaccocca gcaagagtaa gaaggagate ttccgctggc caggtaggtc gcaccggaga
         421 tcacccagas gggcccccca ggacccccag caccttccac tcagggcctg accacaaaga
         481 cagaagcaag ggctg
                                                                                   [SEC ID N.º: 42]
          REGIÓN C DE CADENA DE LA IG ÉPSILON HUMANA - HOMO SAPIENS (HUMANO)
   VIII.
   SECUENCIA DE AMINOÁCIDOS
   >sp |P01880| DTC_REGIÓN C DE CADENA DE LA IG ÉPSILON HUMANA - Homo sapiens (Humano)
               10
                            20
                                          30
                                                      40
                                                                   50
                                                                                 60
      ASTOSPSVPP LTRCCKNIPS NATSVTLGCL ATGYFPEPVM VTWDTGSLNG TIMTLPATTL
               70
                            80
                                          90
                                                     100
                                                                  110
                                                                               120
      TLSGHYATIS LLTVSGAWAK OMFTCRVAHT PSSTDWVDNK TFSVCSRDFT PPTVKILQSS
              130
                           7'40
                                        150
                                                     160
                                                                  170
      CDGGGHFPPT IQLLCLVSGY TPGTINITWL EDGOVMDVDL STASTTOEGE LASTOSELTL
              190
                           200
                                        210
                                                                  230
                                                     220
                                                                               240
      SQKHWLSDRT YTCQVTYQGH TFEDSTKKCA DSNPRGVSAY LSRPSPFDLF
                                                                       IRKSPTITCL
              250
                           260
                                        270
                                                                               300
                                                                  290
```

VVDLAPSKOT VNLTWSRASG KPVNHSTRKE EKORNGTLIV TSTLPVGTRD WIEGETYQCR

FIGURA 7FF

310 . VTHPHLPRAL	320 MRSTTKTSGP	330 Raapevyafa	340 TPEWPGSRDK	350 RTLACLIQNE	360 MPEDISVOWL
370 HNEVQLPDAR	380 HSTTQPRKTK	390 ! GSGFFVFSRL	· 400 EVTRAEWEQK	410 DEFICRAVHE	420 AASPSQTVQR
428 AVSVNPGK					

[SEC ID N.º: 49]

SECUENCIA DE CODIFICACIÓN

atggactgga	cctggatcct	cttcttggtg	gcagcagcca	cgcgagtcca	ctcccagacg	. 60
cagttggtgc	agt¢tgggg¢	tgaggtgagg	aagcctgggg	catcagtgag	ggtctcctgc	120
aaggcttctg	gatacacctt	CATCGACTCC	Catatecact	ggatacgaca	ggcccctggg	180
cacgggcttg	#8tääätäää	atggatcaac	cctaacagtg	gtggcacaaa	ctatgeteeg	240
agatttcagg	gcagggtcac	Catgaccaga	gacgcgtcct	tragtarage	ctacacaggac	300
ctgagaagtc	tgagatetga	cgactcggcc	gegetttact	gtgcgaaaag	tgaccctttt	. 360
tggagtgatt	accacaactt	tgactactcg	tacactttgg	acgtetgggg	ccaagggacc	420
acggtcaccg	tetectcage	ctccacacag	ageceateeg	ECEECCCEE	gacccgcege	480
tgcaaaaaca	ttccctccaa	tgccacctcc	gtgactctgg	gctgcctggc	cacqqqctac	540
ttcccggagc	cggtgatggt	gacctgggac	acaggeteee	teaacgggac	aactatgacc	600
ttaccagcca	CCACCCCCAC	gctctctggt	cactatgcca	ccatcagctt	getgacegte	660
tcgggtgcgt	gggccaagca	gatgttcacc	tgccgtgtgg	CACACACTCC	ategtecaca	720
gactgggtcg	acaacaaaac	Cttcagcgtc	tgctccaggg	BCCCCCCCC	gcccaccgtg	780
aagatettae	agregreerg	carcaacaac	gggcacttcc	ccccgaccat	ccagctcctg	840
tgcctcgtct	ccgggtacac	cccagggact	atcascatca	cctggctgga	ggacgggcag	- 900
gtcarggacg	tggacttgtc	cacegeetet	accacgcagg	agggtgagct	ggcctccaca	960
csssaccsacc	teacecteag	ccagaagcac	tggctgtcag	accgcaccta	cacctgccag	1020
gtcacctatc	Baggtcacac	Ctttgaggac	agcaccaaga	agtgtgcaga	ttccaacccg	1080
agaggggtga	gcgcctacct	praceaacce	agcccgttcg	Acctgttcat	cegesagteg	1140
cccacgatca	cctgtctggt	ggtggacctg	gcacccagca	aggggaccgt	gaacctgacc	1700
tggtcccggg	ccagtgggaa	geetgtgase	CACTCCACCA	gaaaggagga	gaagcagege	1260
aatggcacgt	EBACCGECAC	gtccaccetg	ccggtgggca	cccgagactg	gatcgagggg	1320
gagacctacc	agtgcagggt	gacccacccc	CACCEGCCCA	gggccctcat	geggtecaeg	1380
accaagacca	acaacceaca	racracceca	gaagtctatg	cgtttgcgac	gccggagtgg	1440
ccggggagcc	gggacaageg	Caccetegee	tgcctgatcc	agaacttcat	gcctgaggac	1500
atcteggtge	agtggetgea	caacgaggtg	cagetecegg	acgcccggca	cagcacgacg	1560
cageceegea	agaccaaggg	Ctccggcttc	ttcgtcttca	gccgcctgga	ggtgaccagg	1620
gccgaatggg	agcagaaaga	tgagttcatc	tgccgtgcag	tccatgagge	agegageeee	1680
tcacagaccg	tccagcgage	ggtgtctgta	aatcccggta	aatga		1725

[SEC ID N.º: 44]

GenBank

L00022 Ig humana activa

LOCUS HUMIGHAE2 1920 bp ADN PRI 22-DIC-1994
DEFINICIÓN Genes de la cadena pesada épsilon-1 de lg activa humana, región constante

 N.º ACCESO
 L00022 J00227 V00555

 VERSIÓN
 L00022.1 GI: 185035

PALABRAS CLAVE región C; inmunoglobulina épsilon; cadena pesada de inmunoglobulina; gen procesado. FUENTE Línea celular de mieloma humano 266B1 ADN y cADN a mARN, clones H-Ig-épsilon-11,

lambda-épsilon-1.2, pJJ71, pGET2 y K85/A12 (véase comentario).

ORGANISMO Homo sapiens

Eucariotas; Metazoos; Cordados; Craneados; Vertebrados; Teleósteos;

Mamíferos; Euterios; Primates; Catarrinos; Homínidos; Homos.

REFERENCIA 1 (bases 1 a 1920)

AUTORES Flanagan, J.G. y Rabbitts, T.H.

TÍTULO The sequence of a human immunoglobulin epsilon heavy chain constant region gene,

and evidence for three non-allelic genes

REVISTA EMBO J. 1 (5), 655-660 (1982)

FIGURA 7GG

MEDLINE 84236029

REFERENCIA 2 (bases 528 a 736; 1044 a 1138)

AUTORES Nishida, Y., Miki, T., Hisajima, H. y Honjo, T.

TÍTULO Cloning of human immunoglobulin epsilon chain genes: evidence for multiple C epsilon

genes

REVISTA Proc. Natl. Acad. Sci. U.S.A. 79 (12), 3833-3837 (1982)

MEDLINE 82247945

REFERENCIA 3 (bases 1 a 1920)

AUTORES Kenten, J.H., Molgaard, H.V., Houghton, M., Derbyshire, R.B., Viney, J., Bell, L.O. y Gould,

H.J.

TÍTULO Cloning and sequence determination of the gene for the human immunoglobulin epsilon

chain expressed in a myeloma cell line

REVISTA Proc. Natl. Acad. Sci. U.S.A. 79 (21), 6661-6665 (1982)

MEDLINE 83065234

REFERENCIA 4 (bases 98 a 1884)

AUTORES Seno, M., Kurokava, T., Ono, Y., Onda, H., Sasada, R., Igarashi, K., Kikuchi, M., Sugino, Y.,

Nishida, Y. y Honjo, T.

TÍTULO Molecular cloning and nucleotide sequencing of human immunoglobulin epsilon chain cDNA

REVISTA Nucleic Acids Res. 11 (3), 719-726 (1983)

MEDLINE 83168897

REFERENCIA 5 (bases 691 a 807; 1571 a 1818; 1860 a 1885) AUTORES Liu, F. T., Albrandt, K. A., Bry, C. G. y Ishizaka, T.

TÍTULO Expression of a biologically active fragment of human IgE epsilon chain in Escherichia coli

REVISTA Proc. Natl. Acad. Sci. U.S.A. 81 (17), 5369-5373 (1984)

MEDLINE 84298140

COMENTARIO (2) y (1) indican el aislamiento de otros dos genes épsilon, épsilon-2 y épsilon-3. Los

autores (2) reivindican que épsilon-3 es un pseudogén. Max, et al. (Cell 29, 691-699 (1982)) lo comparan en (4) con la secuencia de la región C y encuentran 3 diferencias con respecto a los nucleótidos. La secuencia de aminoácidos que se deduce en (4) difiere en cierta medida con la secuencia de la región C publicada. (5) expresión producida de la IgE en E.

coli mediante la inserción dentro del vector de expresión pUC7.

Fuente de información completa:

Línea celular de mieloma humano 266B1 ADN (2), (1), (5) y cADN a mARN (3), (4), clones

H-Ig-épsilon-11 (2), lambda-épsilon-1.2 (1), pJJ71 (3), pGET2 (4) y K85/A12 (5).

CARACTERÍSTICAS Situación/Calificadores

fuente 1..1920

/organismo = "Homo sapiens" /db_xref = "taxón: 9606" /mapa = "14q32.33"

prim_transcripc. <1..1886

/nota = "épsilon-1 mRNA"

intrón <1..97

/gen = "IGHE"

/nota = "épsilon-1 intrón J-C"

exón 98..406

/gen = "IGHE"

/nota = "Cadena pesada de Ig épsilon-1 (dominio CH1); G00-119 -335"

intrón 407..613

/gen = "IGHE"

/nota = "épsilon-1 intrón A"

exón 614..934

/gen = "IGHE"

/nota = "Cadena pesada de Ig épsilon-1 (dominio CH2)"

conflicto 735

/gen = "IGHE" /cita = (3) /sustituir = " "

intrón 935-1020

/gen = "IGHE" /nota = "épsilon-1 intrón B"

exón 1021..1344

FIGURA 7HH

```
/gen = "IGHE"
                            /nota = "Cadena pesada de Ig épsilon-1 (dominio CH3)"
   conflicto
                            /gen = "IGHE"
                            /cita = (3)
                            /sustituir = " "
                            1337
   conflicto
                            /gen = "IGHE"
                            /cita = (3)
                            /sustituir = "
   intrón
                            1345..1427
                            /gen = "IGHE"
                            /nota = "épsilon-1 intrón C"
   exón
                            1428..>1759
                            /nota = "Cadena pesada de Ig épsilon-1 (dominio CH4)"
   conflicto
                            1444..1445
                            /gen = "IGHE"
                            /cita = (3)
                            /sustituir = " "
   conflicto
                             1612
                            /gen = "IGHE"
                            /cita = (3)
                            /sustituir = " "
                            1785
   conflicto
                            /cita = (3)
                            /sustituir = " "
                            unión (L00021.1:57..495, 1..1758)
   gen
                            /aen = "IGHE"
   SCD
                            unión (L00021.1:57..495, 98..406, 614..934, 1021..1344, 1428..1759)
                            /parcial
                            /gen = "IGHE"
                            /nota = "Cadena pesada de Ig épsilon-1 (dominio V-D-J)"
                            /comienzo_codón = 1
                            /n.º_proteína = "AAB59424.1"
                            /db xref = "GI: 386807"
                            /db xref = "GDB G00-119 -335"
                             /translation="MDWTWILFLVAAATRVHSQTQLVQSGAEVRKPGASVRVSCKASG
                             YTFIDSYIHWIROAPGHGLEHVGWINPNSGGTWYAPRFOGRVTHTRDASFSTAYMDLR
                             SLRSDDSAVFYCAKSDPFWSDYYNFDYSYTLDVWGQGTTVTVSSASTQSPSVPPLTRC
                             CKNIPSNATSVILGCLATGYFPEPVMVTWDTCSLNGTTMTLPATTLTLSGHYATISLL
                             TVSGAWAKOMFTCRVAHTPSSTDWVDNKTFSVCSRDFTPPTVKILQSSCDGGGHFPPT
                             IOLLCLVSGYTPGTINITWLEDGQVMDVDLSTASTTQEGELASTQSELTLSQXHWLSD
                             RTYTCOVTYQGHTFEDSTKKCADSNPROVSAYLSRPSPFDLFIRKSPTITCLVVDLAP
                             SKGTVNLTWSRASGKPVNHSTRKEEKQRNGTLTVTSTLPVGTRDW1EGETYQCRVTHP
                             HLPRALMRSTTKTSGPRAAPEVYAFATPEWPGSRDKRTLACLIONFMPEDISVOWLHN
                             EVOLPDARHSTTOPRKTKGSGFFVFSRLEVTRAEWEOKDEFICRAVHEAASPSOTVOR
                             AVSVNPGK*
                                                                        [SEC ID N.º: 60]
CONTADOR BASE
                        387 a 658 c 576 a
                                                299 t
ORIGEN
               tras unos 3 kb; 1 bp aguas arriba del sitio BamHI.
       1 ggatecetge caeggggtee ceagetecee catecaggee ecceaggetg atgggegetg
      61 georgagger ggeactgact agettergte etcacageet ceacacagag cecateegte
     121 treecettga eccgetgetg caaaaacatt cectecaatg ceaceteegt gaetetggge
    181 tgcctggcca cgggctactt cccggagccg gtgatggtga cctgggacac aggctcctc
    301 accagentge tyacegreen gggrgegtgg gecaageaga tgttcacetg cegrgtggea
    361 cacactecat egreeacaga etgggtegac aacaaaacet teageggtaa gagagggesa
    421 agetcagaga ccacagitée caggagigee aggetgaggg eiggeagagi gggeaggggi
    481 tgagggggtg ggrgggctca macgrgggaa cacccagcar gccrggggac cegggccagg
    541 acgrgggggc aagaggaggg cacacagagc teagagaggc caacaaccct catgaccacc
    601 agenetecce cagnetigete cagggaette accoegecca cegignagat ettacaging
    661 tecegogacý geggegggea extendence accatenage tentgraces egipteteggg
    721 tacaccccag ggactatcaa catcacctgg ctggaggacg ggcaggtcat ggacgtggac
    781 ttgtccaccg cetetaceae geaggagggt gagetggeet ceacacaaag cgageteace
```

FIGURA 7II

	841	ctcagccaga	agcactggct	gtcagaccgc	acctacacct	gccaggtcac	Ctatcaaggt	
	301	cacacctttg	aggacagcac	caagaagtgt	gcaggtacgt	teccacetge	cttaataacc	
	961	gccacggagg	ccagagaaga	9999099919	ggccccacac	Agccctccgg	totaccacao	
1	021	BEECCABCCC	gagaggggtg	agcgcctacc	taaqccqqcc	CAGCCCGLEC	GACCTOTTCA	
1	081	teegcaagte	gcccacgatc	acctatctag	tggtggacct	GGCGCCGGC	ANGGGGACCG	
1	141	tgaacctgac	ctggtcccgg	gccagtggga	agcctotoaa	ccactccacc	90933500800	
1	201	agaagcagcg	caatggcacg	ttaaccgcca	COLCCACCCL	acceptage	accommonce	
1	261	ggatcgaggg	ggagacctac	cantocagos	EGACCCACCC	ccacctoccc	2000000000	
1	321	tgcggtccac	gaccaagacc	AGCGGEGAGC	Carooccago	CCOCCOCCC	agggeeeta	
1	381	8999892989	EGRACOGGGC	CCCCCCCCC	cccacatata	ccggggccgc	9999988999	
1	441	CCCODARDEC	tgagcggggc	cegggergae	SESSESSES	gccacaggcc	egegtgetge	
ī	501	Coccepange	tatgcgtttg	toacoccoga	919911999	agecgggaca	agcgcaccct	
1	561	catcageers	acccagaact	reatgeetga	ggacateteg	grgcagtggc	tgcacaacga	
-	201	ggtgcagete	ccggacgccc	ggcacagcac	gacgcagccc	CGCSSGSCCB	agggeteegg	
-	621	ceretegee	ttcagccgcc	tggaggtgac	cagggccgaa	tgggagcaga	aagatgagt t	
•	60 T	carcedeede	gcagcccatg	aggcagcgag	CCCCCCacag	accetccaec	gagcagtate	
	/ * T	ratesacccc	ggtaaatgac	gtactcctgc	ctccctccct	cccagggctc	Catccagctg	
-	POT	racoaraaaa	aggactggcc	agacettetg	tecactette	caatgacccc	aggaagetae	
1	861	ccccaataaa	craracceac	tcagagcccc	agtacaccca	ECCEEGGGAG	coggcaggg	
					-	223.2	. 555 - 555	

[SEC ID N.º: 59]

IX. REGIÓN C DE CADENA DE LA IG MU HUMANA - HOMO SAPIENS (HUMANO) SECUENCIA DE AMINOÁCIDOS

>sp |P01871| MUC_REGIÓN C DE CADENA DE LA IG MU HUMANA - Homo sapiens (Humano)

10	÷a				
10	20	30	40	so	60
GSASAPTLFP	LVSCENSPSD	TSSVAVGCLA	ODFLPDSITE	SWKYKNNSDI	SSTRGFPSVL
70	80	90	100	110	120
1	1	. 1	1	ī	1
RGGKYAATSO	VLLPSKOVKQ	GTDEHVVCKV	OHPNGNKEKN	VPLPVIAELP	PKVSVFVPPR
130	140	150	160	170	180
DODDON - V	1	1	1	1	j
DOLLGNAKOK	SKLICOATGF	SPROIQVSWL	RECKOVGSGV	TIDQVQAEAK	ESCPTTYKVT
190	200	210	220	230	240
			}	1	ı
STLTIKESOW	LSQSMFTCRV	DHRGLTFOON	ASSMCVPDQD	TAIRVFAIPP	SFASIFLTKS
250		. 270			.:.
- 31	. 1	. 270	280	290	300
TKLTCLVTDL	TTYDSVTISW	TRONGEAVKT	HTNISESHON	ATPRAVCEAS	I CENTINUECE
				MII GATGED	CCCCC
310	320	330	340	. 320	360
1	1	ı	- 1	i	1
RFTCTVTHTD	LPSPLKQTIS	RPKGVALHRP	DVYLLPPARE	QLNLRESATI.	TCLVTGFSPA
370	380	320	400	410	420
UNENORMORE	OR EDGEOGR	CREMERONE			<u> </u>
DataGundra	VPLSPERIVI	Sapmpepqap	GRYFARSILT	VSEEEWNTGE	TYTCVVAREA
430	440	450	•		
1	,	ì			
LPNRVTERTV	DISTGRATLY	NVSLVMSDTA	GTCY		

[SEC ID N.º: 47]

SECUENCIA DE CODIFICACIÓN

ATGGRCTCON	CCEDOROGEE	cetertrore	*****			
0.5304.330		cerectiging	acaacaacaa	ccacaggigi	ccagtcccag	60
grgcagergg	tgcagtctgg	ggctgaggtg	aagaageetg	ggtcctcggt	gaaggtetee	120
tgcaaggctt	ctggaggcac	cttcagcagc	tatgctatca	gctgggtgcg	Acaggeeest	180
ggacaagggc	ttgagtggat	9998999860	atccetacet	ttggtacage	anactacges	240
cagaagttcc	agggcagagt	cacgattacc	9C9GACGAAL	CCACGAGCAC	AGCCTACREG	300

FIGURA 7JJ

gagetgagea	gcctgagatc	tgaggacacg	gccgtgtatt	actgtgcgaa	aaccgggatc	. 360
ctggggccgt	atagcagtgg	ctggtacccg	aactcggact	actactacta	cggtatggac	420
		ggtcaccgtc				480
		gaattecceg				540
		cgactccatc				600
		cttcccatca				660
tcacaggtgc	tgctgccttc	caaggacgtc	atgcagggca,	cagacgaaca	cgrggrgrgc	720
		cancaaagaa				780
		Cttcgtccca				840
agcaagtcca	ageteatetg	ccaggccacg	ggtttcagtc	cccggcagat	tcaggtgtcc	900
		ggtggggtct				960
					caaagagagc	1020
		gttcacctgc				1080
		tgtccccgat				1240
		CEECCECACC				1200
					cgaagetgtg	. 1260
		cgagagccac				1320
gccagcatct	gcgaggatga	ctggaattcc	ggggagaggt	tcargtgcac	cgtgacccac	1380
					ggccctgcac.	1440
					ggagtcggcc	1500
		gggettetet				1560
					tgagccccag	1620
					atggaacacg	1680
		ggtggcccat				1740
accgtggaca	agtccaccga	9999939919	agegeegaeg	aggagggctt	tgagaacctg	1800
tgggccaceg	CCECCACCEE	categteete	ttcctcctga	gcctcttcta	cagtaccacc	1860
	tcaaggtgaa				_	1884

[SEC ID N.º: 46]

GenBank

X17115.	m A D N I	humana	do la	ш
A I / I I D.	HIARIN	numano	$u \mapsto u$	п

LOCUS HSIGM201 2213 bp mARN PRI 03-ABR-1995

DEFINICIÓN Secuencia completa de mARN de cadena pesada de IgM humana

N.º ACCESO X17115

VERSIÓN X17115.1 GI: 33450

PALABRAS CLAVE cadena pesada de IgM; gen de IgM; cadena pesada de IgM; proteína transmembrana.

FUENTE humano
ORGANISMO Homo sapiens

Eucariotas; Metazoos; Cordados; Craneados; Vertebrados; Teleósteos;

Mamíferos; Euterios; Primates; Catarrinos; Homínidos; Homos.

REFERENCIA 1 (bases 1 a 2213) AUTORES Friendlander, R. M. TÍTULO Direct Submission

REVISTA Submitted (03-NOV-1989) Friedlander R. M., Harvard Medical School, Howard Hughes

Medical Institute, Department of Genetics, 25

Shattuck St, Boston, MA 02115, USA

REFERENCIA 2 (bases 1 a 2213)

AUTORES Friedlander, R. M., Nussenzweig, M. C. y Leder, P.

TÍTULO Complete nucleotide sequence of the membrane form of the human IgM heavy chain

REVISTA Nucleic Acids Res. 18 (14), 4278 (1990)

MEDLINE 90332450

REFERENCIA 3 (bases 1 a 2213)

AUTORES Kristensen, T., Loper, R. y Prydz, H.

TÍTULO An estimate of the sequencing error frequency in the DNA sequence databases

REVISTA DNA Seq. 2 (6), 343-346 (1992)

MEDLINE 93075997

OBSERVACIÓN Errata: I (fe de erratas publicada en DNA Seg 1993 ; 3 (5): 337))

COMENTARIO Para la secuencia genómica véase <K01306>, <X14939> y <X14940>. El autor

menciona varios conflictos con estas secuencias. Datos revisados amablemente (30-

MAY-1990) por Friedlander R. M.

CARACTERÍSTICAS Situación/Calificadores

fuente 1..2213

/organismo = "Homo sapiens" /db_xref = "taxón: 9606"

FIGURA 7KK

/clon = "201-203"

/línea celular = "linfoma 201"

/tipo_célula = "B"

/tipo_tejido = "linfoide"

característica_misc 1..39

/nota = "secuencia del VECTOR putativo Bluescript SKP+"

/cita = (3)

SCD 73..1956

/nota = "precursor (AA -15 a 612)"

/comienzo_codón = 1 /nº_proteína = "CAA34971.1"

/db_xref = "GI: 33451"

/db_xref = "SWISS-PROT: P01871" /db_xref = "SWISS-PROT: P20769"

/cranglation="MDWTWRFLFVVAAATGVQSQVQLVQSGAEVKKPGSSVKVSCKAS
GGTFS9YAISWVRQAPGQGLEMMGGIIPIFGTANYAQKFQGRVTITADESTSTAYMEL
SSLRSEDTAVYYCAKTGILGPYSSGWYPNSDYYYYGMDVWGQGTTVTVSSGSASAPTL
FPLVSCENSPSDTSVAVGCLAQDFLPDSITFSWKYKNNSDISSTRGFPSVLRGGKYA
ATSQVLLPSKDVWQGTDEHVVCKVQHPMGNKEKNVPLPVIAELPPKVSVFVPPRDGFF
GNPRSKSKLICQATGFSPRQIQVSWLREGKQVGSGVTTDQVQAEAKESGPTTTKVTST
LTIKESDWLSOSHFTCRVDHRGLTFQONASSMCVPDQDTAIRVFAIPPSFASIFLIKG
TKLTCLVTDLTTYDSVTISWTRQNGEAVKTHTNISESHPNATFSAVGEASICEDDMNS
GERFTCTVTHTDLPSPLKQTISRPKGVALHRPDVYLLPPAREOLMLRESATTTCLVTG
FSPADVFVQHMQRGQPLSPEKYVTSAPMPEPQAPGRYFAHSILTVSEEEWNTGETYTC
VVAHEALPNRVTERTVDKSTEGEVSADEEGFENLWATASTFIVLFLLSLFYSTTVTLF
KVK*

[SEC ID N.º: 52]

péptidos_señal 73..117 péptidos_mat 118..1953

/producto = "cadena pesada de IgM (AA 1 a 612).

sitio_poliA 2213

/nota = "sitio_poliA"

CONTADOR BASE 462 a 708 c 629 g 414 t

ORIGEN

```
1 getetagaae tagtggatee eeegggetge aggaattete taaagaagee eetgggagea
    61 tageteatea ceatggactg gacetggagg treetetttg tggtggcage agetacaggt
  181 grgsaggtet ectgeaagge ttetggagge acetteagea getatgetat cagetgggtg
  361 acagectaca tggagetgag cagectgaga tetgaggaca eggeegtgta ttactgtgeg
  421 aaaaccggga tcctgggg ccaagggacc acggtcaccg tctcctcagg gagtgcatcc
  541 geogramee tettecect egeotett gaganttece egeoggana gagengegtg
  661 aagamcaact etgmenteag eageaceegg ggetteecat eagteetgag agggggeaag
721 taegeageea eetemeaggt getgetgeet teemaggaeg temtgeaggg emeagmegam
  781 cacgiggigi gcasagicca gcaccccaac ggcaacasag aaaagaacgi gccicticca
841 grgatrgerg agetgettee caasgrgage gtettegtee caececeges eggettette
901 ggcaacecee gcagcaagte caagcteate tgccaggeca eggettetag tecceggeag
961 attcaggrgt cetggetgeg cgaggggaag caggtggggt etggegteae caeggaceag
1021 gtgcaggetg aggcaaaga gtetgggece acgacetaae aggtgaccae cacactgace
1081 atcaaagaga gcgactgget cagccagage atgstcacet gccggtgga tcacaggggg
1141 etgacettee ageagaatge greetecatg tgtgteeeeg ateaagacae agecateegg
1201 gtottogeca tecceccate etttgecage atetteetea ceaagtosae caagttgace
1261 tgeetggtea cagacetgae cacctatgae agegtgacea tetectggae eegecagaat
1321 ggcgaagetg tgaaaaccca caccaacate tecgagagec accceaatge cacttteage 1381 gccgtgggtg aggccagcat ctgcgaggat gactggaatt ccggggagag gttcacgtgc
1441 acceptgacco acacagacet geoetegooa ergaagoaga coateteceg geocaaggeg
1501 gragacter acadagater generates ergangera congragas gergaacetg
1501 gragactera acadagater gractatera ergangera congragas egertegra
1501 cagragatera aganggagan gecertater enganganga argunganga egertegra
1621 cagragatera aganggagan gecertatera engangangan argunangan egertegrangan
1681 cetgageece aggeeceagg eeggractte geceacagea teetgacegt gteegaagag
1741 gmatggaaca cgggggagac ctacacctge gtggtggecc atgaggecct geccaacagg
1801 grcaccgaga ggaccgrgga caagtccacc gagggggagg tgagcgccga cgaggagggc
1861 titgagaacc tgrgggccac cgcctccacc ttcatcgtcc tcttcctcct gagcctcttc
```

FIGURA 7LL

```
1921 tacagracca cogreacett gricaaggig aaatgateee aacagaagaa categgagae
1981 cagagagagg aacteaaagg ggegergeet cogggtergg ggreerggee tgegrggeet
2041 griggeacgi gricerette cogeooggee tecagitigi tgereraac caggerreet
2101 teregacegg caggggergg erggerrgea ggecacgagg tgggeretae coccacetge
2161 tergergrg aracgerrgr tgerergaaa taaaratgea cattitatee arg
```

[SEC ID N.º: 61]

MetGlySer

FIGURA 8A

HIDUTH

•	101)	
-	1 GAACTCGAGCAGCTGAAGCTTGCATGCCTGCAGGTCGACGGTATCGATAAGGATCCCTTGAAAGAAGAAAGA	
81	81 ATCTACAAATTGCCTTTTCTTATCGACCATGTACGTAAGCGCTTTACGTTTTTTTT	
161	TTGTGGGCCTGTGGGTCTCCAAGATCATTAAATTTTCCAAGATCAAAAAAAA	
241	TGTACGGCTAAGAGCGAATTTTGGCCTGTAGGATCCCTGAAAGCGAAGCAAACTAAAAAAAA	
321	ATCGACCATGTACGTAAGCGCTTTACGTTTTTTGGTGGACCCTTTGAAAAAAAA	
401	ATGGATCATTAATTTCCCACCTTCACCTACGATGGGGGGGCATTGCACGATGCACGATAATAATAATAATAATAATAATAATAATAATAATAATA	
481		
561	TTACGTTTTTCGTGGACCCTTGAAGAACTGGAAACTGGAAGAGGG	
641	TCACCTACGATGGGGGGATCACTACACTACATACATACAT	
723		
4 .	STICK I I I LECT I I I GAAGCAGCICAACATTGATCTTTCTCGAGGGAGATTTTTCAAATCAGTGCGCAAGACGT.	
801	DACGTAAGT	
881	TOAATTICGCGGGTATTCTGTTTCTATTCCAACTTTTTTCTTTGATCCGCGGTTTAAAAAAAA	
196	CACCICA POCATOR NA PARTIE CONTRACTOR NA PARTIE CONTRACTOR IN TORREST IN TORRE	
,	THE	
1 501	SCCALLICECCITITICAGAAATGGATAAATAGCCTTGCTTCCTATTATATCTTCCCAAATTACCAATACATTACCAACTAACA	
	Clai	
121	1121 ATCIGAATTICATAACCAATCICGATACACCAAATCGACTCTAGAGGATCTATCGATTCCCGGGTACCATGGGATCT	

AACCTCACCGTGGTGCTGCTCCGTGGGAGAAGGAGCTGAAACGGGAACCAGCTGTGGGG CTGGTGACATGCAGCACCTCCTGTGACCAGCCCAAGTTGTTGGGGCATAGAGACCCCGTTG LeuValThrCysSerThrSerCysAspGlnProLysLeuLeuGlyIleGluThrProLeu CAAGAADATAGCCAACCAATGTGCTATTCAAACTGCCCTGATGGGCAGTCAACAGCTAAA GlnGluAapSerGlnPrometCyaTyrSerAsnCysProAspGlyGlnSerThrAlaLys ACCTTCCTCACCGTGTACTGGACTCCAGAACGGGTGGAACTGGCACCCCTCCCCTCTTGG ThrPheLeuThrValTyrTrpThrProGluArgValGluLeuAlaProLeuProSerTrp CCTAAAAAGGAGTTGCTCCTGCCTGGGAACAACCGGAAGGTGTATGAACTGAGCAATGTG CAGCCAGTGGGCAAGAACCTTACCCTACGCTGCCAGGTGGAGGGTGGGGCACCCCGGGGC GlnProValGlyLysAsnLeuThrLeuArgCysGlnValGluGlyGlyAlaProArgAla AgnLeuThrvalvalLeuLeuArgGlyGluLyBGluLeuLyBArgGluProAlaValGly ProLysLysGluLeuLeuLeuProGlyAsnAsnArgLysValTyrGluLeuSerAsnVal AAACCTTTTTTGTCTTCTTTCATTGTCATTGCTTTTGTTTTACATCTACTAGTTTTG LysProPheLeuSerLeuSerLeuSerLeuLeuLauPhaThrSerThrSerLeu **GCACAGACATCTGTGTCCCCCTCAAAAGTCATCCTGCCCCGGGGAGGCTCCGTG** AlaGlnThrSerValSerProSerLysValIleLeuProArgGlyGlySerVal 1255 1309 1369 1198 1429 1489 1549 1609

112

FIGURA 8A (Cont.)

•	
m	262
	2569
valthrvalthrargaspreugluglythrtyrreucysargaraargserinturiotiosiy Spel Sacl	
•	2509
19 CCATTGCCCGAGCTCAAGTGTCTAAAGGATGGCACTTTCCCACTGCCCATGCCAATAATAATAATAATAATAATAATAATAATAATAATAA	2449
CHARDUTOCHARCOCCUMENT TO THE STATE OF THE ST	
	1
	2389
-	2329
о О	226
	2203
	,
•	2149
	6 0 0 × .
•	,
-	2029
	. 1969
	•
• -	600
•	1649
	•
	1789
	172
	1669
CHARLES	

FIGURA 8A (Cont.)

[SEC ID N.º: 9]

OOCATCADADCADATTGTACTGADAGTGCACCATATGDACATATTGTCGTTADAACGCGGCTACAATTAATACATAACCT

TATIGITATICATACACATACGATITIAGGTOACCACTATA

FIGURA 8A (Cont.)

 NTAGCGCGCAAACTAGGATAAATTATCGCGCGGGTGTCATCTATGTTACTAGATCGGGGATCTGCCGGTCTCCCCTATAG AACCOTAAAAAGGCCGCGTTGCTGGCGTTTTTTCCATAGGCTCCGCCCCCTGACGAGCATCACAAAATCGACGACGTCAAG IGAATCCTIGITIGCCGGICTTIGCGAIGATIATCATATATATITICTGTTGAATTACGTTAAGCATGTAATAATTAACATGTAA IGCATGACGTTATTTATGAGATGGGTTTTTATGAITAGAGTCCCGCAATTATACATTTATACATTGATACGTGATAGAAACAAAT TGAGTCGTATTAATTTCGATAAGCCAGGTTAACCTGCATTAATGAATCGGCCAACGCGCGGGGAGAGGCGGTTTGCGTAT aggcggtaatacggttatccacagaatcagggataacgcaggaaaaagacaaggaaagaacaacaa TCAGAGGTGGCGAAACCCGACAGACTATAAAGATACCAGGCGTTTCCCCCTGGAAGCTCCCTCGTGGTGCGCTCTTCTTTC <u>**COACCCMGCTTACCGGATACCTGTCCGCCTTTCTCCCTTTCGGGAAGCGTTGGCGCTTTCTCAATGCTCACTGTAGG</u></u> ATCCOGTAACTATCOTCTTGAGTCCAACCCGGTAAGACACGACTTATCGCCACTGGCAGCAGCCACTGGTAACAGGATTA** COCOCITCTCACCCTCACTGDAACGAAAACTCACGTTAAGGGATTTTTGGTCATGAGATTATCAAAAAGGATCTTCACCTAG AATCAGTGAGGCACCTATCTCAGGGATCTGTCTATTTCGTTCATCCATAGTTGCCTGACTGCCGGTCGTGTAGATAACTA AGCACTIGCATAATTICTICTTACTIGTCATGCCATCCGTAAGATGCTTTTTCTGTGACTGGTGGTGGTACTCAACCAAGTCATTCT **ᲔᲚ₳Ე₳₲₢₲₳₲₢₶₳₮₲₶₳₲₢₢₲₮₡₢₶₳₡₳₲₳₲₮₮₢₮₮₳₳₳₲₮₲₲₮₲₢₢₢₮₳₳₵₮₳₢₲₢₵₽₵₳₢₶₳₲₳₳₲₲₳₢₳₲₮₳₮₮₮ ATCCTTTTAAATTAAAAATGAAGTTTTTAAATCAATCTAAAGTATATATGAGTAAACTTGGTCTGACAGTTACCAATGCTT** CGATACGGGAGGGCTTACCATCTGGCCCCAGTGCTGCAATGATACCGCGAGGCCCACGCTCACGGCTCCAGGTTTATCA TTGCCQQQAAGCTAGAGTAAGTAGTTCGCCAGTTAATAGTTTGCGCAACGTTGTTGCCATTGCTACAGGCATCGTGGTGT CACGCTCGTCGTTTTGGTATGGCTTCAGCTCCGGGTTCCCAACGATCAAGGCGAGTTACATGATCCCCCCATGTTTGTGC **GAGAATAGTGTATGCGGCGACCGAGTTGCTTTTGCCCGGCGTCAATACGGGATAATACCGCGCCCACATAGCAGAACTTTA** AAAGTGCTCATCATTTGGAAAACGTTCTTCGGGGGGAAAACTCTCAAGGATCTTACCGCTGTTGAGATGCAGTTCGATGTA **ACCCACTOCACCCAACTOATCTTCAGCATCTTTTACTTTCACCAGCGTTTTCTGGGTGAGCAAAAACAGGAAAGCCAAA** CCTTT/COTCTCCGCGCGTTT/CGGTGATGACGTGAAAACCTCTGACAATGCAGCTCCCGGAGACGGTCACAGCTTGTCTG atgococaaaaagggaataagggcgacacggaaatgttgaatactcatactcttttcctttttttccatatttttgaagcatt TATCAGGGTTATTGTCTCATGAGCGGATACATATTTGAATGTATTTAGAAAAATAAACAAATAAGGGGTTCCGCGCACATT TCCCCGAAAAGTGCCACCTGACGTCTAAGAAACCATTATTATCATGACATTAACCTATAAAAATAGGCGTATCACGAGGC TAAGCGGATGCCGGGÄGCAGACAAGCCCGTCAGGGCGCGTCAGCGGGTGTTGGCGGGGTGTCGGGGGTGGTGGCGTGGCTTAACTATGC 4038 4118 4518 4918 5238 5478 5558 5638 5718 6038 4198 4278 4438 4598 467B 4758 4998 5078 5318 5958 4358 4838 5158 5398

[SEC ID N.º: 10]

MetSerLysProPheLeuSerLeuSerLeuSerLeuLeuLeuLeuPheThrSerThrCysLeuAla

FIGURA 8B PÉPTIDO SEÑAL DE LEGÚMINA DE ALUBIA

99

FIGURA 8C

NUCLEÓTIDOS Y SECUENCIA DE AMINOÁCIDOS DE PROTEÍNA REGIÓN DE CODIFICACIÓN DE pSHuJ

1141

GAC Ą ATC \$ Тув \$ TAC ACC crr Grr leu val TGC len pro **D** CCT 2 aen 161 GCC TTA lou 861 CAG g GTC val GAT dee gad glu 9 9 9 AAG 178 ala GGA glu AAC agn d d d AGG arg GAC aBp ACC ACA thr AGG ATT GTT arg ile val ord gaa val glu 756 ATC ATC COT TCT TCC ile ile arg ser ser CTG AAC AAC leu asn asn ala ala TAT GAC AGA tyr asp arg phe trp TCT CAT TTG 7 th th ATG GTG met val and a AGGATCTATCGATTCCCGGGTACC ATG GAG AAC CAT TTG CTT met glu aan his leu leu **C11** val gln ile 78 BY CAT GTG AAA GCC CAA GAA GAT his val lys ala glu glu asp AAC ATC CGA ATT ATT GTT CCT asn ile arg ile ile val pro TAC TGC TAC ACT ACC thr AGA .TTT GTG arg phe val AAT 880 glu AGG ITTO AGA ACC AGA TITT leu arg thr arg phe GAG CTG GAT TCC ACA GAG ACC thr glu thr TGT GCC CGG ATT ACT TCC Cys ale are ile thr ser TAT GGT GGT tyr gly gly TGA ATTC OTO CAG (val glù] ACA GAA GTG the glu val a1a GAC GTA GAC AGT GCT val pro 416 AGA CCA pro 96 ĊTC leu ر رز ala val g TAT GAG 91u TCA Ber ð tyr daa Z. phe ile lys glu Ag cys lys ACC ដូ Іуя сув авр рго ATC TOT GAT GAA grc CCA GAT GCC TGC pro sap ala cys GTG ala val val glu asp ile val TOT ser asp pro AAA TGT GAT GTT TTT ATT сув авр ACA GCT GTG TCT GAT CCC GAG GAC ATT 1561/133 AAC AAA aen lye 1381/73 1261/33 1321/53

FIGURA 8D

NUCLEÓTIDOS Y SECUENCIA DE AMINOÁCIDOS DE PROTEÍNA REGIÓN DE CODIFICACIÓN DE pSHuSC

1137 GTCGATTCCCGGGTACC ATG GTG CTC TTC GTG CTC ACC TGC met val leu phe val leu thr cys CTG CTG GCG GTC TTC CCA GCC ATC TCC ACG AAG AGT CCC ATA TTT GGT CCC GAG GAG GTG leu leu ala val phe pro ala ile ser thr lys ser pro ile phe gly pro glu glu val 1238/29 AAT AGT GTG GAA GGT AAC TCA GTG TCC ATC ACG TGC TAC TAC CCA CCC ACC TCT GTC AAC asm ser val glu gly asm ser val ser ile thr cys tyr tyr pro pro thr ser val asm 1298/49 CGG CAC ACC CGG AAG TAC TGG TGC CGG CAG GGA GCT AGA GGT GGC TGC ATA ACC CTC ATC arg his thr arg lys tyr trp cys arg gln gly als arg gly gly cys ile thr leu ile 1358/69 TCC TCG GAG GGC TAC GTC TCC AGC AAA TAT GCA GGC AGG GCT AAC CTC ACC AAC TTC CCG ser ser glu gly tyr val ser ser lys tyr ala gly arg ala asn leu thr asn phe pro 1418/89 GAG AAC GGC ACA TIT GTG GTG AAC AIT GCC CAG CTG AGC CAG GAT GAC TCC GGG CGC TAC glu asn gly thr phe val val asn ile ala gln leu ser gln asp asp ser gly arg tyr 1478/109 AAG TGT GGC CTG GGC ATC AAT AGC CGA GGC CTG TCC TTT GAT GTC AGC CTG GAG GTC AGC lys cys gly leu gly ile asn ser arg gly leu ser phe asp'val ser leu glu val ser 1538/129 CAG GGT CCT GGG CTC CTA AAT GAC ACT AAA GTC TAC ACA GTG GAC CTG GGC AGA ACG GTG gin gly pro gly leu leu asn asp thr lys val tyr thr val asp leu gly arg thr val 1598/149 ACC ATC AAC TGC CCT TTC AAG ACT GAG AAT GCT CAA AAG AGG AAG TCC TTG TAC AAG CAG thr ile asm cys pro phe lys thr glu asm ala gln lys arg lys ser leu tyr lys gln 1658/169 ATA GGC CTG TAC CCT GTG CTG GTC ATC GAC TCC AGT GGT TAT GTG AAT CCC AAC TAT ACA ile gly leu tyr pro val leu val ile asp ser ser gly tyr val asn pro asn tyr thr 1718/189 GGA AGA ATA CGC CTT GAT ATT CAG GGT ACT GGC CAG TTA CTG TTC AGC GTT GTC ATC AAC gly arg ile arg leu asp ile gln gly thr gly gln leu leu phe ser val val ile asn 1778/209 CAA CTC AGG CTC AGC GAT GCT GGG CAG TAT CTC TGC CAG GCT GGG GAT GAT TCC AAT AGT gin leu arg leu ser asp ala gly gin tyr leu cys gin ala gly asp asp ser asn ser 1838/229 AAT AAG AAG AAT GCT GAC CTC CAA GTG CTA AAG CCC GAG CCC GAG CTG GTT TAT GAA GAC asn lys lys asn ala asp leu gln val leu lys pro glu pro glu leu val tyr glu asp CTG AGG GGC TCA GTG ACC TTC CAC TGT GCC CTG GGC CCT GAG GTG GCA AAC GTG GCC AAA leu arg gly ser val thr phe his cys ala leu gly pro glu val ala asn val ala lys 1958/269 TIT CTG TCC CGA CAG AGC AGT GGG GAA AAC TGT GAC GTG GTC GTC AAC ACC CTG GGG AAG phe leu cys arg gln ser ser gly glu asn cys asp val val asn thr leu gly lys 2018/289 AGG GCC CCA GCC TTT GAG GGC AGG ATC CTG CTC AAC CCC CAG GAC AAG GAT GGC TCA TTC arg ala pro ala phe glu gly arg ile leu leu asn pro gln asp lys asp gly ser phe 2078/309

AGT GTG GTG ATC ACA GGC CTG AGG AAG GAG GAT GCA GGG CGC TAC CTG TGT GGA GCC CAT ser val val ile thr gly leu arg lys glu asp ala gly arg tyr leu cys gly ala his

TCG GAT GGT CAG CTG CAG GAA GGC TCG CCT ATC CAG GCC TGG CAA CTC TTC GTC AAT GAG ser asp gly gln leu gln glu gly ser pro ile gln ala trp gln leu phe val asn glu

GAG TCC ACG ATT CCC CGC AGC CCC ACT GTG GTG AAG GGG GTG GCA AGC TCT GTG GCC glu ser thr ile pro arg ser pro thr val val lys gly val ala gly ser ser val ala

2138/329

2198/349

FIGURA 8D (Cont.)

```
2258/369
 GTG CTC TGC CCC TAC AAC CGT AAG GAA AGC AAA AGC ATC AAG TAC TGG TGT CTC TGG GAA
 val leu cys pro tyr asn arg lys glu ser lys ser ile lys tyr trp cys leu trp glu
 2318/389
 GGG GCC CAG AAT GGC CGC TGC CCC CTG CTG GTG GAC AGC GAG GGG TGG GTT AAG GCC CAG
 gly ala gln asm gly arg cys pro leu leu val asp ser glu gly trp val lys ala gln
 2378/409
 TAC GAG GGC CGC CTC TCC CTG CTG GAG GAG CCA GGC AAC GGC ACC TTC ACT GTC ATC CTC
 tyr glu gly arg leu ser leu leu glu glu pro gly asn gly thr phe thr val ile leu
 2438/429
 AAC CAG CTC ACC AGC CGG GAC GCC GGC TTC TAC TGG TGT CTG ACC AAC GGC GAT ACT CTC
 ash gin lew thr ser arg asp ala gly phe tyr trp cys lew thr ash gly asp thr lew
 2498/449
 TGG AGG ACC ACC GTG GAG ATC AAG ATT ATC GAA GGA GAA CCA AAC CTC AAG GTT CCC GGG
 trp arg thr thr val glu ile lys ile ile glu gly glu pro asn leu lys val pro gly
 2558/469
 AAT GTC ACG GCT GTG CTG GGA GAG ACT CTC AAG GTC CCC TGT CAC TTT CCA TGC AAA TTC
 asn val thr ala val leu gly glu thr leu lys val pro cys his phe pro cys lys phe
 TCC TCG TAC GAG AAA TAC TGG TGC AAG TGG AAT AAC ACG GGC TGC CAG GCC CTG CCC AGC
 ser ser tyr glu lys tyr trp cys lys trp asn asn thr gly cys gln ala leu pro ser
 2678/509
 CAA GAC GAA GGC CCC AGC AAG GCC TTC GTG AAC TGT GAC GAG AAC AGC CGG CTT GTC TCC
 gln asp glu gly pro ser lys ala phe val asp cys asp glu asp ser arg leu val ser
 2738/529
 CTG ACC CTG AAC CTG GTG ACC AGG GCT GAT GAG GGC TGG TAC TGG TGT GGA GTG AAG CAG
 leu thr leu asn leu val thr arg ala asp glu gly trp tyr trp cys gly val lys gln
 2798/549
 GGC CAC ITC TAT GGA GAG ACT GCA GCC GTC TAT GTG GCA GTT GAA GAG AGG AAG GCA GCG
 gly his phe tyr gly glu thr ala ala val tyr val ala val glu glu arg lys ala ala
 2858/569
 GGG TCC CGC GAT GTC AGC CTA GCG AAG GCA GAC GCT GCT CCT GAT GAG AAG GTG CTA GAC
 gly ser arg asp val ser leu ala lys ala asp ala ala pro asp glu lys val leu asp
 2918/589
 TCT GGT TTT CGG GAG ATT GAG AAC AAA GCC ATT CAG GAT CCC AGG CTT TTT GCA GAG TGA
 ser gly phe arg glu ile glu asn lys ala ile gln asp pro arg leu phe ala glu
 2978
· ATTC
```

[SEC ID N.º: 12]

FIGURA 8E pBMSP-1

1 CTGGCCGGCGCCAGATCTGGGAACCTGTGGTTGGCATGCACATACAAATGGACGAACGGATAAACCTTTTCACGCCCTT

161 AAACTGAAGGCGGGAAACGACAATCTCATGAGCGGAGAATTAAGGGAGTCACGTTATGACCCCCCCGGATGACGCGG ttaaatateccbattattectaataaacgetetttteetettaggtttaecccccaatatatectgteaacaetgatagttt CTAGTAACATAGATGACACCGCGCGCGCGATAATTTATCCTAGTTTTGCGCGCTATATTTTGTTTTTCTATCGCGTATTAAATG **OTAATTCAACAGAAATTATATGATAATCATCGCAAGACCGGCAACAGGGATTCAATCTTAAGAAACTTTATTGCCAAATGT** 321

561 ITGAACGATCGGGGAAATTCGAGCTCCACCGCGGTGGCGGCCGCTCTAGAACTAGTGGATCCCCCGGGCTGCAGGAATTC 721 GATTOGITATOAAATTCAGATOCTAGTGTAATGTATTGGTAATTTGGGAAGATATATAAGGAAGCAAGGCTATTTATCCA 961 ACADAATACCCGCGAAATTCAGGCCCGGTTGCCATGTCCTACACGCCGAAATAAACGACCAAATTAGTAGAAAAATAAAA 641 GATCAGATCTGATCAAGCTTATCGATACCGTCGACCTCGAGGGGGGCCCGGTACCCCTAGAGTCGATTTGGTGTATCGA 801 TTTCTGAAAAGGCGAAATGGCGTCACCGCGAGCGTCACGCGCATTCCGTTCTTGCTGTAAAGCGTTGTTTGGTACACTTT 881 TOACTAGCGAGGCTTGGCGTGTCAGCGTATCTATTCAAAGTCGTTAATGGCTGCGGATCAAQAAAAGTTGGAATAGAA SmaI Not I Sali Xhor BamHI SacI

TOCTICAAAAGCAATGOGATTGACCAGCTCGCGGATCCTACAGGCCAAATTCGCTCTTAGCCGTACAATATTACTCACCG 1361 OTCOCTTTCAGGGATCCTACAGGCCAAATTCGCTCTTAGCCGTACAATATTACTCACCGGTGCGATGCCCCCCATCGTAG OTGCGATOCCCCCATCGTAGGTGAAGGTGGAAATTAATGATCCATCTTGAGACCACAGGCCCACAACAGCTACCAGTTT **CCTCAAGGGTCCACCAAAACGTAAGCGCTTACGTACATGGTCGATAAGAAAAGGCAATTTGTAGATGTTAACATCCAAC** GTGAAGGTGGAAATTAATGATCCATCTTGAGACCACAGGCCCACAACAGCTACCAGTTTCCTCAAGGGTCCACCAAAAA BamHI 1441

152) OTAAGCOCTTACGTACATGGTCGATAAGAAAGGCAATTTGTAGATGTTAACATCCAACGTCGCTTTCAGGGATCCTACA GGCCAAATTCGCTCTTAGCCGTACAATATTACTCACCGGTGCGATGCCCCCCCATCGTAGGTGAAGGTGGAAATTAATGAT **CCATCTTGAGACCACAGGCCCACAACAGCTACCAGTTTCCTCAAGGGTCCACCAAAAAGGTAAGCGCTTACGTACATGGT** 1601

1761 CGATAADAAAAGGCAATTTGTAGATGTTAACATCCAACGTCGCTTTCAGGGATCCGCGAGCTTATCGCGATACCGTCGAA <u> Aattaataataatatatatattaatcatttagatataattctatagccttagactcctcatcaatagaagactacgta</u> 1841 1921

FIGURA 8E (Cont.)

2.2.3.1.1.1.1.1.1.1.1.1.1.1.1.1.1.1.1.1.	0
CCCCTTCCCAACAGTTGCGCA	38
3761 TOACTOGOAAAACCCTGGCGTTACCCAACTTAATCGCCTGCAACATCCCCCTTTCCCCTTTCGCAACATTAGCGAAAA	2
681 TOTTATTTTATCAATAAATATTTAAACTATATTTCTTTCAAGATGGGAATTAATT	36
	36
-	5
1441 TCCCGATTCGCAGCGCATCGCCTTCTATCGCCTTCTTGACGAGTTCTTCTGAGCGGGACTCTGAGGATCCCCCGATGAGG	D.
Imag	
1161 GCGTTGGCTACCCGTGATATTGCTGAAGAGCTTGGCGGCGAATGGGCTGACCGCTTCCTCGTGCTTTACGGTATCGCCG	11
enllemetValGluAenGlyArgPheSerGlyPhelleAspCysGlyArgLeuGlyValAlaAspArgTyrGlnAspIle	
3281 ATATCATGGTGGAAAATGGCCGCTTTTCTCGATTCATCGACTGTGGCCGGCTGGGTGTGGCGGACCGCTATCAGGACAT	32
	7
GluargalaargthrargmetGlualaGlyLeuValaapdluaapapapleuAspGluGluHisGlnGlyLeuAlaProA	
1121 GAGCGAGCACGTACTCGGATGGAAGCCGGTCTTGTCGATCAGGATGATCTGGACGAAGAGCATCAGGGGGCTCGCGCCAG	1
yArgAapTrpLeuLeuCeuGlydluValProGlyGlnAapLeuLeuSerSerHisLeuAlaProAlaG1ULY8ValSer. 3041 TCATGGCTGATGCGATGCGGCGGCTGCATACGCTTGATCCGGCTACCTGCCCATTCGACCACACAAGCGAAACATCGCAT	e M
2961 ANGGGACTGCTGTATTGGGCGAAGTGCCGGGGCAGGATCTCCTGTCATCATCATCTTGCTCCTGCCGAGAAGTATCC	29
	}
lavalpheArgLeuSerAlaGlnGlyArgProvalLeuPheValLyaThrAspLeuSerGlyAlaLeuAanGluLeuVdl 2882 aacaaaaaaaaaaaaaaaaaaaaaaaaaaaaaaaa	28
2801 cconorreceaerorcageocaggaeocecogarrerrrrateaaaecoaecerorcegaocetoaardaaeroca	28
MetilegludinAspdlyLeuH. 2721 cgcadgriyciceggccgcriyggatggagggcaartrcggcratgactgggcacaaCadacaatcggcTgcrcTGATGCC	72
2641 CTCGGTATCCAATTAGAGTCTCATATTCACTCTCAATCCAGATCTGGATCGTTTCGCATGATTGAACAAGATGGATTGC	56
	52
2481 GCAACGTTGAAGGAGCCACTCAGCCGCGGGTTTTCTGGAGTTTTAATGAGCTAAGCACATACGTCAGAAACCATTATTGCG	24
_	24
	23
_	22
	7
	70
2001 TABABATTATATATATATCATCATCTABABACTTAATAATAATAGTTTCTTTCCTATCCAACATGATGTCCAGGGCTTCAC	20

[SEC ID N.º: 13]

FIGURA 8E (Cont.)

TCGACCCCAAAAAACTTGATTTTGGGTGATGGTTCACGTAGTGGGCCATCGCCCTGATAGACGGTTTTTTCGCCCTTTGACG Tacattaaaaacotccocaatotoitattaagttoictaagcotcaatttoittacaccacaatatatcctoccaca TIGGAGICCACGITICITITAATAGIGGACICITIGITICCAAACIGGAACAACACCACCCITATICGGGGCTATICITITIGA TITATAAGGGATITIGCCGATITICGGAACCACCATCAAACAGGATITITICGCCTGCTGGGGGAAACCAGCGTGGACCGCTT CAGCCAACAGCTCCCCGACCGGCAGCTCGGCACAAATCACCACTCGATACAGGCAGCCCATCAG 4161 4081 4241

FIGURA 8F pBMSP-lspJSC

-	CTOATGGGCTGCCTGTATCGAGTGGTGATTTTTGTGCCGAGCTGCCGGTCGGGGAGCTGTTGGCTGGC
81	TAITIGIGGIGTAAACAAATIGACGCTTAGACAACITAATAACACATIGCGGACGITITITAATGTACTGGGGTGGTTTTTC
191	TTITCACCAGTGAGACGGGCAACAGCTGATTGCCCTTTCACCGCCTGAGAGAGA
241	GTTTGCCCCAGCAGGAAAATCCTGTTTGATGGTGGTTCCGAAATCGGCAAAATCCCTTATAAATCAAAAGAATAGCCC
321	GAGATAGGGTTGAGTGTTGTTCCAGTTTGGAACAAGAGTCCACTATTAAAGAACGTGGACTCCAACGTCAAAGGGCGAAA
401	AACCGICTATCAGGGCGATGGCCCACTACGTGAACCATCACCCAAATCAAGTTTTTGGGGTCGAGGTGCCGTAAAGCAC
481	TAAATCGGAACCCTAAAGGGAGCCCCCGATTTAGAGCTTGACGGGGAAAGCCGGCGAACGTGGCGAGAAAGGAAAGGAAAG
	Sto I
561	AAAGCGAAAAGGAGCGGCCCATTCAGGCTGCGCAACTGTTGGGAAGGGCCGATCGGTGCGGGCCTCTTCGCTATTACGCC
641	AGCTGGCGAAAGGGGGATGTGCTGCAAGGCGATTAAGTTGGGTAACGCCAGGGTTTTCCCCAGTCACAGTCGTTGTAAAACG
	X mm X
721	acceccacteaattaatteecatetteaagaaatatagtttaaatattttatteataataataacaagteagtattatag
<u>.</u>	I umX
. 801	801 TCCAAGCAAAACATAAATTTATTGATGCAAGTTTAAATTTCAGAAATATTTCAATAACTGATTATATCAGCTGGTACATT
. 861	GCCGTAGATGAAAGACTGAGATATTATGTGTAATACATAAATTGATGATATAGCTAGC
961	CTCAGAGTCCCGCTCAGAAGACTCGTCAAGAAGGCGATAGAAGGCGATGCGCTGCGAATCGGGAGCGGCGATACCGTAA
	•••PhePheGluAspLeuLeuArgTyrPheAlaIleArgGlnSerAspProAlaAlaIleGlyTyrL
1041	1041 AGCACGAGGAAGCGGTCAGCCCATTCGCCGCCAAGCTCTTCAGCAATATCACGGGTAGCCAACGCTATGTCCTGATAGCG
	euValLeuPheArgAgpAlaTrpGluGlyGlyLeuGluGluAlaIleAgpArgThrAlaLeuAlaIleAgpGlnTyrArg
1121	GTCCGCCACACCCAGCCGGCCACAGTCGATGAATCCAGAAAAGCGGCCATTTTCCACCATGATATTCGGCAAGCAGCAT
,	AspalavalGlyLeuargGlyCysAspIlePheGlySerPheArgGlyAsnGluValMetIleAsnProLeuCysAlaAs
1201	_
	pGlyHisThrValValLeuAspAspGlyAspProMetArgAlaLysLeuArgAlaPheLeuGluAlaProAlaLeuGlyG
1281	TGATGCTCTTCGTCCAGATCATCCTGATCGACAAGACCGGCTTCCATCCGAGTACGTGCTCGCTC

InHisGluGluAspLeuAspAspOlnAspValLeuGlyAlaGluMetArgThrArgAlaArgGluIleArgHisLysAla TIGGIGGICGAATGGGCAGGTAGCCGGATCAAGCGTATGCAGCCGCCGCCATTGCATCAGCCATGATGGATACTTTCTCGG GlnHisAspPheProCysThrAlaProAspLeuThrHisLeuArgArgMetAlaAspAlaMetIleSerValLysGluAl

1361

FIGURA 8F (Cont.)

- 1441 CAGGAGCAAGGTGAGATGACAGGAGATCCTGCCCCGGCACTTCGCCCAATAGCAGCCAGTCCCTTCCCGCTTCAGTGACA aProAlaLauXiaSerSerLeuLeuAspGlnGlyProvalGluGlyLeuLeuLeuTrpAspArgGlyAlaGluThrValV
- alAspLeuValAlaAlaCysProValGlyThrThrAlaLeuTrpSerLeuArgAlaAlaGluAspGlnLeuGluAsnLeu Sto 1
- AlaGlySerLeuAspThrLysValPheLeuValProArgGlyGlnAlaSerLeuArgPheValAlaAlaAspSerCysGl CBATTGTCTGTTGTGCCCAGTCATAGCCGAATAGCCTCTCCACCCAAGCGGCCGGAAAACCTGCGTGCAATCCATCTTGT GGCACCGGACAGGTCGGTCTTGACAAAAAAACCGGGCGCCCCTCGCGCTGACAGCCGGAACACGGCGGCATCAGAGCAGC 1601 1681
- yIleThrGlnGlnAlaTrpAspTyrGlyPheLeuArgGluValTrpAlaAlaProSerGlyAlaHisLeuGlyAspGlnG
 - TCAATCATGCGAAACGATCCAGATCTGGATTGAGAGTGAATATGAGACTCTAATTGGATACCGAGGGGAATTTATGGAAC 1841 GTCAGTGGAGCATTTTTGACAAGAAATATTTGCTAGCTGATAGTGACCTTAGGCGACTTTTGAACGCGGCAATAATGGTTT luileMet 1761
- CTGACGTATGTGCTTAGCTCATTAAACTCCAGAAACCCGGGGCTGAGTGGCTCCTTCAACGTTGCGGTTCTGTCAGTTCC AAACGTAAAACGGCTTOTCCCGCGTCATCGGCGGGGGTCATAACGTGACTCCCTTAATTCTCCGCTCATGATCTTGATCC 1002

Sacil

- CCTGCGCCATCAGATCCTTGGCGGCAAGAAAGCCATCCAGTTTACTTTGCAGGGCTTCGCAACCTTACCAGAGGGCGCCC CAGCTOGCAATTCCGGTTCGCTTGCTGTCCATAAACCGCCAGTCTAGCTATCGCCATGTAAGCCCACTGCAAGCTACG TOCITITICICITITIGCOCITIOCOTITITICCCTIOICCADATAGCCCAGTAGCTOACATTCATCCGGGGGTCAGCACCGNTTCTO COGACTGOCTITICTACGTGTTCCGCTTTCCTTTTAGCAGCCCTTGCGCCCTGAGTGCTTGCGGCAGCGTGAAGCTCTGGACA 2321 2401 2241
- 2481
- TAAGCTCGCGGATCCCTGAAAGCGACGTTGGATGTTAACATCTACAAATTGCCTTTTCTTATCGACCATGTACGTAAGCG CTTACGTTTTTTGGTGGACCCTTGAGGAAACTGGTAGCTGTTGTGGGCCTGTGGTCGTCAAGATGGATCATTAATTTTCCACC TTCACCTACGATGGGGGGATCGCACCGGTGAGTAATATTGTACGGCTAAGAGCGAATTTGGCCTGTAGGATCCCTGAAA 2641 2801 2721
 - **GCGACGTTGGATGTTAACATCTACAAATTGCCTTTTTATCGACCATGTACGTAAGGGGCTTACGTTTTTGGTGGACCCT** TOAGGAAACTGGTAGGTGTTTGTGGGCCTGTGGTCTCAAGATGGATCATTAATTTTCCACCTTCACCTACGATGGGGGGCAT CGCACCGGTGAQTAATATTGTACGGCTAAGAGCGAATTTGGCCTGTAGGATCCCTGAAAGCGACGTTGGATGTTAACATC 2961, 3041 2861

TACAAATTOCCTTTTCTTATCGACCATGTACGTAAGCGCTTACGTTTTTGGTGGACCCTTGAGGAAACTGGTAGCTGTTG

FIGURA 8F (Cont.)

3201	TGGGCCTGTGGTCTCAAGATGGATCATTAATTTCCACCTTCACCTACGATGGGGGGGCATCGCACCGGTGAGTAATATTGT
3281	
3361	
3441	ATTIG
3521	
3601	CGCTT
3681	
	KpnI
3761	3761 ACTOTAGGGGTACCATGGTGCTCTTCGTGCTGCTGGCGGGGGGTCTTCCCCAGCCATC
	Met Val Leu Phe Val Leu Thr CysLeu Leu Ala Val Phe ProAla Ile
3823	TCCACGAAGAGTCC
	SerThrLysSerProllePheGlyProGluGluValAsnSerValGluGlyAsnSerVal
3883	TCCAT
	SerlleThrCysTyrTyrProProThrSerValAsnArgHisThrArgLysTyrTrpCys
3943	CGGCA
	ArgGlnGlyAlaArgGlyGlyCysIleThrLeuIleSerSerGluGlyTyrValSerSer
4003	-
	LysTyralaGlyargalaanLeuThrannPheProGluandlyThrPheValValAsn
4063	ATTGC
	IleAlaGinLeuSerGinAspAspSerGlyArgTyrLysCysGlyLeuGlyIleAsnBer
4123	-
	ArgdlyLeuSerPheAspValSerLeuGluValSerGlnGlyProGlyLeuLeuAsnAsp
4183	ACTAA
-	ThrLysValTyrThrValAspLeuGlyArgThrValThrIleAsnCysProPheLysThr
4243	GAGAA
	GluAsnAladinLysArglysSerLeuTyrLysGlnIledlyLeuTyrProValLeuVal
4303	
4363	_
	GlyThrGlyGlnLeuLeuPheSerValValIleAanGlnLeuArgLeuSerAapAlaGly
4423	4423. CAGTATCTCTCCAGGTTGGGGATGATTCCAATAGTAATAAGAAGAATGCTGACCTCCAA
	GIntyrteuCyaGlnAlaGlyAanAanSerAanSerAan[ya[yaban]ahan]a

4483	GTGCTAAAGCCCGAGCCCGAGCTGGTTTATGAAGACCTGAGGGGCTCAGTGACCTTCCAC
4543	TOTOCCCTOGGCCCTOAGGTGGCAAACOTGGCCAAATTTCTOTGCCGACAGTGGG
4603	CysAlaLeuGlyProGluValAlaAsnValAlaLysPheLeuCysArgGlnSerSerGly GAAAACTGTGAGGTCGTGAGGGCCCCAGCCTTTTAAGGGCCAGG
	GluAsnCysAspValValValAsnThrLeuGlyLysArgAlsProAlsPheGluGlyArg
4663	ATCCTIGCTCAACCCCCAGGACAAGGATGGCTCATTCAGTGTGTGATCACAGGCCTGAGG
,	IleLeuLeuAsnProGlnAspLysAspGLySerPheSerValValIleThrGlyLeuArg
4 / 2 3	AAGGAGGATGCAGGGGGGTACCTGTGTGTGAGGCCCATTCGGATGGTCAGGTGGGAGGC LysGluAspAlaGlyArqTyrLeuCysGlyAlaHisSerAspGlyGlnLeuGlnGluGly
4783	regerrarecaggeergecaaererregreaargaggagreeaegarreecegeageeee
	SerProlleGlnAlaTrpGlnLeuPheValAsnGluGluSerThrIleProArgSerPro
4843	ACTGTGGTGAAGGGGTGGCAGGAAGCTCTGTGGCCGTGCTCTGCCCCTACAACCGTAAG
	Thr Val Val Lys Gly Val Ala Gly Ser Ser Val Ala Val Leu Cys Pro Tyr As nArg Lys
4 903	GAAAGCAAAAGCATCAÁGTACTGGTGTCTCTGGGAAGGGGGCCCAGAATGGCCGCTGCCCC
	GluSerLysSerIleLysTyrTrpCysLeuTrpGluGlyAlaGlnAsnGlyArgCysPro
4963	CTOCTOGTGGACAGCGGGGGGGGGGTTAAGGCCCAGTACGAGGGCCGCCTCTCCCTGCTG
	LeuLeuValAspSerGluGlyTrpValLysAlaGlnTyrGluGlyArgLeuSerLeuLeu
. 5023	GAGGAGCCAGGCAACGGCACCTTCACTGTCATCCTCAACCAGCTCACCAGCCGGGACGCC
•	GludluProdlyAsnGlyThrPheThrValIleLeuAsnGinLeuThrSerArgAspAla
5083	GGCTTCTACTGGTGTCTCTGACGGCGATACTCTCTGGAGGACCACCGTGGAGATCAAG
	GlyPheTyrTrpCysLeuThrAsnGlyAspThrLeuTrpArgThrThrValGluIleLys
5143	ATTATCGAAGGAGAACCAAACCTCAAGGTTCCCGGGAATGTCACGGCTGTGCTGGGAGAG
	IleIleGluGlyGluProAsnLeuLysValProGlyAsnValThrAlaValLeuGlyGlu
5203	ACTOTOAAGGTCCCCTGTCACTTTCCATGCAAATTCTCCTCGTACGAGAATACTCGTGC
	ThrLeulysValProCysHisPheProCysLysPheSerSerTyrGluLysTyrTrpCys
5263	AAGTGGAATAACACGGGCTGCCAGGCCCTGCCCAGCCAAGACGCCCCAGCAAGGCC
	LysTrpAsnAsnThrGlyCysGlnAlaLeuProSerGlnAspGluGlyProSerLysAla
5323	Tregramacrandaedagaacagecragetrerecercarecerdaecergaecraga
	PheValAsnCysAspGluAsnSerArgLeuValSerLeuThrLeuAsnLeuValThrArg
53 53 53 53	dcridatgagggridgtachggtgtgaggaggggggggggggggggggggggggg

- AAGGCAGACGCTGCTCCTGATGAGGTGCTAGACTCTCGGTTTTTCGGGAGATTGAGAAC AlavalTyrvalAlavalGluGluArgLysAlaAlaGlySerArgAspValSerLeuAla 5443 OCCGTCTATGTGGCAGTTGAAGAGAGAAGGCAGCGGGGGTCCCGCGATGTCAGCCTAGCG LysAlsAspAlsAlsProAspGluLysValLeuAspSerGlyPheArgGlulleGluAsn 5503
- 5563 AAAGCCATTCAGGATCCCAGGCTTTTTGCAGAGTGAATTCCCGATCGTTCAAACATTTGGCAATAAAG
- TITICITIAAGATTGAATCCTGTTGCCGGTCTTGCGATGATTATCATATATTTCTGTTGAATTACGTTAAGCATGTAATAA TTAACATGTAATGCATGACGTTATTTATGAGATGGGTTTTTATGAGTTCCCGCCAATTATACATTTAAATACGCGATA LysAlaIleGlnAspProArgLeuPheAlaGlu
- AAAGCGACGTTGGATGTTAACATCTACAAATTGCCTTTTTTCGACCATGTACGTAAGCGCTTACGTTTTGGTGGAC CATOSCACOGOTGAGTAATATTGTACGGCTAAGAGCGAATTTTGGCCTGTAGGATCCCTGAAAGCGACGTTTGATGTTAAC <u> ATCTACADATTGCCTTTTCCTTATCGACCATGTACGTAAGCGCTTACGTTTTTTGGTGGACCCTTGAGADAACTGGTAGCTG</u> COGTATICGATAAGGATCCCTGAAAGCGACGTTGGATGTTAACATCTACAAATTGCCTTTTCTTATCGACCATGTACGTAA GCGCTTACGTTTTTTGGTGGACCCTTGAGGAAACTGGTAGCTGTTGTGGGCCTGTGGTGGTCTCAAGATGGATCATTAATTTCC ACCTTCACCTACGATGGGGGGCATCGCACCGGTQAGTAATATTGTACGGCTAAQAGGGAATTTGGCCTGTAGGATCCCTG CCTTGAGGAAACTGGTAGCTGTTGTGGGCCTGTGGTCTCAAGATGGATCATTAATTTTCCACCTTTCACCTACGATGGGGGG TTGTGGGCCTGTGGGTCTCAAGATGGATCATTAATTTCCACCTTCACCTACGATGGGGGGCATCGCACCGGTGAGTAATAT TGTACGGCTAAGAGCGAATTTGGCCTGTAGGATCCGCGAGCTGGTCAATCCCATTGCTTTTGAAGCAGCTCAACATTGAT 6111 5871 5951 6031 6271 6351 6431
- CTCTTTCTCGAGGGAGATTTTTCAAATCAGTGCGCAAGACGTGACGTAAGTATCCGAGTCAGTTTTTATTTTTTCTACTAA 6611 TTTGGTCGTTTATTTCGGCGTGTAGGACATGGCAACCGGGCCTGAATTTCGCGGGTATTCTGTTTCTATTCCAACTTTTT
- GCTTTACAGCAAGAACGGAATGCGCGTGACGCTCGCGGTGACGCCATTTCGCCTTTTCAGAAATGGATAAATAGCCTTGC TTCCTATTATATCTTCCCAAATTACCAATACATTACACTAGCATCTGAATTTCATAACCAATCTCGAATTCTCAAATCGA 6831

CITGATCCGCAGCCATTAACGACTTTTGAATAGATAGATACGCTGACCCCCAAGCCTCGCTAGTCAAAGTGTACCAAACAAC

6751

- 5991 CICTAGAGGATCTAACCATGGGATCTAAACCTTTTTTTTTGTCTTTCATTGTCATTGCTTT
 MetGlySerLysProPheLeuSerLeuSerLeuSerLeuSerLeuSer
- 1053 TIGITTACATCTACTAGITTGGCACAAGAAGATGAAAGGATTGTTGTTGAACAACAAA LeuPheThrBerThrSerLeuAlaGlnGluAspGluArgIleValLeuValAspAsnLys

- 7113 TGTAAGTGTGCCCGGATTACTTCCAGGATCATCCGTTCTTCCGAAGATCCTAATGAGGAC CysLysCysAlaArgIleThrSerArgIleIleArgSerSerGluAspProAsnGluAsp athgegagagagaacaeccgaathathgitccictgaacaacagggagaataecetgae Ilevaldluargabilleatgileilevalprojenabnarnargilabnileserabd 7173
 - ProThrSerProLeuArgThrArgPheValTyrHisLeuSerAspLeuCysLysLysCys CCCACCTCACCATTGAGAACCAGATTTGTGTACCATTTTGTCTGACCTCTGTAAAAATGT 7233
- Asp ProThrGluValGluLeuAspAsnGlnIleValThrAlaThrGlnSerAsnIleCys <u> GATCCTACAGAAGTGGAGCTGGATAATCAGATAGTTACTGCTACCCAGAGCAATATCTGT</u> 7293
- **AspOluAspSerAlaThrGluThrCysTyrThrTyrAspArgAsnLysCysTyrThrAla** <u> DATGAAGACAGTGCTACAGAGACCTGCTACACTTATGACAGAAGAAGAGTGCTACAGAGT</u> 7353
 - OTOGTCCCACTCOTATATGGTGGTGAGACCAAAATOGTGGAAACAGCCTTTAACCCCAGAT ValvalproceuValTyrGlyGlyGluThrLysMetValGluThrAlaLeuThrProAsp SacI 7413
- <u> Gechectaticatorgescrorantitice cognicolticara catitigo cartara gitticata ta catiti</u> AlaCysTyrProAsp... 7473
- 7627 GACGTTATTTATGAGATGGGTTTTTATGATTAGAGTCCCGCAATTATACATTTAATACGCGATAGAAAACAAATATAGC 7707 GCGCAAACTAGGATAAATTATCGCGCGCGCGTGTCATCTATGTTACTAGATCGGGAATTAAATTCAGATCGGCTGAGTGGCT 7547 CCTGTTGCCGGTCTTGCGATGATTATCATATATTTCTGTTGAATTACGTTAAGCATGTAATAAATTAACATGTAATGCAT
- 7787 CCTTCAATCGTTGCGGTTCTGTGAGTTCCAAACGTAAAAGGCTTGTCCCGGGGGTCATCGGCGGGGGTCATAACGTGACTC **CCTTAATTCTCCGCTCATGATCAGATTGTCGTTTTCCCGCCTTCAGTTTAAACTATCAGTGTTTTGACAGGATATATTGGCG**

8027 TTGTATGTGCATGCCAACCACAGGTTCCCCAGATCTGGCGCCGGCCAG BallI Sto I

[SEC ID N.º: 14]

FIGURA 9 LISTA DE SECUENCIAS

<110>	PLANET BIOTECHNOLOGY, INCORPORATED Larrick, James William Wycoff, Keith Lynn												
<120>	NOVEL IMMUNOADHESION FOR THE PREVENTION OF RHINOVIRUS INFECTION												
<130>	030905.0003.WO												
<140> <141>	Pendiente de asignación 2001-04-27												
<150> <151>	60/200, 298 2000-04-27												
<160>	8												
<170>	FastSEO para Wind	lows versión 4.0											
<210> <211> <212> <213>	1 1596 ADN Homo Sapiens	1 1596 ADN											
<220> <221> <222> <223>	<221> CDS <222> (1) (1596)												
<400> atg go Met Al	t ccc age age	ccc cgg ccc gc	g ctg ccc gca la Leu Pro Ala 10	ctć ctg gtc Leu Leu Val 15	ctg 48 Leu								
Leu Gl	g gct ctg ttc y Ala Leu Phe 20	cca gga cct gg Pro Gly Pro Gl 2	y Asn Ala Gln	aca tct gtg Thr Ser Val	tcc 96 Ser								
ece to Pro Se	a aaa gtc atc r Lys Val Ile 35	ctg ccc cgg gg Leu Pro Arg Gl	a ggc tcc gtg y Gly Ser Val	ctg gtg aca Leu Val Thr 45	tgc 144 Cýs								
agc ac Ser Th	IT Ser Cys Asp	Cag ccc aag tt Gln Pro Lys Le 55	g ttg ggc ata u Leu Gly Ile 60	gag acc ccg Glu Thr Pro	ttg 192 Leu								
Pro Ly 65	s Aag gag ttg s Lys Glu Leu	ctc ctg cct gg Leu Leu Pro Gl 70	g aac aac cgg y Asn Asn Arg 75	aag gtg tat Lys Val Tyr	gaa 240 Glu 80								

Le	g age u Sei	tes :	gtg Val	Gln 85	GIu	gat	ago Ser	Gln	eca Pro	Met	tgo Cys	tat Tyr	tcs Sei	aac Asi 95	tgc Cys	2.8	8
PI	o asi	9 G13	100	Ser	Thr	Ala	Lys	Thr 105	Phe	Leu	Thr	Val	110	Tr	act Thr	33	6
PI	0 011	115	yaı	GIU	Leu	Ala	120	Leu	Pro	Ser	Lib	Gln 125	Pro	Va]	Gly Gly	. 38	4
Ly.	130)	inr	Leu	Arg	135	Gln	Val	Glu	Gly	Gly 140	Ala	Pro	Arg	gce Ala	. 43	2
14	5	i inz	V81	vaı	150	Leu	Arg	Gly	Glu	Lys 155	Glu	Leu	Lys	Arg	gag Glu 160	48	0
210	o wie	val	GIY	165	Pro	Ala	Glu	Val	Thr 170	Thr	Thr	Val	Leu	Val 175		52	8
w.r.	a gat g Asp	nis	180	GIY	ATS	Asn	Phe	Ser 185	Сув	Arg	Thr	Glu	Leu 190	Asp	Leu	57 <i>(</i>	5
A. . 5	g ecc	195	GIA	rea	GIB	ren	Phe 200	Glu	Asn	Thr	Ser	Ala 205	Pro	Tyr	Gln	. 624	3
Dec	210	inz	PD6	VAI	Leu	Pro 215	Ala	Thr	Pro	Pro	220	Leu	Val	Ser	Pro °	672	2
225		Leu		Val	230	Thr	Gln	Gly	Thr	Val 235	Val	Сув	Ser	Leu	49 0 45	720)
GIY	, ctg , Leu	Pne	Pro	V81 245.	ser	Glu	Ala	Gln	Val 250	His	Leu	Ala	Leu	Gly 255	Asp	768	į
GI	agg Arg	ren	260 Asn	Pro	Thr	Val	Thr	Tyr 265	GJA	neA	Yab	Ser	Phe 270	Ser	Ala	. 816	;
гув	gcc Ala	275	Val	Ser	Val	Thr	Ala 280	Glu	Asp	Glu	Gly.	Thr 285	Gln	Arg	Leu	864	,
Int	tgt Cys 290	Ϋ́ΤЯ	Val	ile	Leu	G1 <u>Y</u> 295	Asn	Gln	Ser	Gln	Glu 300	Thr	Leu	Gln	Thr	912	
gtg Val 305	1111	atc Ile	tac Tyr	SEI	ttt Phe 310	ecg	gċg Ala	ccc Pro	Asn	gtg Val 315	att Ile	ctg Leu	acg Thr	aag Lys	cca . Pro 320	960	

											tgt Cys					1008
aga Arg	gec Ala	aag Lys	gtg Val 340	acg Thr	ctg Leu	aat' Asn	61Å 888	gtt Val 345	cca Pro	gcc Ala	cag Glm	cca Pro	ctg Leu 350	gly	ccg Pro	1056
											gac Asp					1104
											Gln 380					1152
											ecc Pro					1200
											aat Asn					1248
											gag Glu					1296
											tca Ser					1344
											agg Arg 460					1392
											tcc Ser					1440
											ata Ile					1488
			Thr								Lүв					1536
											aaa Lys					1584
	acg Thr 530															1596

[La secuencia de ADN tiene el SEC ID N.º: 1] [La secuencia de proteína tiene el SEC ID N.º: 2]

_)> 2	_														288
	l> 5											•				
	2 > PI		••													
<213	3 > Ho	omo s	sapı	en												
-404										•						336
	> 2	~		<u>.</u>		_			_	_		_			•	
	ATA	Pro	ser	_	Pro	Arg	Pro	Ala		Pro	Ala	Leu	Leu	Val	Leu	
1				5	_		_		10	_	_			15		
ren	GIA	Ala		Phe	Pro	Gly	Pro		Asn	Ala	Gln	Thr		Val	Ser	384
n	c	*	20	-1-		_		25		_		_	30			
PIO	ser		val	TTE	rein	Pro		GīÅ	GIÀ	Ser	Val	Leu	Va1	Thr	. Cys	
· ·	~ L	35	~	•		<u>:</u>	40	_				45				
set	50	ser	cys	Asp	GIR		Lys	Leu	Leu	Gly	Ile	СŢЛ	Thr	Pro	Leu	432
200		7	~ 3	*	v	55	.				60	_		_	- ·	
	påa	гåа	GIG	Leu		Leu	PEO	grÅ	Asn		Arg	Lys	Val	Tyr		
65	C	3	31-3		70		_		_	75	_	_			80	
red	Ser	ASI	vai		GIU	Asp	Ser	Gin		Met	СЛВ	TYT	Ser	Asn	Cys	480
D~-	305	<i>~</i> 3	~1-	85			•	, — \	90	-			_	95		
PLO	ASD	GIA		Ser	Int	ALA	rys		Pne	Leu	Thr	vai		Trp	Thr	
Dro	G1.,	h	100	<i>C</i> 1	¥		D	105	-				110			E 2.0
PLU	GIU	115	AHT	GIU	ren	AIA		Leu	Pro	ser	Trp		Pro	Val	GIÅ	528
tace	700	_	Th-	T 031	*	~	120		01		-7	125	_	_		
Lys	130	nea	1111	Deu	MIG		GIN	AT	GIU	GIA	GLY	ATS	Pro	Arg	Ala	
Agn		Thr	Val	17-3	T	135	N	63	~ 1	*	140	•	•			576
145	Ded	****	VAI	Val	150	Leu	Arg	GIY	CIN		Glu	ren	rys	Arg		
	Ala	Val	Glv	Glu		21.	G]	1/03	mb -	155	Thr	370 3	T	**- 3	160	
	~~~	Var	GLY	165	PIU	MIA	GIU	VAI	170	Inr	int	ATT	ren		Arg	•
Ara	Asn	Wig	u i o		A 1 -	Bos	Dha	F		N	Thr	C1	T	175	•	624
	, LD	1140	180	GLY	719	Veii	FILE		Cys	Arg	inr	Gru		Asp	ren	
Ara	Pro	Gla		Cen	Glis	T	Dha	185		~h	Ser	*1-	190	<b>—</b>	<b>61</b>	
,,,		195	4-1	DÇU	314	Deu	200	GIU	ABR	Int	261		Pro	TAL	CID	
Leu	Gln		Phe	Val	T.eu	Pro		<b>プトー</b>	Dro	Pro	Gln	205	37-3	e.~	7	672
	210	****		***		215	AT a	1111	710		220	red	val	Jei	PIO	
Arg		Leu	Glu	Val	Asp		Gln	Glv	Thr		Val	Ore	Ser	7.00	7	
225					230			013		235	var	C) a	201	DÇ <b>u</b>	240	
Gly	Leu	Phe	Pro	Val		Glu	Ala	Gln	Val		Leu	Ala	Len	Glv		720
. •	-			245					250					255	<b>.</b> .	
Gln	Arg	Leu	Asn	PTO	Thr	Val	Thr	Tyr		Asn	qaA	Ser	Phe		Ala	
	_		260			_		265	,				270		,,,,,,	
Lys	Ala	Ser	Val	Ser	Val	Thr	Ala		Asp	Glu	Gly	Thr		Arg	Leu	768
-		275					280	•			,	285		5		
Thr	Сув	Ala	Val	Ile	Leu	Gly		Gln	Ser	Gln	Glu		Leu	Gln	Thr	
	290					295			•	•	300					
Val	Thr	Ile	Tyr	Ser	Phe		Ala	Pro	Asn	Val	Ile	Leu	Thr	Lys	Pro	816
305					310					315				•	320	
Glu	Val	Ser	Glu	Gly	Thr	Glu	Val	Thr	Val	Lys	Сув	Glu	Ala	His		
	•			325					330	-	•			335-		864
Arg	Ala	Lys	Val	Thr	Leu	Asn	Gly	<b>Val</b>	Pro	Ala	Gln	Pro	Leu	Gly	Pro	564
			340			-	•	345					350			
Arg	Ala	Gln	Leu	Leu	Leu	Lys	Ala	Thr	Pro	Glu	Asp	Asn	Gly	Arg	Ser	
		355					360					365				912
Phe	Ser	Сув	Ser	Ala	Thr	Leu	Glu	Val-	Ala	Gly	Gln	Leu	Ile	His	Lys	
	370					375					380					
	Gln	Thr	Arg	Glu		Arg	Val	Leu	Tyr	Gly	Pro	Arg	Leu	qaA	Glu	
385					390					395	. •				400	960
Arg	Asp	Суз			Asn	Trp	Thr	Trp		Glu	Asn	Ser	Gln	Gln	Thr	
			•	405					410					415		

```
        Pro
        Met
        Cys
        Gln
        Ala
        Trp
        Gly
        Asn
        Pro
        Leu
        Pro
        Pro</th
```

[SEC ID N.º: 2]

<210> 3 <211> 3003 <212> ADN <213> Homo sapiens <400> 3

gctataagga tcacgcgccc cagtcgacgc tgagctcctc tgctactcag agttgcaacc tragretres tatggetres agrageres georgest georgearte etggtortse 120 teggggetet gtteccagga cetggeaatg cecagacate tgtgtecece teaaaagtea . 180 tectgeeceg gggaggetee gtgetggtga catgeageae etectgtgae cageccaagt 240 tgttgggcat agagaccccg ttgcctaaaa aggagttgct cctgcctggg aacaaccgga 300 aggrgratga actgagcaat grgcaagaag atagccaacc aargrgcrat rcaaactgcc 360 etgatgggca gtcaacagct assaccttcc tcaccgtgta ctggactcca gaacgggtgg 420 aactggcacc ceteceetet tggcagecag tgggcaagaa cettaceeta egetgecagg 480 tggagggtgg ggcaccccgg gccaacctca ccgtggtgct gctccgtggg gagaaggagc 540 tgaaacggga gccagetgtg ggggageccg etgaggteae gaecacggtg etggtgagga 600 gagatracca tggagecaat ttctcgtgcc gcactgaact ggacctgcgg ccccaagggc 660 tggagetgtt tgagaacace teggeeceet accagetees gaeetttgte etgecagega 720 etcecceaca acttgtcage cecegggtcc tagaggtgga cacgcagggg accgtggtct 780 gttccctgga cgggctgttc ccagtetcgg aggcccaggt ccacctggca ctgggggacc 840 agaggttgaa coccacagto acctatggca acgasteett eteggecaag geeteagtea 900 9tgtgaccgc agaggacgag ggcacccagc ggctgacgtg tgcagtaata ctggggaacc 960 A98900a99a gacactgoag acagtgacca totacagett teoggegood aacgtgatto 020 tgacgaagec agaggtetea gaagggaceg aggtgacagt gaagtgtgag geecaceeta 1080 gagccaaggt gacgetgaat ggggttecag eccagetact gggeeegagg geecagetee 1140 tgctgaaggc caccccagag gacaacgggc gcagcttete ctgctctgca accctggagg 1200 tggccggcca gettatacac asgaaccaga ecegggaget tegtgteetg tatggeecee 1260 gactggacga gagggattgt ccgggaaact ggacgtggcc agaaaattcc cagcagactc 1320 caatgtgcca ggcttggggg aacccattgc ccgagctcaa gtgtctaaag gatggcactt 1380 teccaetgee categgggaa teagtgactg teactegaga tettgaggge acetaectet 1440 gtegggecag gagcacteaa ggggaggtea cccgcanggt gaccgtgaat gtgctctccc cccggtatga gattgtcate atcactgtgg tagcagecge agtcataatg ggcactgcag gcctcageae gtacctetat aaccgccage ggaagateaa gaaatacaga ctacaacagg 1500 1560 1620 CCCAAAAAgg gacccccatg aaaccgaaca cacaagccac gcctccctga acctatcccg ggacagggcc tetteetegg cetteceata ttggtggcag tggtgccaca ctgaacagag 1740 tggaagacat atgccatgca gctacaccta ccggccctgg gacgccggag gacagggcat 1800 tgtcctcagt cagatacaac agcatttggg gccatggtac ctgcacacct aasacactag 1860 9ccacgcate tgatctgtag teacatgact aagecaagag gaaggageaa gactcaagac 1920 atgattgatg gatgttaaag tetageetga tgagagggga agtggtgggg gagacatage 1980 cccaccatga ggacatacaa ctgggaaata ctgaaacttg ctgcctattg ggtatgctga 2040

```
ggcccacag acttacagaa gaagtggccc tccatagaca tgtgtagcat caaaacacaa
                                                                          2100
 aggoccacac ttootgacgg atgocagett gggcactget gtotactgac .cccaaccett
                                                                          2160
 gatgatatgt attlaticat tigitatitt accagciatt tattgagigt cittitatgia
                                                                          2220
 ggetaaatga acataggtet etggeeteae ggageteeca gtecatgtea catteaaggt
                                                                          2280
 caccaggtac agttgtacag gttgtacact gcaggagagt gcctggcaaa aagatcaaat
                                                                          234 C
 ggggctggga cttctcattg gccaacctgc ctttccccag aaggagtgat ttttctatcg
                                                                          2400
 gcacaaagc actatatgga ctggtaatgg ttcacaggtt cagagattac ccagtgaggc
                                                                          2460
 cttattecte cetteccee assactgaca cettegttag ceacetecce acceacatae
                                                                          2520
 attictgeca gigiteacaa igacacteag eggicatgie iggacatgag igeocaggga
                                                                          2580
 atatgeccaa getatgeett gteetettgt cetgtttgca tttcaetggg agettgeact
                                                                          2540
 attgcagctc cagtttcctg cagtgatcag ggtcctgcaa gcagtgggga agggggccaa
                                                                          2700
 ggtattggag gactccctcc cagctttgga agectcatcc gegtgtgtgt gtgtgtgtgt
                                                                         2760
 atgtgtagac aagetetege tetgteacce aggetggagt geagtggtge aatcatggtt
                                                                          2820
 cactgoagte ttgacetttt gggetcaagt gateeteeca cetcageete etgagtaget
                                                                          2880
 999accatag geteacaaca ecacacetgg caaatttgat ttttttttt ttttteagag
                                                                          2940
 acggggtete geaacattge ccagaettee tetgegttag ttaataaage tereteaact
                                                                          3000
                                                                          3003
                                                                  [SEC ID N.º: 3]
<210>
         4
<211>
         6
<212>
         PRT
<213>
         Homo sapiens
<400>
Ser
          Glu
                Lys
                      Asp
                              Glu
                                      Leu
                                                                [SEC ID N.º: 4]
<210>
<211>
<212>
         PRT
<213>
         Homo sapiens
<400>
Arg
          Ser
                Glu
                              Asp
                                      Glu
                                             Leu
                      Lys
                                                                ISEC ID N.º: 51
<210>
         52
<211>
<212>
         ADN
<213>
         Homo sapiens
<400>
totgttocca ggaactagtt tggcacagac atotgtgtoc cootcaaaag to
                                                                             52
                                                                [SEC ID N.º: 6]
<210>
<211>
         38
<212>
         ADN
<213>
         Homo sapiens
<400>
                                                                           3 B
catacoggg actagtcaca ttcacggtca cctcgcgg
                                                                [SEC ID N.º: 7]
```

```
<210>
        8
<211>
        799
<212>
        PRT
<213>
        Homo sapiens
<220>
        SCD
<221>
<222>
        (1) ... (448)
<223>
        Dominios extracelulares de ICAM-1
<220>
        SCD
<221>
<222>
        (453) ... (799)
<223>
        IgA2m (2) humana
Gln Thr Ser Val Ser Pro Ser Lys Val Ile Leu Pro Arg Gly Gly Ser
                                                           15
                                      20
Val Leu Val Thr Cys Ser Thr Ser Cys Asp Gln Pro Lys Leu Leu Gly
                                  25
            20
                                                       30
Ile Glu Thr Pro Leu Pro Lys Lys Glu Leu Leu Pro Gly Asn Asn
                             40
Arg Lys Val Tyr Glu Leu Ser Asn Val Gln Glu Asp Ser Gln Pro Met
    50
                         55
Cys Tyr Ser Asn Cys Pro Asp Gly Gln Ser Thr Ala Lys Thr Phe Leu
                     70
                                          75
Thr Val Tyr Trp Thr Pro Glu Arg Val Glu Leu Ala Pro Leu Pro Ser
                                      90
Trp Gln Pro Val Gly Lys Asn Leu Thr Leu Arg Cys Gln Val Glu Gly
             100
                                  105
                                                       110
Gly Ala Pro Arg Ala Asn Leu Thr Val Val Leu Leu Arg Gly Glu Lys
                             120
                                                   125
Glu Leu Lys arg Glu Pro Ala Val Gly Glu Pro Ala Glu Val Thr Thr
                         135
                                              140
Thr Val Leu Val Arg Arg Asp His Ris Gly Ala Asn Phe Ser Cys Arg
                     150
                                          155
Thr Glu Leu Asp Leu Arg Pro Gln Gly Leu Glu Leu Phe Glu Asn Thr.
                 165
                                      170
Ser Ala Pro Tyr Gln Leu Gln Thr Phe Val Leu Pro Ala Thr Pro Pro
             180
                                  105
Gln Leu Val Ser Pro Arg Val Leu Glu Val Asp Thr Gln Gly Thr Val
                             200
                                                   205
Val Cys Ser Leu Asp Gly Leu Phe Pro Val Ser Glu Ala Gln Val His
    210
                         215
                                              220
Leu Ala Leu Gly Asp Gln Arg Leu Asn Pro Thr Val Thr Tyr Gly Asn
                     230
                                          235
Asp Ser Phe Ser Ala Lys Ala Ser Val Ser Val Thr Ala Glu Asp Glu
                 245
                                      250
Gly Thr Gln Arg Leu Thr Cys Ala Val Ile Leu Gly Asn Gln Ser Gln
            260
                                  265
                                                       270
Glu Thr Leu Gln Thr Val Thr Ile Tyr Ser Phe Pro Ala Pro Asa Val
                                                   285
         275
                              280
Ile Leu Thr Lys Pro Glu Val Ser Glu Gly Thr Glu Val Thr Val Lys
                         295
    290
                                              300
Cys Glu Ala His Pro Arg Ala Lys Val Thr Leu Asn Gly Val Pro Ala
                     310
                                          315
Gln Pro Leu Gly Pro Arg Ala Gln Leu Leu Leu Lys Ala Thr Pro Glu
                 325
                                      330
Asp Asn Gly Arg Ser Phe Ser Cys Ser Ala Thr Leu Glu Val Ala Gly
```

```
Gln Leu Ile His Lys Asn Gln Thr Arg Glu Leu Arg Val Leu Tyr Gly
                           360
Pro Arg Leu Asp Glu Arg Asp Cys Pro Gly Asn Trp Thr Trp Pro Glu
                    · 375
                                            380
Asn Ser Gln Gln Thr Pro Met Cys Gln Ala Trp Gly Asn Pro Leu Pro
                   390
                                        395
Glu Leu Lys Cys Leu Lys Asp Gly Thr Phe Pro Leu Pro Ile Gly Glu
               405
                                    410
Ser Val Thr Val Thr Arg Asp Leu Glu Gly Thr Tyr Leu Cys Arg Ala
           420
                               425
                                                    430
Arg Ser Thr Gln Gly Glu Val Thr Arg Glu Val Thr Val Asn Val Thr
                       . 440
                                                445 ·
Ser Gly Ser Ser Ala Ser Pro Thr Ser Pro Lys Val Phe Pro Leu Ser
                       455
                                            460
Leu Asp Ser Thr Pro Gln Asp Gly Asn Val Val Val Ala Cys Leu Val
                   470
                                        475
Gln Gly Phe Phe Pro Gln Glu Pro Leu Ser Val Thr Trp Ser Glu Ser
                                    490
Gly Gln Asn Val Thr Ala Arg Asn Phe Pro Pro Ser Gln Asp Ala Ser
                                505
                                                    510
Gly Asp Leu Tyr Thr Thr Ser Ser Gln Leu Thr Leu Pro Ala Thr Gln
                            520
                                                525
Cys Pro Asp Gly Lys Ser Val Thr Cys His Val Lys His Tyr Thr Asn
                       535
                                            540
Ser Ser Glm Asp Val Thr 'Val Pro Cys Arg Val Pro Pro Pro Pro Pro
                   550
                                       555
Cys Cys His Pro Arg Leu Ser Leu His Arg Pro Ala Leu Glu Asp Leu
        565
                                    570
Leu Leu Gly Ser Glu Ala Asn Leu Thr Cys Thr Leu Thr Gly Leu Arg
          580
                               585
Asp Ala Ser Gly Ala Thr Phe Thr Trp Thr Pro Ser Ser Gly Lys Ser
                            600
Ala Val Gln Gly Pro Pro Glu Arg Asp Leu Cys Gly Cys Tyr Ser Val
                    · 615
Ser Arg Val Leu Pro Gly Cys Ala Gln Pro Trp Asn His Gly Glu Thr
                   630
                                        635
Phe Thr Cys Thr Ala Ala His Pro Glu Leu Lys Thr Pro Leu Thr Ala
               645
                                    650
Asn Ile Thr Lys Ser Gly Asn Thr Phe Arg Pro Glu Val His Leu Leu
           660
                               665
                                                    670
Pro Pro Pro Ser Glu Glu Leu Ala Leu Asn Glu Leu Val Thr Leu Thr
                            680
                                                685
Cys Leu Ala Arg Gly Phe Ser Pro Lys Asp Val Leu Val Arg Trp Leu
                        695
                                            700
Gln Gly Ser Gin Glu Leu Pro Arg Glu Lys Tyr Leu Thr Trp Ala Ser
                   7,10
                                        715
Arg Glo Glu Pro Ser Glo Gly Thr Thr Thr Tyr Ala Val Thr Ser Ile
               725
                                    730
Leu Arg Val Ala Ala Glu Asp Trp Lys Lys Gly Glu Thr Phe Ser Cys
           740
                                745
Met Val Gly His Glu Ala Leu Pro Leu Ala Phe Thr Gla Lys Thr Ile
                            760
                                                765
Asp Arg Leu Ala Gly Lys Pro Thr His Ile Asn Val Ser Val Val Met
                        775
                                            780
Ala Glu Ala Asp Gly Thr Cys Tyr Arg Ser Glu Lys Asp Glu Leu
                   790
```

[SEC ID N.º: 8]

### Figura 10:

1/1

GGT ACC ACT TCT CTC AAT CCA ACT TTC TAA ACA ATG GCT TCT AAA CCT TTC TTG TCT CTT

MASKPFLSL

61/10

CTT TCT TTG TCT TTG CTT TTG TTC ACC TCT ACT AGT TTG GCT GAC CTG TAC TTC ATT TTG

LSLSLLFTSTSLADLYFIL

121/30

GAC AAA TCA GGA AGT GTG CTG CAC CAC TGG AAT GAA ATC TAT TAC TTT GTG GAA CAG TTG

DKSGSVLHHWNEIYYFVEQL

181/50

GCT CAC AAA TTC ATC AGC CCA CAG TTG AGA ATG TCC TTT ATT GTT TTC TCC ACC CGA GGA

AHKFISPQLRMSFIVFSTRG

241/70

ACA ACC TTA ATG AAA CTG ACA GAA GAC AGA GAA CAA ATC CGT CAA GGC CTA GAA GAA CTC

T T L M K L T E D R E Q I R Q G L E E L

301/90

CAG AAA GTT CTG CCA GGA GGA GAC ACT TAC ATG CAT GAA GGA TTT GAA AGG GCC AGT GAG

Q K V L P G G D T Y M H E G F E R A S ,E

361/110

CAG ATT TAT TAT GAA AAC AGA CAA GGG TAC AGG ACA GCC AGC GTC ATC ATT GCT TTG ACT

Q I Y Y E N R Q G Y R T A S V I I A L T

421/130

GAT GGA GAA CTC CAT GAA GAT CTC TTT TTC TAT TCA GAG AGG GAG GCT AAT AGG TCT CGA

D G E L H E D L F F Y S E R E A N R S R

481/150

GAT CTT GGT GCA ATT GTT TAC TGT GTT GGT GTG AAA GAT TTC AAT GAG ACA CAG CTG GCC

D L G A I V Y C V G V K D F N E T Q L A

541/170

CGG ATT GCG GAC AGT AAG GAT CAT GTG TTT CCC GTG AAT GAC GGC TTT CAG GCT CTG CAA

R I A D S K D H V F P V N D G F Q A L Q

601/190

GGC ATC ATC CAC TCA ATT TTG AGC TCT GCT TCC CCA ACC AGC CCT AAG GTC TTC CCT CTC

G I I H S I L S S A S P T S P K V F P L

661/210

AGC CTT GAC AGC ACC CCT CAA GAT GGT AAT GTT GTC GTT GCT TGC CTT GTC CAG GGT TTC

S L D S T P Q D G N V V A C L V Q G F

721/230

TTC CCT CAG GAG CCA CTC TCT GTT ACC TGG TCT GAA TCT GGA CAG AAT GTT ACC GCC AGA

F P Q E P L S V T W S E S G Q N V T A R

781/250

AAC TTC CCA CCT AGC CAG GAT GCC TCC GGT GAC CTC TAC ACC AGC TCT CAG CTC ACC

N F P P S Q D A S G D L Y T T S S Q L T

841/270

CTT CCA GCC ACC CAG TGC CCA GAT GGT AAG TCC GTT ACC TGC CAT GTT AAG CAC TAC ACC

L P A T Q C P D G K S V T C H V K H Y T

901/290

AAC TCC AGC CAG GAT GTT ACT GTT CCA TGC CGT GTT CCA CCA CCT CCA CCA TGC TGC CAC

N S S Q D V T V P C R V P P P P C C H

961/310

CCA CGT CTC TCT CTC CAC CGT CCT GCC CTT GAG GAC TTG CTC TTG GGT TCT GAA GCT AAC

P R L S L H R P A L E D L L G S E A N

CTC ACC TGC ACC CTC ACC GGT CTC AGA GAT GCC TCT GGT GCC ACC TTC ACC TGG ACC CCA

L T C T L T G L R D A S G A T F T W T P

1081/350

1021/330

AGC TCT GGT AAG AGC GCT GTT CAA GGA CCA CCT GAG CGT GAC CTC TGT GGA TGC TAC TCT

S S G K S A V Q G P P E R D L C G C Y S

1141/370

GIT AGC TCT GTT CTT CCT GGT TGT GCC CAG CCT TGG AAC CAC GGT GAG ACC TTC ACC TGC

V S S V L P G C A Q P W N H G E T F T C

1201/390

ACT GCT GCC CAC CCA GAG TTG AAG ACC CCA CTT ACC GCC AAC ATC ACC AAG TCC GGA AAC

T A A H P E L K T P L T A N I T K S G N

1261/410

ACC TTC CGT CCC GAG GTC CAC CTC TTG CCA CCA CCA TCT GAG GAG CTT GCC CTC AAT GAG

T F R P E V H L L P P P S E E L A L N E

1321/430

CTT GTT ACC CTC ACC TGC CTT GCT CGT GGA TTC AGC CCA AAG GAT GTT CTT GTT AGG TGG

L V T L T C L A R G F S P K D V L V R W

1381/450

CTT CAG GGA TCT CAG GAG CTT CCA CGT GAG AAG TAC CTC ACT TGG GCT TCC CGT CAG GAG

L Q G S Q E L P R E K Y L T W A S R Q E

1441/470

CCA AGC CAG GGA ACT ACC ACC TAC GCT GTT ACC AGC ATC CTT CGT GTT GCT GCT GAG GAC

PSQGTTTYAVTSILRVAAED

TGG AAG AAG GGT GAG ACC TTC TCC TGC ATG GTT GGT CAC GAG GCC CTT CCA CTT GCC TTC

W K K G E T F S C M V G H E A L P L A F

1561/510

ACC CAG AAG ACC ATT GAT CGT TTG GCT GGA AAG CCA ACC CAC ATC AAT GTT TCT GTT GTC

T Q K T I D R L A G K P T H I N V S V V

1621/530

1650/538

ATG GCT GAG GCT GAT GGA ACC TGC TAC TAA

MAEADGTCY.

### Figura 11. pGPTV-kan-ocs-ATR-IgA2:

Bgl II

GCTCGGCG

•	
1	•
CTGGCCGGCGCCAGATCTGGGGAACCTGTGGTTGGCATGCACATACAAATGGACGAACGG	ATAAACCTTTTC
ACGCCCTT	
81	
TTAAATATCCGATTATTCTAATAAACGCTCTTTTCTCTTAGGTTTACCCGCCAATATATC	CTGTCAAACACT
GATAGTTT	•
161	
AAACTGAAGGCGGGAAACGACAATCTGATCATGAGCGGAGAATTAAGGGAGTCACGTTAT	GACCCCGCCGAT
GACGCGGG	
·	ECOR. I
241	
ACÂAGCCGTTTTACGTTTGGAACTGACAGAACCGCAACGTTGAAGGAGCCACTCAGCCGÁ	TCTGAATTCACT
GCTTTAAT	
321	
GAGATATGCGAGACGCCTATGATCGCATGATATTTGCTTCAATTCTGTTGTGCACGTTG	TAAAAAACCTGA
GCATGTGT	
401	
AGCTCAGATCCTTACCGCCGGTTTCGGTTCATTCTAATGAATATATCACCCGTTACTATC	GTATTTTTATGA
ATAATATT	
481	
	<b>^ ** ^ ** ^ ** ** ** **</b> *** ** ** ** ** ** ** ** *
CTCCGTTCAATTTACTGATTGTACCCTACTACTATATGTACAATATTAAAATGAAAACA GAATAGGT	AIAIAI IGIGCI
CANTAGGI .	
Sac I Asc I	
	-
561	
TTATAGCGACATCTATGATAGAGCGCCACAATAACAAACA	ATCCAATTTTGA

721

801

881

GACGGTATCGGGGCAATTGTATTCGACGGTATCGCGATAAGCTCGCGGATCCCTGAAAGCGACGTTGGATGT TAACATCT

961

ACAAATTGCCTTTCTTATCGACCATGTACGTAAGCGCTTACGTTTTTGGTGGACCCTTGAGGAAACTGGTAGCTGTTGT

1041

 ${\tt GGGCCTGTGGTCTCAAGATGGATCATTAATTTCCACCTTCACCTACGATGGGGGGCATCGCACCGGTGAGTA}$   ${\tt ATATTGTA}$ 

1121

CGGCTAAGAGCGAATTTGGCCTGTAGGATCCCTGAAAGCGACGTTGGATGTTAACATCTACAAATTGCCTTT
TCTTATCG

1201

ACCATGTACGTAAGCGCTTACGTTTTTGGTGGACCCTTGAGGAAACTGGTAGCTGTTGTGGGCCTGTGGTCT CAAGATGG

1281

 ${\tt ATCATTAATTTCCACCTTCACCTACGATGGGGGGCATCGCACCGGTGAGTAATATTGTACGGCTAAGAGCGA} \\ {\tt ATTTGGCC}$ 

1361

TGTAGGATCCCTGAAAGCGACGTTGGATGTTAACATCTACAAATTGCCTTTTCTTATCGACCATGTACGTAA GCGCTTAC

1441

GTTTTTGGTGGACCCTTGAGGAAACTGGTAGCTGTTGTGGGCCTGTGGTCTCAAGATGGATCATTAATTTCC ACCTTCAC

CTACGATGGGGGGCATCGCACCGGTGAGTAATATTGTACGGCTAAGAGCGAATTTGGCCTGTAGGATCCGCG AGCTGGTC

1601

1681

GACGTAAGTATCCGAGTCAGTTTTTTTTTTTTCTACTAATTTGGTCGTTTATTTCGGCGTGTAGGACATGGCA
ACCGGGCC

1761

TGAATTTCGCGGGTATTCTGTTTCTATTCCAACTTTTTCTTGATCCGCAGCCATTAACGACTTTTGAATAGA
TACGCTGA

1841

CACGCCAAGCCTCGCTAGTCAAAAGTGTACCAAACAACGCTTTACAGCAAGAACGGAATGCGCGTGACGCTC
GCGGTGAC

1921

2001

ATCCAACTTTCTAAACAATGGCTTCTAAACCTTTCTTGTCTCTTTGTTCTTTGTTCACCT CTACTAGT

2081

TTGGCTGACCTGTACTTCATTTTGGACAATCAGGAAGTGTGCTGCACCACTGGAATGAAATCTATTACTTT
GTGGAACA

2161

GTTGGCTCACAAATTCATCAGCCCACAGTTGAGAATGTCCTTTATTGTTTTCTCCACCCGAGGAACAACCTT
AATGAAAC

2241

TGACAGAAGACAGAGACAAATCCGTCAAGGCCTAGAAGAACTCCAGAAAGTTCTGCCAGGAGGAGACACTT
ACATGCAT

2321

GACTGATGGAGAACTCCATGAAGATCTCTTTTTCTATTCAGAGAGGGGAGGCTAATAGGTCTCGAGATCTTGG
TGCAATTG

2481

TTTACTGTGTTGGTGAAAGATTTCAATGAGACACGCTGGCCCGGATTGCGGACAGTAAGGATCATGTGT TTCCCGTG

2561

AATGAĊGGCTTTCAGGCTCTGCAAGGCATCATCCACTCAATTTTGAGCTCTGCTTCCCCAACCAGCCCTAAGGTCTTCCCC

2641

TCTCAGCCTTGACAGCACCCCTCAAGATGGTAATGTTGTCGTTGCCTTGTCCAGGGTTTCTTCCCTCAGGAGCCAC

2721

TCTCTGTTACCTGGTCTGAATCTGGACAGAATGTTACCGCCAGAAACTTCCCACCTAGCCAGGATGCCTCCGGTGACCTC

2801

TACACCACCAGCTCTCAGCCTCCAGCCACCCAGTGCCCAGATGGTAAGTCCGTTACCTGCCATGTT
AAGCACTA

2881

CACCAACTCCAGCCAGGATGTTACTGTTCCATGCCGTGTTCCACCACCACCACCATGCTGCCACCACGTCT

2961

ACCGTCCTGCCCTTGAGGACTTGCTCTTGGGTTCTGAAGCTAACCTCACCTGCACCCTCACCGGTCTCAGAG

3041

GGTGCCACCTTCACCTGGACCCCAAGCTCTGGTAAGAGCGCTGTTCAAGGACCACCTGAGCGTGACCTCTGT GGATGCTA

3121

. CTCTGTTAGCTCTGTTCTTCCTGGTTGTGCCCAGCCTTGGAACCACGGTGAGACCTTCACCTGCACTGCTGC
CCACCCAG

3201

 ${\tt AGTTGAAGACCCCACTTACCGCCAACATCACCAAGTCCGGAAACACCTTCCGTCCCGAGGTCCACCTCTTGC}\\ {\tt CACCACCA}$ 

TCTGAGGAGCTTGCCCTCAATGAGCTTGTTACCCTCACCTGCCTTGCTCGTGGATTCAGCCCAAAGGATGTTCTTTAG

### 3361

GTGGCTTCAGGGAGCTTCCACGTGAGAAGTACCTCACTTGGGCTTCCCGTCAGGAGCCAAGCCA GGGAACTA

### 3441

CCACCTACGCTGTTACCAGCATCCTTCGTGTTGCTGCTGAGGACTGGAAGAGGGTGAGACCTTCTCCTGCA TGGTTGGT

### 3521

CACGAGGCCCTTCCACTTGCCTTCACCCAGAAGACCATTGATCGTTTGGCTGGAAAGCCAACCCACATCAAT
GTTTCTGT

### 3601

 ${\tt TGTCATGGCTGAGGCTGATGGAACCTGCTACTAGGATCTGTGAATTCCTGCAGCCCGGGGGATCCACTAGTT}\\ {\tt CTAGCTAG}$ 

### 3681

### 3761

### 3841

CGGCATCTATGTCGAGGGCATTGGTGGAGCGCGCTTCGGGGATACCGTGCTTGTAACTGAGACCGGATATGA GGCCCTCA

### 3921

CTCCGCTTGATCTTGGCAAAGATATTTGACGCATTTATTAGTATGTGTTAATTTTCATTTGCAGTGCAGTAT
TTTCTATT

### 4001

CGATCTTATGTAATTCGTTACAATTAATAAATATTCAAATCAGATTATTGACTGTCATTTGTATCAAATCG TGTTTAAT

### 4081

GGATATTITTATTATATATTGATGATAATTCACTGGCCGTCGTTTTACAACGTCGTGACTGGGAAAACCCT GGCGTTAC

CCAACTTAATCGCCTTGCAGCACATCCCCCTTTCGCCAGCTGGCGCGCCAAGCTTCACGCTGCCGCAAGCAC
TCAGGGCG

4241

CAAGGGCTGCTAAAGGAAGCGGAACACGTAGAAAGCCAGTCCGCAGAAACGGTGCTGACCCCGGATGAATGT
CAGCTACT

4321

GGCTATCTGGACAAGGGAAAACGCAAGCGCAAAGAGAAAGCAGGTAGCTTGCAGTGGGCTTACATGGCGATA GCTAGACT

4401

 ${\tt GGGCGGTTTTATGGACAGCGAACCGGAATTGCCAGCTGGGGCGCCCTCTGGTAAGGTTGGGAAGCCCT}\\ {\tt GCAAAGTA}$ 

4481

AACTGGATGGCTTTCTTGCCGCCAAGGATCTGATGGCGCAGGGGATCAAGATCATGAGCGGAGAATTAAGGG
'AGTCACGT

4561

4641

CCGCGGGTTTCTGGAGTTTAATGAGCTAAGCACATACGTCAGAAACCATTATTGCGCGTTCAAAAGTCGCCT
AAGGTCAC

4721

TATCAGCTAGCAAATATTCTTGTCAAAAATGCTCCACTGACGTTCCATAAATTCCCCTCGGTATCCAATTA

4801

TATTCACTCTCAATCCAGATCTGGATCGTTTCGCATGATTGAACAAGATGGATTGCACGCAGGTTCTCCGGCCGCTTGGG

4881

TGGAGAGGCTATTCGGCTATGACTGGGCACAACAGACAATCGGCTGCTCTGATGCCGCCGTGTTCCGGCTGT CAGCGCAG

4961

5121

AAGTGCCGGGGCAGGATCTCCTGTCATCTTGCTCCTGCCGAGAAAGTATCCATCATGGCTGATGCAA TGCGGCGG

5201

5281

AGCCGGTCTTGTCGATCAGGATGATCTGGACGAAGAGCATCAGGGGGCTCGCCCAGCCGAACTGTTCGCCAGGCCTCAAGG

5361

CGCGCATGCCGACGGCGATGATCTCGTCGTGACCCATGGCGATGCCTGCTTGCCGAATATCATGGTGGAAA
ATGGCCGC

5441

TTTTCTGGATTCATCGACTGTGGCCGGCTGGGTGTGGCGGACCGCTATCAGGACATAGCGTTGGCTACCCGT GATATTGC

5521

TGAAGAGCTTGGCGGCGAATGGGCTGACCGCTTCCTCGTGCTTTACGGTATCGCCGCTCCCGATTCGCAGCGCTCCCCTTTTACGCTATCGCCCTCCCGATTCGCAGCGCTCCCCGATTCGCAGCGCTTCCTCGCTGCTTTACGGTATCGCCGCTCCCGATTCGCAGCG

5601

56B1

ATGTATTACACATAATATCGCACTCAGTCTTTCATCTACGGCAATGTACCAGCTGATATAATCAGTTATTGA
AATATTTC

5761

5841

AAACTATATTCTTTCAAGATGGGAATTAATTCACTGGCCGTCGTTTTACAACGTCGTGACTGGGAAAACCC TGGCGTTA

CCCAACTTAATCGCCTTGCAGCACCATCCCCCTTTCGCCAGCTGGCGTAATAGCGAAGAGGCCCGCACCGATCGCCTTCC

6001

60B1

GTCAAGCTCTAAATCGGGGGCTCCCTTTAGGGTTCCGATTTAGTGCTTTACGGCACCTCGACCCCAAAAAAC
TTGATTTG

6161

 ${\tt GGTGATGGTTCACGTAGGGGCCATCGCCCTGATAGACGGTTTTTCGCCCTTTGACGTTGGAGTCCACGTTCTTTAATAG}$ 

6241

TGGACTCTTGTTCCAAACTGGAACAACACTCAACCCTATCTCGGGCTATTCTTTTGATTTATAAGGGATTTT
GCCGATTT

6321

CGGAACCACCATCAAACAGGATTTTCGCCTGCTGGGGCAAACCAGCGTGGACCGCTTGCTGCAACTCTCTCA GGGCCAGG

6401 -

CGGTGAAGGGCAATCAGCTGTTGCCCGTCTCACTGGTGAAAAGAAAAACCCCCCAGTACATTAAAAACGTCCGCAATGT

6481

6561 AGCTCGGCACAAAATCACCACTCGATACAGGCAGCCCATCAG

### Figura 12. pGPTV-hpt-ocs-35SJ/SC

81

TATTGTGGTGTAAACAAATTGACGCTTAGACAACTTAATAACACATTGCGGACGTTTTTAATGTACTGGGGT CGTTTTTC

161

TTTTCACCAGTGAGACGGCCAACAGCTGATTGCCCTTCACCGCCTGGCCCTGAGAGAGTTGCAGCAAGCGGTCCACGCTG

241

GTTTGCCCCAGCAGCAAAATCCTGTTTGATGGTGGTTCCGAAATCGGCAAAATCCCTTATAAATCAAAAG
AATAGCCC

321

GAGATAGGGTTGAGTGTTCCAGTTTGGAACAAGAGTCCACTATTAAAGAACGTGGACTCCAACGTCAAA GGGCGAAA

401

AACCGTCTATCAGGGCGATGGCCCACTACGTGAACCATCACCCAAATCAAGTTTTTTGGGGTCGAGGTGCCG
TAAAGCAC

481

TAAATCGGAACCCTAAAGGGAGCCCCCGATTTAGAGCTTGACGGGGAAAGCCGGCGAACGTGGCGAGAAAGG AAGGGAAG

561

AAAGCGAAAGGAGCGGGCGCCATTCAGGCTGCGCAACTGTTGGGAAGGGCGATCGGTGCGGGCCTCTTCGCT ATTACGCC

641

AGCTGGCGAAAGGGGGATGTGCTGCAAGGCGATTAAGTTGGGTAACGCCAGGGTTTTCCCAGTCACGACGTT
GTAAAACG

721

30 723

TCCAAGCAAAAACATAAATTTATTGATGCAAGTTTAAATTCAGAAATATTTCAATAACTGATTATATCAGCT GGTACATT

881

GCCGTAGATGAAAGACTGAGTGCGATATTATGTGTAATACATAAATTGATGATATATGCTAGCTTAGCTCATC
GGGGGATC

961

CCGGTCGGCATCTACTCTATTCCTTTGCCCTCGGACGAGTGCTGGGGGGGTCGGTTTCCACTATCGGCGAGTA

1041

CAGCCATCGGTCCAGACGGCCGCGTTCTGCGGGCGATTTGTGTACGCCCGACAGTCCCGGGTCCGGATCGG
ACGATTGC

1121

GTCGCATCGACCTGCGCCCAAGCTGCATCATCGAAATTGCCGTCAACCAAGCTCTGATAGAGTTGGTCAAGACCAATGC

1201

GGAGCATATACGCCCGGAGCCGCGGCGATCCTGCAAGCTCCGGATGCCTCCGCTCGAAGTAGCGCGTCTGCT GCTCCATA

1281

CAAGCCAACCACGGCCTCCAGAAGAAGATGTTGGCGACCTCGTATTGGGAATCCCCGAACATCGCCTCGCTC
CAGTCAAT

1361

GACCGCTGTTATGCGGCCATTGTCCGTCAGGACATTGTTGGAGCCGAAATCCGCGTGCACGAGGTGCCGGAC
TTCGGGGC

1441

1521

TGATACACATGGGGATCAGCAATCGCGCATATGAAATCACGCCATGTAGTGTATTGACCGATTCCTTGCGGT CCGAATGG

1601

GTTCGGTTTCAGGCAGGTCTTGCAACGTGACACCCTGTGCACGGCGGGAGATGCAATAGGTCAGGCTCTCGC TGAATGCC

1761

CCAATGTCAAGCACTTCCGGAATCGGGAGCGCCGATGĆAAAGTGCCGATAAACATAACGATCTTTGTAG AAACCATC

1841

GGCGCAGCTATTTACCCGCAGGACATATCCACGCCCTCCTACATCGAAGCTGAAAGCACGAGATTCTTCGCCCCTCCGAGA

1921

GCTGCATCAGGTCGGAGACGTCGAACTTTTCGATCAGAAACTTCTCGACAGACGTCGCGGTGAGTTCAG GCTTTTTC

2001

ATATCTTATTGCCCCCCTAGAGTCGAGATCTGGATTGAGAGTGAATATGAGACTCTAATTGGATACCGAGGG GAATTTAT

2081

GGAACGTCAGTGGAGCATTTTTGACAAGAAATATTTGCTAGCTGATAGTGACCTTAGGCGACTTTTGAACGC GCAATAAT

2161

GGTTTCTGACGTATGTGCTTAGCTCATTAAACTCCAGAAACCCGCGGCTGAGTGGCTCCTTCAACGTTGCGG TTCTGTCA

2241

GTTCCAAACGTAAAACGGCTTGTCCCGCGTCATCGGCGGGGGTCATAACGTGACTCCCTTAATTCTCCGCTC
ATGATCTT

2321

2401

CGCCCAGCTGGCAATTCCGGTTCGCTTGCTGTCCATAAAACCGCCCAGTCTAGCTATCGCCATGTAAGCCC
ACTGCAAG

2481

CTACCTGCTTTCTCTTTGCGCTTGCCTTTTCCCTTGTCCAGATAGCCAGTAGCTGACATTCATCCGGGGTCAGCCCTT

TCTGCGGACTGGCTTTCTACGTGTTCCGCTTCCTTTAGCAGCCCTTGCGCCCTGAGTGCTTGCGCCAGCGTG

AAGCTTGG

2641

2721 ·

2801

2881

2961

CARATGCCATCATTGCGATAAAGGAAAGGCTATCATTCAAGATGCCTCTGCCGACAGTGGTCCCAAAGATGG
ACCCCCAC

3041

CCACGAGGAGCATCGTGGAAAAAGAAGACGTTCCAACCACGTCTTCAAAGCAAGTGGATTGATGTGATATCTCCACTGAC

3121

3201

3281

ATCTCCACGAAGAGTCCCATATTTGGTCCCGAGGAGGTGAATAGTGTGGAAGGTAACTCAGTGTCCATCACG TGCTACTA

3361

CCTCGGAGGGCTACGTCTCCAGCAAATATGCAGGCAGGGCTAACCTCACCAACTTCCCGGAGAACGGCACAT TTGTGGTG

3521

AACATTGCCCAGCTGAGCCAGGATGACTCCGGGCGCTACAAGTGTGGCCTGGGCATCAATAGCCGAGGCCTG

3601

TGTCAGCCTGGAGGTCAGCCAGGGTCCTGGGCTCCTAAATGACACTAAAGTCTACACAGTGGACCTGGGCAG AACGGTGA

3681

CCATCAACTGCCCTTTCAAGACTGAGAATGCTCAAAAGAGGAAGTCCTTGTACAAGCAGATAGGCCTGTACC CTGTGCTG

3761

GTCATCGACTCCAGTGGTTATGTGAATCCCAACTATACAGGAAGAATACGCCTTGATATTCAGGGTACTGGC CAGTTACT

3841

GTTCAGCGTTGTCATCAACCAACTCAGGCTCAGCGATGCTGGGCAGTATCTCTGCCAGGCTGGGGATGATTCCAATAGTA

3921

 ${\tt ATAAGAAGAATGCTGACCTCCAAGTGCTAAAGCCCGAGCCCGAGCTGGTTTATGAAGACCTGAGGGGCTCAGTGACCTTC}$ 

4001

4081

 ${\tt CGTCAACACCCTGGGGAAGAGGGCCCCAGCCTTTGAGGGCAGGATCCTGCTCAACCCCCAGGACAAGGATGGCTCATTCA}$ 

4161

GTGTGGTGATCACAGGCCTGAGGAAGGAGGATGCAGGGCGCTACCTGTGTGGAGCCCATTCGGATGGTCAGC
TGCAGGAA

4241

GGCTCGCCTATCCAGGCCTGGCAACTCTTCGTCAATGAGGAGTCCACGATTCCCCGCAGCCCCACTGTGGTG
AAGGGGGT

GGCAGGAAGCTCTGTGCCCGTGCTCTGCCCCTACAACCGTAAGGAAAGCAAAAGCATCAAGTACTGGTGTCT CTGGGAAG

4401

4481

CTGGAGGAGCCAGCCACCACCACCAGCCAGCCAGCCGGCACCAGCCGGCTCTAC
TGGTGTCT

4561

GACCAACGGCGATACTCTCTGGAGGACCACCGTGGAGATCAAGATTATCGAAGGAGAACCAAACCTCAAGGT TCCCGGGA

4641

ATGTCACGGCTGTGCGGGAGAGACTCTCAAGGTCCCCTGTCACTTTCCATGCAAATTCTCCTCGTACGAGA
AATACTGG

4721

TGCAAGTGGAATAACACGGGCTGCCAGGCCTGCCCAGCCAAGACGAAGGCCCCAGCAAGGCCTTCGTGAAC TGTGACGA

4801

GAACAGCCGGCTTGTCTCCCTGACCCTGAACCTGGTGACCAGGGCTGATGAGGGCTGGTACTGGTGTGGAGT GAAGCAGG

4881

GCCACTTCTATGGAGAGACTGCAGCCGTCTATGTGGCAGTTGAAGAGGAAGGCAGCGGGGTCCCGCGATG TCAGCCTA

4961

GCGAAGGCAGACGCTGCTCCTGATGAGAAGGTGCTAGACTCTGGTTTTCGGGAGATTGAGAACAAAGCCATTCAGGATCC

5042

CAGGCTTTTTGCAGAGTGAATTCGTTCGTATCATCGGTTTCGACAACGTTCGTCAAGTTCAATGCATCAGTT
TCATTGCG

5121

CACACACCAGAATCCTACTGAGTTCGAGTATTATGGCATTGGGGAAAACTGTTTTCTTGTACCATTTGTTGT
GCTTGTAA

5281

5361

GCAAACATTTGTTTTGAGTAAAAATGTGTCAAATCGTGGCCTCTAATGACCGAAGTTAATATGAGGAGTAA AACACTTG

5441

TAGTTGTCGACGGTATCGATATTAATTCCCGATCCTATCTGTCACTTCATCAAAAGGACAGTAGAAAAGGAA GGTGGCAC

5521

CTACAAATGCCATCATTGCGATAAAGGAAAGGCTATCATTCAAGATGCCTCTGCCGACAGTGGTCCCAAAGA TGGACCCC

5601

 ${\tt CACCCACGAGGAGCATCGTGGAAAAAGAAGACGTTCCAACCACGTCTTCAAAGCAAGTGGATTGATGTGATA}\\ {\tt TCTCCACT}$ 

5681

GACGTAAGGGATGACGCACAATCCCACTATCCTTCGCAAGACCCTTCCTCTATATAAGGAAGTTCATTTCAT
TTGGAGAG

5761

GACACGCTGAAATCACCAGTCTCTCTAGAGTACCATGGAGAACCATTTGCTTTTCTGGGGAGTCCTGGCG GTTTTTAT

5841

TAAGGCTGTTCATGTGAAAGCCCAAGAAGATGAAAGGATTGTTCTTGTTGACAACAAATGTAAGTGTGCCCG

5921

CCAGGATCATCCGTTCTTCCGAAGATCCTAATGAGGACATTGTGGAGAGAAACATCCGAATTATTGTTCCTC
TGAACAAC

6001

AGGGAGAATATCTCTGATCCCACCTCACCATTGAGAACCAGATTTGTGTACCATTTGTCTGACCTCTGTAAA
AAATGTGA

TCCTACAGAAGTGGAGCTGGATAATCAGATAGTTACTGCTACCCAGAGCAATATCTGTGATGAAGACAGTGC
TACAGAGA

6161

CCTGCTACACTTATGACAGAAACAAGTGCTACACAGCTGTGGTCCCACTCGTATATGGTGGTGAGACCAAAA
TGGTGGAA

6241

6321

TTACACATAATATCGCACTCAGTCTTTCATCTACGGCAATGTACCAGCTGATATAATCAGTTATTGAAATAT
TTCTGAAT

6401

6481

6561

TCGCTATAAACCTATTCAGCACAATATATTGTTTTCATTTTAATATTGTACATATAAGTAGTAGGGTACAAT CAGTAAAT

6641

TGAACGGAGAATATTATTCATAAAAATACGATAGTAACGGGTGATATATTCATTAGAATGAACCGAAACCGG CGGTAAGG

6721

ATCTGAGCTACACATGCTCAGGTTTTTTACAACGTGCACAACAGAATTGAAAGCAAATATCATGCGATCATA
GGCGTCTC

6801

GCATATCTCATTAAAGCAGTGAATTCAGATCGGCTGAGTGGCTCCTTCAACGTTGCGGTTCTGTCAGTTCCA
AACGTAAA

6881

ACGGCTTGTCCCGCGTCATCGGCGGGGTCATAACGTGACTCCCTTAATTCTCCGCTCATGATCAGATTGTCG
TTTCCCGC

CTTCAGTTTAAACTATCAGTGTTTGACAGGATATATTGGCGGGTAAACCTAAGAGAAAAGAGCGTTTATTAG AATAATCG

7041

 ${\tt GATATTAAAAGGGCGTGAAAAGGTTTATCCGTTCGTCCATTTGTATGTGCATGCCAACCACAGGTTCCCCA}\\ {\tt GATCTGGC}$ 

7121 GCCGGCCAG

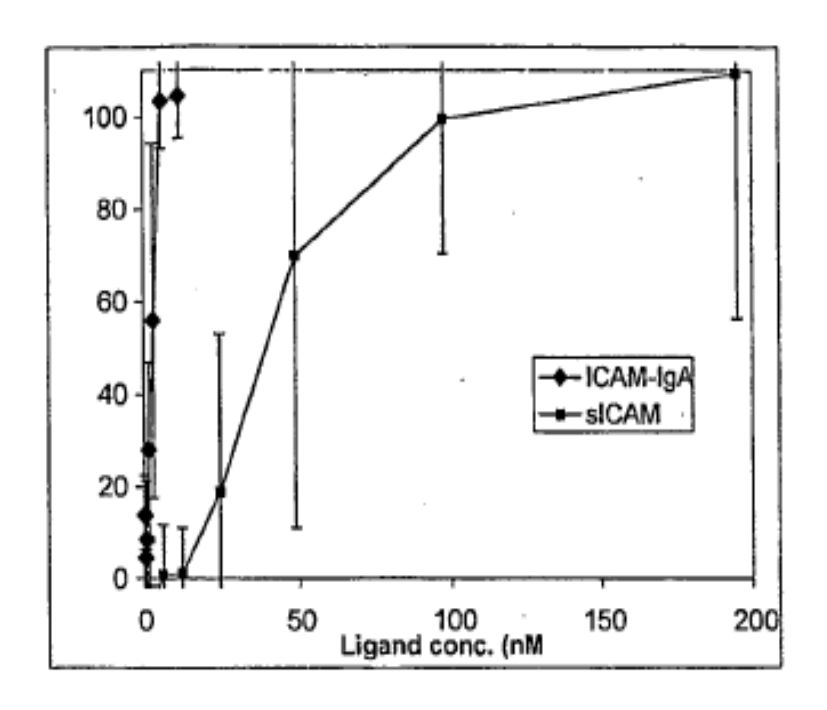


Figura 13

CMG2-1gG	1 QEQPSCRRAFDLYFVLDKSGSVANNWIEIYNFVQQLAERFVSPEMRLSFIVFSSQATI	60 IL
CMG2-1gG	61 PLTGDRGKISKGLEDLKRVSPVGETYIHEGLKLANEQIQKAGGLKTSSIIIALTDGKL	120 DG
CMG2~IgG	121 LVPSYAEKEAKISRSLGASVYCVGVLDFEQAQLERIADSKEQVFPVKGGFQALKGIIN	180 SI
V1 V2a V2b	181 3  Cγ1→ 2 LAQSCTEILELQPSSVCVGSSASTKGPSVFPLAPSSKSTSGGTAALGCLVKDYFPEPV LAQSCSSASTKGPSVFPLAPSSKSTSGGTAALGCLVKDYFPEPV LAQSCTEILELQPSSVCVG	TV 
CMG2-IgG V1	241 2 SWNSGALTSGVHTFPAVLQSSGLYSLSSVVTVPSSSLGTQTYICNVNHKPSNTKVDKKY SWNSGALTSGVHTFPAVLQSSGLYSLSSVVTVPSSSLGTQTYICNVNHKPSNTKVDKKY 4	【Cγ2→ V医 VE
V2a V2b V3		SE
	301 <u>PKSCDKTHTCP</u> PCPAPELLGGPSVFLFPPKPKDTLMISRTPEVTCVVVDVSHEDPEVKE <u>PKSCDKTHTCP</u> PCPAPELLGGPSVFLFPPKPKDTLMISRTPEVTCVVVDVSHEDPEVKE	
V2B	PKSCDKTHTCPPCPAPELLGGPSVFLFPPKPKDTLMISRTPEVTCVVVDVSHEDPEVKEPKSCDKTHTCPPCPAPELLGGPSVFLFPPKPKDTLMISRTPEVTCVVVDVSHEDPEVKEPKSCDKTHTCPPCPAPELLGGPSVFLFPPKPKDTLMISRTPEVTCVVVDVSHEDPEVKEPKSCDKTHTCPPCPAPELLGGPSVFLFPPKPKDTLMISRTPEVTCVVVDVSHEDPEVKEPKSCDKTHTCPPCPAPELLGGPSVFLFPPKPKDTLMISRTPEVTCVVVDVSHEDPEVKEPKSCDKTHTCPPCPAPELLGGPSVFLFPPKPKDTLMISRTPEVTCVVVDVSHEDPEVKEPKSCDKTHTCPPCPAPELLGGPSVFLFPPKPKDTLMISRTPEVTCVVVDVSHEDPEVKEPKSCDKTHTCPPCPAPELLGGPSVFLFPPKPKDTLMISRTPEVTCVVVDVSHEDPEVKEPKSCDKTHTCPPCPAPELLGGPSVFLFPPKPKDTLMISRTPEVTCVVVDVSHEDPEVKEPKSCDKTHTCPPCPAPELLGGPSVFLFPPKPKDTLMISRTPEVTCVVVDVSHEDPEVKEPKSCDKTHTCPPCPAPELLGGPSVFLFPPKPKDTLMISRTPEVTCVVVDVSHEDPEVKEPKSCDKTHTCPPCPAPELLGGPSVFLFPPKPKDTLMISRTPEVTCVVVDVSHEDPEVKEPKSCDKTHTCPPCPAPELLGGPSVFLFPPKPKDTLMISRTPEVTCVVVDVSHEDPEVKEPKSCDKTHTCPPCPAPELLGGPSVFLFPPKPKDTLMISRTPEVTCVVVDVSHEDPEVKEPKSCDKTHTCPPCPAPELLGGPSVFLFPPKPKDTLMISRTPEVTCVVVDVSHEDPEVKEPKSCDKTHTCPPCPAPELLGGPSVFLFPPKPKDTLMISRTPEVTCVVVDVSHEDPEVKEPKSCDKTHTCPPCPAPELLGGPSVFLFPPKPKDTLMISRTPEVTCVVVDVSHEDPEVKEPTCVVVDVSHEDPEVKEPTCVVVDVSHEDPEVKEPTCVVVDVSHEDPEVKEPTCVVVDVSHEDPEVKEPTCVVVDVSHEDPEVKEPTCVVVDVSHEDPEVKEPTCVVVDVSHEDPEVKEPTCVVVDVSHEDPEVKEPTCVVVDVSHEDPEVKEPTCVVVDVSHEDPEVKEPTCVVVDVSHEDPEVKEPTCVVVDVSHEDPEVKEPTCVVVDVSHEDPEVKEPTCVVVDVSHEDPEVKEPTCVVVDVSHEDPEVKEPTCVVVDVSHEDPEVKEPTCVVVDVSHEDPEVKEPTCVVVDVSHEDPEVKEPTCVVVDVSHEDPEVKEPTCVVVDVSHEDPEVKEPTCVVVDVSHEDPEVKEPTCVVVDVSHEDPEVKEPTCVVVDVSHEDPEVKEPTCVVVDVSHEDPEVKEPTCVVVDVSHEDPEVKEPTCVVVDVSHEDPEVKEPTCVVVDVSHEDPEVKEPTCVVVDVSHEDPEVKEPTCVVVDVSHEDPEVKEPTCVVVDVSHEDPEVKEPTCVVVDVSHEDPEVKEPTCVVVDVSHEDPEVKEPTCVVVDVSHEDPEVKEPTCVVVDVSHEDPEVKEPTCVVVDVSHEDPEVKEPTCVVVDVSHEDPEVKEPTCVVVDVSHEDPEVKEPTCVVVDVSHEDPEVKEPTCVVVDVSHEDPEVKEPTCVVVDVSHEDPEVKEPTCVVVDVSHEDPEVKEPTCVVVDVSHEDPEVKEPTCVVVDVSHEDPEVKEPTCVVVDVSHEDPEVKEPTCVVVDVSHEDPEVKEPTCVVVDVSHEDPEVKEPTCVVVDVSHEDPEVKEPTCVVVDVSHEDPEVKEPTCVVVDVSHEDPEVKEPTCVVVDVSHEDPEVKEPTCVVVDVSHEDPEVKEPTCVVVDVSHEDPEVKEPTCVVVDVSHEDPEVKEPTCVVVDVSHEDPTCVVVDVSHEDPTCVVVDVSHEDPTCVVVDVSHEDPTCVVVDVSHEDPTCVVVVDVSHEDPTCVVVDVSHEDPTCVVVVDVSHEDPTCVVVVDVSHEDPTCVVVVDVSHEDPTCVVVTVVVVDVVSHED	IN .
CMG2-IgG	361	420 TI
CMG2-IgG	Cγ3→ SKAKGQPREPQVYTLPPSRDEL/TKNQVSL/TCLVKGFYPSDIAVEWESNGQPENNYKTTF	480 PP
CMG2-IgG	481 531 VLDSDGSFFLYSKLTVDKSRWQQGNVFSCSVMHEALHNHYTQKSLSLSPGK	
V2b =		
	QEQPSCRRAFDLYFVLDKSGSVANNWIEIYNPVOOLAERFVSPEMRLSFIVFSSQATII PLTGDRGKISKGLEDLKRVSPVGETYIHEGLKLANEQIQKAGGLKTSSIIIALTDGKLD LVPSYAEKEAKISRSLGASVYCVGVLDFEQAQLERIADSKEQVFPVKGGFQALKGIINS LAQSCSSE PKSCDKTHTCPPCPAPELLGGPSVFLFPPKPKDTLMISRTPEVTCVVVDVS EDPEVKFNWYVDGVEVHNAKTKPREEQYQSTYRVVSVLTVLHQDWLNGKEYKCKVSNKA APIEKTISKAKGQPREPQVYTLPPSRDELTKNQVSLTCLVKGFYPSDIAVEWESNGQPE KKTTPPVLDSDGSFFLYSKLTVDKSRWQQGNVFSCSVMHEALHNHYTQKSLSLSPGK	og I ¦ Sh: LP

# Figura 14

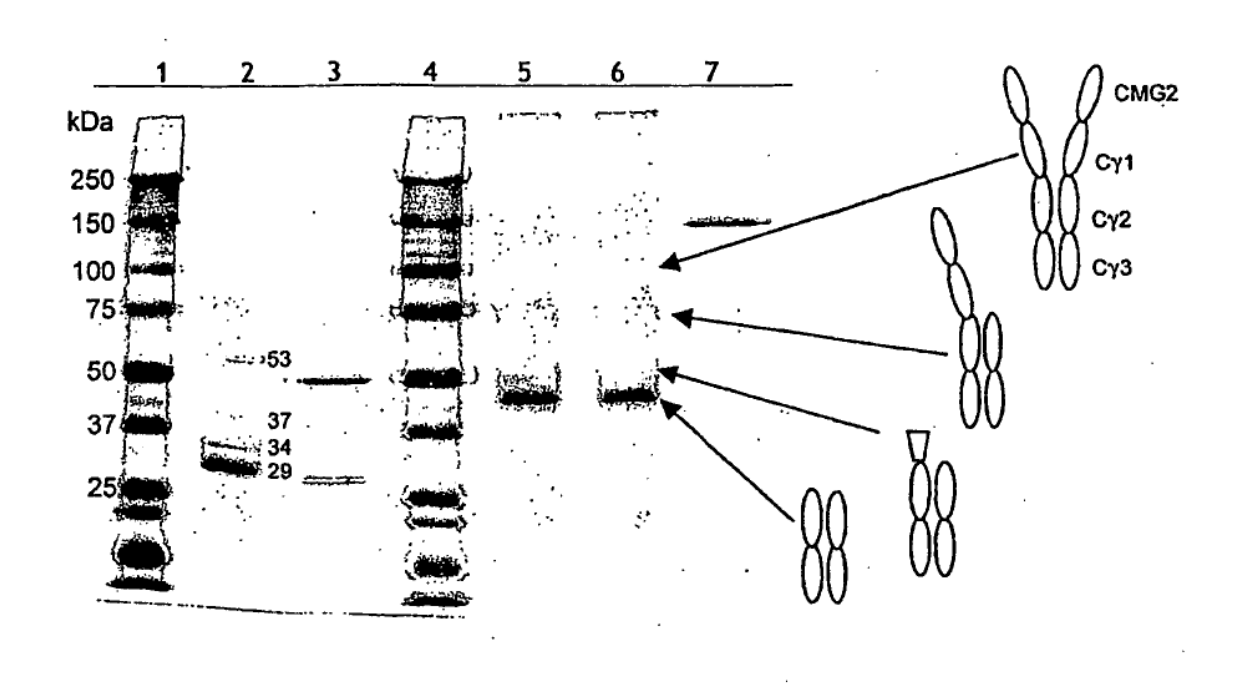


Figura 15

# 1 2 3 4 5 6 7 8 9 10 11 12 13

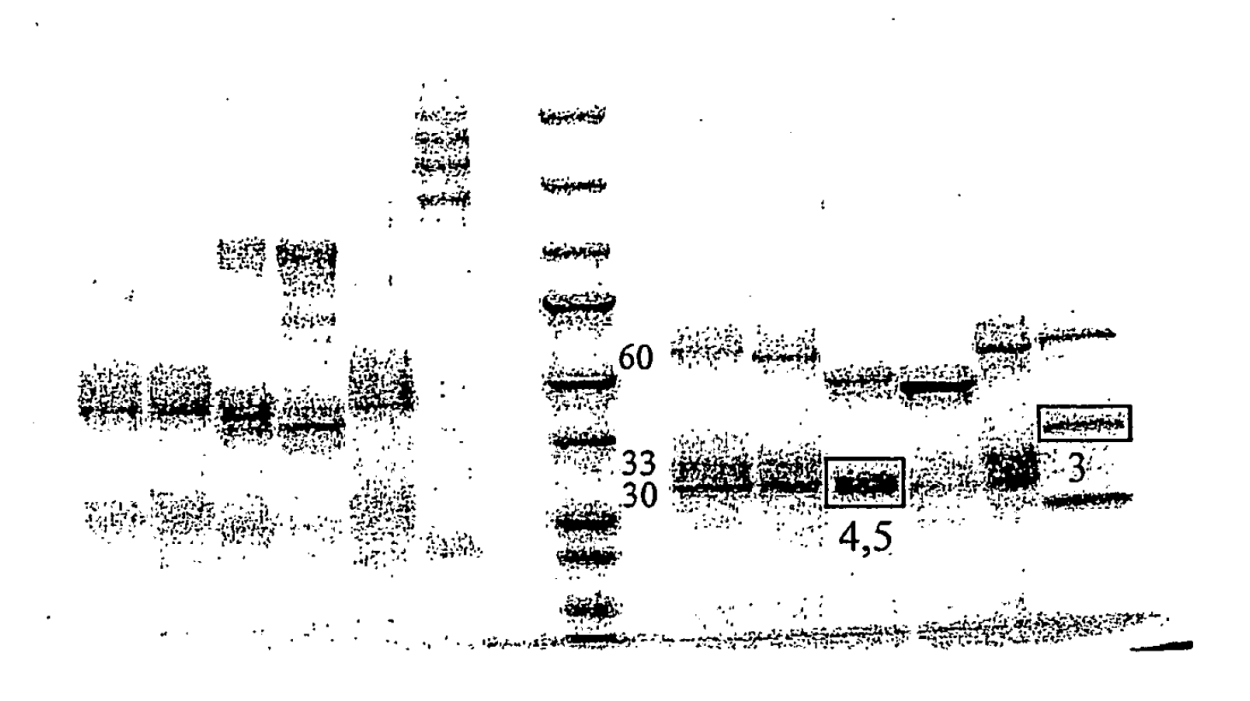


Figura 16

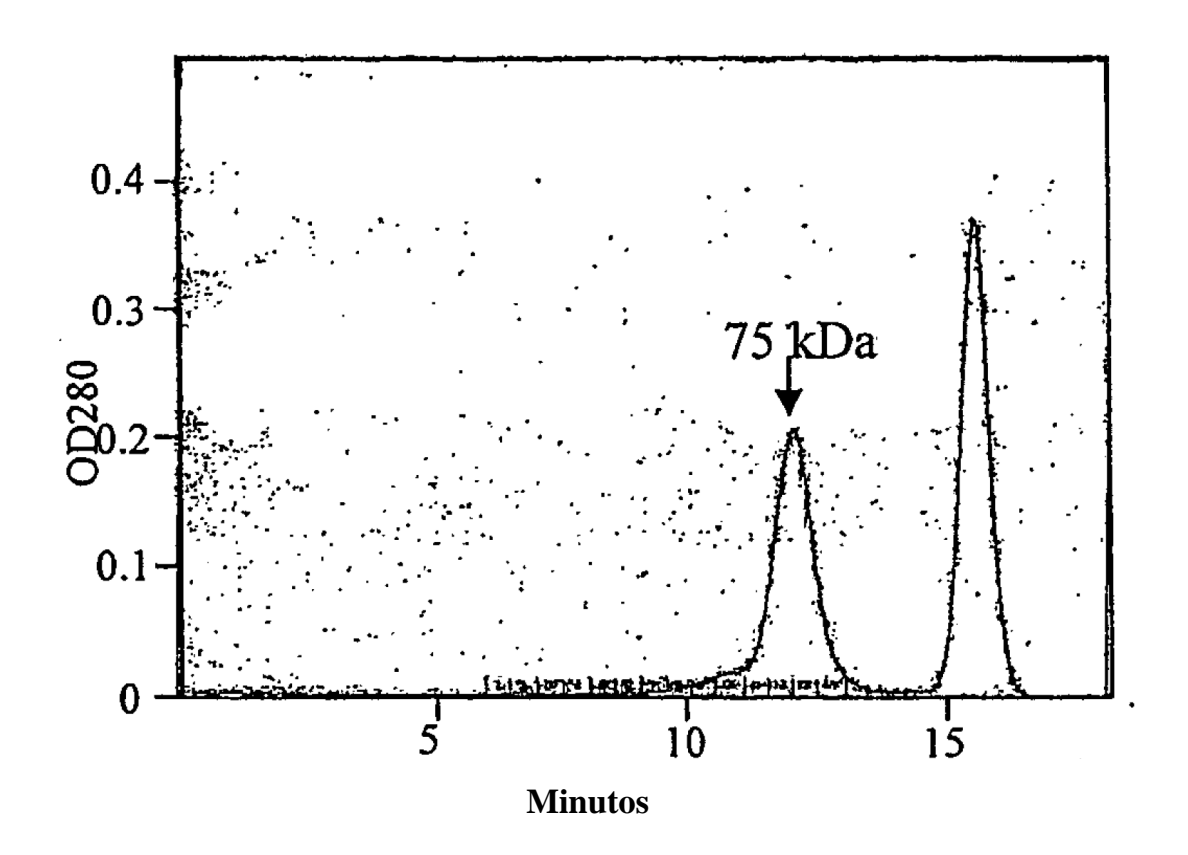


Figura 17

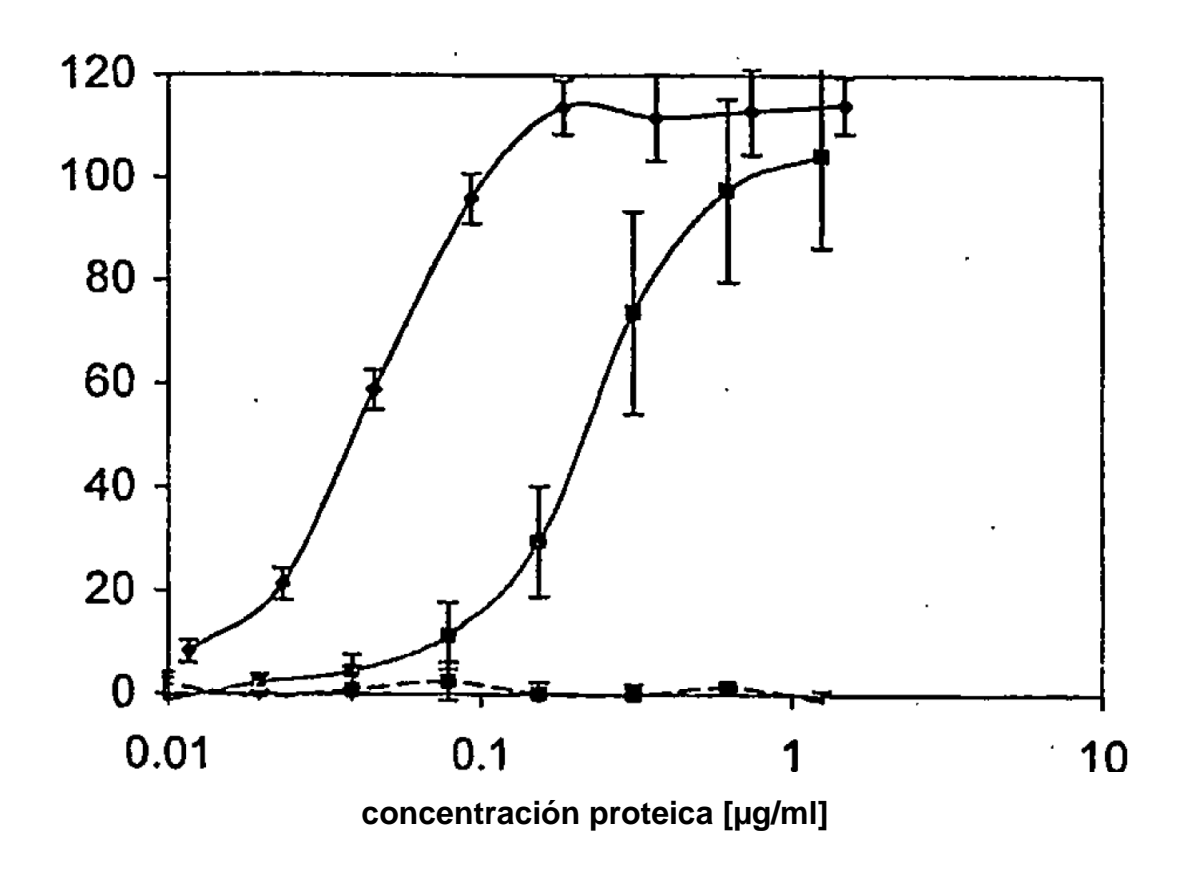


Figura 18

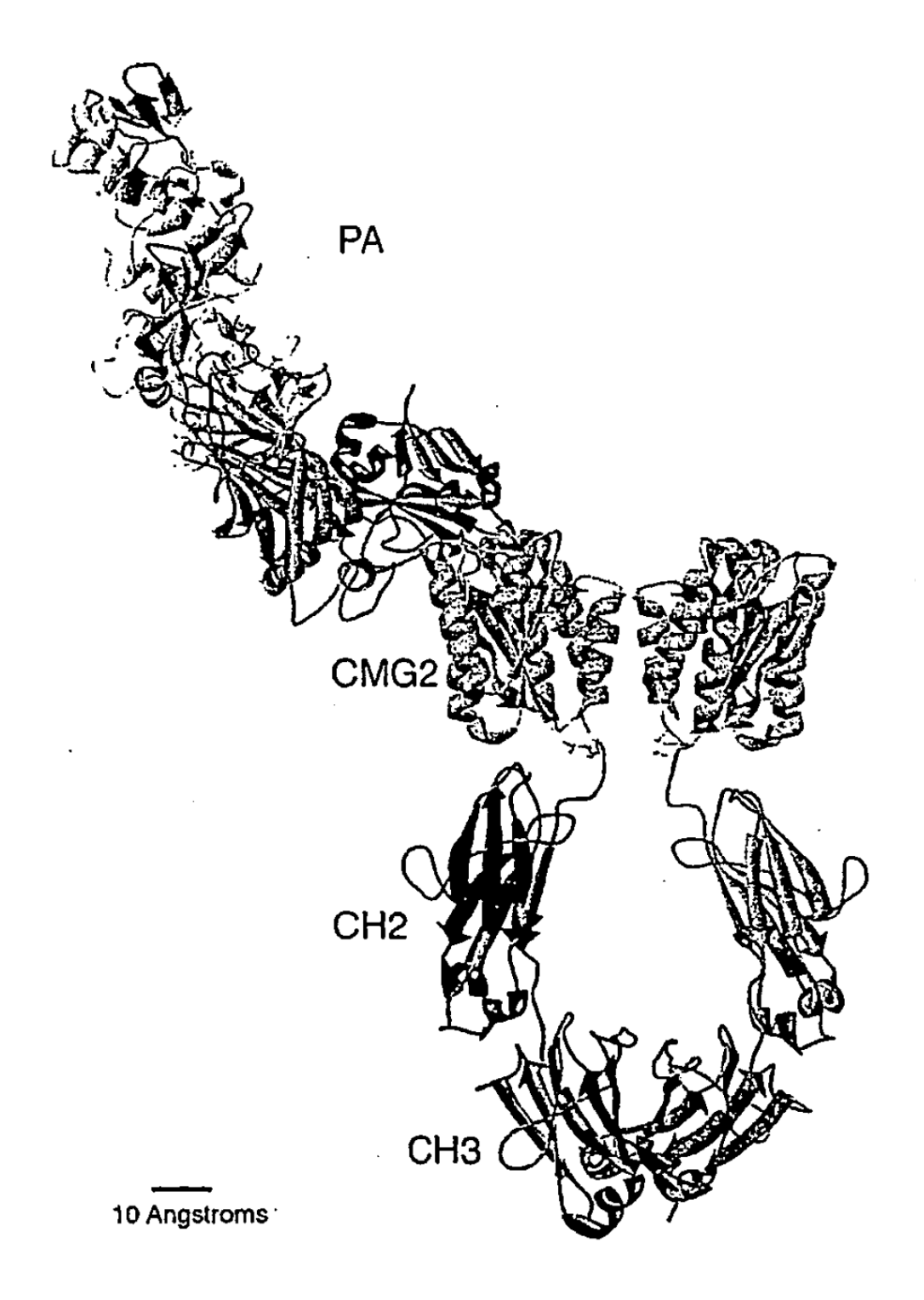


Figura 19

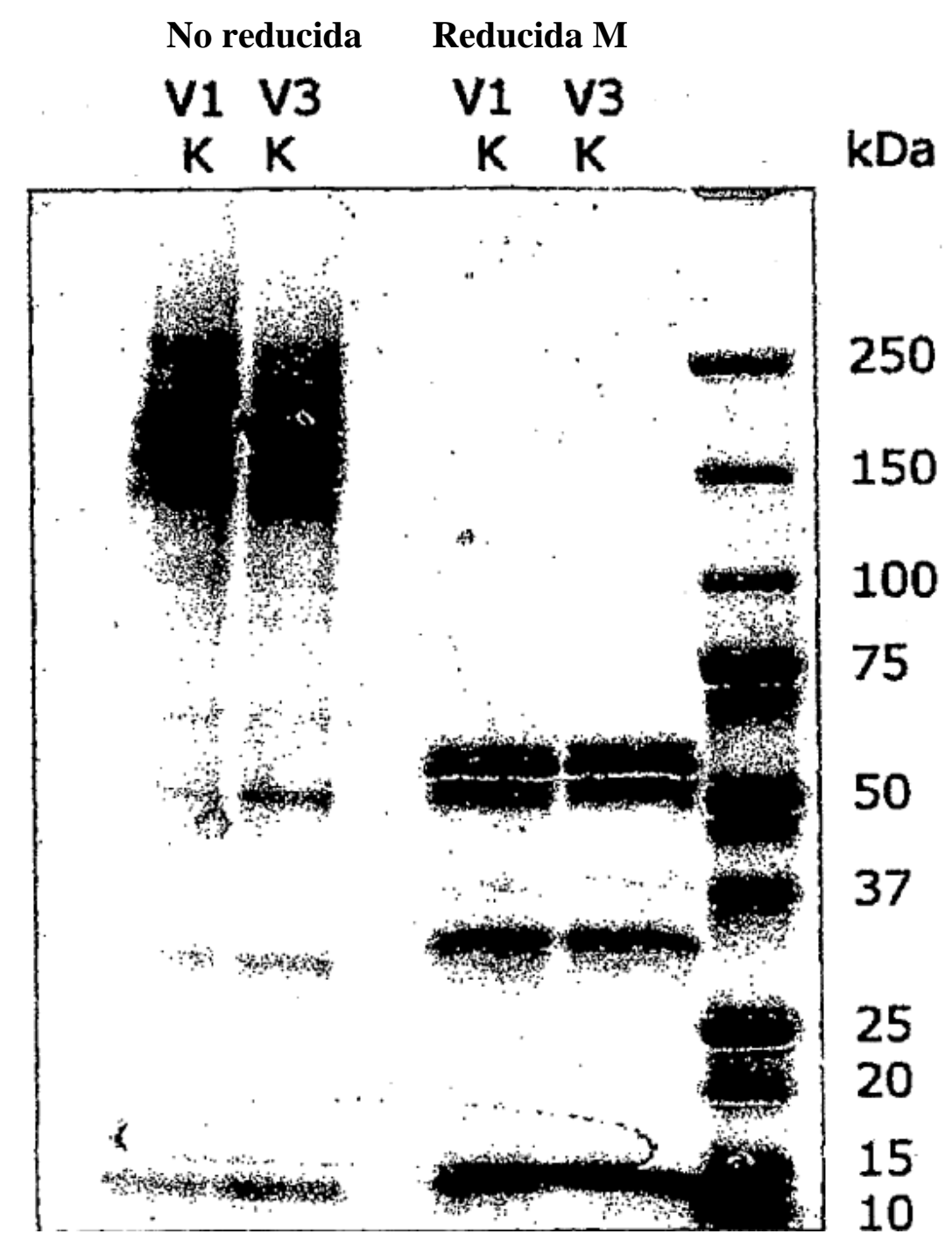


Figura 20